

Eingabe: Farbmétrisches Offset-Reflektiv-System ORS18

für Buntton $h^* = lab^*h = 25/360 = 0.069$

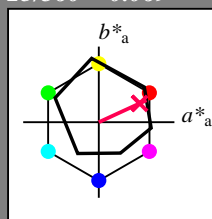
lab^*tch und lab^*nch

D65: Buntton R

LCH*Ma: 52 69 25

olv*Ma: 1.0 0.0 0.32

Dreiecks-Helligkeit t^*



%Umfang

$u^*_{rel} = 85$

%Regularität

$g^*_{H,rel} = 57$

$g^*_{C,rel} = 59$

ORS18; adaptierte CIELAB-Daten

	$L^*=L^*_a$	a^*_a	b^*_a	$C^*_{ab,a}$	$h^*_{ab,a}$
OMa	51.74	60.16	46.48	76.02	38
YMa	90.77	-9.44	84.41	84.94	96
LMa	54.46	-57.8	32.16	66.15	151
CMa	61.56	-27.91	-41.41	49.95	236
VMa	31.3	28.61	-40.85	49.88	305
MMa	51.91	69.26	-7.69	69.68	354
NMa	24.2	0.0	0.0	0.0	0
WMa	95.41	0.0	0.0	0.0	0
RCIE	44.36	53.97	24.82	59.4	25
JCIE	82.39	-1.99	62.34	62.37	92
GCIE	55.68	-38.87	10.82	40.36	164
BCIE	35.76	1.06	-43.09	43.11	271

Ausgabe: Farbmétrisches Offset-Reflektiv-System ORS18

für Buntton $h^* = lab^*h = 25/360 = 0.069$

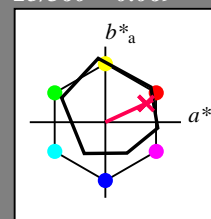
lab^*tch und lab^*nch

D65: Buntton R

LCH*Ma: 52 69 25

olv*Ma: 1.0 0.0 0.32

Dreiecks-Helligkeit t^*



%Umfang

$u^*_{rel} = 85$

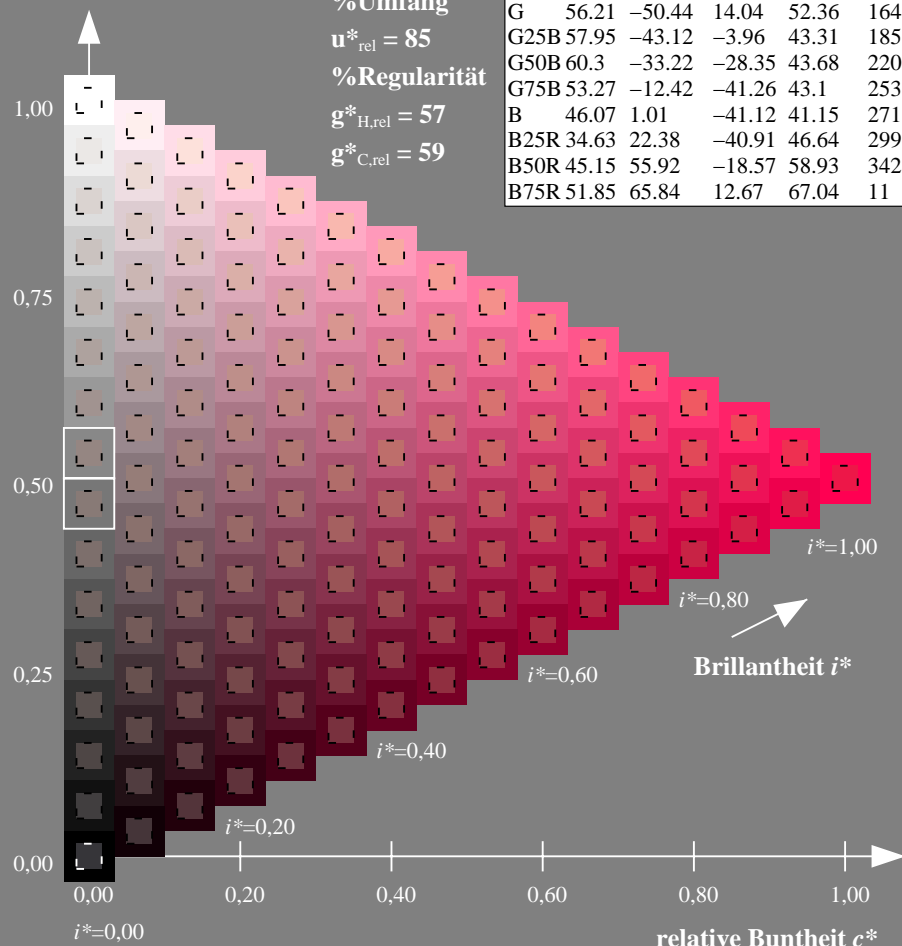
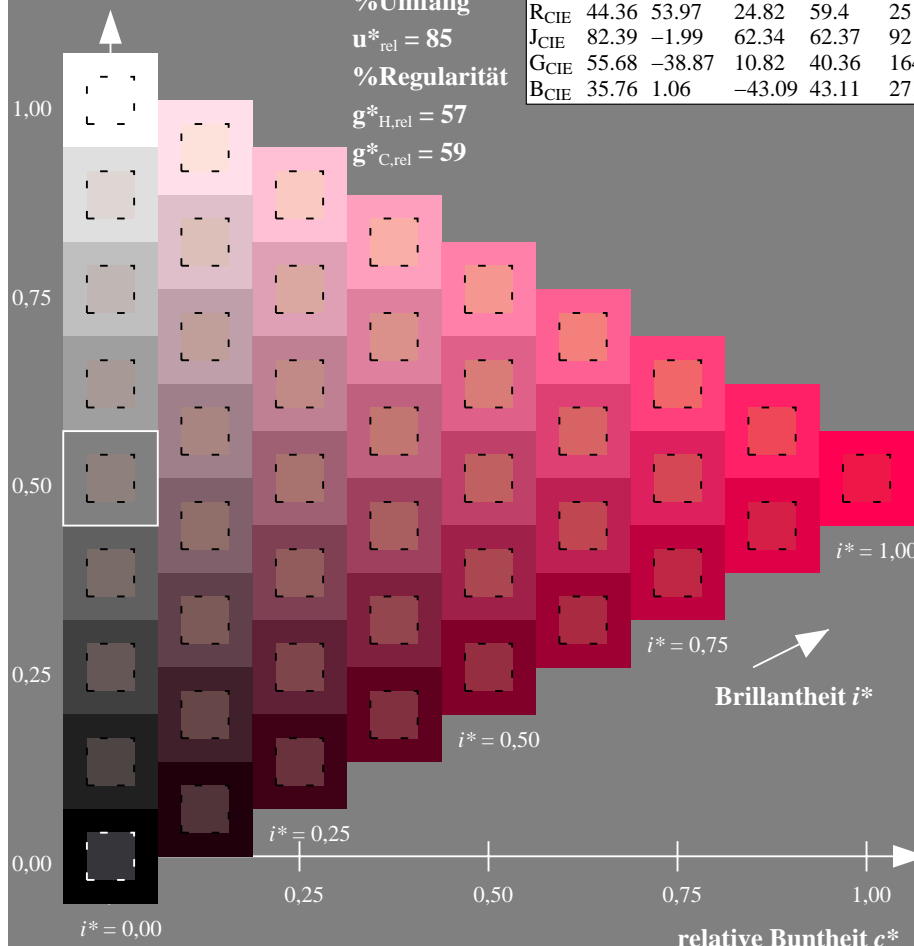
%Regularität

$g^*_{H,rel} = 57$

$g^*_{C,rel} = 59$

ORS18; adaptierte CIELAB-Daten

	$L^*=L^*_a$	a^*_a	b^*_a	$C^*_{ab,a}$	$h^*_{ab,a}$
R	51.79	63.09	29.02	69.44	25
R25J	53.73	56.6	48.42	74.48	41
R50J	65.47	35.67	59.82	69.65	59
R75J	76.51	15.98	70.55	72.34	77
J	86.93	-2.58	80.67	80.71	92
J25G	84.92	-17.23	75.99	77.92	103
J50G	73.11	-32.96	59.0	67.58	119
J75G	60.06	-50.34	40.22	64.44	141
G	56.21	-50.44	14.04	52.36	164
G25B	57.95	-43.12	-3.96	43.31	185
G50B	60.3	-33.22	-28.35	43.68	220
G75B	53.27	-12.42	-41.26	43.1	253
B	46.07	1.01	-41.12	41.15	271
B25R	34.63	22.38	-40.91	46.64	299
B50R	45.15	55.92	-18.57	58.93	342
B75R	51.85	65.84	12.67	67.04	11



Eingabe: Farbmétrisches Offset-Reflektiv-System ORS18

für Buntton $h^* = lab^*h = 41/360 = 0.113$

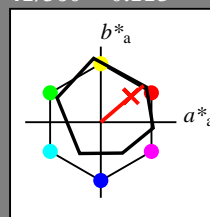
lab^*tch und lab^*nch

D65: Buntton R25J

LCH*Ma: 54 74 41

olv*Ma: 1.0 0.05 0.0

Dreiecks-Helligkeit t^*



%Umfang

$u^*_{rel} = 85$

%Regularität

$g^*_{H,rel} = 57$

$g^*_{C,rel} = 59$

ORS18; adaptierte CIELAB-Daten

	$L^*=L^*_a$	a^*_a	b^*_a	$C^*_{ab,a}$	$h^*_{ab,a}$
O _{Ma}	51.74	60.16	46.48	76.02	38
Y _{Ma}	90.77	-9.44	84.41	84.94	96
L _{Ma}	54.46	-57.8	32.16	66.15	151
C _{Ma}	61.56	-27.91	-41.41	49.95	236
V _{Ma}	31.3	28.61	-40.85	49.88	305
M _{Ma}	51.91	69.26	-7.69	69.68	354
N _{Ma}	24.2	0.0	0.0	0.0	0
W _{Ma}	95.41	0.0	0.0	0.0	0
R _{CIE}	44.36	53.97	24.82	59.4	25
J _{CIE}	82.39	-1.99	62.34	62.37	92
G _{CIE}	55.68	-38.87	10.82	40.36	164
B _{CIE}	35.76	1.06	-43.09	43.11	271

Ausgabe: Farbmétrisches Offset-Reflektiv-System ORS18

für Buntton $h^* = lab^*h = 41/360 = 0.113$

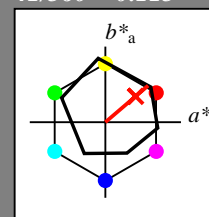
lab^*tch und lab^*nch

D65: Buntton R25J

LCH*Ma: 54 74 41

olv*Ma: 1.0 0.05 0.0

Dreiecks-Helligkeit t^*



%Umfang

$u^*_{rel} = 85$

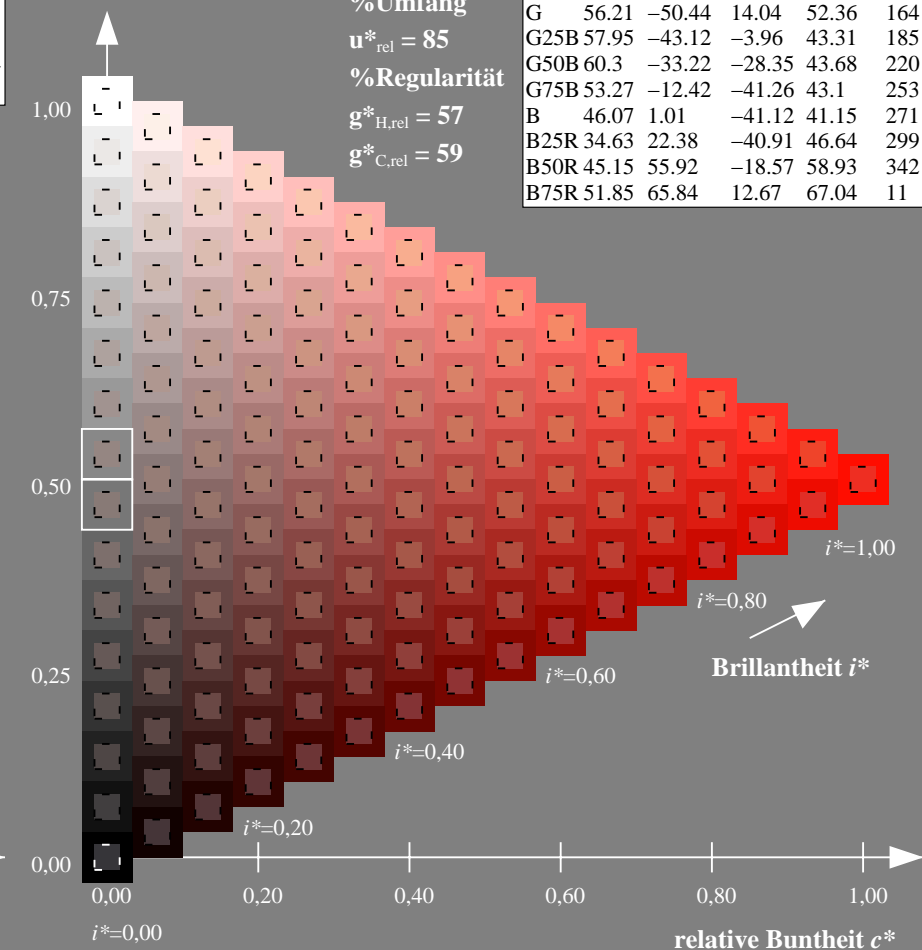
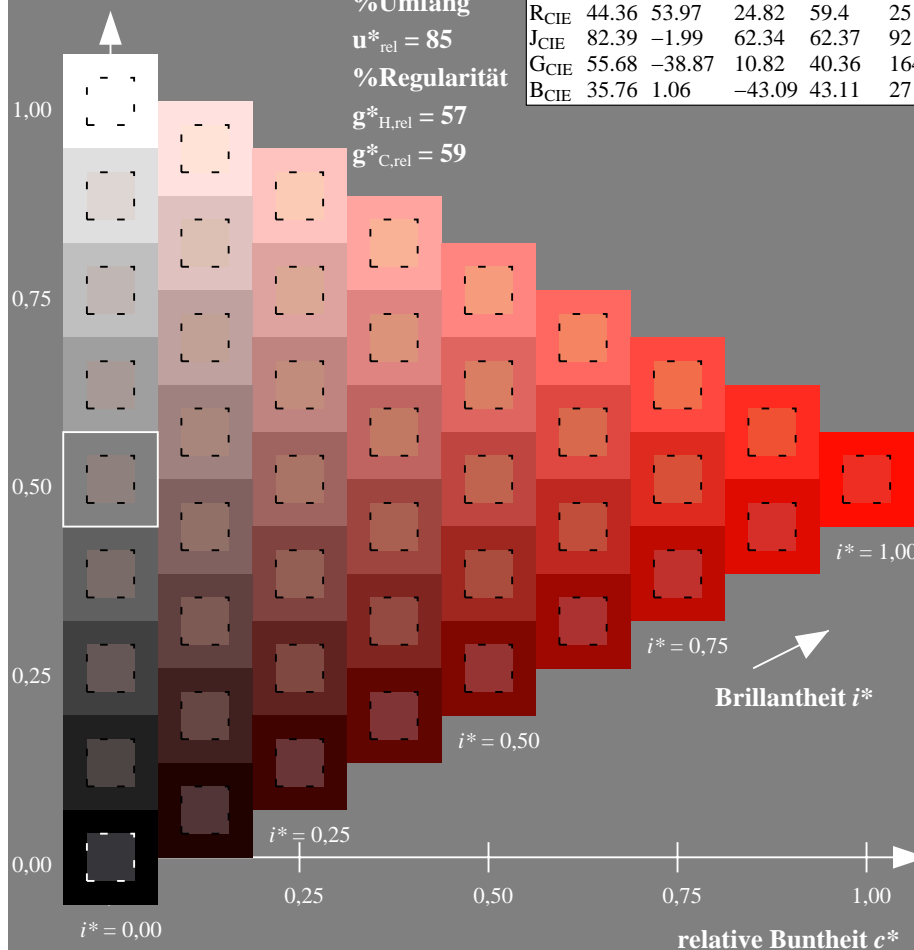
%Regularität

$g^*_{H,rel} = 57$

$g^*_{C,rel} = 59$

ORS18; adaptierte CIELAB-Daten

	$L^*=L^*_a$	a^*_a	b^*_a	$C^*_{ab,a}$	$h^*_{ab,a}$
R	51.79	63.09	29.02	69.44	25
R25J	53.73	56.6	48.42	74.48	41
R50J	65.47	35.67	59.82	69.65	59
R75J	76.51	15.98	70.55	72.34	77
J	86.93	-2.58	80.67	80.71	92
J25G	84.92	-17.23	75.99	77.92	103
J50G	73.11	-32.96	59.0	67.58	119
J75G	60.06	-50.34	40.22	64.44	141
G	56.21	-50.44	14.04	52.36	164
G25B	57.95	-43.12	-3.96	43.31	185
G50B	60.3	-33.22	-28.35	43.68	220
G75B	53.27	-12.42	-41.26	43.1	253
B	46.07	1.01	-41.12	41.15	271
B25R	34.63	22.38	-40.91	46.64	299
B50R	45.15	55.92	-18.57	58.93	342
B75R	51.85	65.84	12.67	67.04	11



ZG920-7F, 9stufige Reihen für konstanten CIELAB Buntton 41/360 = 0.113 (links)

Seite 2/96

ZG920-7F, 16stufige Reihen für konstanten CIELAB Buntton 41/360 = 0.113 (rechts)

BAM-Prüfvorlage ZG92; Farbmétrik-Systeme, Seite 2/96 Eingabe: $rgb / cmy0$ set($rgb/cmyk$)color
D65: 9 und 16stufige Farbreihen für 16 Elementar-Bunttöne Ausgabe: keine Eingabeänderung

Eingabe: Farbmétrisches Offset-Reflektiv-System ORS18

für Buntton $h^* = lab^*h = 59/360 = 0.164$

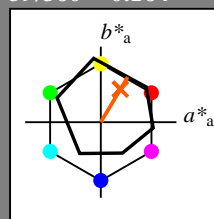
lab^*tch und lab^*nch

D65: Buntton R50J

LCH*Ma: 65 70 59

olv*Ma: 1.0 0.35 0.0

Dreiecks-Helligkeit t^*



%Umfang

$u^*_{rel} = 85$

%Regularität

$g^*_{H,rel} = 57$

$g^*_{C,rel} = 59$

ORS18; adaptierte CIELAB-Daten	$L^*=L^*_a$	a^*_a	b^*_a	$C^*_{ab,a}$	$h^*_{ab,a}$
O _{Ma}	51.74	60.16	46.48	76.02	38
Y _{Ma}	90.77	-9.44	84.41	84.94	96
L _{Ma}	54.46	-57.8	32.16	66.15	151
C _{Ma}	61.56	-27.91	-41.41	49.95	236
V _{Ma}	31.3	28.61	-40.85	49.88	305
M _{Ma}	51.91	69.26	-7.69	69.68	354
N _{Ma}	24.2	0.0	0.0	0.0	0
W _{Ma}	95.41	0.0	0.0	0.0	0
R _{CIE}	44.36	53.97	24.82	59.4	25
J _{CIE}	82.39	-1.99	62.34	62.37	92
G _{CIE}	55.68	-38.87	10.82	40.36	164
B _{CIE}	35.76	1.06	-43.09	43.11	271

Ausgabe: Farbmétrisches Offset-Reflektiv-System ORS18

für Buntton $h^* = lab^*h = 59/360 = 0.164$

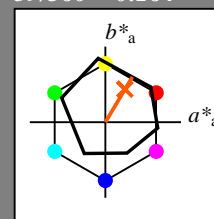
lab^*tch und lab^*nch

D65: Buntton R50J

LCH*Ma: 65 70 59

olv*Ma: 1.0 0.35 0.0

Dreiecks-Helligkeit t^*



%Umfang

$u^*_{rel} = 85$

%Regularität

$g^*_{H,rel} = 57$

$g^*_{C,rel} = 59$

ORS18; adaptierte CIELAB-Daten	$L^*=L^*_a$	a^*_a	b^*_a	$C^*_{ab,a}$	$h^*_{ab,a}$
R	51.79	63.09	29.02	69.44	25
R25J	53.73	56.6	48.42	74.48	41
R50J	65.47	35.67	59.82	69.65	59
R75J	76.51	15.98	70.55	72.34	77
J	86.93	-2.58	80.67	80.71	92
J25G	84.92	-17.23	75.99	77.92	103
J50G	73.11	-32.96	59.0	67.58	119
J75G	60.06	-50.34	40.22	64.44	141
G	56.21	-50.44	14.04	52.36	164
G25B	57.95	-43.12	-3.96	43.31	185
G50B	60.3	-33.22	-28.35	43.68	220
G75B	53.27	-12.42	-41.26	43.1	253
B	46.07	1.01	-41.12	41.15	271
B25R	34.63	22.38	-40.91	46.64	299
B50R	45.15	55.92	-18.57	58.93	342
B75R	51.85	65.84	12.67	67.04	11

%Umfang

$u^*_{rel} = 85$

%Regularität

$g^*_{H,rel} = 57$

$g^*_{C,rel} = 59$

%Umfang

$u^*_{rel} = 85$

%Regularität

$g^*_{H,rel} = 57$

$g^*_{C,rel} = 59$

%Umfang

$u^*_{rel} = 85$

%Regularität

$g^*_{H,rel} = 57$

$g^*_{C,rel} = 59$

%Umfang

$u^*_{rel} = 85$

%Regularität

$g^*_{H,rel} = 57$

$g^*_{C,rel} = 59$

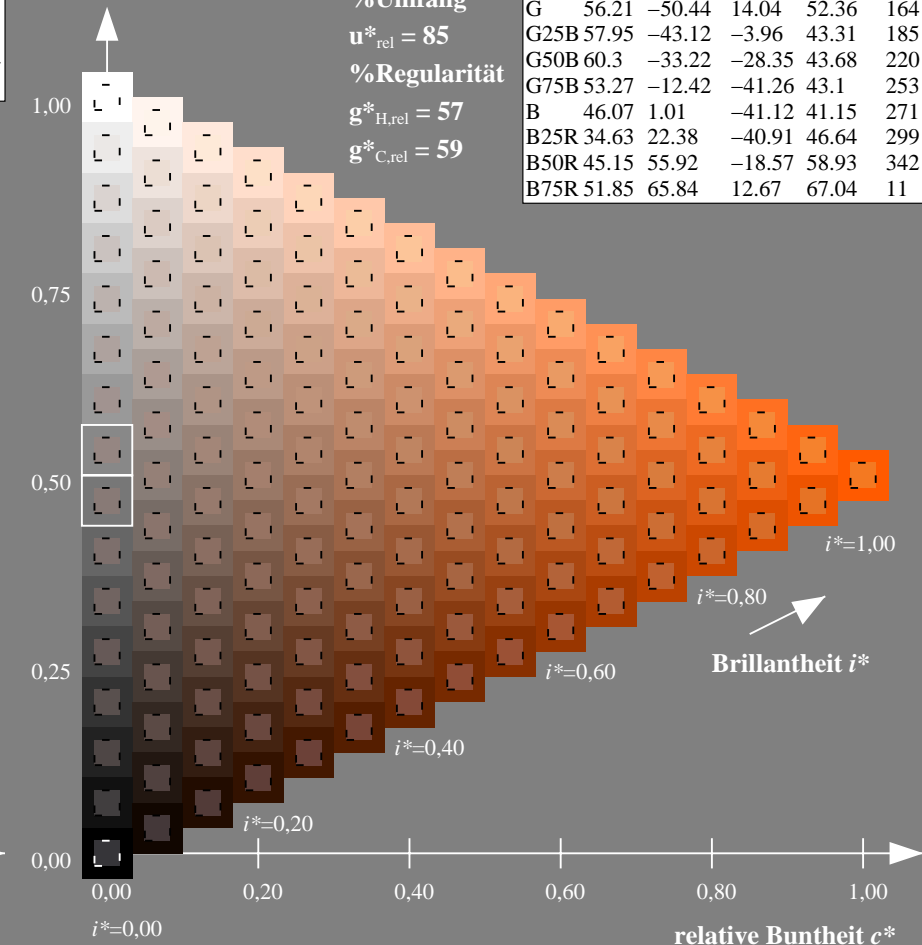
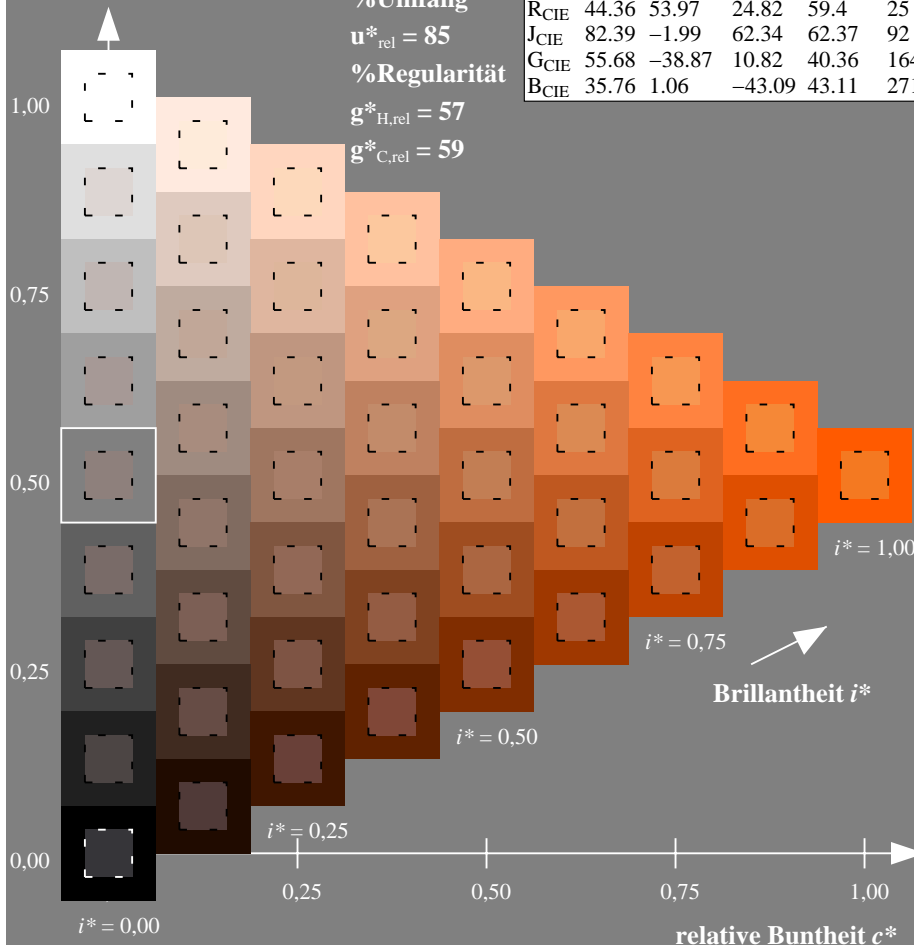
%Umfang

$u^*_{rel} = 85$

%Regularität

$g^*_{H,rel} = 57$

$g^*_{C,rel} = 59$



ZG920-7F, 9stufige Reihen für konstanten CIELAB Buntton 59/360 = 0.164 (links)

Seite 3/96

ZG920-7F, 16stufige Reihen für konstanten CIELAB Buntton 59/360 = 0.164 (rechts)

BAM-Prüfvorlage ZG92; Farbmétrik-Systeme, Seite 3/96 Eingabe: $rgb / cmy0 set(rgb/cmyk)color$
D65: 9 und 16stufige Farbreihen für 16 Elementar-Bunttöne Ausgabe: keine Eingabeänderung

Eingabe: Farbmimetrisches Offset-Reflektiv-System ORS18

für Buntton $h^* = lab^*h = 77/360 = 0.215$

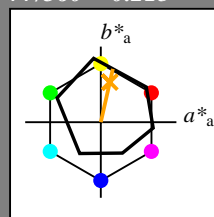
lab^*tch und lab^*nch

D65: Buntton R75J

LCH*Ma: 77 72 77

olv*Ma: 1.0 0.63 0.0

Dreiecks-Helligkeit t^*



%Umfang

$u^*_{rel} = 85$

%Regularität

$g^*_{H,rel} = 57$

$g^*_{C,rel} = 59$

ORS18; adaptierte CIELAB-Daten

	$L^*=L^*_a$	a^*_a	b^*_a	$C^*_{ab,a}$	$h^*_{ab,a}$
O _{Ma}	51.74	60.16	46.48	76.02	38
Y _{Ma}	90.77	-9.44	84.41	84.94	96
L _{Ma}	54.46	-57.8	32.16	66.15	151
C _{Ma}	61.56	-27.91	-41.41	49.95	236
V _{Ma}	31.3	28.61	-40.85	49.88	305
M _{Ma}	51.91	69.26	-7.69	69.68	354
N _{Ma}	24.2	0.0	0.0	0.0	0
W _{Ma}	95.41	0.0	0.0	0.0	0
R _{CIE}	44.36	53.97	24.82	59.4	25
J _{CIE}	82.39	-1.99	62.34	62.37	92
G _{CIE}	55.68	-38.87	10.82	40.36	164
B _{CIE}	35.76	1.06	-43.09	43.11	271

Ausgabe: Farbmimetrisches Offset-Reflektiv-System ORS18

für Buntton $h^* = lab^*h = 77/360 = 0.215$

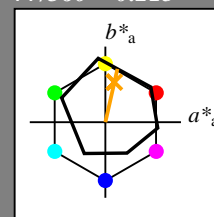
lab^*tch und lab^*nch

D65: Buntton R75J

LCH*Ma: 77 72 77

olv*Ma: 1.0 0.63 0.0

Dreiecks-Helligkeit t^*



%Umfang

$u^*_{rel} = 85$

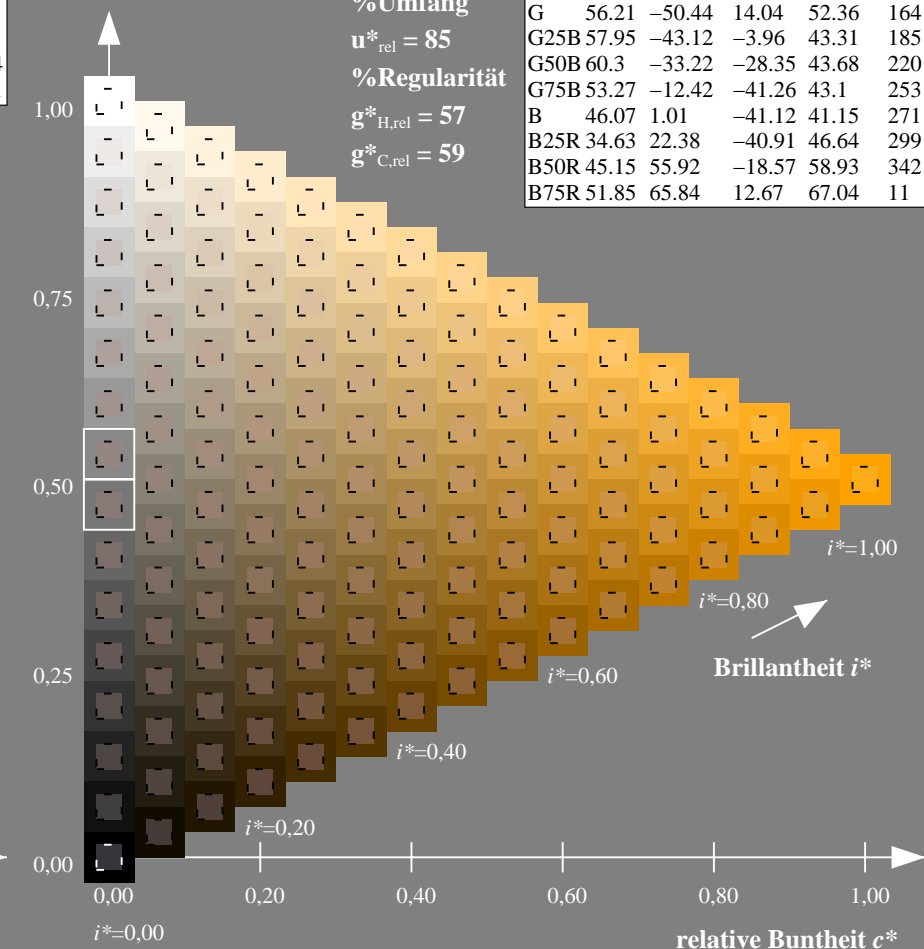
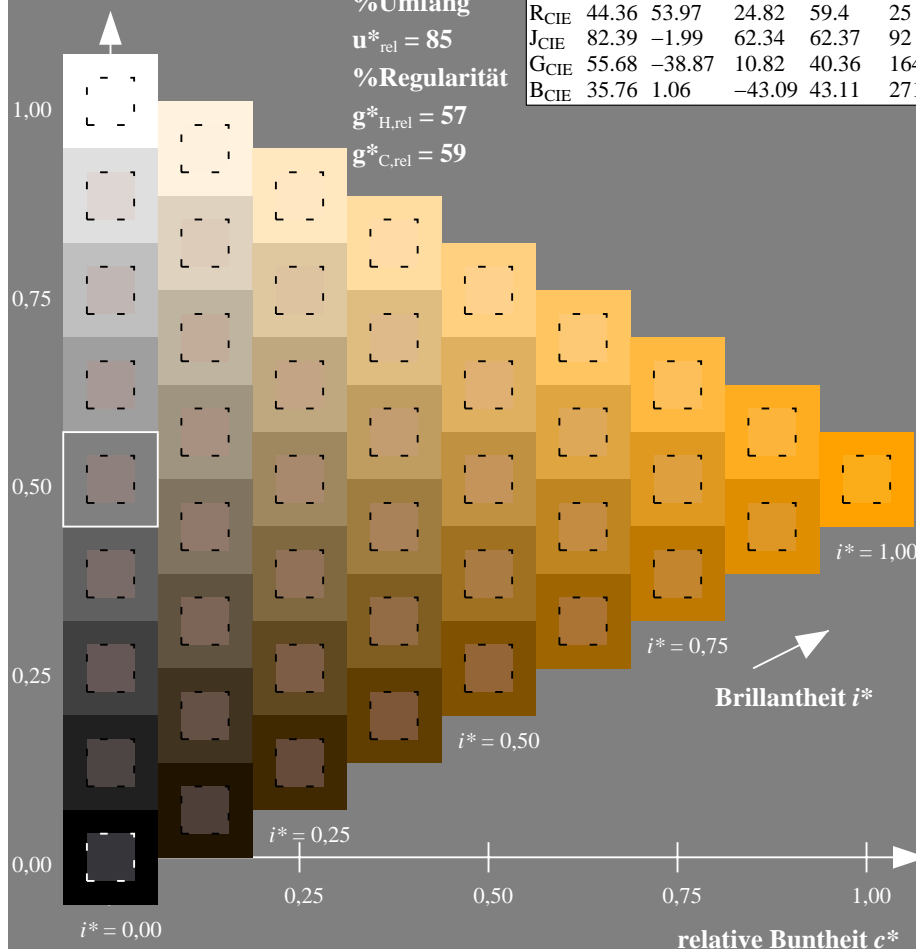
%Regularität

$g^*_{H,rel} = 57$

$g^*_{C,rel} = 59$

ORS18; adaptierte CIELAB-Daten

	$L^*=L^*_a$	a^*_a	b^*_a	$C^*_{ab,a}$	$h^*_{ab,a}$
R	51.79	63.09	29.02	69.44	25
R25J	53.73	56.6	48.42	74.48	41
R50J	65.47	35.67	59.82	69.65	59
R75J	76.51	15.98	70.55	72.34	77
J	86.93	-2.58	80.67	80.71	92
J25G	84.92	-17.23	75.99	77.92	103
J50G	73.11	-32.96	59.0	67.58	119
J75G	60.06	-50.34	40.22	64.44	141
G	56.21	-50.44	14.04	52.36	164
G25B	57.95	-43.12	-3.96	43.31	185
G50B	60.3	-33.22	-28.35	43.68	220
G75B	53.27	-12.42	-41.26	43.1	253
B	46.07	1.01	-41.12	41.15	271
B25R	34.63	22.38	-40.91	46.64	299
B50R	45.15	55.92	-18.57	58.93	342
B75R	51.85	65.84	12.67	67.04	11



Siehe ähnliche Dateien: <http://www.ps.bam.de/ZG92/>; www.ps.bam.de/ZG.HTM
Technische Information: <http://www.ps.bam.de> Version 2.1, io=1,1, CIELAB

BAM-Registrierung: 20071001-ZG92/10L/L92G00FP.PS/.PDF BAM-Material: Code=rh4ta
Anwendung für Beurteilung und Messung von Drucker- oder Monitorsystemen

Eingabe: Farbmétrisches Offset-Reflektiv-System ORS18

für Buntton $h^* = lab^*h = 92/360 = 0.255$

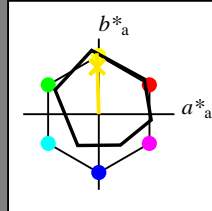
lab^*tch und lab^*nch

D65: Buntton J

LCH*Ma: 87 81 92

olv*Ma: 1.0 0.9 0.0

Dreiecks-Helligkeit t^*



%Umfang

$u^*_{rel} = 85$

%Regularität

$g^*_{H,rel} = 57$

$g^*_{C,rel} = 59$

ORS18; adaptierte CIELAB-Daten					
	$L^*=L^*_a$	a^*_a	b^*_a	$C^*_{ab,a}$	$h^*_{ab,a}$
O _{Ma}	51.74	60.16	46.48	76.02	38
Y _{Ma}	90.77	-9.44	84.41	84.94	96
L _{Ma}	54.46	-57.8	32.16	66.15	151
C _{Ma}	61.56	-27.91	-41.41	49.95	236
V _{Ma}	31.3	28.61	-40.85	49.88	305
M _{Ma}	51.91	69.26	-7.69	69.68	354
N _{Ma}	24.2	0.0	0.0	0.0	0
W _{Ma}	95.41	0.0	0.0	0.0	0
R _{CIE}	44.36	53.97	24.82	59.4	25
J _{CIE}	82.39	-1.99	62.34	62.37	92
G _{CIE}	55.68	-38.87	10.82	40.36	164
B _{CIE}	35.76	1.06	-43.09	43.11	271

Ausgabe: Farbmétrisches Offset-Reflektiv-System ORS18

für Buntton $h^* = lab^*h = 92/360 = 0.255$

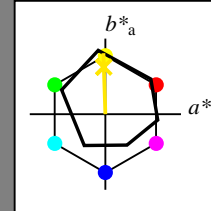
lab^*tch und lab^*nch

D65: Buntton J

LCH*Ma: 87 81 92

olv*Ma: 1.0 0.9 0.0

Dreiecks-Helligkeit t^*



%Umfang

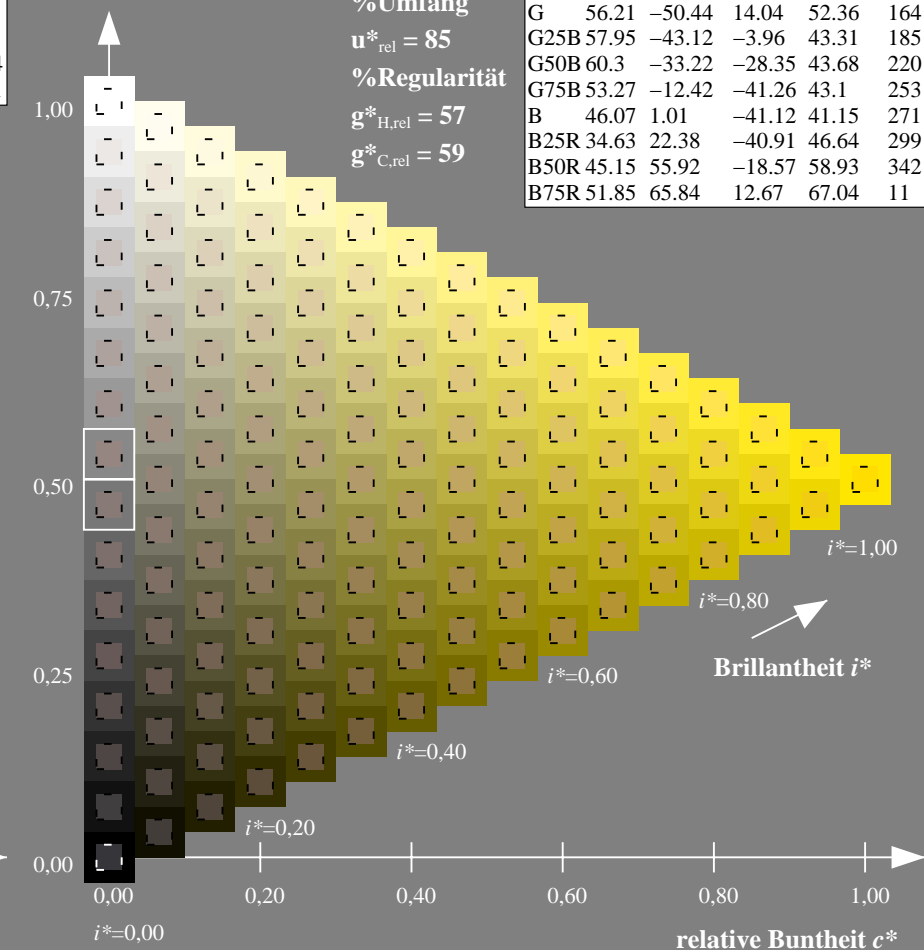
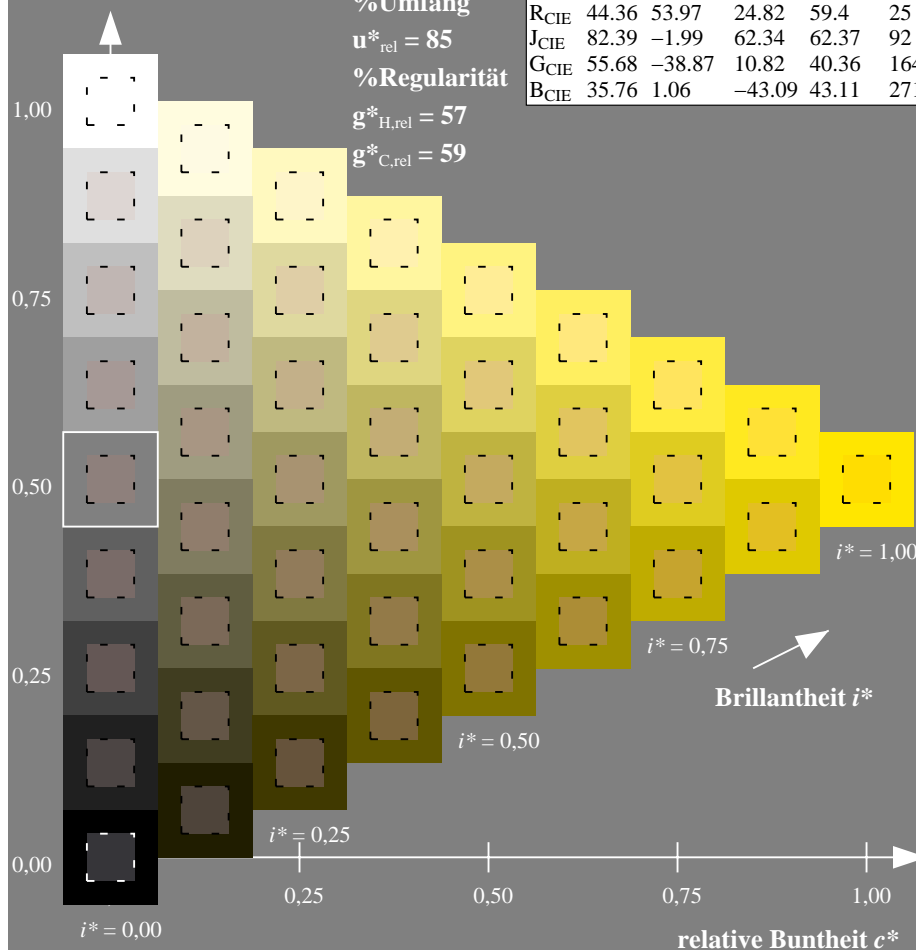
$u^*_{rel} = 85$

%Regularität

$g^*_{H,rel} = 57$

$g^*_{C,rel} = 59$

ORS18; adaptierte CIELAB-Daten					
	$L^*=L^*_a$	a^*_a	b^*_a	$C^*_{ab,a}$	$h^*_{ab,a}$
R	51.79	63.09	29.02	69.44	25
R25J	53.73	56.6	48.42	74.48	41
R50J	65.47	35.67	59.82	69.65	59
R75J	76.51	15.98	70.55	72.34	77
J	86.93	-2.58	80.67	80.71	92
J25G	84.92	-17.23	75.99	77.92	103
J50G	73.11	-32.96	59.0	67.58	119
J75G	60.06	-50.34	40.22	64.44	141
G	56.21	-50.44	14.04	52.36	164
G25B	57.95	-43.12	-3.96	43.31	185
G50B	60.3	-33.22	-28.35	43.68	220
G75B	53.27	-12.42	-41.26	43.1	253
B	46.07	1.01	-41.12	41.15	271
B25R	34.63	22.38	-40.91	46.64	299
B50R	45.15	55.92	-18.57	58.93	342
B75R	51.85	65.84	12.67	67.04	11



Eingabe: Farbmétrisches Offset-Reflektiv-System ORS18

für Buntton $h^* = lab^*h = 103/360 = 0.286$

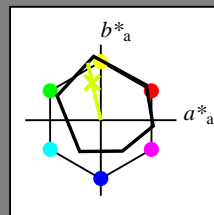
lab^*tch und lab^*nch

D65: Buntton J25G

LCH*Ma: 85 78 103

olv*Ma: 0.84 1.0 0.0

Dreiecks-Helligkeit t^*



%Umfang

$u^*_{rel} = 85$

%Regularität

$g^*_{H,rel} = 57$

$g^*_{C,rel} = 59$

ORS18; adaptierte CIELAB-Daten

	$L^*=L^*_a$	a^*_a	b^*_a	$C^*_{ab,a}$	$h^*_{ab,a}$
O _{Ma}	51.74	60.16	46.48	76.02	38
Y _{Ma}	90.77	-9.44	84.41	84.94	96
L _{Ma}	54.46	-57.8	32.16	66.15	151
C _{Ma}	61.56	-27.91	-41.41	49.95	236
V _{Ma}	31.3	28.61	-40.85	49.88	305
M _{Ma}	51.91	69.26	-7.69	69.68	354
N _{Ma}	24.2	0.0	0.0	0.0	0
W _{Ma}	95.41	0.0	0.0	0.0	0
R _{CIE}	44.36	53.97	24.82	59.4	25
J _{CIE}	82.39	-1.99	62.34	62.37	92
G _{CIE}	55.68	-38.87	10.82	40.36	164
B _{CIE}	35.76	1.06	-43.09	43.11	271

Ausgabe: Farbmétrisches Offset-Reflektiv-System ORS18

für Buntton $h^* = lab^*h = 103/360 = 0.286$

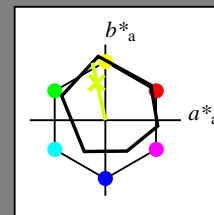
lab^*tch und lab^*nch

D65: Buntton J25G

LCH*Ma: 85 78 103

olv*Ma: 0.84 1.0 0.0

Dreiecks-Helligkeit t^*



%Umfang

$u^*_{rel} = 85$

%Regularität

$g^*_{H,rel} = 57$

$g^*_{C,rel} = 59$

ORS18; adaptierte CIELAB-Daten

	$L^*=L^*_a$	a^*_a	b^*_a	$C^*_{ab,a}$	$h^*_{ab,a}$
R	51.79	63.09	29.02	69.44	25
R25J	53.73	56.6	48.42	74.48	41
R50J	65.47	35.67	59.82	69.65	59
R75J	76.51	15.98	70.55	72.34	77
J	86.93	-2.58	80.67	80.71	92
J25G	84.92	-17.23	75.99	77.92	103
J50G	73.11	-32.96	59.0	67.58	119
J75G	60.06	-50.34	40.22	64.44	141
G	56.21	-50.44	14.04	52.36	164
G25B	57.95	-43.12	-3.96	43.31	185
G50B	60.3	-33.22	-28.35	43.68	220
G75B	53.27	-12.42	-41.26	43.1	253
B	46.07	1.01	-41.12	41.15	271
B25R	34.63	22.38	-40.91	46.64	299
B50R	45.15	55.92	-18.57	58.93	342
B75R	51.85	65.84	12.67	67.04	11

%Umfang

$u^*_{rel} = 85$

%Regularität

$g^*_{H,rel} = 57$

$g^*_{C,rel} = 59$

%Umfang

$u^*_{rel} = 85$

%Regularität

$g^*_{H,rel} = 57$

$g^*_{C,rel} = 59$

%Umfang

$u^*_{rel} = 85$

%Regularität

$g^*_{H,rel} = 57$

$g^*_{C,rel} = 59$

%Umfang

$u^*_{rel} = 85$

%Regularität

$g^*_{H,rel} = 57$

$g^*_{C,rel} = 59$

%Umfang

$u^*_{rel} = 85$

%Regularität

$g^*_{H,rel} = 57$

$g^*_{C,rel} = 59$

%Umfang

$u^*_{rel} = 85$

%Regularität

$g^*_{H,rel} = 57$

$g^*_{C,rel} = 59$

%Umfang

$u^*_{rel} = 85$

%Regularität

$g^*_{H,rel} = 57$

$g^*_{C,rel} = 59$

%Umfang

$u^*_{rel} = 85$

%Regularität

$g^*_{H,rel} = 57$

$g^*_{C,rel} = 59$

%Umfang

$u^*_{rel} = 85$

%Regularität

$g^*_{H,rel} = 57$

$g^*_{C,rel} = 59$

%Umfang

$u^*_{rel} = 85$

%Regularität

$g^*_{H,rel} = 57$

$g^*_{C,rel} = 59$

%Umfang

$u^*_{rel} = 85$

%Regularität

$g^*_{H,rel} = 57$

$g^*_{C,rel} = 59$

%Umfang

$u^*_{rel} = 85$

%Regularität

$g^*_{H,rel} = 57$

$g^*_{C,rel} = 59$

%Umfang

$u^*_{rel} = 85$

%Regularität

$g^*_{H,rel} = 57$

$g^*_{C,rel} = 59$

%Umfang

$u^*_{rel} = 85$

%Regularität

$g^*_{H,rel} = 57$

$g^*_{C,rel} = 59$

%Umfang

$u^*_{rel} = 85$

%Regularität

$g^*_{H,rel} = 57$

$g^*_{C,rel} = 59$

%Umfang

$u^*_{rel} = 85$

%Regularität

$g^*_{H,rel} = 57$

$g^*_{C,rel} = 59$

%Umfang

$u^*_{rel} = 85$

%Regularität

$g^*_{H,rel} = 57$

$g^*_{C,rel} = 59$

%Umfang

$u^*_{rel} = 85$

%Regularität

$g^*_{H,rel} = 57$

$g^*_{C,rel} = 59$

%Umfang

$u^*_{rel} = 85$

%Regularität

$g^*_{H,rel} = 57$

$g^*_{C,rel} = 59$

%Umfang

$u^*_{rel} = 85$

%Regularität

$g^*_{H,rel} = 57$

$g^*_{C,rel} = 59$

%Umfang

$u^*_{rel} = 85$

%Regularität

$g^*_{H,rel} = 57$

$g^*_{C,rel} = 59$

%Umfang

$u^*_{rel} = 85$

%Regularität

$g^*_{H,rel} = 57$

$g^*_{C,rel} = 59$

%Umfang

$u^*_{rel} = 85$

%Regularität

$g^*_{H,rel} = 57$

$g^*_{C,rel} = 59$

%Umfang

$u^*_{rel} = 85$

%Regularität

$g^*_{H,rel} = 57$

$g^*_{C,rel} = 59$

%Umfang

$u^*_{rel} = 85$

%Regularität

$g^*_{H,rel} = 57$

$g^*_{C,rel} = 59$

%Umfang

$u^*_{rel} = 85$

%Regularität

$g^*_{H,rel} = 57$

$g^*_{C,rel} = 59$

%Umfang

$u^*_{rel} = 85$

%Regularität

$g^*_{H,rel} = 57$

$g^*_{C,rel} = 59$

%Umfang

$u^*_{rel} = 85$

%Regularität

$g^*_{H,rel} = 57$

$g^*_{C,rel} = 59$

%Umfang

$u^*_{rel} = 85$

%Regularität

$g^*_{H,rel} = 57$

$g^*_{C,rel} = 59$

%Umfang

$u^*_{rel} = 85$

%Regularität

$g^*_{H,rel} = 57$

$g^*_{C,rel} = 59$

%Umfang

$u^*_{rel} = 85$

%Regularität

$g^*_{H,rel} = 57$

$g^*_{C,rel} = 59$

%Umfang

$u^*_{rel} = 85$

%Regularität

$g^*_{H,rel} = 57$

$g^*_{C,rel} = 59$

%Umfang

$u^*_{rel} = 85$

%Regularität

$g^*_{H,rel} = 57$

$g^*_{C,rel} = 59$

%Umfang

$u^*_{rel} = 85$

%Regularität

$g^*_{H,rel} = 57$

$g^*_{C,rel} = 59$

%Umfang

$u^*_{rel} = 85$

%Regularität

$g^*_{H,rel} = 57$

$g^*_{C,rel} = 59$

%Umfang

$u^*_{rel} = 85$

%Regularität

$g^*_{H,rel} = 57$

$g^*_{C,rel} = 59$

%Umfang

$u^*_{rel} = 85$

%Regularität

$g^*_{H,rel} = 57$

$g^*_{C,rel} = 59$

%Umfang

$u^*_{rel} = 85$

%Regularität

$g^*_{H,rel} = 57$

$g^*_{C,rel} = 59$

%Umfang

$u^*_{rel} = 85$

%Regularität

$g^*_{H,rel} = 57$

$g^*_{C,rel} = 59$

%Umfang

$u^*_{rel} = 85$

%Regularität

$g^*_{H,rel} = 57$

$g^*_{C,rel} = 59$

Eingabe: Farbmétrisches Offset-Reflektiv-System ORS18

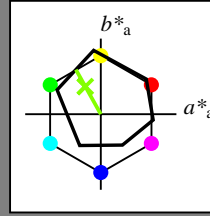
für Buntton $h^* = lab^*h = 119/360 = 0.331$

*lab*tch* und *lab*nch*

D65: Buntton J50G

LCH*Ma: 73 68 119

olv*Ma: 0.51 1.0 0.0

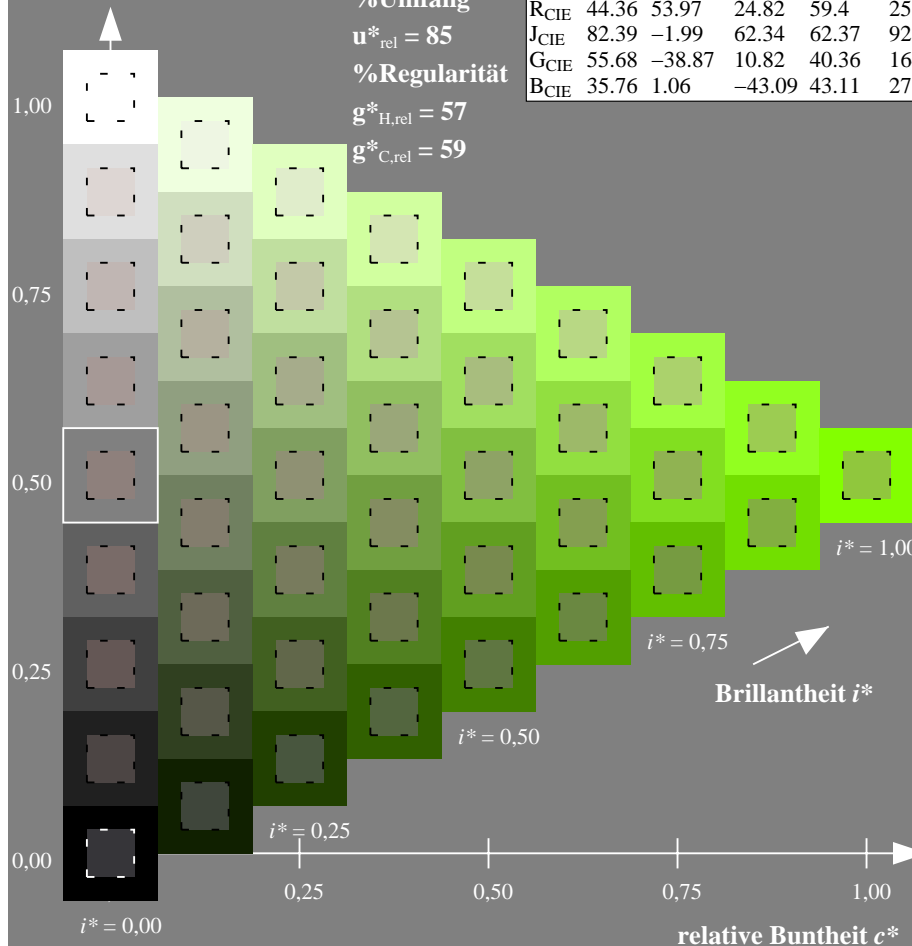


Dreiecks-Helligkeit t^*

%Umfang

$$\mathbf{u}_{\text{rel}}^* = 85$$

%Regularität

$$g^*_{H,rel} = 57$$
$$g^*_{C,rel} = 59$$


ZG920-7F, 9stufige Reihen für konstanten CIELAB Buntton $119/360 = 0.331$ (links)

Seite 7/96

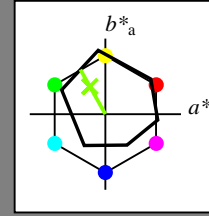
Ausgabe: Farbmétrisches Offset-Reflektiv-System ORS18

für Buntton $h^* = lab^*h = 119/360 = 0.331$

lab*tch* und *lab*nch

D65: Buntton J50G

LCH*Ma: 73 68 119

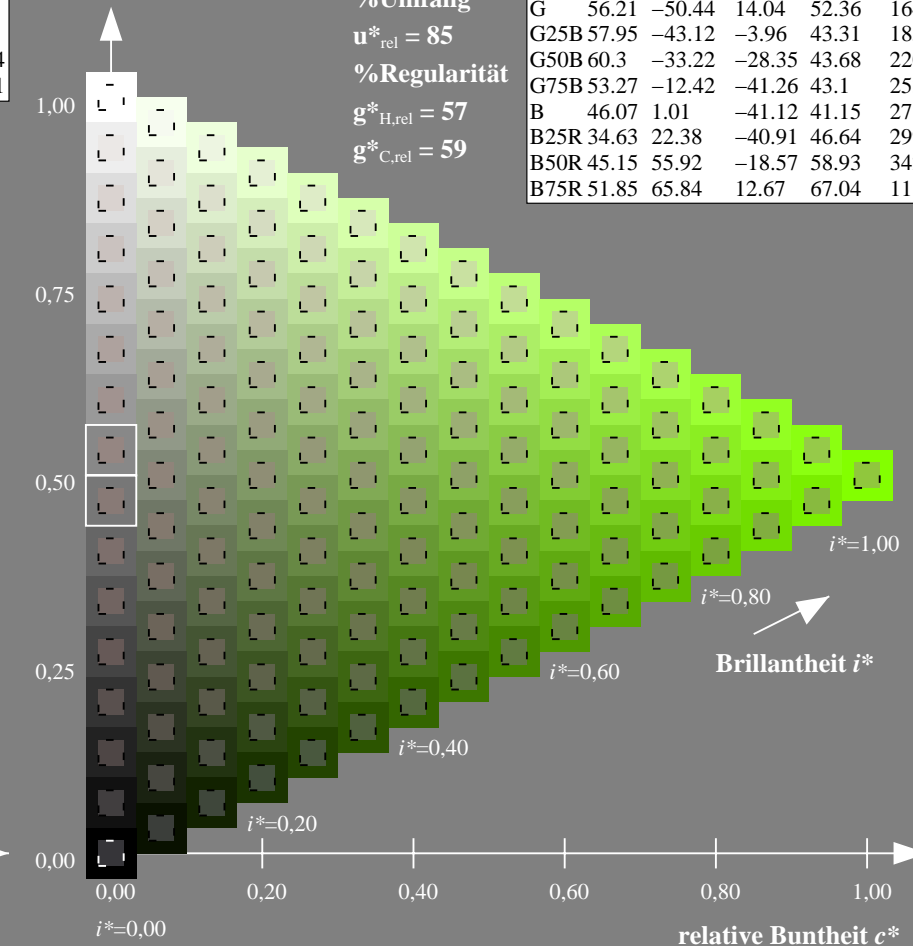


Dreiecks-Helligkeit t^*

%Umfang

$$\mathbf{u}_{\text{rel}}^* = 85$$

%Regularität

$$g^*_{H,rel} = 57$$
$$g^*_{C,rel} = 59$$


ZG920-7F, 16stufige Reihen für konstanten CIELAB Buntton $119/360 = 0.331$ (rechts)

BAM-Prüfvorlage ZG92; Farbmimetrik-Systeme, Seite 7/96 Eingabe: *rgb / cmy0 set(rgb/cmyk)color*
D65: 9 und 16stufige Farbreihen für 16 Elementar-Bunttöne Ausgabe: keine Eingabeänderung

Eingabe: *rgb / cmy0 set(rgb/cmyk*
neAusgabe: keine Eingabeänderung

BAM-Registrierung: 20071001-ZG92/10L/L92G00FP.PS/.PDF BAM-Material: Code=rh4data
Anwendung für Beurteilung und Messung von Drucker- oder Monitorsystemen

Eingabe: Farbmétrisches Offset-Reflektiv-System ORS18

für Buntton $h^* = lab^*h = 141/360 = 0.393$

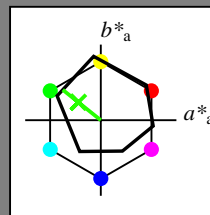
lab^*tch und lab^*nch

D65: Buntton J75G

LCH*Ma: 60 64 141

olv*Ma: 0.15 1.0 0.0

Dreiecks-Helligkeit t^*



%Umfang

$u^*_{rel} = 85$

%Regularität

$g^*_{H,rel} = 57$

$g^*_{C,rel} = 59$

ORS18; adaptierte CIELAB-Daten

	$L^*=L^*_a$	a^*_a	b^*_a	$C^*_{ab,a}$	$h^*_{ab,a}$
O _{Ma}	51.74	60.16	46.48	76.02	38
Y _{Ma}	90.77	-9.44	84.41	84.94	96
L _{Ma}	54.46	-57.8	32.16	66.15	151
C _{Ma}	61.56	-27.91	-41.41	49.95	236
V _{Ma}	31.3	28.61	-40.85	49.88	305
M _{Ma}	51.91	69.26	-7.69	69.68	354
N _{Ma}	24.2	0.0	0.0	0.0	0
W _{Ma}	95.41	0.0	0.0	0.0	0
R _{CIE}	44.36	53.97	24.82	59.4	25
J _{CIE}	82.39	-1.99	62.34	62.37	92
G _{CIE}	55.68	-38.87	10.82	40.36	164
B _{CIE}	35.76	1.06	-43.09	43.11	271

Ausgabe: Farbmétrisches Offset-Reflektiv-System ORS18

für Buntton $h^* = lab^*h = 141/360 = 0.393$

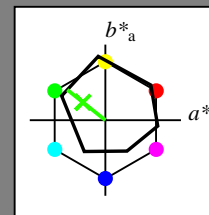
lab^*tch und lab^*nch

D65: Buntton J75G

LCH*Ma: 60 64 141

olv*Ma: 0.15 1.0 0.0

Dreiecks-Helligkeit t^*



%Umfang

$u^*_{rel} = 85$

%Regularität

$g^*_{H,rel} = 57$

$g^*_{C,rel} = 59$

ORS18; adaptierte CIELAB-Daten

	$L^*=L^*_a$	a^*_a	b^*_a	$C^*_{ab,a}$	$h^*_{ab,a}$
R	51.79	63.09	29.02	69.44	25
R25J	53.73	56.6	48.42	74.48	41
R50J	65.47	35.67	59.82	69.65	59
R75J	76.51	15.98	70.55	72.34	77
J	86.93	-2.58	80.67	80.71	92
J25G	84.92	-17.23	75.99	77.92	103
J50G	73.11	-32.96	59.0	67.58	119
J75G	60.06	-50.34	40.22	64.44	141
G	56.21	-50.44	14.04	52.36	164
G25B	57.95	-43.12	-3.96	43.31	185
G50B	60.3	-33.22	-28.35	43.68	220
G75B	53.27	-12.42	-41.26	43.1	253
B	46.07	1.01	-41.12	41.15	271
B25R	34.63	22.38	-40.91	46.64	299
B50R	45.15	55.92	-18.57	58.93	342
B75R	51.85	65.84	12.67	67.04	11

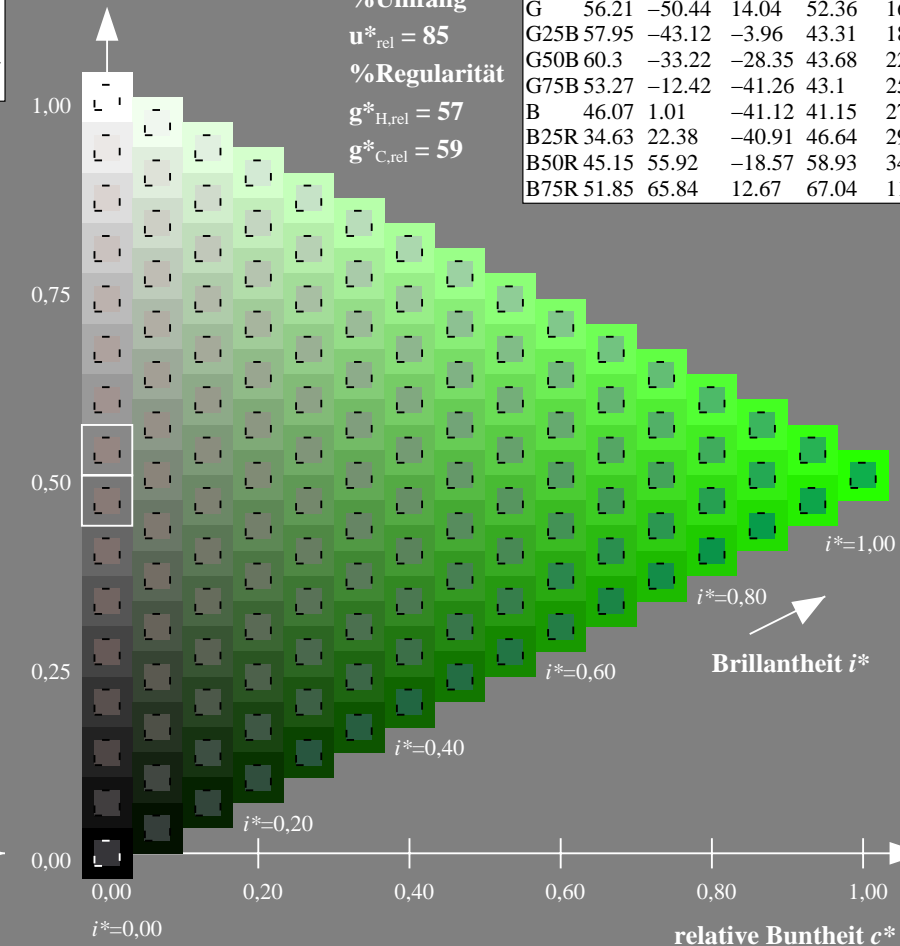
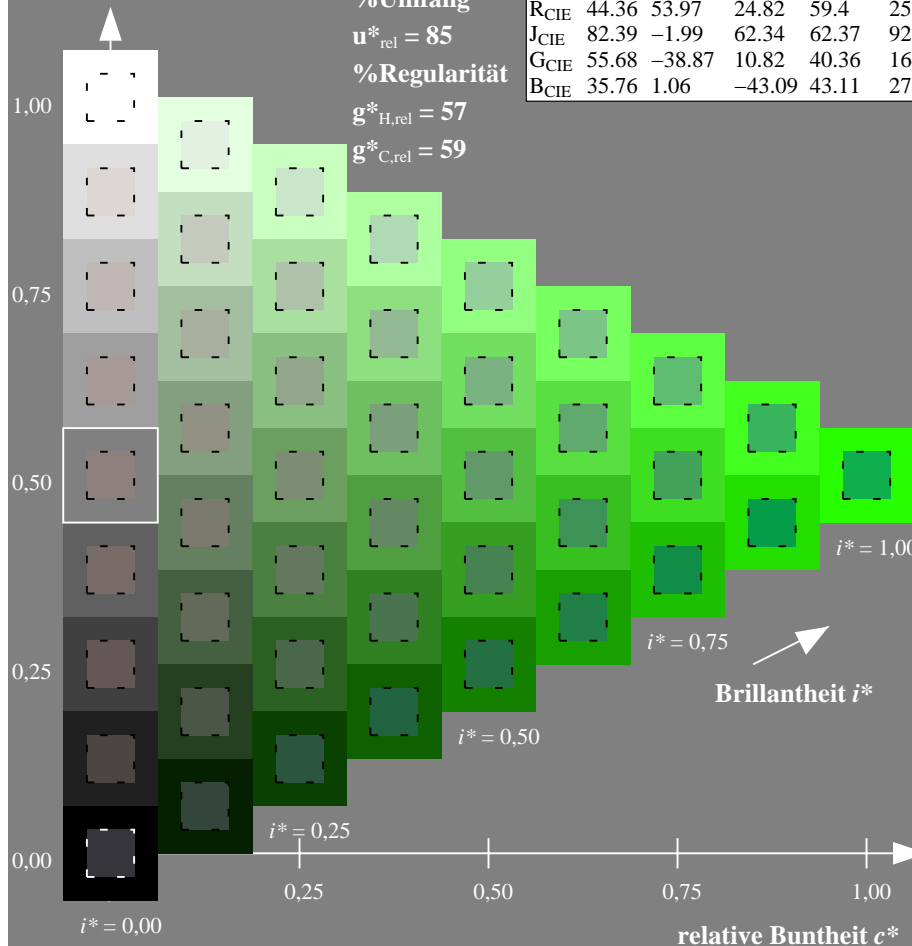
%Umfang

$u^*_{rel} = 85$

%Regularität

$g^*_{H,rel} = 57$

$g^*_{C,rel} = 59$



Siehe ähnliche Dateien: <http://www.ps.bam.de/ZG92/>; www.ps.bam.de/ZG.HTM
Technische Information: <http://www.ps.bam.de> Version 2.1, io=1,1, CIELAB

BAM-Registrierung: 20071001-ZG92/10L/L92G00FP.PS/.PDF BAM-Material: Code=rh4ta
Anwendung für Beurteilung und Messung von Drucker- oder Monitorsystemen

ZG920-7F, 9stufige Reihen für konstanten CIELAB Buntton 141/360 = 0.393 (links)

Seite 8/96

ZG920-7F, 16stufige Reihen für konstanten CIELAB Buntton 141/360 = 0.393 (rechts)

BAM-Prüfvorlage ZG92; Farbmétrik-Systeme, Seite 8/96 Eingabe: $rgb / cmy0 set(rgb/cmyk)color$
D65: 9 und 16stufige Farbreihen für 16 Elementar-Bunttöne Ausgabe: keine Eingabeänderung

Eingabe: Farbmétrisches Offset-Reflektiv-System ORS18

für Buntton $h^* = lab^*h = 164/360 = 0.457$

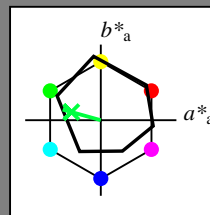
lab^*tch und lab^*nch

D65: Buntton G

LCH*Ma: 56 52 164

olv*Ma: 0.0 1.0 0.25

Dreiecks-Helligkeit t^*



%Umfang

$u^*_{rel} = 85$

%Regularität

$g^*_{H,rel} = 57$

$g^*_{C,rel} = 59$

ORS18; adaptierte CIELAB-Daten

	$L^*=L^*_a$	a^*_a	b^*_a	$C^*_{ab,a}$	$h^*_{ab,a}$
O _{Ma}	51.74	60.16	46.48	76.02	38
Y _{Ma}	90.77	-9.44	84.41	84.94	96
L _{Ma}	54.46	-57.8	32.16	66.15	151
C _{Ma}	61.56	-27.91	-41.41	49.95	236
V _{Ma}	31.3	28.61	-40.85	49.88	305
M _{Ma}	51.91	69.26	-7.69	69.68	354
N _{Ma}	24.2	0.0	0.0	0.0	0
W _{Ma}	95.41	0.0	0.0	0.0	0
R _{CIE}	44.36	53.97	24.82	59.4	25
J _{CIE}	82.39	-1.99	62.34	62.37	92
G _{CIE}	55.68	-38.87	10.82	40.36	164
B _{CIE}	35.76	1.06	-43.09	43.11	271

Ausgabe: Farbmétrisches Offset-Reflektiv-System ORS18

für Buntton $h^* = lab^*h = 164/360 = 0.457$

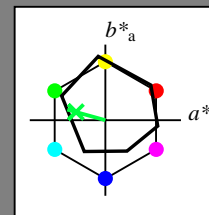
lab^*tch und lab^*nch

D65: Buntton G

LCH*Ma: 56 52 164

olv*Ma: 0.0 1.0 0.25

Dreiecks-Helligkeit t^*



%Umfang

$u^*_{rel} = 85$

%Regularität

$g^*_{H,rel} = 57$

$g^*_{C,rel} = 59$

ORS18; adaptierte CIELAB-Daten

	$L^*=L^*_a$	a^*_a	b^*_a	$C^*_{ab,a}$	$h^*_{ab,a}$
R	51.79	63.09	29.02	69.44	25
R25J	53.73	56.6	48.42	74.48	41
R50J	65.47	35.67	59.82	69.65	59
R75J	76.51	15.98	70.55	72.34	77
J	86.93	-2.58	80.67	80.71	92
J25G	84.92	-17.23	75.99	77.92	103
J50G	73.11	-32.96	59.0	67.58	119
J75G	60.06	-50.34	40.22	64.44	141
G	56.21	-50.44	14.04	52.36	164
G25B	57.95	-43.12	-3.96	43.31	185
G50B	60.3	-33.22	-28.35	43.68	220
G75B	53.27	-12.42	-41.26	43.1	253
B	46.07	1.01	-41.12	41.15	271
B25R	34.63	22.38	-40.91	46.64	299
B50R	45.15	55.92	-18.57	58.93	342
B75R	51.85	65.84	12.67	67.04	11

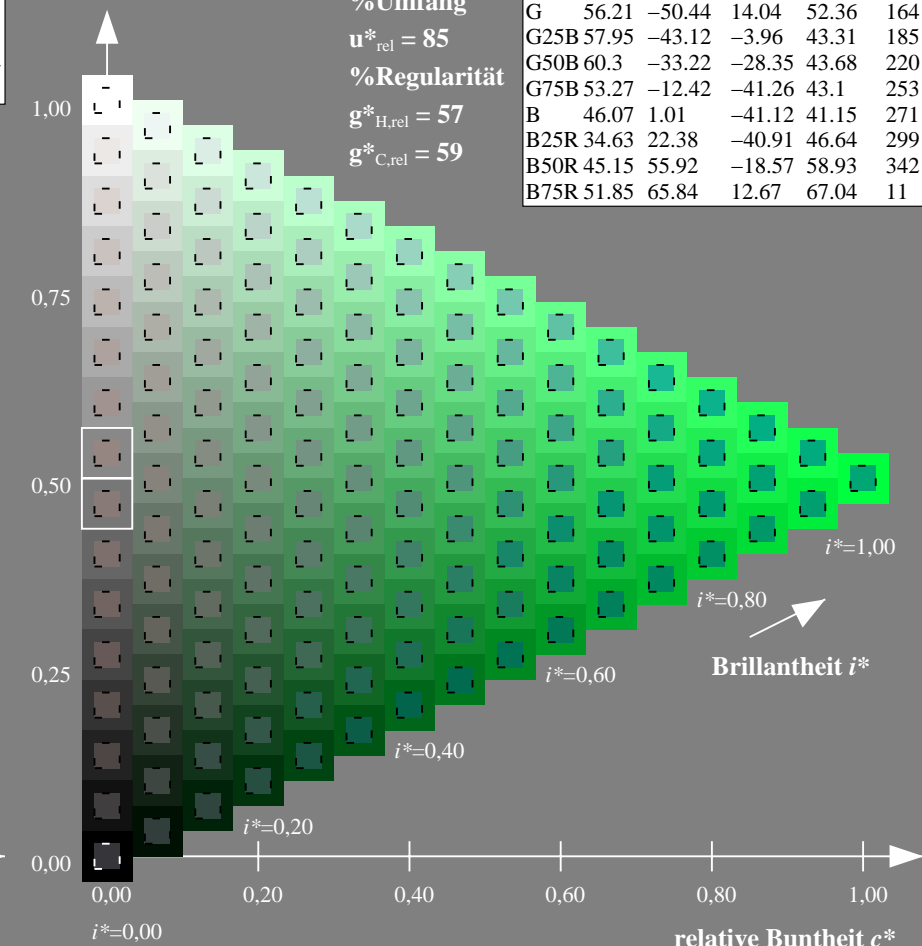
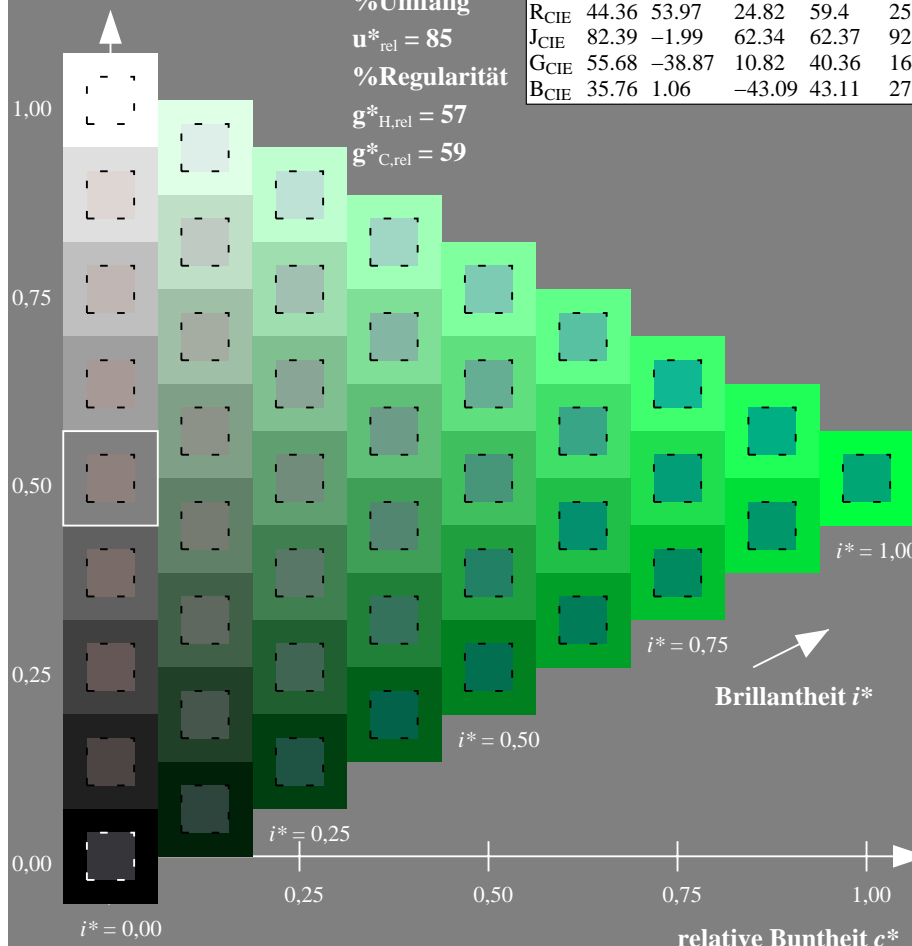
%Umfang

$u^*_{rel} = 85$

%Regularität

$g^*_{H,rel} = 57$

$g^*_{C,rel} = 59$



ZG920-7F, 9stufige Reihen für konstanten CIELAB Buntton 164/360 = 0.457 (links)

Seite 9/96

ZG920-7F, 16stufige Reihen für konstanten CIELAB Buntton 164/360 = 0.457 (rechts)

BAM-Prüfvorlage ZG92; Farbmétrik-Systeme, Seite 9/96 Eingabe: $rgb / cmy0 set(rgb/cmyk)color$
D65: 9 und 16stufige Farbreihen für 16 Elementar-Bunttöne Ausgabe: keine Eingabeänderung

Eingabe: Farbmétrisches Offset-Reflektiv-System ORS18

für Buntton $h^* = lab^*h = 185/360 = 0.515$

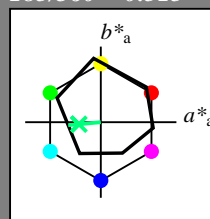
lab^*tch und lab^*nch

D65: Buntton G25B

LCH*Ma: 58 43 185

olv*Ma: 0.0 1.0 0.49

Dreiecks-Helligkeit t^*



%Umfang

$u^*_{rel} = 85$

%Regularität

$g^*_{H,rel} = 57$

$g^*_{C,rel} = 59$

ORS18; adaptierte CIELAB-Daten

	$L^*=L^*_a$	a^*_a	b^*_a	$C^*_{ab,a}$	$h^*_{ab,a}$
O _{Ma}	51.74	60.16	46.48	76.02	38
Y _{Ma}	90.77	-9.44	84.41	84.94	96
L _{Ma}	54.46	-57.8	32.16	66.15	151
C _{Ma}	61.56	-27.91	-41.41	49.95	236
V _{Ma}	31.3	28.61	-40.85	49.88	305
M _{Ma}	51.91	69.26	-7.69	69.68	354
N _{Ma}	24.2	0.0	0.0	0.0	0
W _{Ma}	95.41	0.0	0.0	0.0	0
R _{CIE}	44.36	53.97	24.82	59.4	25
J _{CIE}	82.39	-1.99	62.34	62.37	92
G _{CIE}	55.68	-38.87	10.82	40.36	164
B _{CIE}	35.76	1.06	-43.09	43.11	271

Ausgabe: Farbmétrisches Offset-Reflektiv-System ORS18

für Buntton $h^* = lab^*h = 185/360 = 0.515$

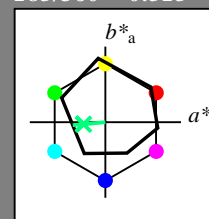
lab^*tch und lab^*nch

D65: Buntton G25B

LCH*Ma: 58 43 185

olv*Ma: 0.0 1.0 0.49

Dreiecks-Helligkeit t^*



%Umfang

$u^*_{rel} = 85$

%Regularität

$g^*_{H,rel} = 57$

$g^*_{C,rel} = 59$

ORS18; adaptierte CIELAB-Daten

	$L^*=L^*_a$	a^*_a	b^*_a	$C^*_{ab,a}$	$h^*_{ab,a}$
R	51.79	63.09	29.02	69.44	25
R25J	53.73	56.6	48.42	74.48	41
R50J	65.47	35.67	59.82	69.65	59
R75J	76.51	15.98	70.55	72.34	77
J	86.93	-2.58	80.67	80.71	92
J25G	84.92	-17.23	75.99	77.92	103
J50G	73.11	-32.96	59.0	67.58	119
J75G	60.06	-50.34	40.22	64.44	141
G	56.21	-50.44	14.04	52.36	164
G25B	57.95	-43.12	-3.96	43.31	185
G50B	60.3	-33.22	-28.35	43.68	220
G75B	53.27	-12.42	-41.26	43.1	253
B	46.07	1.01	-41.12	41.15	271
B25R	34.63	22.38	-40.91	46.64	299
B50R	45.15	55.92	-18.57	58.93	342
B75R	51.85	65.84	12.67	67.04	11

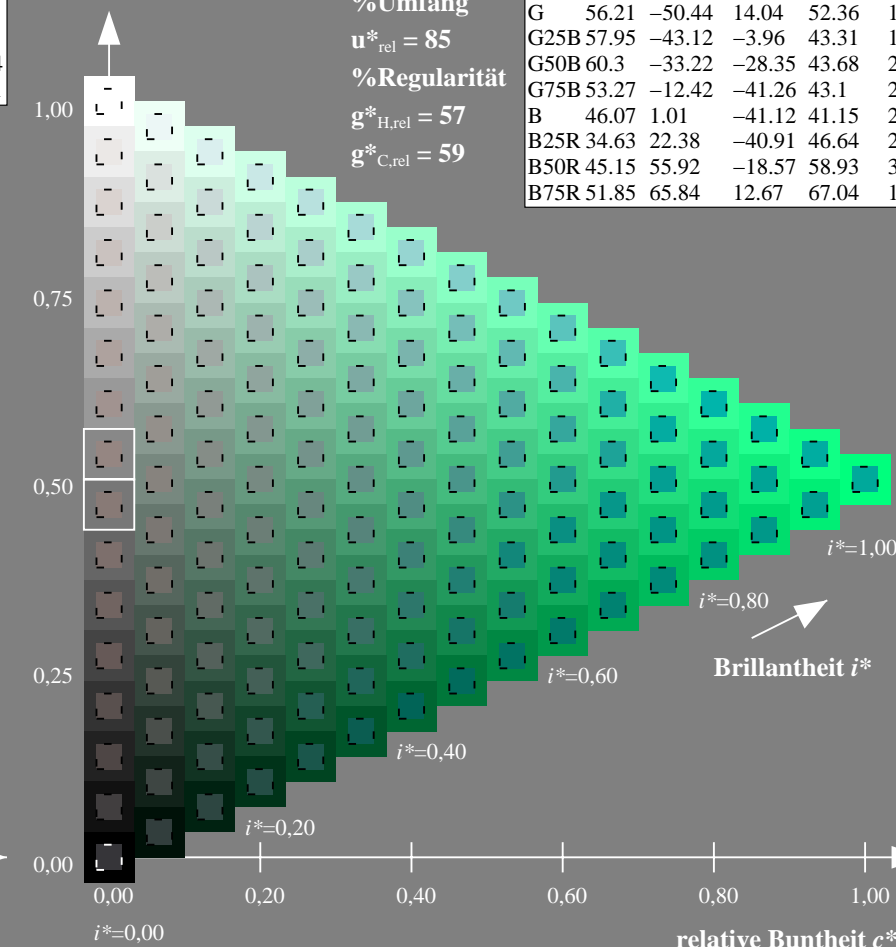
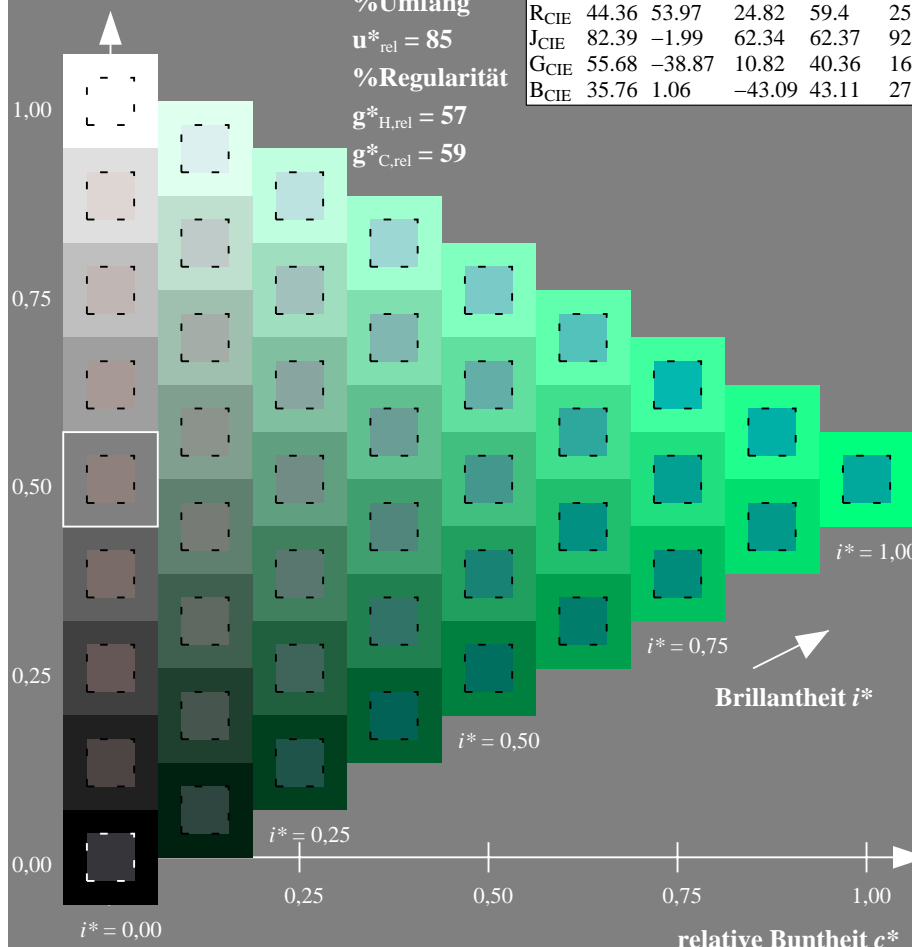
%Umfang

$u^*_{rel} = 85$

%Regularität

$g^*_{H,rel} = 57$

$g^*_{C,rel} = 59$



Siehe ähnliche Dateien: <http://www.ps.bam.de/ZG92/>; www.ps.bam.de/ZG.HTM
Technische Information: <http://www.ps.bam.de> Version 2.1, io=1,1, CIELAB

BAM-Registrierung: 20071001-ZG92/10L/L92G00FP.PS/.PDF BAM-Material: Code=rh4ta
Anwendung für Beurteilung und Messung von Drucker- oder Monitorsystemen

ZG920-7F, 9stufige Reihen für konstanten CIELAB Buntton 185/360 = 0.515 (links)

Seite 10/96

ZG920-7F, 16stufige Reihen für konstanten CIELAB Buntton 185/360 = 0.515 (rechts)

BAM-Prüfvorlage ZG92; Farbmétrik-Systeme, Seite 10/96 Eingabe: $rgb / cmy0$ set($rgb/cmyk$)color
D65: 9 und 16stufige Farbreihen für 16 Elementar-Bunttöne Ausgabe: keine Eingabeänderung

Eingabe: Farbmétrisches Offset-Reflektiv-System ORS18

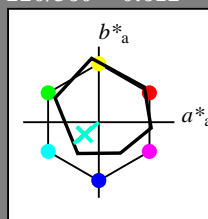
für Buntton $h^* = lab^*h = 220/360 = 0.612$

lab*tch und lab*nch

D65: Buntton G50B

LCH*Ma: 60 44 220

olv*Ma: 0.0 1.0 0.82



Dreiecks-Helligkeit t^*

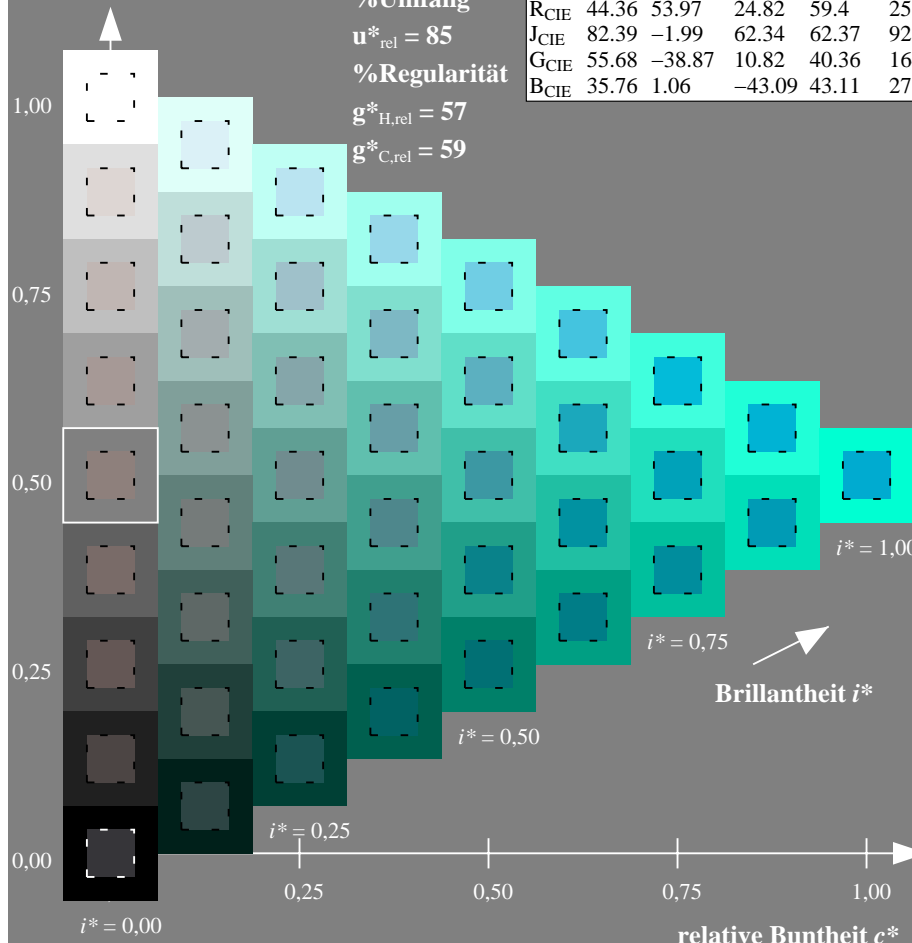
%Umfang

$$\mathbf{u}_{\text{rel}}^* = 85$$

%Regularität

$$g^*_{H_{rel}} = 57$$

g*_{C rel} = 59



ZG920-7F, 9stufige Reihen für konstanten CIELAB Buntton $220/360 = 0.612$ (links)

Seite 11/96

Ausgabe: Farbmétrisches Offset-Reflektiv-System ORS18

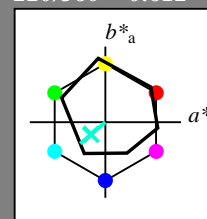
für Buntton $h^* = lab^*h = 220/360 = 0.612$

lab*tch und lab*nch

D65: Buntton G50B

LCH*Ma: 60 44 22

olv*Ma: 0.0 1.0 0.8

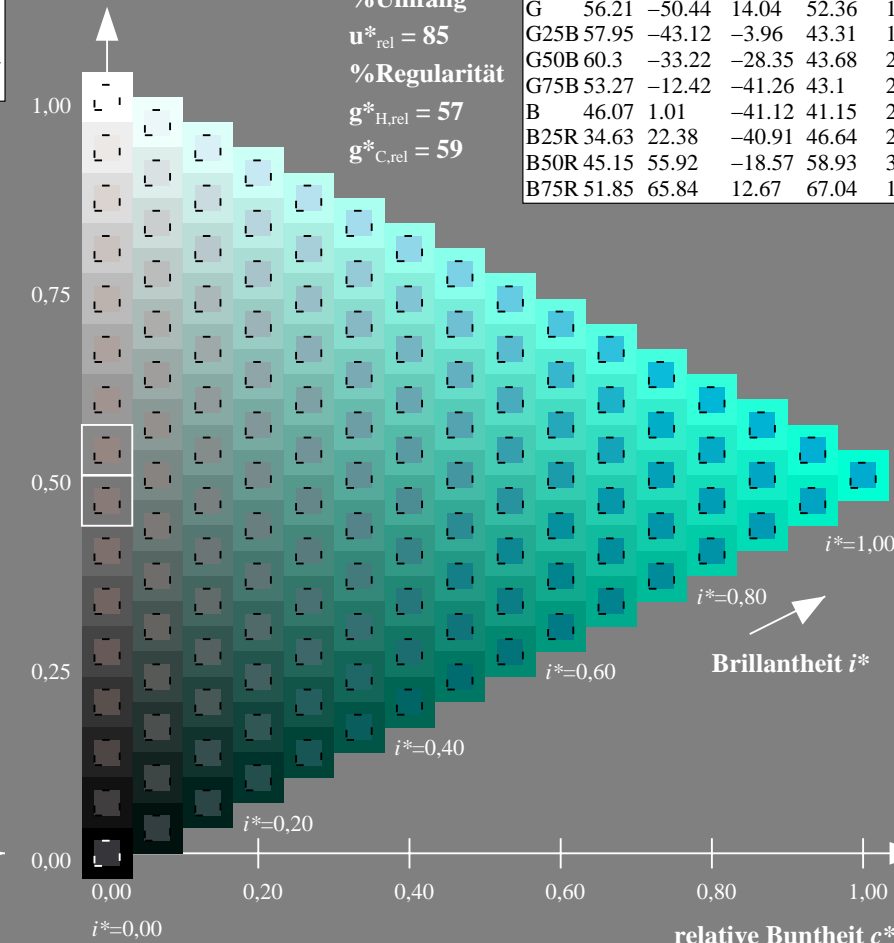


Dreiecks-Helligkeit

%Umfang

$$\mathbf{u}_{\text{rel}}^* = 85$$

%Regularität

$$g^*_{H_{rel}} = 57$$
$$g^*_{C_{rel}} = 59$$
ZG920-7F, 16stufige Reihen für konstanten CIELAB Buntton $220/360 = 0.612$ (rechts)

BAM-Prüfvorlage ZG92; Farbmatrik-Systeme, Seite 11/96 Eingabe: *rgb / cmy0 set(rgb/cmyk)color*
D65: 9 und 16stufige Farbreihen für 16 Elementar-Bunttöne Ausgabe: keine Eingabeänderung

neAusgabe: keine Eingabeänderung

Eingabe: Farbmétrisches Offset-Reflektiv-System ORS18

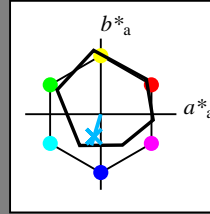
für Buntton $h^* = lab^*h = 253/360 = 0.703$

*lab*tch* und *lab*nch*

D65: Buntton G75B

LCH*Ma: 53 43 253

olv*Ma: 0.0 0.73 1.0



Dreiecks-Helligkeit t^*

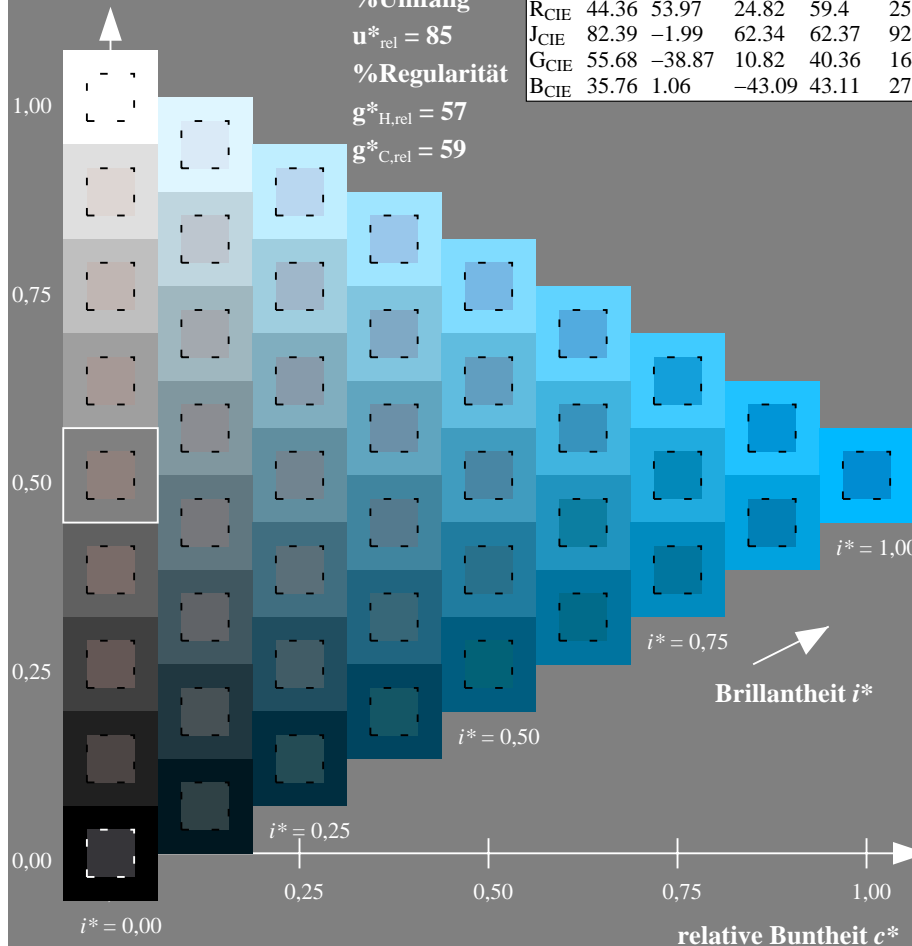
%Umfang

$$\mathbf{u}_{\text{rel}}^* = 85$$

%Regularität

$$g^*_{H,rel} = 57$$

g*_{C,rel} = 59

ZG920-7F, 9stufige Reihen für konstanten CIELAB Buntton $253/360 = 0.703$ (links) Seite 12/96

BAM-Prüfvorlage ZG92; Farbmimetrik-Systeme, Seite 12/96 Eingabe: *rgb / cmy0 set(rgb/cmyk)color*
D65: 9 und 16stufige Farbreihen für 16 Elementar-Bunttöne Ausgabe: keine Eingabeänderung

Ausgabe: Farbmétrisches Offset-Reflektiv-System ORS18

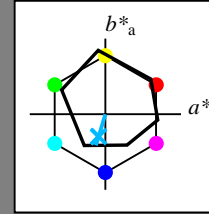
für Buntton $h^* = lab^*h = 253/360 = 0.703$

lab*tch* und *lab*nch

D65: Buntton G75B

LCH*Ma: 53 43 253

olv*Ma: 0.0 0.73 1.0

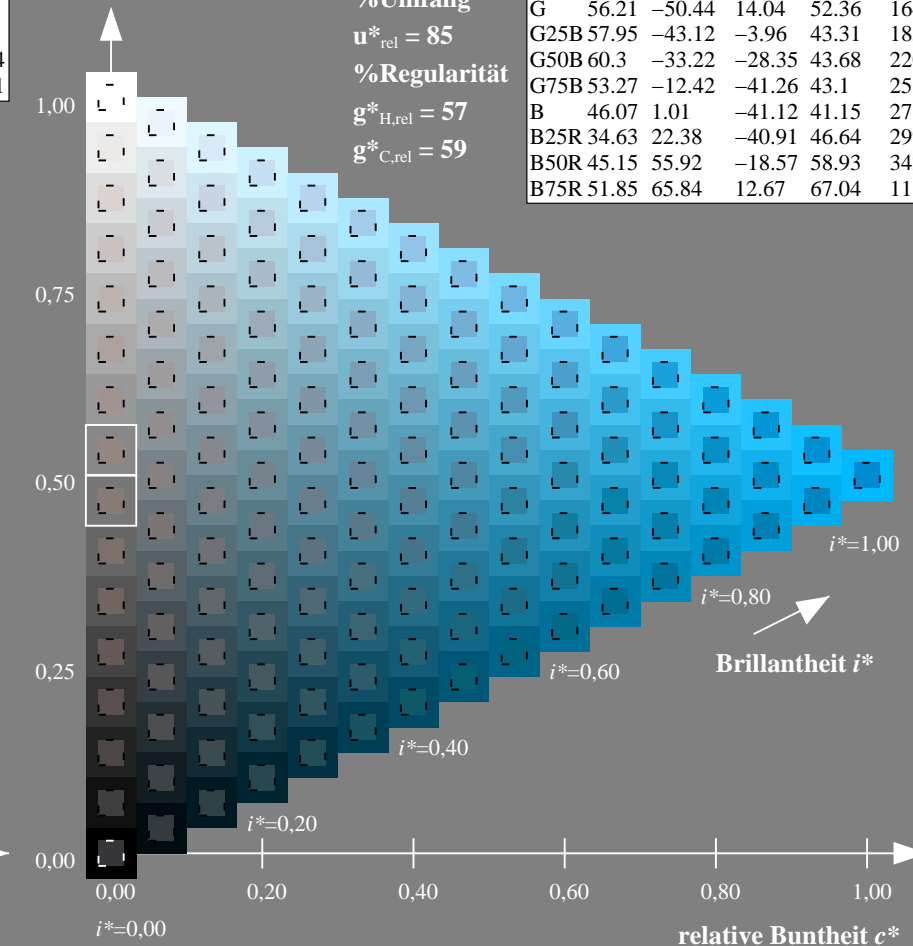


Dreiecks-Helligkeit t^*

%Umfang

$$\mathbf{u}_{\text{rel}}^* = 85$$

%Regularität

$$g^*_{H,rel} = 57$$
$$g^*_{C,rel} = 59$$


ZG920-7F, 16stufige Reihen für konstanten CIELAB Buntton $253/360 = 0.703$ (rechts)

Siehe ähnliche Dateien: <http://www.ps.bam.de/ZG92/>; www.ps.bam.de/ZG.HTM
Technische Information: <http://www.ps.bam.de> Version 2.1, io=1,1, CIELAB

BAM-Registrierung: 20071001-ZG92/10/L192G00FP.PS/.PDF BAM-Material: Code=rha4ta
Anwendung für Beurteilung und Messung von Drucker- oder Monitorsystemen

Eingabe: Farbmétrisches Offset-Reflektiv-System ORS18

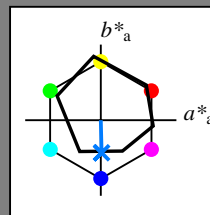
für Buntton $h^* = lab^*h = 271/360 = 0.754$

lab*tch und lab*nch

D65: Buntton B

LCH*Ma: 46 41 271

olv*Ma: 0.0 0.49 1.0

**ORS18; adaptierte CIELAB-Daten**

	$L^* = L_a^*$	a_a^*	b_a^*	$C_{ab,a}^*$	$h_{ab,a}^*$
O _{Ma}	51.74	60.16	46.48	76.02	38
Y _{Ma}	90.77	-9.44	84.41	84.94	96
L _{Ma}	54.46	-57.8	32.16	66.15	151
C _{Ma}	61.56	-27.91	-41.41	49.95	236
V _{Ma}	31.3	28.61	-40.85	49.88	305
M _{Ma}	51.91	69.26	-7.69	69.68	354
N _{Ma}	24.2	0.0	0.0	0.0	0
W _{Ma}	95.41	0.0	0.0	0.0	0
R _{CIE}	44.36	53.97	24.82	59.4	25
J _{CIE}	82.39	-1.99	62.34	62.37	92
G _{CIE}	55.68	-38.87	10.82	40.36	164
B _{CIE}	35.76	1.06	-43.09	43.11	271

Dreiecks-Helligkeit t^*

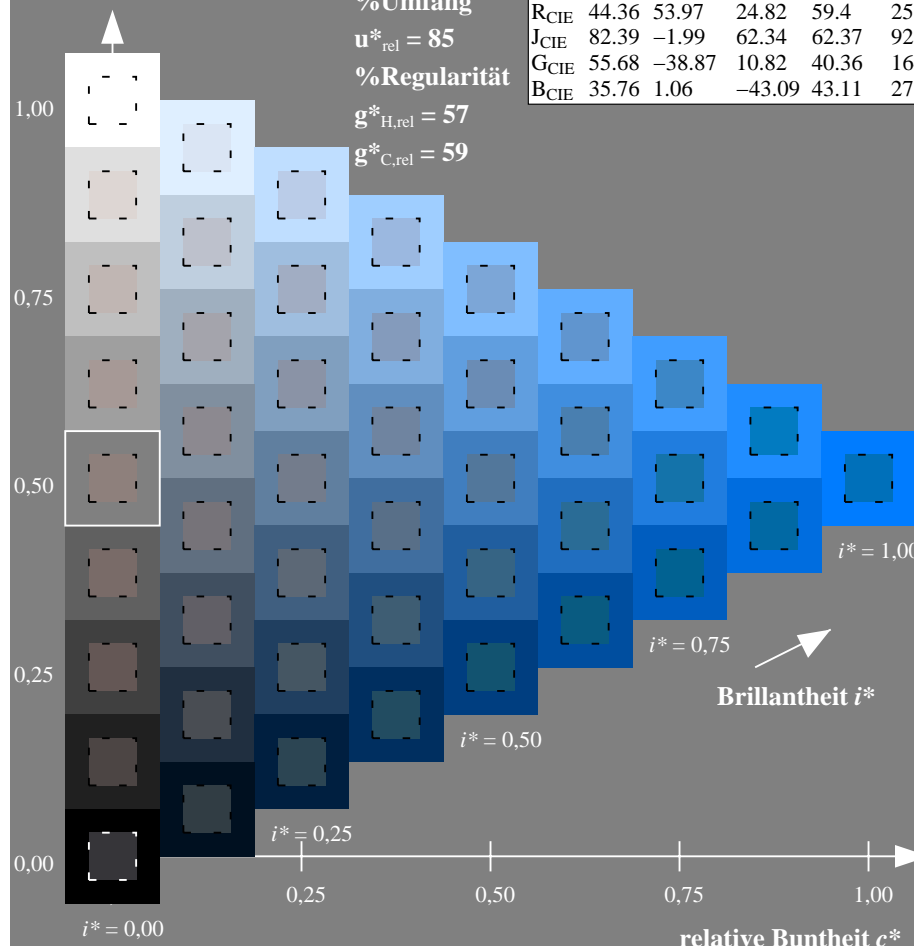
%Umfang

$$\mathbf{u}_{\text{rel}}^* = 85$$

%Regularität

$$g^*_{H_{rel}} = 57$$

g*_{C rel} = 59



Ausgabe: Farbmétrisches Offset-Reflektiv-System ORS18

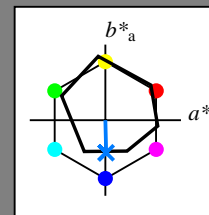
für Buntton $h^* = lab^*h = 271/360 = 0.754$

*lab*tch* und *lab*nch*

D65: Buntton B

LCH*Ma: 46 41 271

olv*Ma: 0.0 0.49 1.0

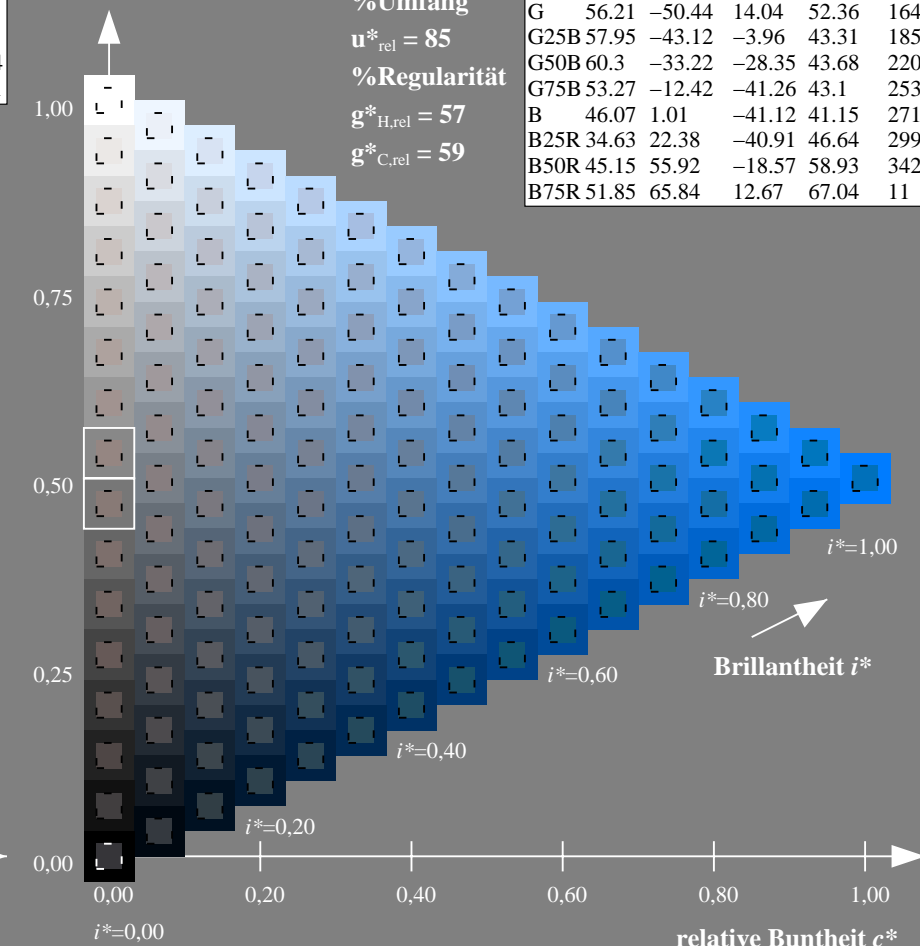


Dreiecks-Helligkeit t^*

%Umfang

$$\mathbf{u}_{\text{rel}}^* = 85$$

%Regularität

$$g^*_{H_{rel}} = 57$$
$$\mathbf{g}_{\text{C rel}}^* = 59$$


ZG920-7F, 9stufige Reihen für konstanten CIELAB Buntton $271/360 = 0.754$ (links)

Seite 13/96

ZG920-7F, 16stufige Reihen für konstanten CIELAB Buntton $271/360 = 0.754$ (rechts)

BAM-Prüfvorlage ZG92; Farbmimetrik-Systeme, Seite 13/96 Eingabe: *rgb / cmy0 set(rgb/cmyk)color*
D65: 9 und 16stufige Farbreihen für 16 Elementar-Bunttöne Ausgabe: keine Eingabeänderung

neAusgabe: keine Eingabeänderung

Eingabe: Farbmimetrisches Offset-Reflektiv-System ORS18

für Buntton $h^* = lab^*h = 299/360 = 0.83$

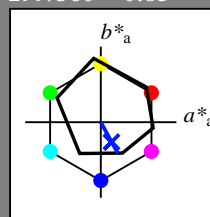
lab^*tch und lab^*nch

D65: Buntton B25R

LCH*Ma: 35 47 299

olv*Ma: 0.0 0.11 1.0

Dreiecks-Helligkeit t^*



%Umfang

$u^*_{rel} = 85$

%Regularität

$g^*_{H,rel} = 57$

$g^*_{C,rel} = 59$

ORS18; adaptierte CIELAB-Daten

	$L^*=L^*_a$	a^*_a	b^*_a	$C^*_{ab,a}$	$h^*_{ab,a}$
O _{Ma}	51.74	60.16	46.48	76.02	38
Y _{Ma}	90.77	-9.44	84.41	84.94	96
L _{Ma}	54.46	-57.8	32.16	66.15	151
C _{Ma}	61.56	-27.91	-41.41	49.95	236
V _{Ma}	31.3	28.61	-40.85	49.88	305
M _{Ma}	51.91	69.26	-7.69	69.68	354
N _{Ma}	24.2	0.0	0.0	0.0	0
W _{Ma}	95.41	0.0	0.0	0.0	0
R _{CIE}	44.36	53.97	24.82	59.4	25
J _{CIE}	82.39	-1.99	62.34	62.37	92
G _{CIE}	55.68	-38.87	10.82	40.36	164
B _{CIE}	35.76	1.06	-43.09	43.11	271

Ausgabe: Farbmimetrisches Offset-Reflektiv-System ORS18

für Buntton $h^* = lab^*h = 299/360 = 0.83$

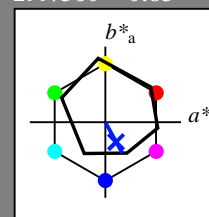
lab^*tch und lab^*nch

D65: Buntton B25R

LCH*Ma: 35 47 299

olv*Ma: 0.0 0.11 1.0

Dreiecks-Helligkeit t^*



%Umfang

$u^*_{rel} = 85$

%Regularität

$g^*_{H,rel} = 57$

$g^*_{C,rel} = 59$

ORS18; adaptierte CIELAB-Daten

	$L^*=L^*_a$	a^*_a	b^*_a	$C^*_{ab,a}$	$h^*_{ab,a}$
R	51.79	63.09	29.02	69.44	25
R25J	53.73	56.6	48.42	74.48	41
R50J	65.47	35.67	59.82	69.65	59
R75J	76.51	15.98	70.55	72.34	77
J	86.93	-2.58	80.67	80.71	92
J25G	84.92	-17.23	75.99	77.92	103
J50G	73.11	-32.96	59.0	67.58	119
J75G	60.06	-50.34	40.22	64.44	141
G	56.21	-50.44	14.04	52.36	164
G25B	57.95	-43.12	-3.96	43.31	185
G50B	60.3	-33.22	-28.35	43.68	220
G75B	53.27	-12.42	-41.26	43.1	253
B	46.07	1.01	-41.12	41.15	271
B25R	34.63	22.38	-40.91	46.64	299
B50R	45.15	55.92	-18.57	58.93	342
B75R	51.85	65.84	12.67	67.04	11

%Umfang

$u^*_{rel} = 85$

%Regularität

$g^*_{H,rel} = 57$

$g^*_{C,rel} = 59$

%Umfang

$u^*_{rel} = 85$

%Regularität

$g^*_{H,rel} = 57$

$g^*_{C,rel} = 59$

%Umfang

$u^*_{rel} = 85$

%Regularität

$g^*_{H,rel} = 57$

$g^*_{C,rel} = 59$

%Umfang

$u^*_{rel} = 85$

%Regularität

$g^*_{H,rel} = 57$

$g^*_{C,rel} = 59$

%Umfang

$u^*_{rel} = 85$

%Regularität

$g^*_{H,rel} = 57$

$g^*_{C,rel} = 59$

%Umfang

$u^*_{rel} = 85$

%Regularität

$g^*_{H,rel} = 57$

$g^*_{C,rel} = 59$

%Umfang

$u^*_{rel} = 85$

%Regularität

$g^*_{H,rel} = 57$

$g^*_{C,rel} = 59$

%Umfang

$u^*_{rel} = 85$

%Regularität

$g^*_{H,rel} = 57$

$g^*_{C,rel} = 59$

%Umfang

$u^*_{rel} = 85$

%Regularität

$g^*_{H,rel} = 57$

$g^*_{C,rel} = 59$

%Umfang

$u^*_{rel} = 85$

%Regularität

$g^*_{H,rel} = 57$

$g^*_{C,rel} = 59$

%Umfang

$u^*_{rel} = 85$

%Regularität

$g^*_{H,rel} = 57$

$g^*_{C,rel} = 59$

%Umfang

$u^*_{rel} = 85$

%Regularität

$g^*_{H,rel} = 57$

$g^*_{C,rel} = 59$

%Umfang

$u^*_{rel} = 85$

%Regularität

$g^*_{H,rel} = 57$

$g^*_{C,rel} = 59$

%Umfang

$u^*_{rel} = 85$

%Regularität

$g^*_{H,rel} = 57$

$g^*_{C,rel} = 59$

%Umfang

$u^*_{rel} = 85$

%Regularität

$g^*_{H,rel} = 57$

$g^*_{C,rel} = 59$

%Umfang

$u^*_{rel} = 85$

%Regularität

$g^*_{H,rel} = 57$

$g^*_{C,rel} = 59$

%Umfang

$u^*_{rel} = 85$

%Regularität

$g^*_{H,rel} = 57$

$g^*_{C,rel} = 59$

%Umfang

$u^*_{rel} = 85$

%Regularität

$g^*_{H,rel} = 57$

$g^*_{C,rel} = 59$

%Umfang

$u^*_{rel} = 85$

%Regularität

$g^*_{H,rel} = 57$

$g^*_{C,rel} = 59$

%Umfang

$u^*_{rel} = 85$

%Regularität

$g^*_{H,rel} = 57$

$g^*_{C,rel} = 59$

%Umfang

$u^*_{rel} = 85$

%Regularität

$g^*_{H,rel} = 57$

$g^*_{C,rel} = 59$

%Umfang

$u^*_{rel} = 85$

%Regularität

$g^*_{H,rel} = 57$

$g^*_{C,rel} = 59$

%Umfang

$u^*_{rel} = 85$

%Regularität

$g^*_{H,rel} = 57$

$g^*_{C,rel} = 59$

%Umfang

$u^*_{rel} = 85$

%Regularität

$g^*_{H,rel} = 57$

$g^*_{C,rel} = 59$

%Umfang

$u^*_{rel} = 85$

%Regularität

$g^*_{H,rel} = 57$

$g^*_{C,rel} = 59$

%Umfang

$u^*_{rel} = 85$

%Regularität

$g^*_{H,rel} = 57$

$g^*_{C,rel} = 59$

%Umfang

$u^*_{rel} = 85$

%Regularität

$g^*_{H,rel} = 57$

$g^*_{C,rel} = 59$

%Umfang

$u^*_{rel} = 85$

%Regularität

$g^*_{H,rel} = 57$

$g^*_{C,rel} = 59$

%Umfang

$u^*_{rel} = 85$

%Regularität

$g^*_{H,rel} = 57$

$g^*_{C,rel} = 59$

%Umfang

$u^*_{rel} = 85$

%Regularität

$g^*_{H,rel} = 57$

$g^*_{C,rel} = 59$

%Umfang

$u^*_{rel} = 85$

%Regularität

$g^*_{H,rel} = 57$

$g^*_{C,rel} = 59$

%Umfang

$u^*_{rel} = 85$

%Regularität

$g^*_{H,rel} = 57$

$g^*_{C,rel} = 59$

%Umfang

$u^*_{rel} = 85$

%Regularität

$g^*_{H,rel} = 57$

$g^*_{C,rel} = 59$

%Umfang

$u^*_{rel} = 85$

%Regularität

$g^*_{H,rel} = 57$

$g^*_{C,rel} = 59$

%Umfang

$u^*_{rel} = 85$

%Regularität

$g^*_{H,rel} = 57$

$g^*_{C,rel} = 59$

%Umfang

$u^*_{rel} = 85$

%Regularität

$g^*_{H,rel} = 57$

$g^*_{C,rel} = 59$

%Umfang

$u^*_{rel} = 85$

%Regularität

$g^*_{H,rel} = 57$

$g^*_{C,rel} = 59$

%Umfang

$u^*_{rel} = 85$

%Regularität

$g^*_{H,rel} = 57$

$g^*_{C,rel} = 59$

%Umfang

$u^*_{rel} = 85$

%Regularität

$g^*_{H,rel} = 57$

$g^*_{C,rel} = 59$

%Umfang

$u^*_{rel} = 85$

%Regularität

$g^*_{H,rel} = 57$

$g^*_{C,rel} = 59$

%Umfang

</

Eingabe: Farbmimetrisches Offset-Reflektiv-System ORS18

für Buntton $h^* = lab^*h = 342/360 = 0.949$

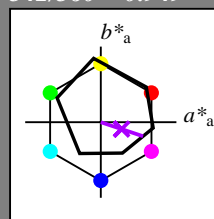
lab^*tch und lab^*nch

D65: Buntton B50R

LCH*Ma: 45 59 342

olv*Ma: 0.67 0.0 1.0

Dreiecks-Helligkeit t^*



%Umfang

$u^*_{rel} = 85$

%Regularität

$g^*_{H,rel} = 57$

$g^*_{C,rel} = 59$

ORS18; adaptierte CIELAB-Daten

	$L^*=L^*_a$	a^*_a	b^*_a	$C^*_{ab,a}$	$h^*_{ab,a}$
O _{Ma}	51.74	60.16	46.48	76.02	38
Y _{Ma}	90.77	-9.44	84.41	84.94	96
L _{Ma}	54.46	-57.8	32.16	66.15	151
C _{Ma}	61.56	-27.91	-41.41	49.95	236
V _{Ma}	31.3	28.61	-40.85	49.88	305
M _{Ma}	51.91	69.26	-7.69	69.68	354
N _{Ma}	24.2	0.0	0.0	0.0	0
W _{Ma}	95.41	0.0	0.0	0.0	0
R _{CIE}	44.36	53.97	24.82	59.4	25
J _{CIE}	82.39	-1.99	62.34	62.37	92
G _{CIE}	55.68	-38.87	10.82	40.36	164
B _{CIE}	35.76	1.06	-43.09	43.11	271

Ausgabe: Farbmimetrisches Offset-Reflektiv-System ORS18

für Buntton $h^* = lab^*h = 342/360 = 0.949$

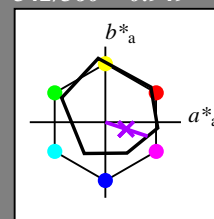
lab^*tch und lab^*nch

D65: Buntton B50R

LCH*Ma: 45 59 342

olv*Ma: 0.67 0.0 1.0

Dreiecks-Helligkeit t^*



%Umfang

$u^*_{rel} = 85$

%Regularität

$g^*_{H,rel} = 57$

$g^*_{C,rel} = 59$

ORS18; adaptierte CIELAB-Daten

	$L^*=L^*_a$	a^*_a	b^*_a	$C^*_{ab,a}$	$h^*_{ab,a}$
R	51.79	63.09	29.02	69.44	25
R25J	53.73	56.6	48.42	74.48	41
R50J	65.47	35.67	59.82	69.65	59
R75J	76.51	15.98	70.55	72.34	77
J	86.93	-2.58	80.67	80.71	92
J25G	84.92	-17.23	75.99	77.92	103
J50G	73.11	-32.96	59.0	67.58	119
J75G	60.06	-50.34	40.22	64.44	141
G	56.21	-50.44	14.04	52.36	164
G25B	57.95	-43.12	-3.96	43.31	185
G50B	60.3	-33.22	-28.35	43.68	220
G75B	53.27	-12.42	-41.26	43.1	253
B	46.07	1.01	-41.12	41.15	271
B25R	34.63	22.38	-40.91	46.64	299
B50R	45.15	55.92	-18.57	58.93	342
B75R	51.85	65.84	12.67	67.04	11

%Umfang

$u^*_{rel} = 85$

%Regularität

$g^*_{H,rel} = 57$

$g^*_{C,rel} = 59$

%Umfang

$u^*_{rel} = 85$

%Regularität

$g^*_{H,rel} = 57$

$g^*_{C,rel} = 59$

%Umfang

$u^*_{rel} = 85$

%Regularität

$g^*_{H,rel} = 57$

$g^*_{C,rel} = 59$

%Umfang

$u^*_{rel} = 85$

%Regularität

$g^*_{H,rel} = 57$

$g^*_{C,rel} = 59$

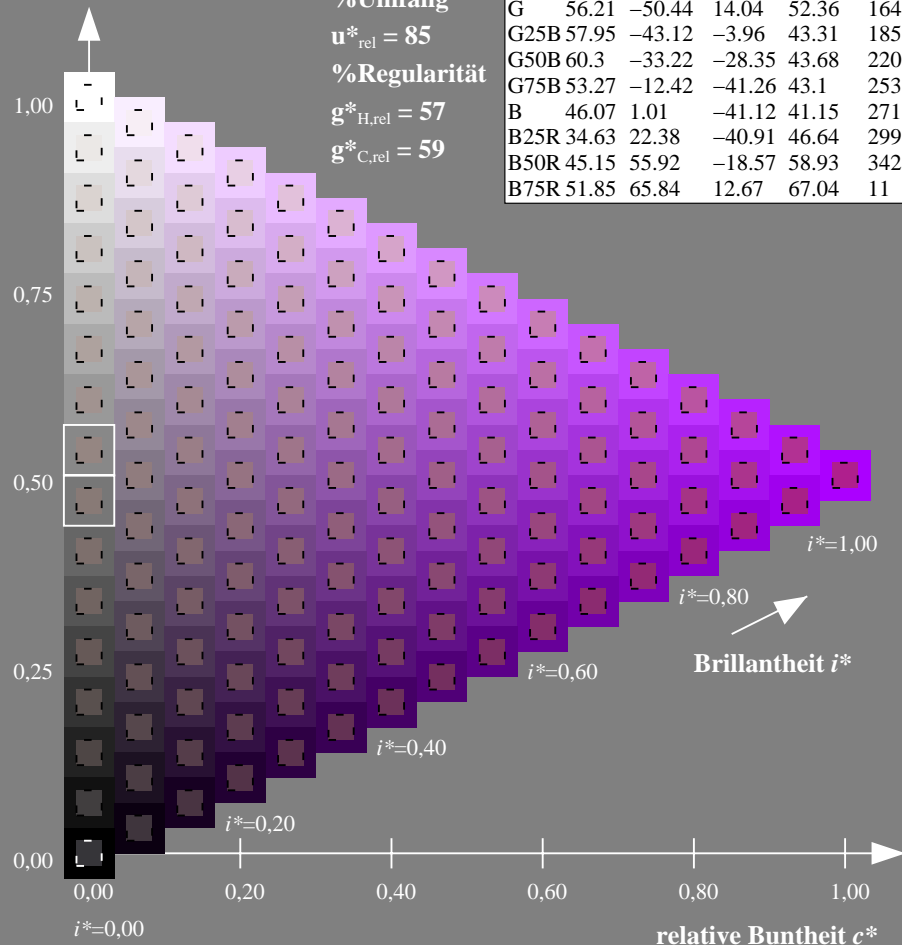
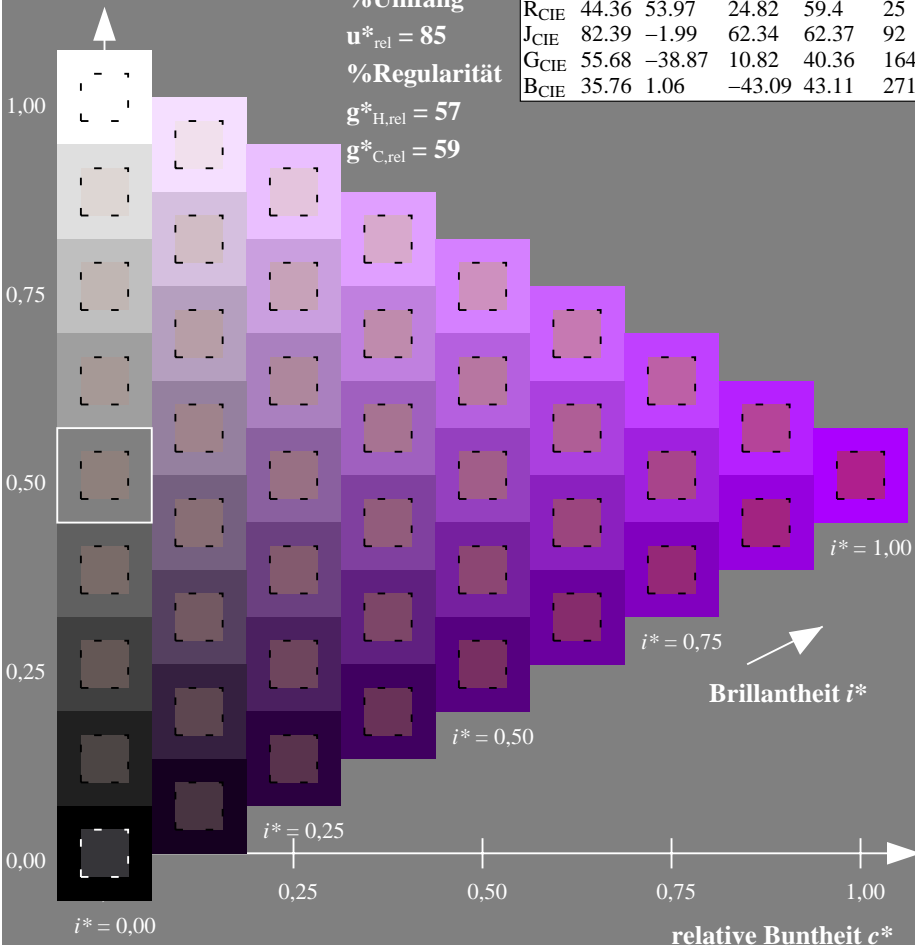
%Umfang

$u^*_{rel} = 85$

%Regularität

$g^*_{H,rel} = 57$

$g^*_{C,rel} = 59$



ZG920-7F, 9stufige Reihen für konstanten CIELAB Buntton 342/360 = 0.949 (links)

Seite 15/96

ZG920-7F, 16stufige Reihen für konstanten CIELAB Buntton 342/360 = 0.949 (rechts)

BAM-Prüfvorlage ZG92; Farbmimetrik-Systeme, Seite 15/96 Eingabe: $rgb / cmy0$ set($rgb/cmyk$)color
D65: 9 und 16stufige Farbreihen für 16 Elementar-Bunttöne Ausgabe: keine Eingabeänderung

Siehe ähnliche Dateien: <http://www.ps.bam.de/ZG92/>; www.ps.bam.de/ZG.HTM
Technische Information: <http://www.ps.bam.de> Version 2.1, io=1,1, CIELAB

BAM-Registrierung: 20071001-ZG9210/L92G00FP.PS/.PDF BAM-Material: Code=rha4ta
- Anwendung für Beurteilung und Messung von Drucker- oder Monitorsystemen

Eingabe: Farbmétrisches Offset-Reflektiv-System ORS18

für Buntton $h^* = lab^*h = 11/360 = 0.03$

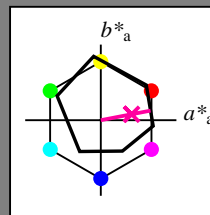
*lab*tch* und *lab*nch*

D65: Buntton B75R

LCH*Ma: 52 67 11

olv*Ma: 1.0 0.0 0.62

Dreiecks-Helligkeit t^*



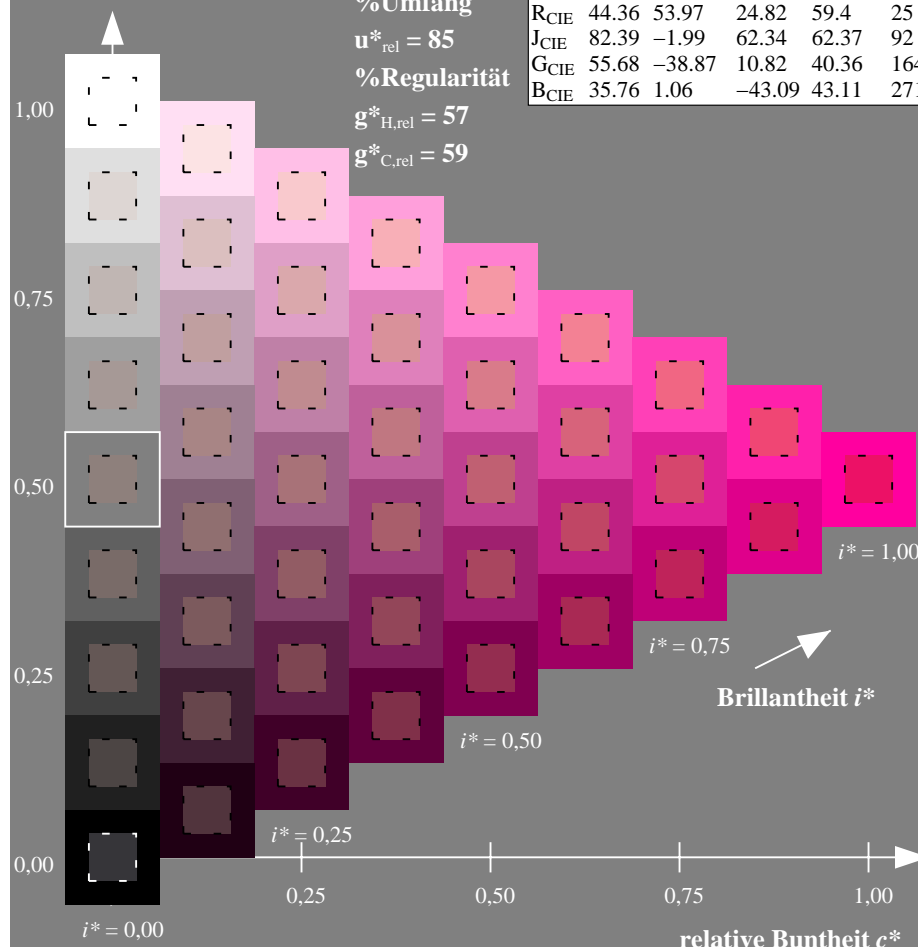
%Umfang

$$\mathbf{u}_{\text{rel}}^* = 85$$

%Regularität

$$g^*_{H_{rel}} = 57$$

■ $g^*_{C_{rel}} = 59$



ZG920-7F, 9stufige Reihen für konstanten CIELAB Buntton $11/360 = 0.03$ (links)

Seite 16/96

Ausgabe: Farbmetrisches Offset-Reflektiv-System ORS18

für Buntton $h^* = lab^*h = 11/360 = 0.03$

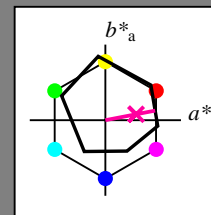
*lab*tch* und *lab*nch*

D65: Buntton B75R

LCH*Ma: 52 67 11

olv*Ma: 1.0 0.0 0.62

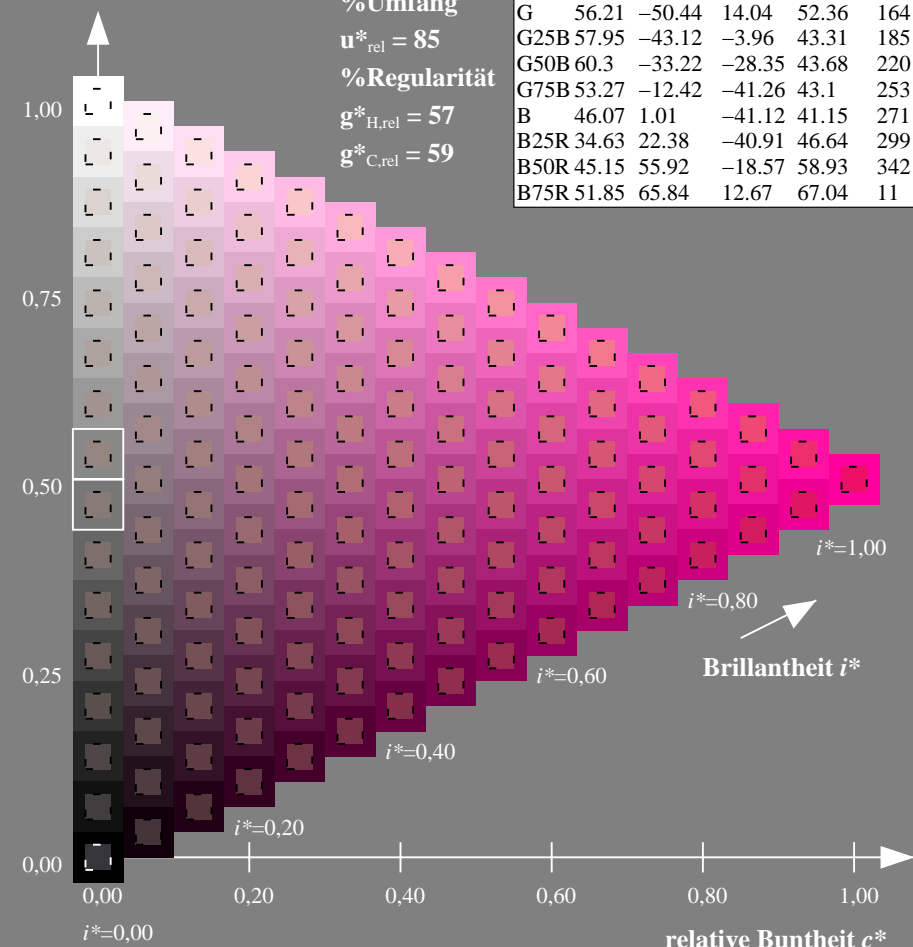
Dreiecks-Helligkeit t^*



%Umfang

$$\mathbf{u}_{\text{rel}}^* = 85$$

%Regularität

$$g^*_{H_{rel}} = 57$$
$$g^*_{C_{rel}} = 59$$
ZG920-7F, 16stufige Reihen für konstanten CIELAB Buntton $11/360 = 0.03$ (rechts)

BAM-Prüfvorlage ZG92; Farbmimetrik-Systeme, Seite 16/96 Eingabe: *rgb / cmy0 set(rgb/cmyk)color*
D65: 9 und 16stufige Farbreihen für 16 Elementar-Bunttöne Ausgabe: keine Eingabeänderung

neAusgabe: keine Eingabeänderung

Eingabe: Farbmimetrisches Offset-Reflektiv-System ORS18

für Buntton $h^* = lab^*h = 25/360 = 0.069$

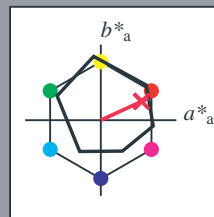
lab^*tch und lab^*nch

D65: Buntton R

LCH*Ma: 52 69 25

olv*Ma: 1.0 0.0 0.32

Dreiecks-Helligkeit t^*



%Umfang

$u^*_{rel} = 85$

%Regularität

$g^*_{H,rel} = 57$

$g^*_{C,rel} = 59$

ORS18; adaptierte CIELAB-Daten	$L^*=L^*_a$	a^*_a	b^*_a	$C^*_{ab,a}$	$h^*_{ab,a}$
O _{Ma}	51.74	60.16	46.48	76.02	38
Y _{Ma}	90.77	-9.44	84.41	84.94	96
L _{Ma}	54.46	-57.8	32.16	66.15	151
C _{Ma}	61.56	-27.91	-41.41	49.95	236
V _{Ma}	31.3	28.61	-40.85	49.88	305
M _{Ma}	51.91	69.26	-7.69	69.68	354
N _{Ma}	24.2	0.0	0.0	0.0	0
W _{Ma}	95.41	0.0	0.0	0.0	0
R _{CIE}	44.36	53.97	24.82	59.4	25
J _{CIE}	82.39	-1.99	62.34	62.37	92
G _{CIE}	55.68	-38.87	10.82	40.36	164
B _{CIE}	35.76	1.06	-43.09	43.11	271

Ausgabe: Farbmimetrisches Offset-Reflektiv-System ORS18

für Buntton $h^* = lab^*h = 25/360 = 0.069$

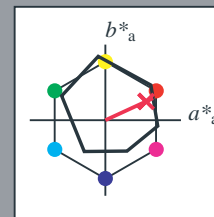
lab^*tch und lab^*nch

D65: Buntton R

LCH*Ma: 52 69 25

olv*Ma: 1.0 0.0 0.32

Dreiecks-Helligkeit t^*



%Umfang

$u^*_{rel} = 85$

%Regularität

$g^*_{H,rel} = 57$

$g^*_{C,rel} = 59$

ORS18; adaptierte CIELAB-Daten	$L^*=L^*_a$	a^*_a	b^*_a	$C^*_{ab,a}$	$h^*_{ab,a}$
R	51.79	63.09	29.02	69.44	25
R25J	53.73	56.6	48.42	74.48	41
R50J	65.47	35.67	59.82	69.65	59
R75J	76.51	15.98	70.55	72.34	77
J	86.93	-2.58	80.67	80.71	92
J25G	84.92	-17.23	75.99	77.92	103
J50G	73.11	-32.96	59.0	67.58	119
J75G	60.06	-50.34	40.22	64.44	141
G	56.21	-50.44	14.04	52.36	164
G25B	57.95	-43.12	-3.96	43.31	185
G50B	60.3	-33.22	-28.35	43.68	220
G75B	53.27	-12.42	-41.26	43.1	253
B	46.07	1.01	-41.12	41.15	271
B25R	34.63	22.38	-40.91	46.64	299
B50R	45.15	55.92	-18.57	58.93	342
B75R	51.85	65.84	12.67	67.04	11

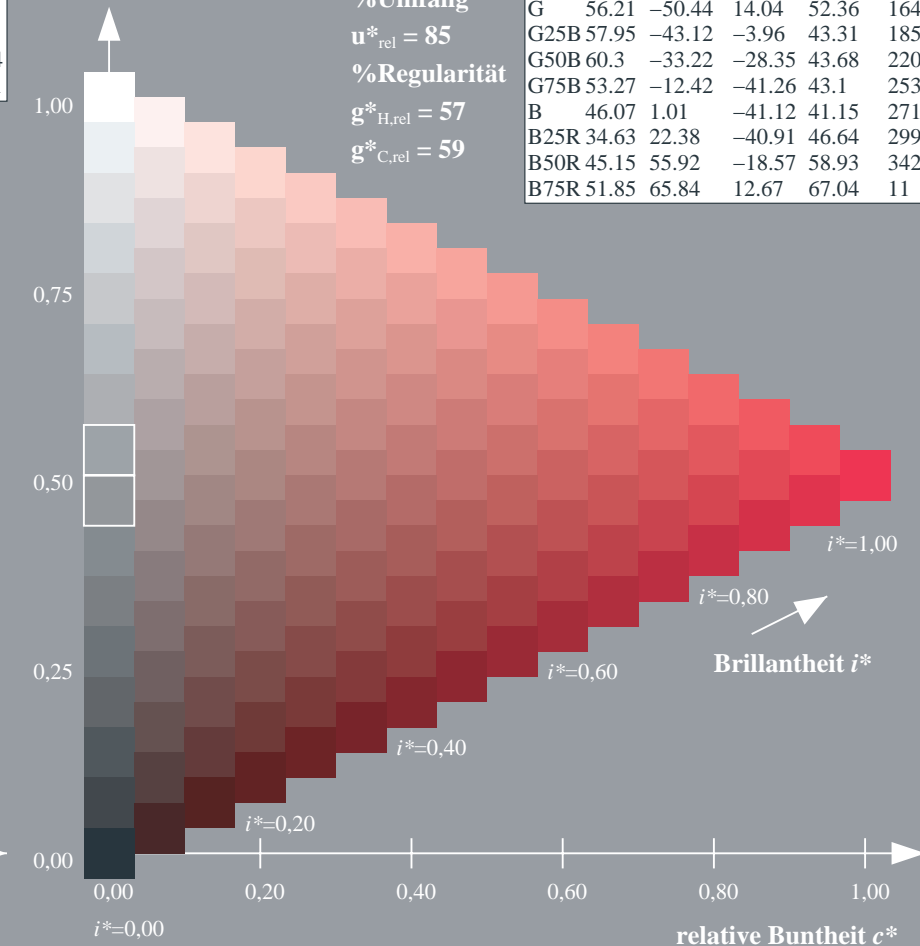
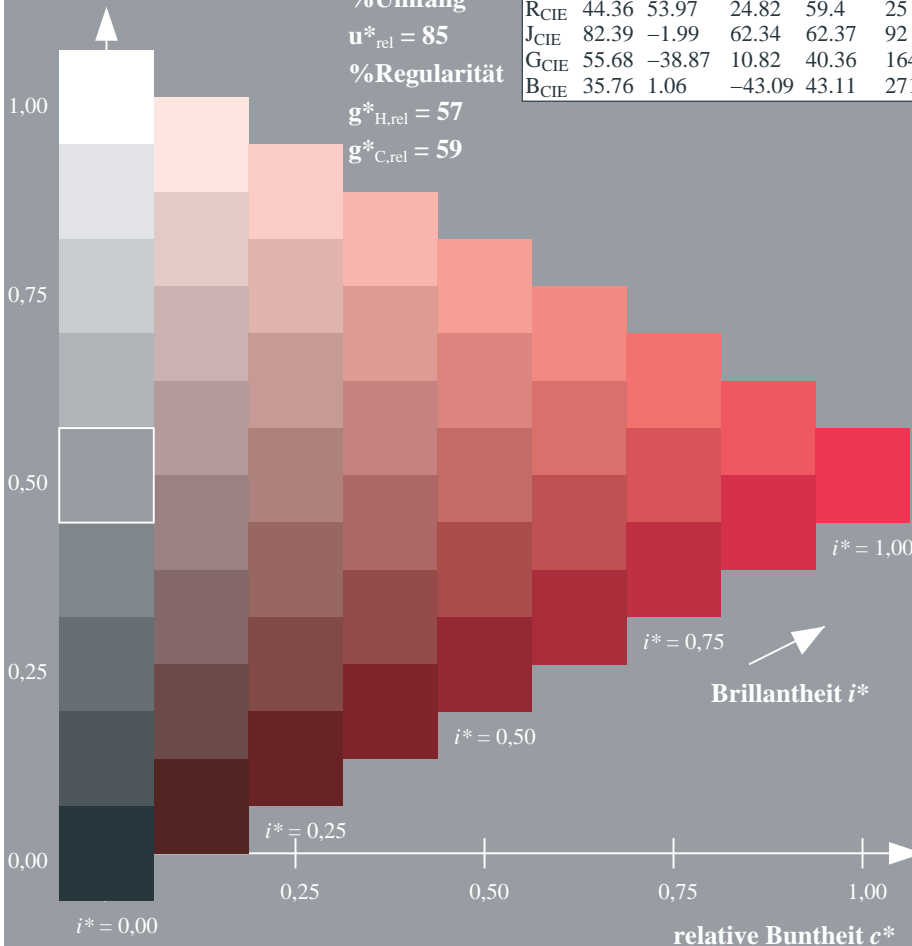
%Umfang

$u^*_{rel} = 85$

%Regularität

$g^*_{H,rel} = 57$

$g^*_{C,rel} = 59$



ZG920-7F, 9stufige Reihen für konstanten CIELAB Buntton 25/360 = 0.069 (links)

Seite 17/96

ZG920-7F, 16stufige Reihen für konstanten CIELAB Buntton 25/360 = 0.069 (rechts)

BAM-Prüfvorlage ZG92; Farbmimetrik-Systeme, Seite 17/96 Eingabe: $rgb / cmy0 set(rgb/cmyk)color$

D65: 9 und 16stufige Farbreihen für 16 Elementar-Bunttöne Ausgabe: $->LAB^*->cmy5^* setcmykcolo$

Eingabe: Farbmétrisches Offset-Reflektiv-System ORS18

für Buntton $h^* = lab^*h = 41/360 = 0.113$

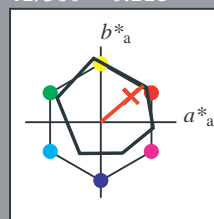
lab^*tch und lab^*nch

D65: Buntton R25J

LCH*Ma: 54 74 41

olv*Ma: 1.0 0.05 0.0

Dreiecks-Helligkeit t^*



%Umfang

$u^*_{rel} = 85$

%Regularität

$g^*_{H,rel} = 57$

$g^*_{C,rel} = 59$

ORS18; adaptierte CIELAB-Daten

	$L^*=L^*_a$	a^*_a	b^*_a	$C^*_{ab,a}$	$h^*_{ab,a}$
O _{Ma}	51.74	60.16	46.48	76.02	38
Y _{Ma}	90.77	-9.44	84.41	84.94	96
L _{Ma}	54.46	-57.8	32.16	66.15	151
C _{Ma}	61.56	-27.91	-41.41	49.95	236
V _{Ma}	31.3	28.61	-40.85	49.88	305
M _{Ma}	51.91	69.26	-7.69	69.68	354
N _{Ma}	24.2	0.0	0.0	0.0	0
W _{Ma}	95.41	0.0	0.0	0.0	0
R _{CIE}	44.36	53.97	24.82	59.4	25
J _{CIE}	82.39	-1.99	62.34	62.37	92
G _{CIE}	55.68	-38.87	10.82	40.36	164
B _{CIE}	35.76	1.06	-43.09	43.11	271

Ausgabe: Farbmétrisches Offset-Reflektiv-System ORS18

für Buntton $h^* = lab^*h = 41/360 = 0.113$

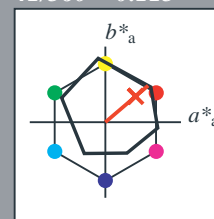
lab^*tch und lab^*nch

D65: Buntton R25J

LCH*Ma: 54 74 41

olv*Ma: 1.0 0.05 0.0

Dreiecks-Helligkeit t^*



%Umfang

$u^*_{rel} = 85$

%Regularität

$g^*_{H,rel} = 57$

$g^*_{C,rel} = 59$

ORS18; adaptierte CIELAB-Daten

	$L^*=L^*_a$	a^*_a	b^*_a	$C^*_{ab,a}$	$h^*_{ab,a}$
R	51.79	63.09	29.02	69.44	25
R25J	53.73	56.6	48.42	74.48	41
R50J	65.47	35.67	59.82	69.65	59
R75J	76.51	15.98	70.55	72.34	77
J	86.93	-2.58	80.67	80.71	92
J25G	84.92	-17.23	75.99	77.92	103
J50G	73.11	-32.96	59.0	67.58	119
J75G	60.06	-50.34	40.22	64.44	141
G	56.21	-50.44	14.04	52.36	164
G25B	57.95	-43.12	-3.96	43.31	185
G50B	60.3	-33.22	-28.35	43.68	220
G75B	53.27	-12.42	-41.26	43.1	253
B	46.07	1.01	-41.12	41.15	271
B25R	34.63	22.38	-40.91	46.64	299
B50R	45.15	55.92	-18.57	58.93	342
B75R	51.85	65.84	12.67	67.04	11

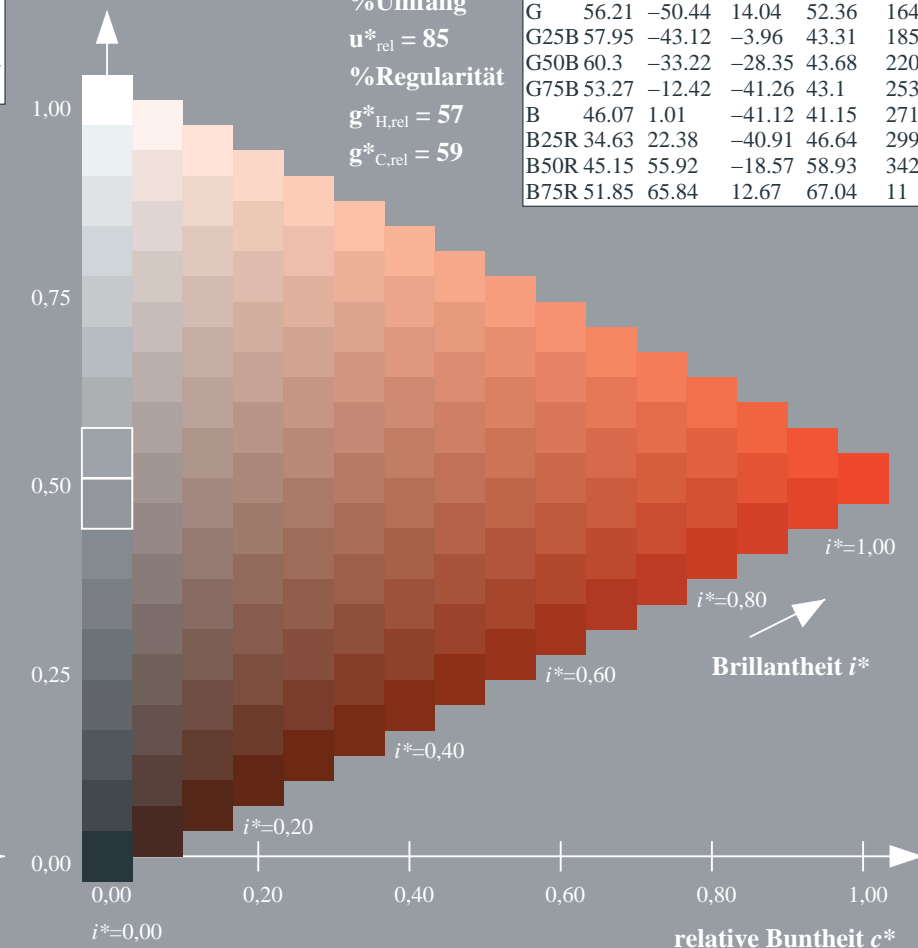
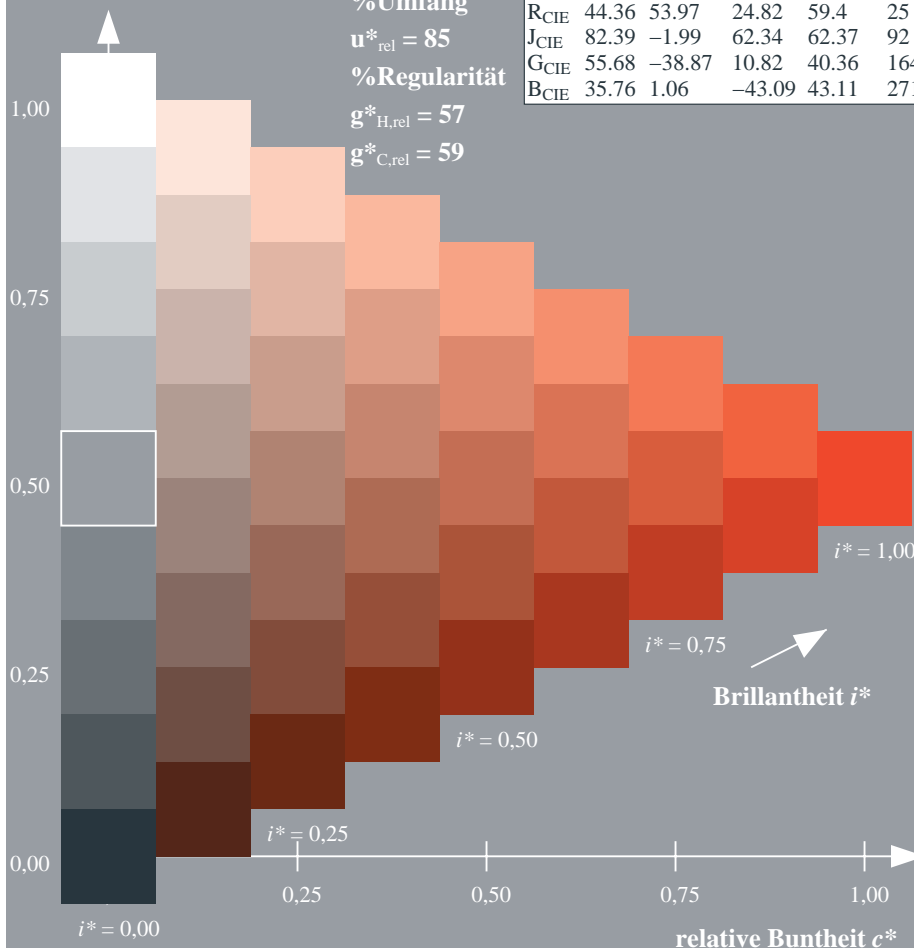
%Umfang

$u^*_{rel} = 85$

%Regularität

$g^*_{H,rel} = 57$

$g^*_{C,rel} = 59$



ZG920-7F, 9stufige Reihen für konstanten CIELAB Buntton 41/360 = 0.113 (links)

Seite 18/96

ZG920-7F, 16stufige Reihen für konstanten CIELAB Buntton 41/360 = 0.113 (rechts)

BAM-Prüfvorlage ZG92; Farbmétrik-Systeme, Seite 18/96 Eingabe: $rgb / cmy0 set(rgb/cmyk)color$

D65: 9 und 16stufige Farbreihen für 16 Elementar-Bunttöne Ausgabe: $->LAB^*->cmy5^* setcmykcolo$

Eingabe: Farbmimetrisches Offset-Reflektiv-System ORS18

für Buntton $h^* = lab^*h = 59/360 = 0.164$

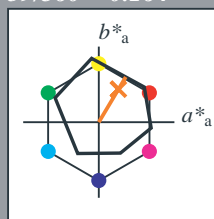
lab^*tch und lab^*nch

D65: Buntton R50J

LCH*Ma: 65 70 59

olv*Ma: 1.0 0.35 0.0

Dreiecks-Helligkeit t^*



%Umfang

$u^*_{rel} = 85$

%Regularität

$g^*_{H,rel} = 57$

$g^*_{C,rel} = 59$

ORS18; adaptierte CIELAB-Daten	$L^*=L^*_a$	a^*_a	b^*_a	$C^*_{ab,a}$	$h^*_{ab,a}$
O _{Ma}	51.74	60.16	46.48	76.02	38
Y _{Ma}	90.77	-9.44	84.41	84.94	96
L _{Ma}	54.46	-57.8	32.16	66.15	151
C _{Ma}	61.56	-27.91	-41.41	49.95	236
V _{Ma}	31.3	28.61	-40.85	49.88	305
M _{Ma}	51.91	69.26	-7.69	69.68	354
N _{Ma}	24.2	0.0	0.0	0.0	0
W _{Ma}	95.41	0.0	0.0	0.0	0
R _{CIE}	44.36	53.97	24.82	59.4	25
J _{CIE}	82.39	-1.99	62.34	62.37	92
G _{CIE}	55.68	-38.87	10.82	40.36	164
B _{CIE}	35.76	1.06	-43.09	43.11	271

Ausgabe: Farbmimetrisches Offset-Reflektiv-System ORS18

für Buntton $h^* = lab^*h = 59/360 = 0.164$

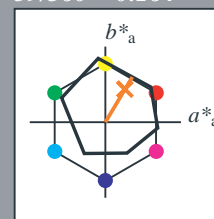
lab^*tch und lab^*nch

D65: Buntton R50J

LCH*Ma: 65 70 59

olv*Ma: 1.0 0.35 0.0

Dreiecks-Helligkeit t^*



%Umfang

$u^*_{rel} = 85$

%Regularität

$g^*_{H,rel} = 57$

$g^*_{C,rel} = 59$

ORS18; adaptierte CIELAB-Daten	$L^*=L^*_a$	a^*_a	b^*_a	$C^*_{ab,a}$	$h^*_{ab,a}$
R	51.79	63.09	29.02	69.44	25
R25J	53.73	56.6	48.42	74.48	41
R50J	65.47	35.67	59.82	69.65	59
R75J	76.51	15.98	70.55	72.34	77
J	86.93	-2.58	80.67	80.71	92
J25G	84.92	-17.23	75.99	77.92	103
J50G	73.11	-32.96	59.0	67.58	119
J75G	60.06	-50.34	40.22	64.44	141
G	56.21	-50.44	14.04	52.36	164
G25B	57.95	-43.12	-3.96	43.31	185
G50B	60.3	-33.22	-28.35	43.68	220
G75B	53.27	-12.42	-41.26	43.1	253
B	46.07	1.01	-41.12	41.15	271
B25R	34.63	22.38	-40.91	46.64	299
B50R	45.15	55.92	-18.57	58.93	342
B75R	51.85	65.84	12.67	67.04	11

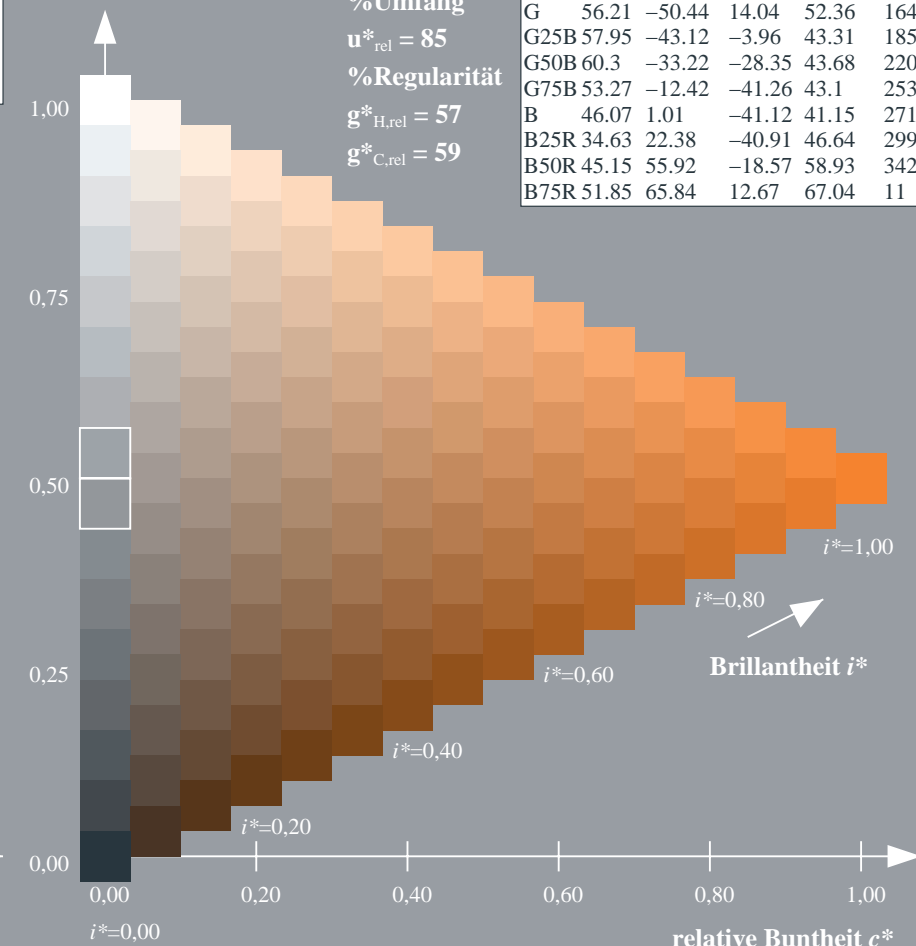
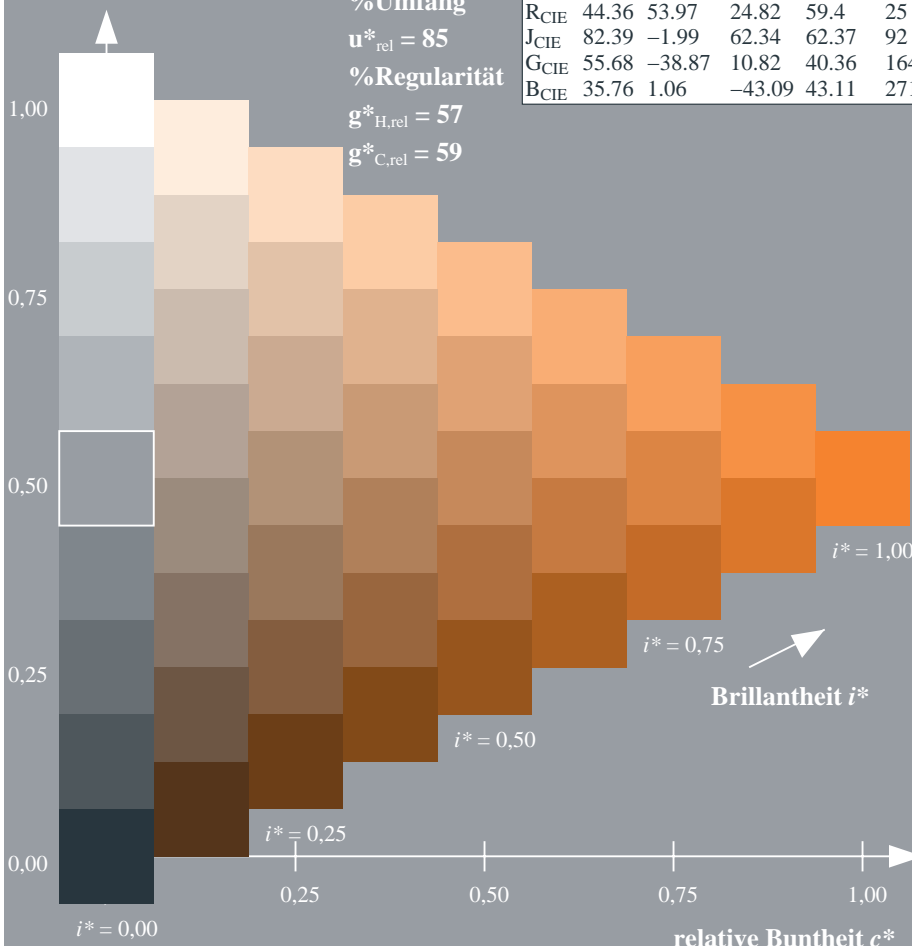
%Umfang

$u^*_{rel} = 85$

%Regularität

$g^*_{H,rel} = 57$

$g^*_{C,rel} = 59$



ZG920-7F, 9stufige Reihen für konstanten CIELAB Buntton 59/360 = 0.164 (links)

Seite 19/96

ZG920-7F, 16stufige Reihen für konstanten CIELAB Buntton 59/360 = 0.164 (rechts)

BAM-Prüfvorlage ZG92; Farbmimetrik-Systeme, Seite 19/96 Eingabe: $rgb / cmy0$ set($rgb/cmyk$)color

D65: 9 und 16stufige Farbreihen für 16 Elementar-Bunttöne Ausgabe: $->LAB^*->cmy5^*$ set($cmykcolo$

Eingabe: Farbmimetrisches Offset-Reflektiv-System ORS18

für Buntton $h^* = lab^*h = 77/360 = 0.215$

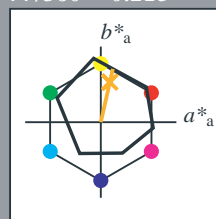
lab^*tch und lab^*nch

D65: Buntton R75J

LCH*Ma: 77 72 77

olv*Ma: 1.0 0.63 0.0

Dreiecks-Helligkeit t^*



%Umfang

$u^*_{rel} = 85$

%Regularität

$g^*_{H,rel} = 57$

$g^*_{C,rel} = 59$

ORS18; adaptierte CIELAB-Daten	$L^*=L^*_a$	a^*_a	b^*_a	$C^*_{ab,a}$	$h^*_{ab,a}$
O _{Ma}	51.74	60.16	46.48	76.02	38
Y _{Ma}	90.77	-9.44	84.41	84.94	96
L _{Ma}	54.46	-57.8	32.16	66.15	151
C _{Ma}	61.56	-27.91	-41.41	49.95	236
V _{Ma}	31.3	28.61	-40.85	49.88	305
M _{Ma}	51.91	69.26	-7.69	69.68	354
N _{Ma}	24.2	0.0	0.0	0.0	0
W _{Ma}	95.41	0.0	0.0	0.0	0
R _{CIE}	44.36	53.97	24.82	59.4	25
J _{CIE}	82.39	-1.99	62.34	62.37	92
G _{CIE}	55.68	-38.87	10.82	40.36	164
B _{CIE}	35.76	1.06	-43.09	43.11	271

Ausgabe: Farbmimetrisches Offset-Reflektiv-System ORS18

für Buntton $h^* = lab^*h = 77/360 = 0.215$

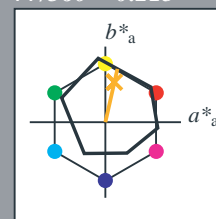
lab^*tch und lab^*nch

D65: Buntton R75J

LCH*Ma: 77 72 77

olv*Ma: 1.0 0.63 0.0

Dreiecks-Helligkeit t^*



%Umfang

$u^*_{rel} = 85$

%Regularität

$g^*_{H,rel} = 57$

$g^*_{C,rel} = 59$

ORS18; adaptierte CIELAB-Daten	$L^*=L^*_a$	a^*_a	b^*_a	$C^*_{ab,a}$	$h^*_{ab,a}$
R	51.79	63.09	29.02	69.44	25
R25J	53.73	56.6	48.42	74.48	41
R50J	65.47	35.67	59.82	69.65	59
R75J	76.51	15.98	70.55	72.34	77
J	86.93	-2.58	80.67	80.71	92
J25G	84.92	-17.23	75.99	77.92	103
J50G	73.11	-32.96	59.0	67.58	119
J75G	60.06	-50.34	40.22	64.44	141
G	56.21	-50.44	14.04	52.36	164
G25B	57.95	-43.12	-3.96	43.31	185
G50B	60.3	-33.22	-28.35	43.68	220
G75B	53.27	-12.42	-41.26	43.1	253
B	46.07	1.01	-41.12	41.15	271
B25R	34.63	22.38	-40.91	46.64	299
B50R	45.15	55.92	-18.57	58.93	342
B75R	51.85	65.84	12.67	67.04	11

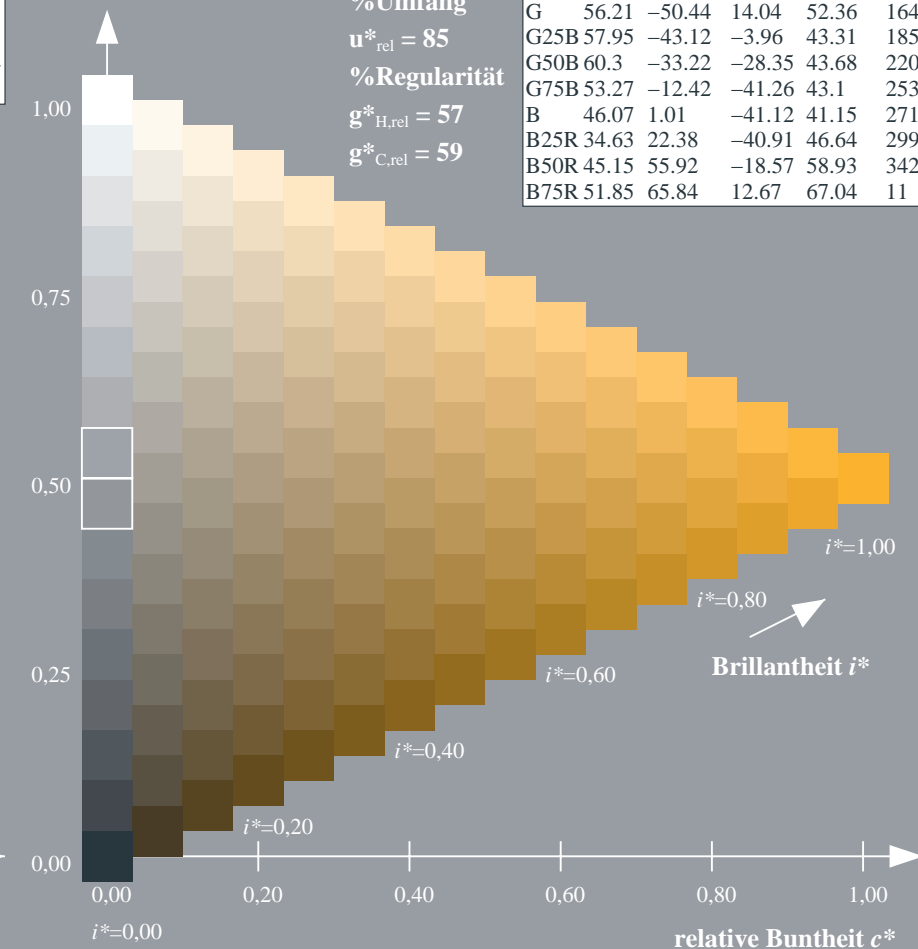
%Umfang

$u^*_{rel} = 85$

%Regularität

$g^*_{H,rel} = 57$

$g^*_{C,rel} = 59$



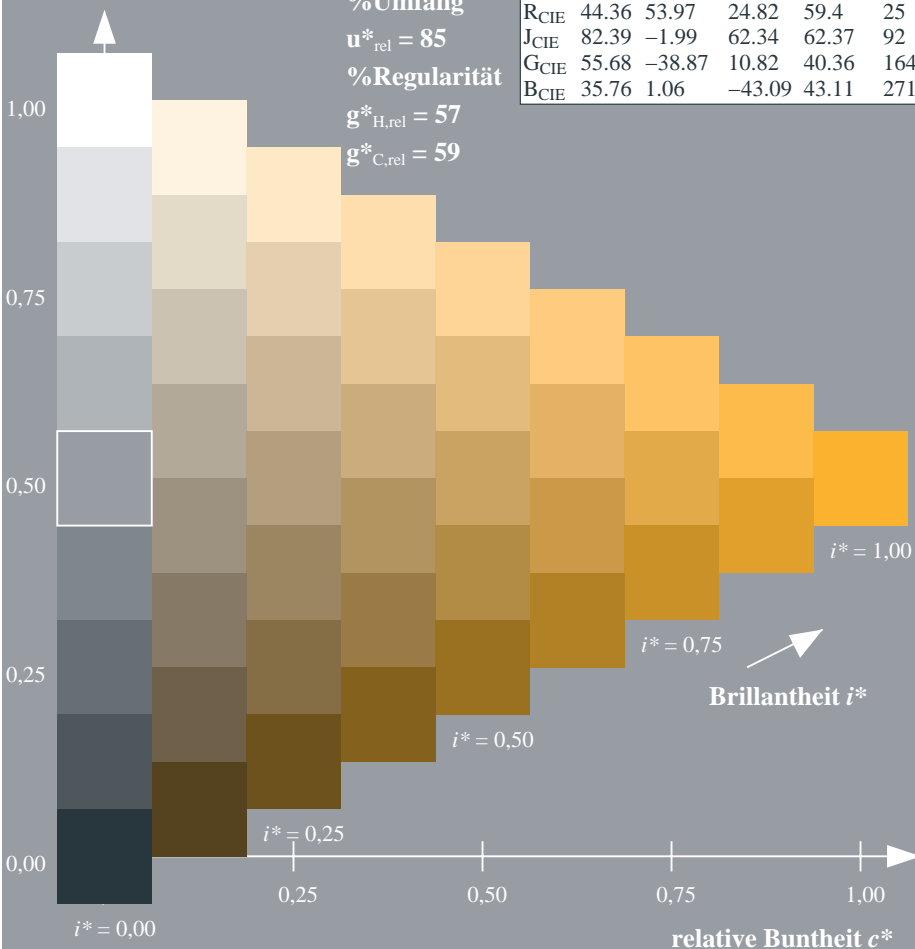
%Umfang

$u^*_{rel} = 85$

%Regularität

$g^*_{H,rel} = 57$

$g^*_{C,rel} = 59$



%Umfang

$u^*_{rel} = 85$

%Regularität

$g^*_{H,rel} = 57$

$g^*_{C,rel} = 59$

ZG920-7F, 9stufige Reihen für konstanten CIELAB Buntton 77/360 = 0.215 (links)

Seite 20/96

ZG920-7F, 16stufige Reihen für konstanten CIELAB Buntton 77/360 = 0.215 (rechts)

BAM-Prüfvorlage ZG92; Farbmimetrik-Systeme, Seite 20/96 Eingabe: $rgb / cmy0$ set($rgb/cmyk$)color

D65: 9 und 16stufige Farbreihen für 16 Elementar-Bunttöne Ausgabe: $\rightarrow LAB^* \rightarrow cmy5^* setcmykcolo$

Eingabe: Farbmimetrisches Offset-Reflektiv-System ORS18

für Buntton $h^* = lab^*h = 92/360 = 0.255$

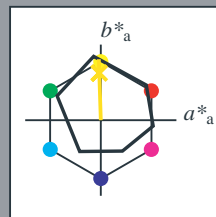
lab^*tch und lab^*nch

D65: Buntton J

LCH*Ma: 87 81 92

olv*Ma: 1.0 0.9 0.0

Dreiecks-Helligkeit t^*



%Umfang

$u^*_{rel} = 85$

%Regularität

$g^*_{H,rel} = 57$

$g^*_{C,rel} = 59$

ORS18; adaptierte CIELAB-Daten	$L^*=L^*_a$	a^*_a	b^*_a	$C^*_{ab,a}$	$h^*_{ab,a}$
O _{Ma}	51.74	60.16	46.48	76.02	38
Y _{Ma}	90.77	-9.44	84.41	84.94	96
L _{Ma}	54.46	-57.8	32.16	66.15	151
C _{Ma}	61.56	-27.91	-41.41	49.95	236
V _{Ma}	31.3	28.61	-40.85	49.88	305
M _{Ma}	51.91	69.26	-7.69	69.68	354
N _{Ma}	24.2	0.0	0.0	0.0	0
W _{Ma}	95.41	0.0	0.0	0.0	0
R _{CIE}	44.36	53.97	24.82	59.4	25
J _{CIE}	82.39	-1.99	62.34	62.37	92
G _{CIE}	55.68	-38.87	10.82	40.36	164
B _{CIE}	35.76	1.06	-43.09	43.11	271

Ausgabe: Farbmimetrisches Offset-Reflektiv-System ORS18

für Buntton $h^* = lab^*h = 92/360 = 0.255$

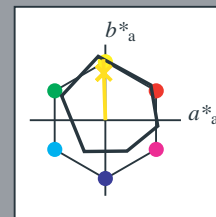
lab^*tch und lab^*nch

D65: Buntton J

LCH*Ma: 87 81 92

olv*Ma: 1.0 0.9 0.0

Dreiecks-Helligkeit t^*



%Umfang

$u^*_{rel} = 85$

%Regularität

$g^*_{H,rel} = 57$

$g^*_{C,rel} = 59$

ORS18; adaptierte CIELAB-Daten	$L^*=L^*_a$	a^*_a	b^*_a	$C^*_{ab,a}$	$h^*_{ab,a}$
R	51.79	63.09	29.02	69.44	25
R25J	53.73	56.6	48.42	74.48	41
R50J	65.47	35.67	59.82	69.65	59
R75J	76.51	15.98	70.55	72.34	77
J	86.93	-2.58	80.67	80.71	92
J25G	84.92	-17.23	75.99	77.92	103
J50G	73.11	-32.96	59.0	67.58	119
J75G	60.06	-50.34	40.22	64.44	141
G	56.21	-50.44	14.04	52.36	164
G25B	57.95	-43.12	-3.96	43.31	185
G50B	60.3	-33.22	-28.35	43.68	220
G75B	53.27	-12.42	-41.26	43.1	253
B	46.07	1.01	-41.12	41.15	271
B25R	34.63	22.38	-40.91	46.64	299
B50R	45.15	55.92	-18.57	58.93	342
B75R	51.85	65.84	12.67	67.04	11

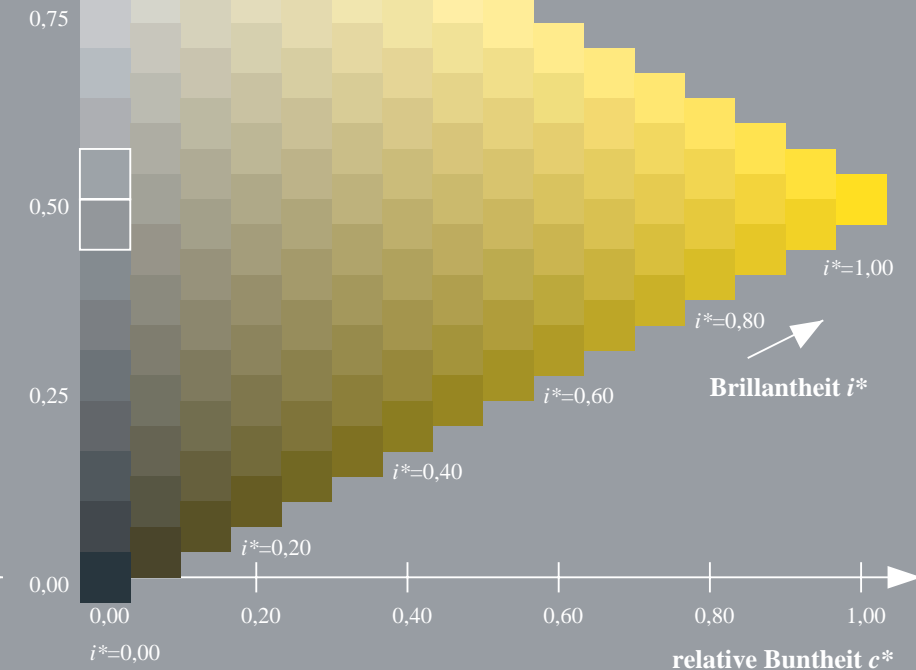
%Umfang

$u^*_{rel} = 85$

%Regularität

$g^*_{H,rel} = 57$

$g^*_{C,rel} = 59$



ZG920-7F, 9stufige Reihen für konstanten CIELAB Buntton 92/360 = 0.255 (links)

Seite 21/96

ZG920-7F, 16stufige Reihen für konstanten CIELAB Buntton 92/360 = 0.255 (rechts)

BAM-Prüfvorlage ZG92; Farbmimetrik-Systeme, Seite 21/96 Eingabe: $rgb / cmy0 set(rgb/cmyk)color$

D65: 9 und 16stufige Farbreihen für 16 Elementar-Bunttöne Ausgabe: $->LAB^*->cmy5^* setcmykcolo$

Eingabe: Farbmétrisches Offset-Reflektiv-System ORS18

für Buntton $h^* = lab^*h = 103/360 = 0.286$

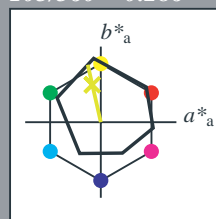
lab^*tch und lab^*nch

D65: Buntton J25G

LCH*Ma: 85 78 103

olv*Ma: 0.84 1.0 0.0

Dreiecks-Helligkeit t^*



%Umfang

$u^*_{rel} = 85$

%Regularität

$g^*_{H,rel} = 57$

$g^*_{C,rel} = 59$

ORS18; adaptierte CIELAB-Daten					
	$L^*=L^*_a$	a^*_a	b^*_a	$C^*_{ab,a}$	$h^*_{ab,a}$
O _{Ma}	51.74	60.16	46.48	76.02	38
Y _{Ma}	90.77	-9.44	84.41	84.94	96
L _{Ma}	54.46	-57.8	32.16	66.15	151
C _{Ma}	61.56	-27.91	-41.41	49.95	236
V _{Ma}	31.3	28.61	-40.85	49.88	305
M _{Ma}	51.91	69.26	-7.69	69.68	354
N _{Ma}	24.2	0.0	0.0	0.0	0
W _{Ma}	95.41	0.0	0.0	0.0	0
R _{CIE}	44.36	53.97	24.82	59.4	25
J _{CIE}	82.39	-1.99	62.34	62.37	92
G _{CIE}	55.68	-38.87	10.82	40.36	164
B _{CIE}	35.76	1.06	-43.09	43.11	271

Ausgabe: Farbmétrisches Offset-Reflektiv-System ORS18

für Buntton $h^* = lab^*h = 103/360 = 0.286$

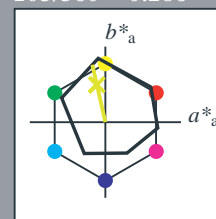
lab^*tch und lab^*nch

D65: Buntton J25G

LCH*Ma: 85 78 103

olv*Ma: 0.84 1.0 0.0

Dreiecks-Helligkeit t^*



%Umfang

$u^*_{rel} = 85$

%Regularität

$g^*_{H,rel} = 57$

$g^*_{C,rel} = 59$

ORS18; adaptierte CIELAB-Daten					
	$L^*=L^*_a$	a^*_a	b^*_a	$C^*_{ab,a}$	$h^*_{ab,a}$
R	51.79	63.09	29.02	69.44	25
R25J	53.73	56.6	48.42	74.48	41
R50J	65.47	35.67	59.82	69.65	59
R75J	76.51	15.98	70.55	72.34	77
J	86.93	-2.58	80.67	80.71	92
J25G	84.92	-17.23	75.99	77.92	103
J50G	73.11	-32.96	59.0	67.58	119
J75G	60.06	-50.34	40.22	64.44	141
G	56.21	-50.44	14.04	52.36	164
G25B	57.95	-43.12	-3.96	43.31	185
G50B	60.3	-33.22	-28.35	43.68	220
G75B	53.27	-12.42	-41.26	43.1	253
B	46.07	1.01	-41.12	41.15	271
B25R	34.63	22.38	-40.91	46.64	299
B50R	45.15	55.92	-18.57	58.93	342
B75R	51.85	65.84	12.67	67.04	11

%Umfang

$u^*_{rel} = 85$

%Regularität

$g^*_{H,rel} = 57$

$g^*_{C,rel} = 59$

%Umfang

$u^*_{rel} = 85$

%Regularität

$g^*_{H,rel} = 57$

$g^*_{C,rel} = 59$

%Umfang

$u^*_{rel} = 85$

%Regularität

$g^*_{H,rel} = 57$

$g^*_{C,rel} = 59$

%Umfang

$u^*_{rel} = 85$

%Regularität

$g^*_{H,rel} = 57$

$g^*_{C,rel} = 59$

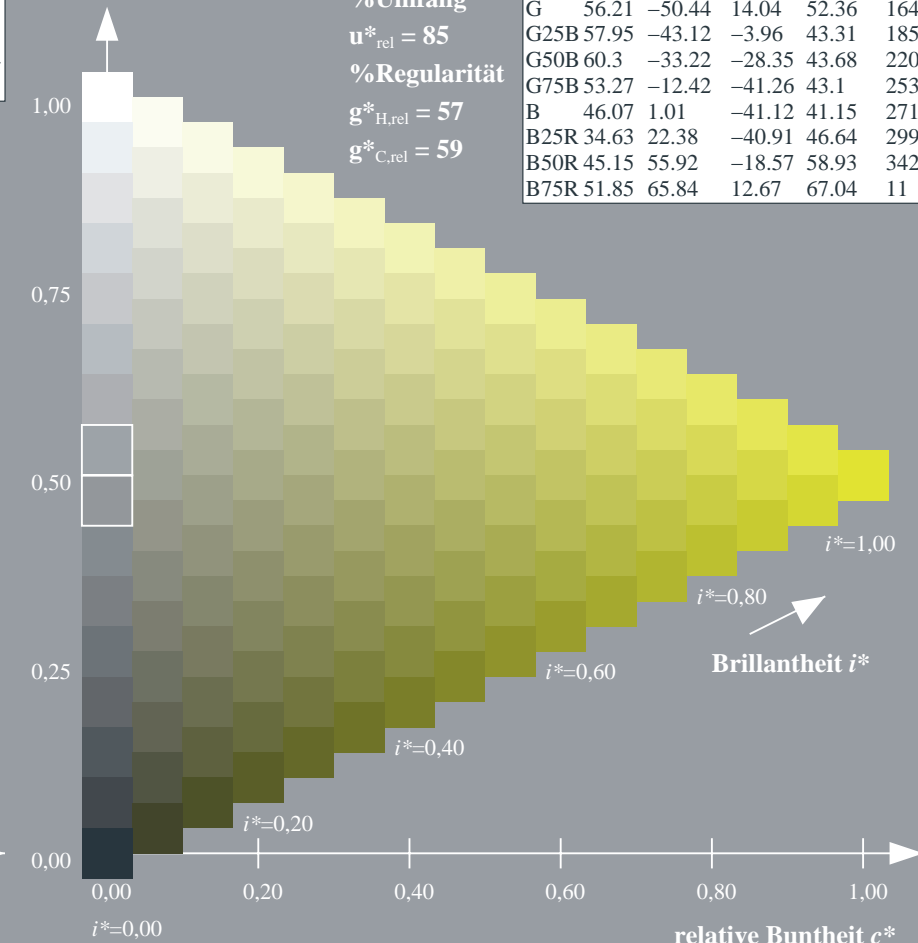
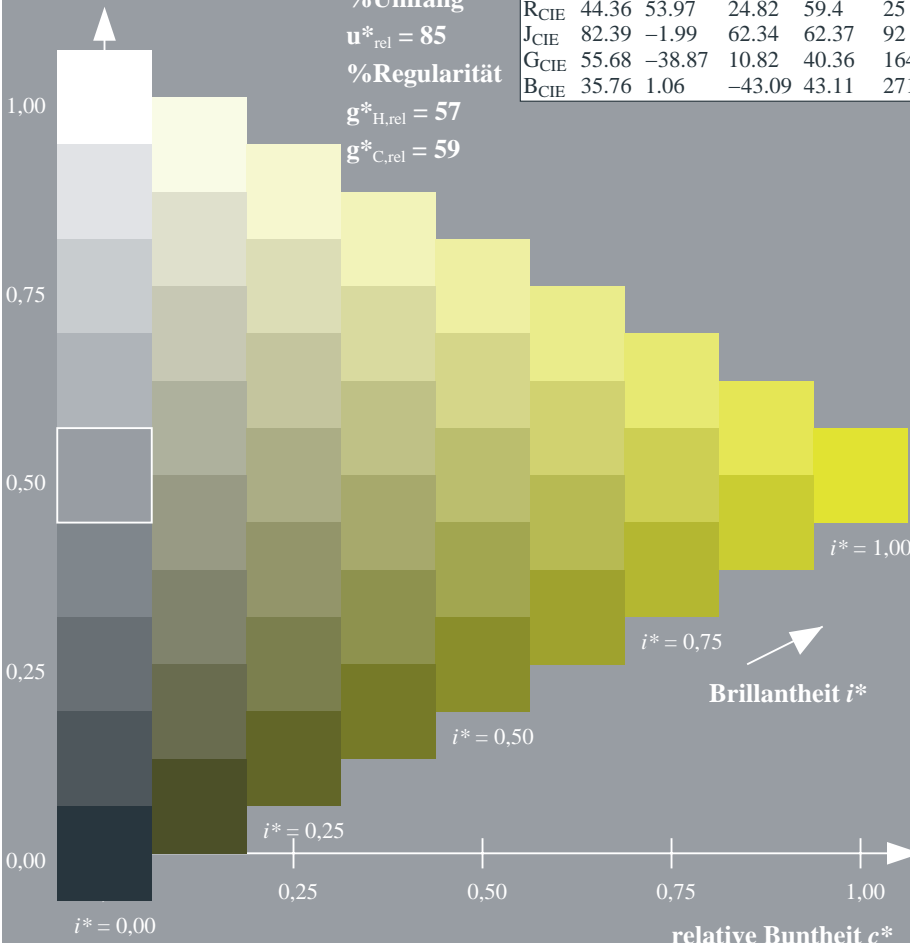
%Umfang

$u^*_{rel} = 85$

%Regularität

$g^*_{H,rel} = 57$

$g^*_{C,rel} = 59$



ZG920-7F, 9stufige Reihen für konstanten CIELAB Buntton 103/360 = 0.286 (links)

Seite 22/96

ZG920-7F, 16stufige Reihen für konstanten CIELAB Buntton 103/360 = 0.286 (rechts)

BAM-Prüfvorlage ZG92; Farbmétrik-Systeme, Seite 22/96 Eingabe: $rgb / cmy0 set(rgb/cmyk)color$

D65: 9 und 16stufige Farbreihen für 16 Elementar-Bunttöne Ausgabe: $->LAB^*->cmy5^* setcmykcolo$

Eingabe: Farbmimetrisches Offset-Reflektiv-System ORS18

für Buntton $h^* = lab^*h = 119/360 = 0.331$

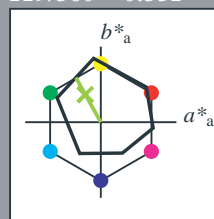
lab^*tch und lab^*nch

D65: Buntton J50G

LCH*Ma: 73 68 119

olv*Ma: 0.51 1.0 0.0

Dreiecks-Helligkeit t^*



%Umfang

$u^*_{rel} = 85$

%Regularität

$g^*_{H,rel} = 57$

$g^*_{C,rel} = 59$

ORS18; adaptierte CIELAB-Daten

	$L^*=L^*_a$	a^*_a	b^*_a	$C^*_{ab,a}$	$h^*_{ab,a}$
O _{Ma}	51.74	60.16	46.48	76.02	38
Y _{Ma}	90.77	-9.44	84.41	84.94	96
L _{Ma}	54.46	-57.8	32.16	66.15	151
C _{Ma}	61.56	-27.91	-41.41	49.95	236
V _{Ma}	31.3	28.61	-40.85	49.88	305
M _{Ma}	51.91	69.26	-7.69	69.68	354
N _{Ma}	24.2	0.0	0.0	0.0	0
W _{Ma}	95.41	0.0	0.0	0.0	0
R _{CIE}	44.36	53.97	24.82	59.4	25
J _{CIE}	82.39	-1.99	62.34	62.37	92
G _{CIE}	55.68	-38.87	10.82	40.36	164
B _{CIE}	35.76	1.06	-43.09	43.11	271

Ausgabe: Farbmimetrisches Offset-Reflektiv-System ORS18

für Buntton $h^* = lab^*h = 119/360 = 0.331$

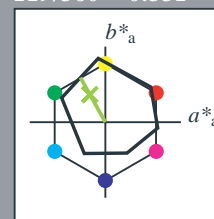
lab^*tch und lab^*nch

D65: Buntton J50G

LCH*Ma: 73 68 119

olv*Ma: 0.51 1.0 0.0

Dreiecks-Helligkeit t^*



%Umfang

$u^*_{rel} = 85$

%Regularität

$g^*_{H,rel} = 57$

$g^*_{C,rel} = 59$

ORS18; adaptierte CIELAB-Daten

	$L^*=L^*_a$	a^*_a	b^*_a	$C^*_{ab,a}$	$h^*_{ab,a}$
R	51.79	63.09	29.02	69.44	25
R25J	53.73	56.6	48.42	74.48	41
R50J	65.47	35.67	59.82	69.65	59
R75J	76.51	15.98	70.55	72.34	77
J	86.93	-2.58	80.67	80.71	92
J25G	84.92	-17.23	75.99	77.92	103
J50G	73.11	-32.96	59.0	67.58	119
J75G	60.06	-50.34	40.22	64.44	141
G	56.21	-50.44	14.04	52.36	164
G25B	57.95	-43.12	-3.96	43.31	185
G50B	60.3	-33.22	-28.35	43.68	220
G75B	53.27	-12.42	-41.26	43.1	253
B	46.07	1.01	-41.12	41.15	271
B25R	34.63	22.38	-40.91	46.64	299
B50R	45.15	55.92	-18.57	58.93	342
B75R	51.85	65.84	12.67	67.04	11

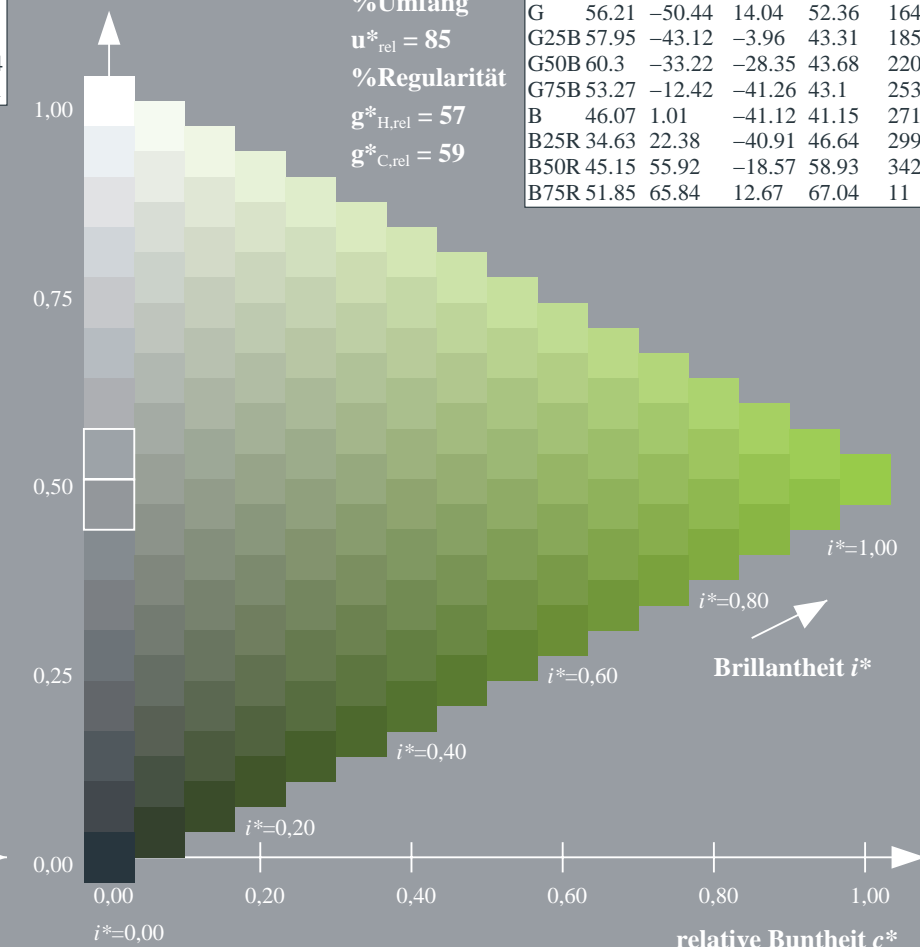
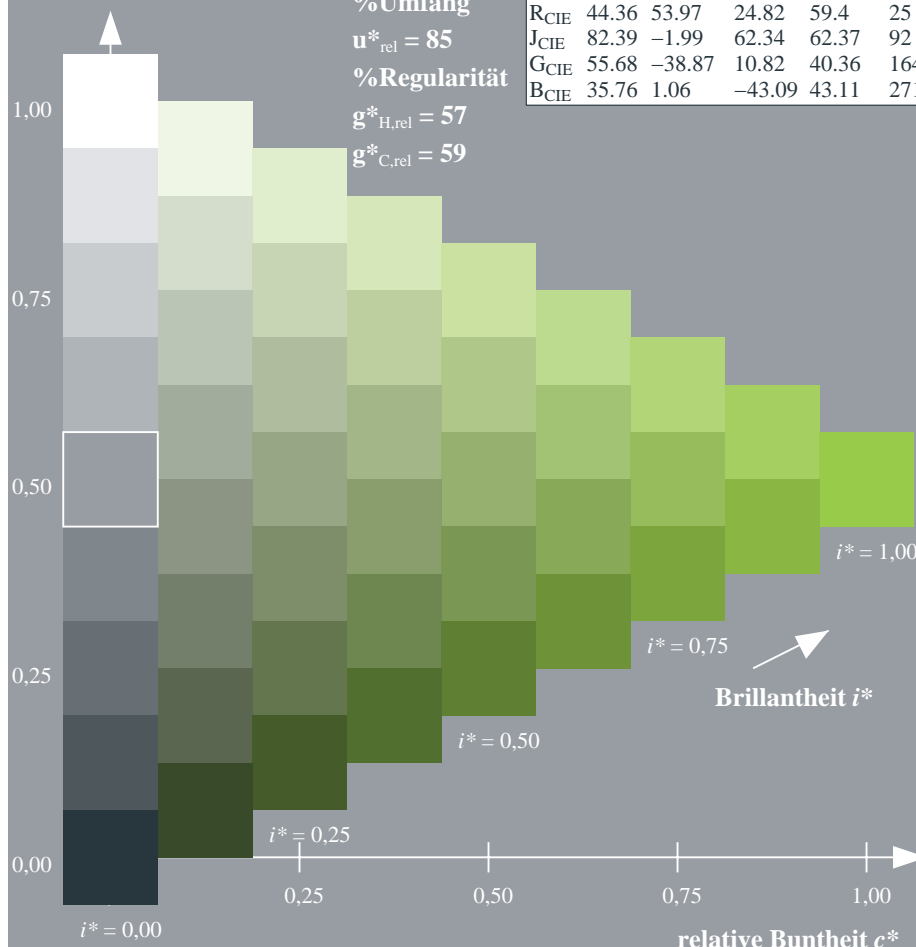
%Umfang

$u^*_{rel} = 85$

%Regularität

$g^*_{H,rel} = 57$

$g^*_{C,rel} = 59$



ZG920-7F, 9stufige Reihen für konstanten CIELAB Buntton 119/360 = 0.331 (links)

Seite 23/96

ZG920-7F, 16stufige Reihen für konstanten CIELAB Buntton 119/360 = 0.331 (rechts)

BAM-Prüfvorlage ZG92; Farbmimetrik-Systeme, Seite 23/96 Eingabe: $rgb / cmy0$ set($rgb/cmyk$)color

D65: 9 und 16stufige Farbreihen für 16 Elementar-Bunttöne Ausgabe: $\rightarrow LAB^* \rightarrow cmy5^*$ set($cmyk$)color

Eingabe: Farbmétrisches Offset-Reflektiv-System ORS18

für Buntton $h^* = lab^*h = 141/360 = 0.393$

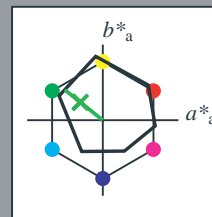
*lab*tch* und *lab*nch*

D65: Buntton J75G

LCH*Ma: 60 64 141

olv*Ma: 0.15 1.0 0.0

Dreiecks-Helligkeit t^*



%Umfang

$$\mathbf{u}_{\text{rel}}^* = 85$$

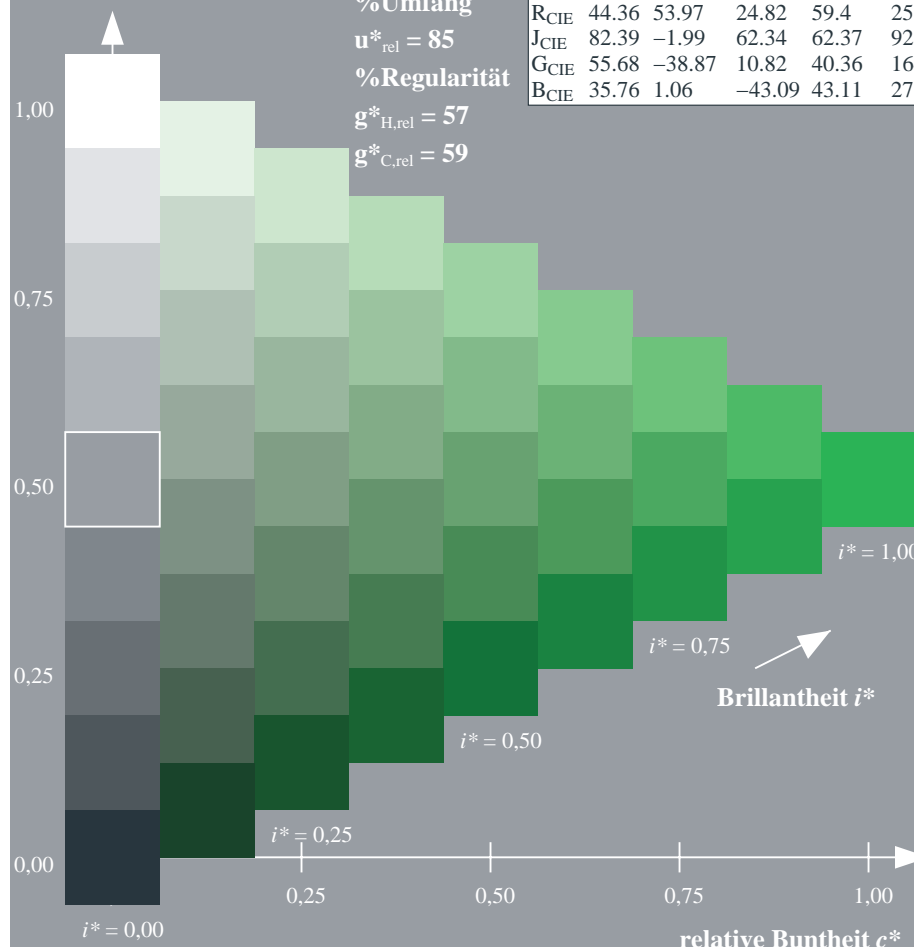
%Regularität

$$g^*_{H_{rel}} = 57$$

$g^*_{C_{rel}} = 59$

Response	Percentage
Appropriate	65%
Not Appropriate	35%

ORS18; adaptierte CIELAB-Daten					
	L^*_a	a^*_a	b^*_a	$C^*_{ab,a}$	$h^*_{ab,a}$
O _{Ma}	51.74	60.16	46.48	76.02	38
Y _{Ma}	90.77	-9.44	84.41	84.94	96
L _{Ma}	54.46	-57.8	32.16	66.15	151
C _{Ma}	61.56	-27.91	-41.41	49.95	236
V _{Ma}	31.3	28.61	-40.85	49.88	305
M _{Ma}	51.91	69.26	-7.69	69.68	354
N _{Ma}	24.2	0.0	0.0	0.0	0
W _{Ma}	95.41	0.0	0.0	0.0	0
R _{CIE}	44.36	53.97	24.82	59.4	25
J _{CIE}	82.39	-1.99	62.34	62.37	92
G _{CIE}	55.68	-38.87	10.82	40.36	164
B _{CIE}	35.76	1.06	-43.09	43.11	271



Ausgabe: Farbmétrisches Offset-Reflektiv-System ORS18

für Buntton $h^* = lab^*h = 141/360 = 0.393$

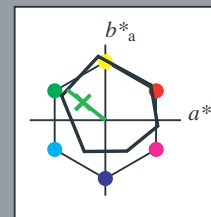
*lab*tch* und *lab*nch*

D65: Buntton J75G

LCH*Ma: 60 64 141

olv*Ma: 0.15 1.0 0.0

Dreiecks-Helligkeit t^*



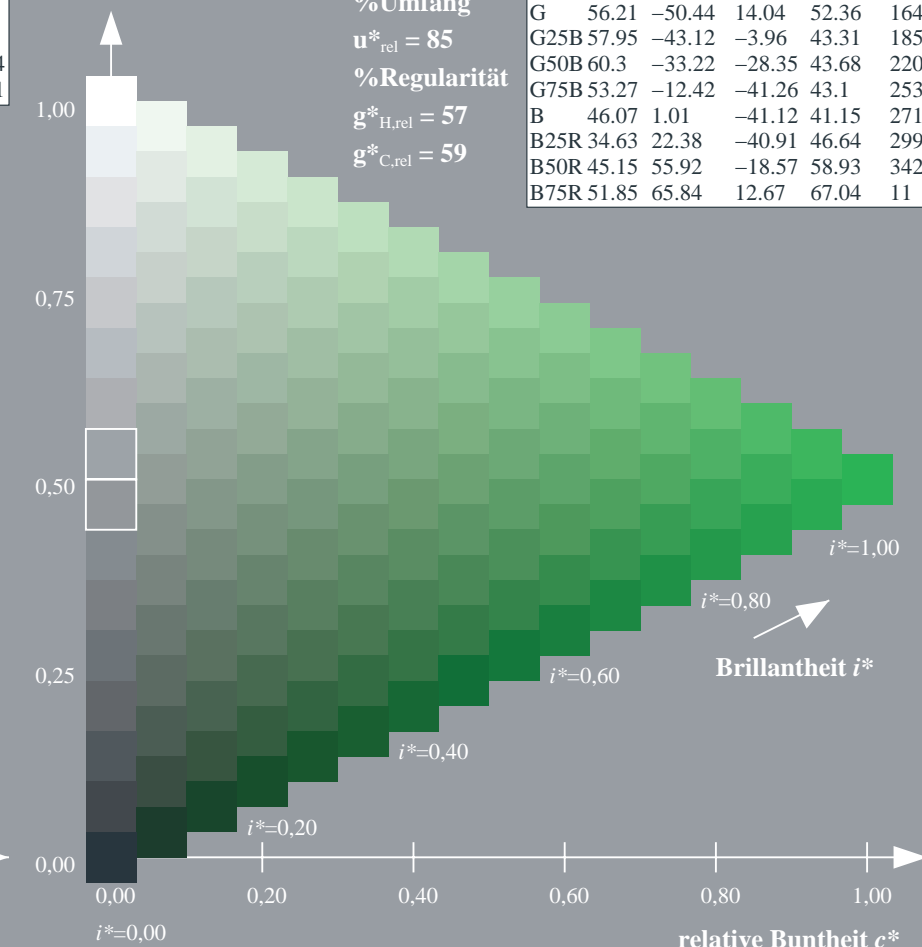
%Umfang

$$\mathbf{u}_{\text{rel}}^* = 85$$

%Regularität

$$g^*_{H_{rel}} = 57$$
$$\mathbf{g}_{\text{C rel}}^* = 59$$

ORS18; adaptierte CIELAB-Daten					
	L^*_a	a^*_a	b^*_a	$C^*_{ab,a}$	$h^*_{ab,a}$
R	51.79	63.09	29.02	69.44	25.36
R25J	53.73	56.6	48.42	74.48	41.24
R50J	65.47	35.67	59.82	69.65	59
R75J	76.51	15.98	70.55	72.34	77
J	86.93	-2.58	80.67	80.71	92
J25G	84.92	-17.23	75.99	77.92	103
J50G	73.11	-32.96	59.0	67.58	119
J75G	60.06	-50.34	40.22	64.44	141
G	56.21	-50.44	14.04	52.36	164
G25B	57.95	-43.12	-3.96	43.31	185
G50B	60.3	-33.22	-28.35	43.68	220
G75B	53.27	-12.42	-41.26	43.1	253
B	46.07	1.01	-41.12	41.15	271
B25R	34.63	22.38	-40.91	46.64	299
B50R	45.15	55.92	-18.57	58.93	342
B75R	51.85	65.84	12.67	67.04	411

ZG920-7F, 9stufige Reihen für konstanten CIELAB Buntton $141/360 = 0.393$ (links) Seite 24/96ZG920-7F, 16stufige Reihen für konstanten CIELAB Buntton $141/360 = 0.393$ (rechts)

BAM-Prüfvorlage ZG92: Farbmatrik-Systeme. Seite 24/96 Eingabe: *rgb / cmv0 set(rgb/cmyk)color*

D65: 9 und 16stufige Farbreihen für 16 Elementar-Bunttöne Ausgabe: $\rightarrow LAB^* \rightarrow cmyn5^* setcmykcolor$

Eingabe: Farbmimetrisches Offset-Reflektiv-System ORS18

für Buntton $h^* = lab^*h = 164/360 = 0.457$

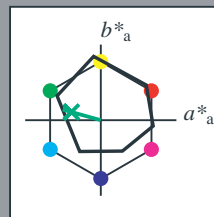
lab^*tch und lab^*nch

D65: Buntton G

LCH*Ma: 56 52 164

olv*Ma: 0.0 1.0 0.25

Dreiecks-Helligkeit t^*



%Umfang

$u^*_{rel} = 85$

%Regularität

$g^*_{H,rel} = 57$

$g^*_{C,rel} = 59$

ORS18; adaptierte CIELAB-Daten

	$L^*=L^*_a$	a^*_a	b^*_a	$C^*_{ab,a}$	$h^*_{ab,a}$
O _{Ma}	51.74	60.16	46.48	76.02	38
Y _{Ma}	90.77	-9.44	84.41	84.94	96
L _{Ma}	54.46	-57.8	32.16	66.15	151
C _{Ma}	61.56	-27.91	-41.41	49.95	236
V _{Ma}	31.3	28.61	-40.85	49.88	305
M _{Ma}	51.91	69.26	-7.69	69.68	354
N _{Ma}	24.2	0.0	0.0	0.0	0
W _{Ma}	95.41	0.0	0.0	0.0	0
R _{CIE}	44.36	53.97	24.82	59.4	25
J _{CIE}	82.39	-1.99	62.34	62.37	92
G _{CIE}	55.68	-38.87	10.82	40.36	164
B _{CIE}	35.76	1.06	-43.09	43.11	271

Ausgabe: Farbmimetrisches Offset-Reflektiv-System ORS18

für Buntton $h^* = lab^*h = 164/360 = 0.457$

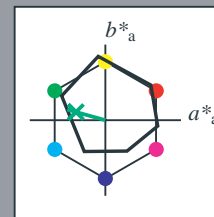
lab^*tch und lab^*nch

D65: Buntton G

LCH*Ma: 56 52 164

olv*Ma: 0.0 1.0 0.25

Dreiecks-Helligkeit t^*



%Umfang

$u^*_{rel} = 85$

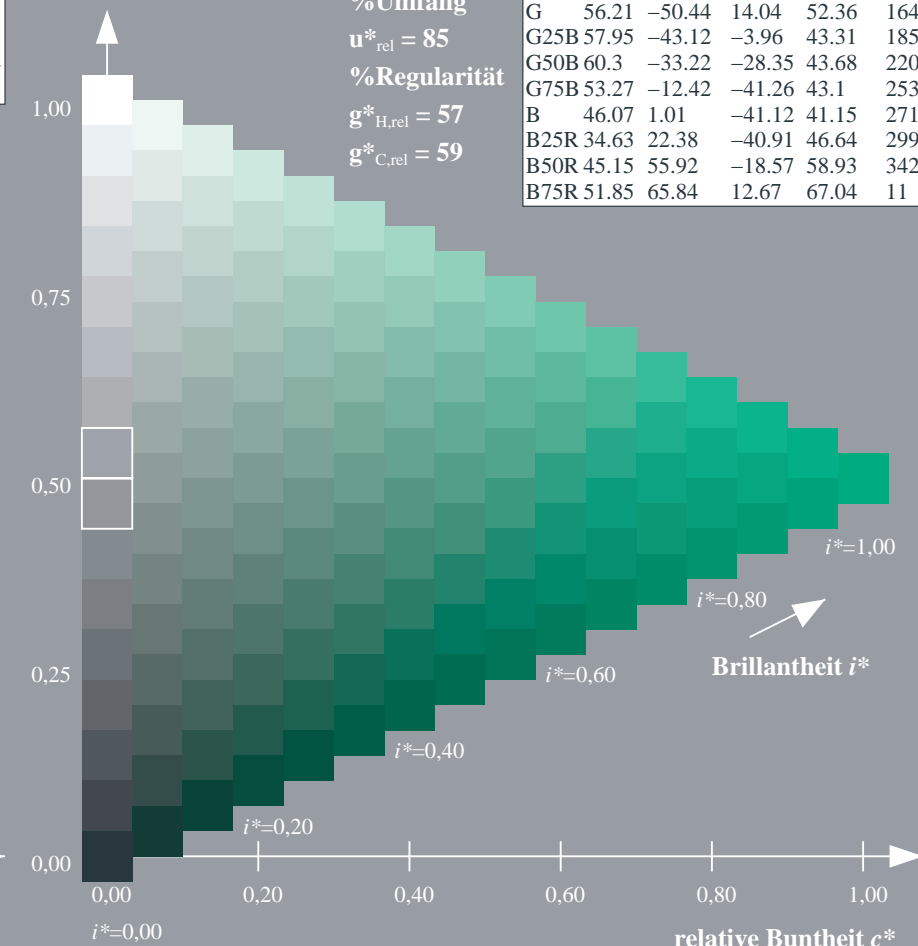
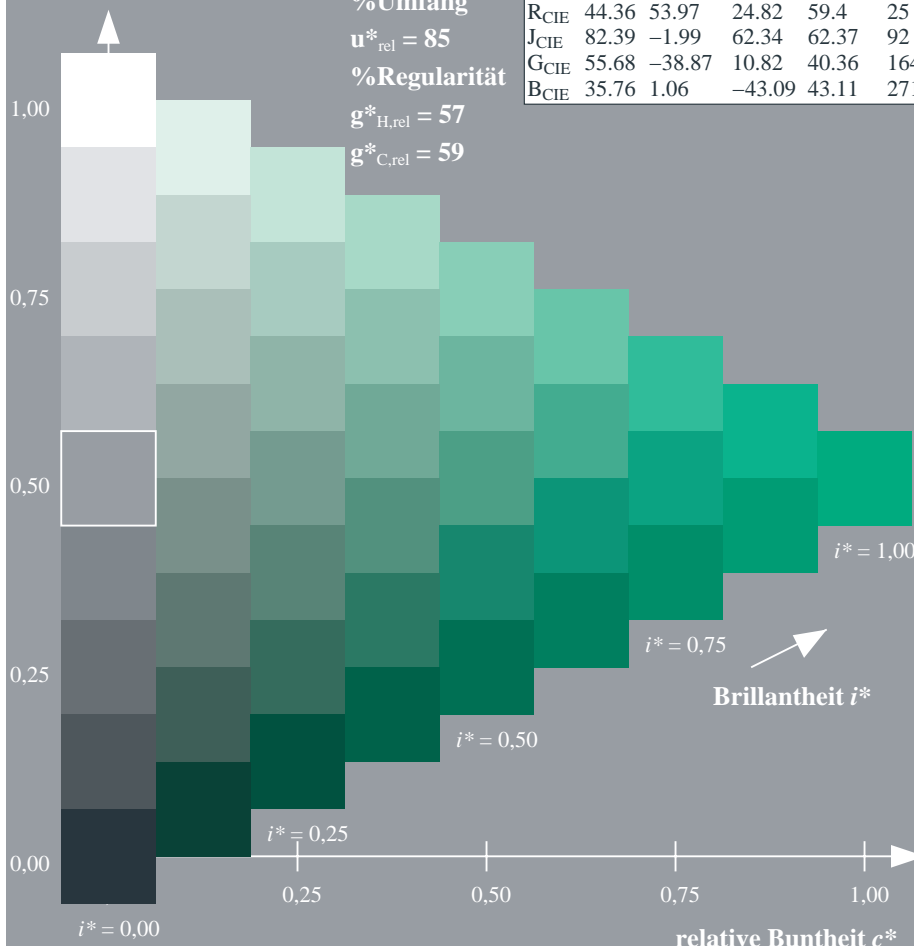
%Regularität

$g^*_{H,rel} = 57$

$g^*_{C,rel} = 59$

ORS18; adaptierte CIELAB-Daten

	$L^*=L^*_a$	a^*_a	b^*_a	$C^*_{ab,a}$	$h^*_{ab,a}$
R	51.79	63.09	29.02	69.44	25
R25J	53.73	56.6	48.42	74.48	41
R50J	65.47	35.67	59.82	69.65	59
R75J	76.51	15.98	70.55	72.34	77
J	86.93	-2.58	80.67	80.71	92
J25G	84.92	-17.23	75.99	77.92	103
J50G	73.11	-32.96	59.0	67.58	119
J75G	60.06	-50.34	40.22	64.44	141
G	56.21	-50.44	14.04	52.36	164
G25B	57.95	-43.12	-3.96	43.31	185
G50B	60.3	-33.22	-28.35	43.68	220
G75B	53.27	-12.42	-41.26	43.1	253
B	46.07	1.01	-41.12	41.15	271
B25R	34.63	22.38	-40.91	46.64	299
B50R	45.15	55.92	-18.57	58.93	342
B75R	51.85	65.84	12.67	67.04	11



ZG920-7F, 9stufige Reihen für konstanten CIELAB Buntton 164/360 = 0.457 (links)

Seite 25/96

ZG920-7F, 16stufige Reihen für konstanten CIELAB Buntton 164/360 = 0.457 (rechts)

BAM-Prüfvorlage ZG92; Farbmimetrik-Systeme, Seite 25/96 Eingabe: $rgb / cmy0 set(rgb/cmyk)color$

D65: 9 und 16stufige Farbreihen für 16 Elementar-Bunttöne Ausgabe: $\rightarrow LAB^* \rightarrow cmy5^* setcmykcolo$

Eingabe: Farbmimetrisches Offset-Reflektiv-System ORS18

für Buntton $h^* = lab^*h = 185/360 = 0.515$

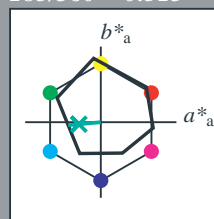
lab^*tch und lab^*nch

D65: Buntton G25B

LCH*Ma: 58 43 185

olv*Ma: 0.0 1.0 0.49

Dreiecks-Helligkeit t^*



%Umfang

$u^*_{rel} = 85$

%Regularität

$g^*_{H,rel} = 57$

$g^*_{C,rel} = 59$

ORS18; adaptierte CIELAB-Daten					
	$L^*=L^*_a$	a^*_a	b^*_a	$C^*_{ab,a}$	$h^*_{ab,a}$
O _{Ma}	51.74	60.16	46.48	76.02	38
Y _{Ma}	90.77	-9.44	84.41	84.94	96
L _{Ma}	54.46	-57.8	32.16	66.15	151
C _{Ma}	61.56	-27.91	-41.41	49.95	236
V _{Ma}	31.3	28.61	-40.85	49.88	305
M _{Ma}	51.91	69.26	-7.69	69.68	354
N _{Ma}	24.2	0.0	0.0	0.0	0
W _{Ma}	95.41	0.0	0.0	0.0	0
R _{CIE}	44.36	53.97	24.82	59.4	25
J _{CIE}	82.39	-1.99	62.34	62.37	92
G _{CIE}	55.68	-38.87	10.82	40.36	164
B _{CIE}	35.76	1.06	-43.09	43.11	271

Ausgabe: Farbmimetrisches Offset-Reflektiv-System ORS18

für Buntton $h^* = lab^*h = 185/360 = 0.515$

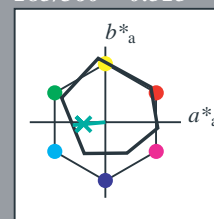
lab^*tch und lab^*nch

D65: Buntton G25B

LCH*Ma: 58 43 185

olv*Ma: 0.0 1.0 0.49

Dreiecks-Helligkeit t^*



%Umfang

$u^*_{rel} = 85$

%Regularität

$g^*_{H,rel} = 57$

$g^*_{C,rel} = 59$

ORS18; adaptierte CIELAB-Daten					
	$L^*=L^*_a$	a^*_a	b^*_a	$C^*_{ab,a}$	$h^*_{ab,a}$
R	51.79	63.09	29.02	69.44	25
R25J	53.73	56.6	48.42	74.48	41
R50J	65.47	35.67	59.82	69.65	59
R75J	76.51	15.98	70.55	72.34	77
J	86.93	-2.58	80.67	80.71	92
J25G	84.92	-17.23	75.99	77.92	103
J50G	73.11	-32.96	59.0	67.58	119
J75G	60.06	-50.34	40.22	64.44	141
G	56.21	-50.44	14.04	52.36	164
G25B	57.95	-43.12	-3.96	43.31	185
G50B	60.3	-33.22	-28.35	43.68	220
G75B	53.27	-12.42	-41.26	43.1	253
B	46.07	1.01	-41.12	41.15	271
B25R	34.63	22.38	-40.91	46.64	299
B50R	45.15	55.92	-18.57	58.93	342
B75R	51.85	65.84	12.67	67.04	11

%Umfang

$u^*_{rel} = 85$

%Regularität

$g^*_{H,rel} = 57$

$g^*_{C,rel} = 59$

%Umfang

$u^*_{rel} = 85$

%Regularität

$g^*_{H,rel} = 57$

$g^*_{C,rel} = 59$

%Umfang

$u^*_{rel} = 85$

%Regularität

$g^*_{H,rel} = 57$

$g^*_{C,rel} = 59$

%Umfang

$u^*_{rel} = 85$

%Regularität

$g^*_{H,rel} = 57$

$g^*_{C,rel} = 59$

%Umfang

$u^*_{rel} = 85$

%Regularität

$g^*_{H,rel} = 57$

$g^*_{C,rel} = 59$

ZG920-7F, 9stufige Reihen für konstanten CIELAB Buntton 185/360 = 0.515 (links)

Seite 26/96

ZG920-7F, 16stufige Reihen für konstanten CIELAB Buntton 185/360 = 0.515 (rechts)

BAM-Prüfvorlage ZG92; Farbmimetrik-Systeme, Seite 26/96 Eingabe: $rgb / cmy0 set(rgb/cmyk)color$

D65: 9 und 16stufige Farbreihen für 16 Elementar-Bunttöne Ausgabe: $->LAB^*->cmy5^* setcmykcolo$

Eingabe: Farbmétrisches Offset-Reflektiv-System ORS18

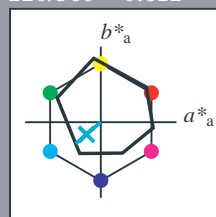
für Buntton $h^* = lab^*h = 220/360 = 0.612$

*lab*tch* und *lab*nch*

D65: Buntton G50B

LCH*Ma: 60 44 220

olv*Ma: 0.0 1.0 0.82



Dreiecks-Helligkeit t^*

%Umfang

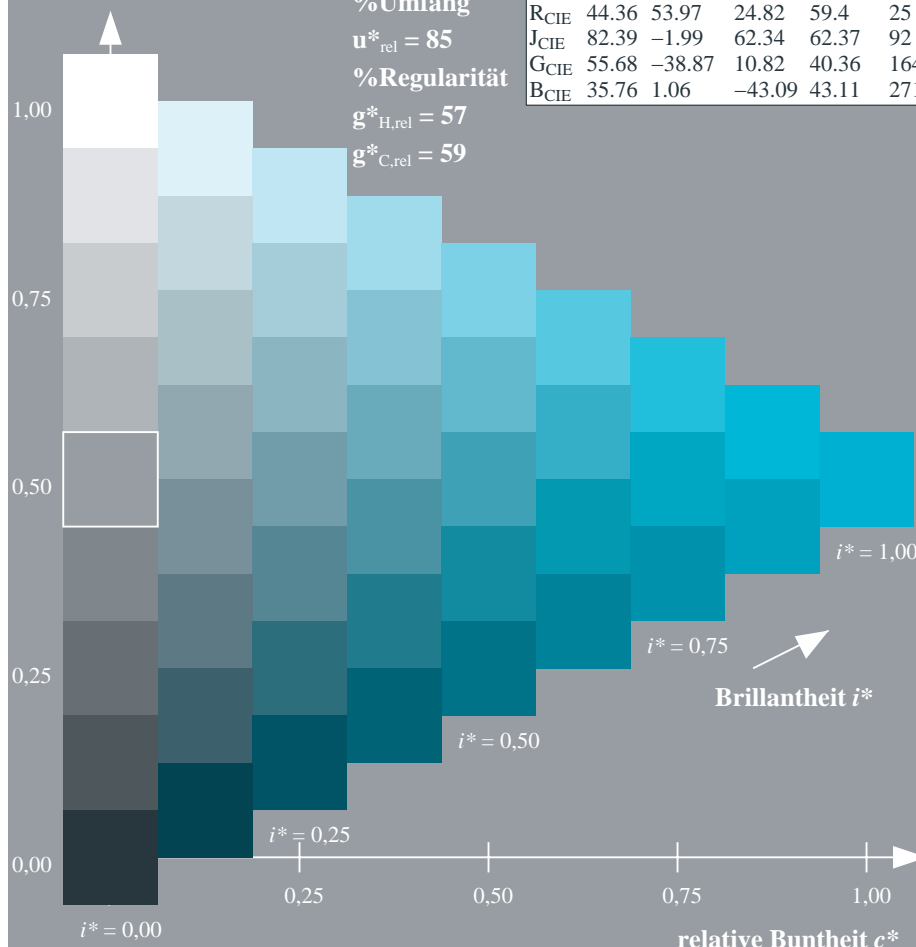
$$\mathbf{u}_{\text{rel}}^* = 85$$

%Regularität

$$g^*_{H_{rel}} = 57$$

■ $g^*_{C_{rel}} = 59$

100



Ausgabe: Farbmétrisches Offset-Reflektiv-System ORS18

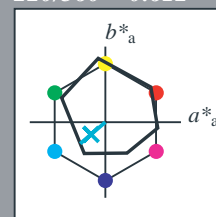
für Buntton $h^* = lab^*h = 220/360 = 0.612$

lab*tch und lab*nch

D65: Buntton G50B

LCH*Ma: 60 44 220

olv*Ma: 0.0 1.0 0.82

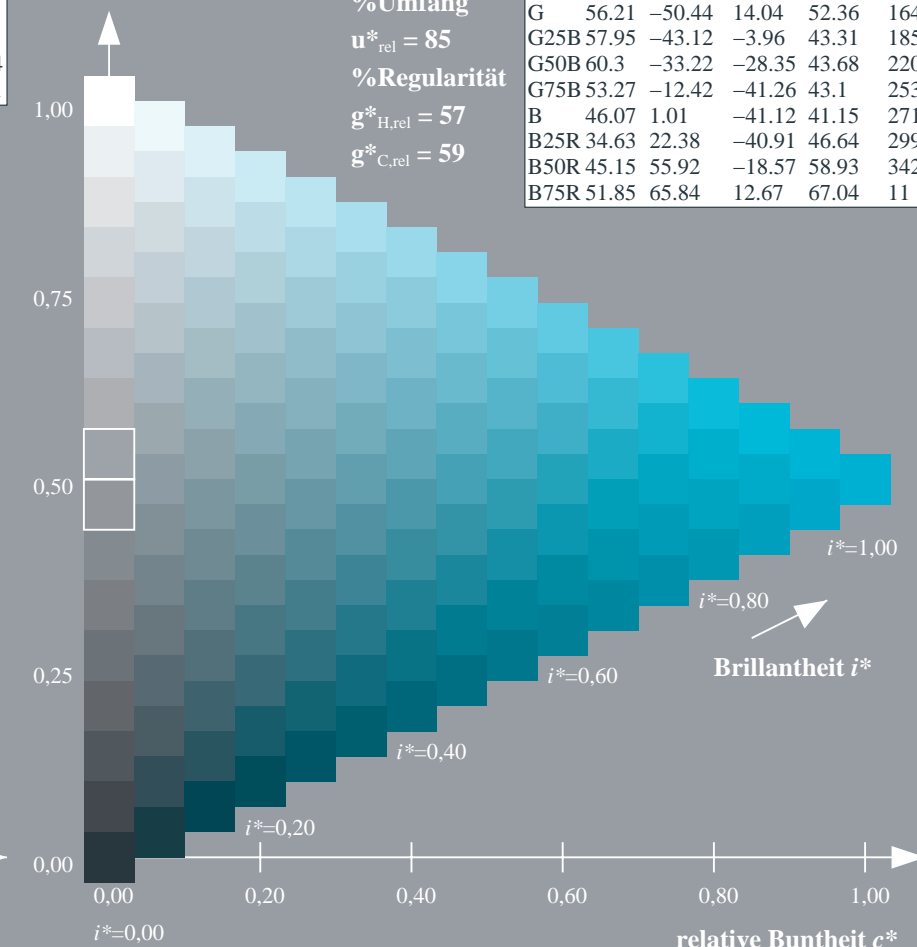


Dreiecks-Helligkeit t^*

%Umfang

$$\mathbf{u}_{\text{rel}}^* = 85$$

%Regularität

$$g^*_{H_{rel}} = 57$$
$$\mathbf{g}^*_{C_{rel}} = 59$$


ZG920-7F, 9stufige Reihen für konstanten CIELAB Buntton 220/360 = 0.612 (links) Seite 27/96

ZG920-7F, 16stufige Reihen für konstanten CIELAB Buntton $220/360 = 0.612$ (rechts)

BAM-Prüfvorlage ZG92: Farbmetrik-Systeme, Seite 27/96 Eingabe: *rgb / cmy0 set(rgb/cmyk)color*

D65: 9 und 16stufige Farbreihen für 16 Elementar-Bunttöne Ausgabe: $\rightarrow LAB^* \rightarrow cmvn5^* \text{ setcmvncolor}$

Eingabe: Farbmimetrisches Offset-Reflektiv-System ORS18

für Buntton $h^* = lab^*h = 253/360 = 0.703$

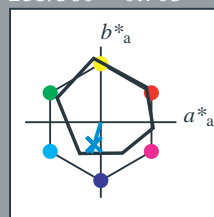
lab^*tch und lab^*nch

D65: Buntton G75B

LCH*Ma: 53 43 253

olv*Ma: 0.0 0.73 1.0

Dreiecks-Helligkeit t^*



%Umfang

$u^*_{rel} = 85$

%Regularität

$g^*_{H,rel} = 57$

$g^*_{C,rel} = 59$

ORS18; adaptierte CIELAB-Daten					
	$L^*=L^*_a$	a^*_a	b^*_a	$C^*_{ab,a}$	$h^*_{ab,a}$
O _{Ma}	51.74	60.16	46.48	76.02	38
Y _{Ma}	90.77	-9.44	84.41	84.94	96
L _{Ma}	54.46	-57.8	32.16	66.15	151
C _{Ma}	61.56	-27.91	-41.41	49.95	236
V _{Ma}	31.3	28.61	-40.85	49.88	305
M _{Ma}	51.91	69.26	-7.69	69.68	354
N _{Ma}	24.2	0.0	0.0	0.0	0
W _{Ma}	95.41	0.0	0.0	0.0	0
R _{CIE}	44.36	53.97	24.82	59.4	25
J _{CIE}	82.39	-1.99	62.34	62.37	92
G _{CIE}	55.68	-38.87	10.82	40.36	164
B _{CIE}	35.76	1.06	-43.09	43.11	271

Ausgabe: Farbmimetrisches Offset-Reflektiv-System ORS18

für Buntton $h^* = lab^*h = 253/360 = 0.703$

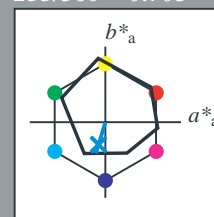
lab^*tch und lab^*nch

D65: Buntton G75B

LCH*Ma: 53 43 253

olv*Ma: 0.0 0.73 1.0

Dreiecks-Helligkeit t^*



%Umfang

$u^*_{rel} = 85$

%Regularität

$g^*_{H,rel} = 57$

$g^*_{C,rel} = 59$

ORS18; adaptierte CIELAB-Daten					
	$L^*=L^*_a$	a^*_a	b^*_a	$C^*_{ab,a}$	$h^*_{ab,a}$
R	51.79	63.09	29.02	69.44	25
R25J	53.73	56.6	48.42	74.48	41
R50J	65.47	35.67	59.82	69.65	59
R75J	76.51	15.98	70.55	72.34	77
J	86.93	-2.58	80.67	80.71	92
J25G	84.92	-17.23	75.99	77.92	103
J50G	73.11	-32.96	59.0	67.58	119
J75G	60.06	-50.34	40.22	64.44	141
G	56.21	-50.44	14.04	52.36	164
G25B	57.95	-43.12	-3.96	43.31	185
G50B	60.3	-33.22	-28.35	43.68	220
G75B	53.27	-12.42	-41.26	43.1	253
B	46.07	1.01	-41.12	41.15	271
B25R	34.63	22.38	-40.91	46.64	299
B50R	45.15	55.92	-18.57	58.93	342
B75R	51.85	65.84	12.67	67.04	11

%Umfang

$u^*_{rel} = 85$

%Regularität

$g^*_{H,rel} = 57$

$g^*_{C,rel} = 59$

%Umfang

$u^*_{rel} = 85$

%Regularität

$g^*_{H,rel} = 57$

$g^*_{C,rel} = 59$

%Umfang

$u^*_{rel} = 85$

%Regularität

$g^*_{H,rel} = 57$

$g^*_{C,rel} = 59$

%Umfang

$u^*_{rel} = 85$

%Regularität

$g^*_{H,rel} = 57$

$g^*_{C,rel} = 59$

%Umfang

$u^*_{rel} = 85$

%Regularität

$g^*_{H,rel} = 57$

$g^*_{C,rel} = 59$

ZG920-7F, 9stufige Reihen für konstanten CIELAB Buntton 253/360 = 0.703 (links)

Seite 28/96

ZG920-7F, 16stufige Reihen für konstanten CIELAB Buntton 253/360 = 0.703 (rechts)

BAM-Prüfvorlage ZG92; Farbmimetrik-Systeme, Seite 28/96 Eingabe: $rgb / cmy0 set(rgb/cmyk)color$

D65: 9 und 16stufige Farbreihen für 16 Elementar-Bunttöne Ausgabe: $\rightarrow LAB^* \rightarrow cmy5^* setcmykcolo$

Eingabe: Farbmimetrisches Offset-Reflektiv-System ORS18

für Buntton $h^* = lab^*h = 271/360 = 0.754$

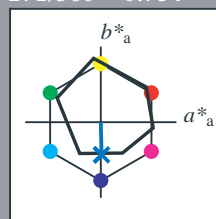
lab^*tch und lab^*nch

D65: Buntton B

LCH*Ma: 46 41 271

olv*Ma: 0.0 0.49 1.0

Dreiecks-Helligkeit t^*



%Umfang

$u^*_{rel} = 85$

%Regularität

$g^*_{H,rel} = 57$

$g^*_{C,rel} = 59$

ORS18; adaptierte CIELAB-Daten					
	$L^*=L^*_a$	a^*_a	b^*_a	$C^*_{ab,a}$	$h^*_{ab,a}$
O _{Ma}	51.74	60.16	46.48	76.02	38
Y _{Ma}	90.77	-9.44	84.41	84.94	96
L _{Ma}	54.46	-57.8	32.16	66.15	151
C _{Ma}	61.56	-27.91	-41.41	49.95	236
V _{Ma}	31.3	28.61	-40.85	49.88	305
M _{Ma}	51.91	69.26	-7.69	69.68	354
N _{Ma}	24.2	0.0	0.0	0.0	0
W _{Ma}	95.41	0.0	0.0	0.0	0
R _{CIE}	44.36	53.97	24.82	59.4	25
J _{CIE}	82.39	-1.99	62.34	62.37	92
G _{CIE}	55.68	-38.87	10.82	40.36	164
B _{CIE}	35.76	1.06	-43.09	43.11	271

Ausgabe: Farbmimetrisches Offset-Reflektiv-System ORS18

für Buntton $h^* = lab^*h = 271/360 = 0.754$

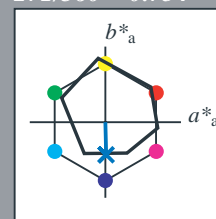
lab^*tch und lab^*nch

D65: Buntton B

LCH*Ma: 46 41 271

olv*Ma: 0.0 0.49 1.0

Dreiecks-Helligkeit t^*



%Umfang

$u^*_{rel} = 85$

%Regularität

$g^*_{H,rel} = 57$

$g^*_{C,rel} = 59$

ORS18; adaptierte CIELAB-Daten					
	$L^*=L^*_a$	a^*_a	b^*_a	$C^*_{ab,a}$	$h^*_{ab,a}$
R	51.79	63.09	29.02	69.44	25
R25J	53.73	56.6	48.42	74.48	41
R50J	65.47	35.67	59.82	69.65	59
R75J	76.51	15.98	70.55	72.34	77
J	86.93	-2.58	80.67	80.71	92
J25G	84.92	-17.23	75.99	77.92	103
J50G	73.11	-32.96	59.0	67.58	119
J75G	60.06	-50.34	40.22	64.44	141
G	56.21	-50.44	14.04	52.36	164
G25B	57.95	-43.12	-3.96	43.31	185
G50B	60.3	-33.22	-28.35	43.68	220
G75B	53.27	-12.42	-41.26	43.1	253
B	46.07	1.01	-41.12	41.15	271
B25R	34.63	22.38	-40.91	46.64	299
B50R	45.15	55.92	-18.57	58.93	342
B75R	51.85	65.84	12.67	67.04	11

%Umfang

$u^*_{rel} = 85$

%Regularität

$g^*_{H,rel} = 57$

$g^*_{C,rel} = 59$

%Umfang

$u^*_{rel} = 85$

%Regularität

$g^*_{H,rel} = 57$

$g^*_{C,rel} = 59$

%Umfang

$u^*_{rel} = 85$

%Regularität

$g^*_{H,rel} = 57$

$g^*_{C,rel} = 59$

%Umfang

$u^*_{rel} = 85$

%Regularität

$g^*_{H,rel} = 57$

$g^*_{C,rel} = 59$

%Umfang

$u^*_{rel} = 85$

%Regularität

$g^*_{H,rel} = 57$

$g^*_{C,rel} = 59$

%Umfang

$u^*_{rel} = 85$

%Regularität

$g^*_{H,rel} = 57$

$g^*_{C,rel} = 59$

%Umfang

$u^*_{rel} = 85$

%Regularität

$g^*_{H,rel} = 57$

$g^*_{C,rel} = 59$

%Umfang

$u^*_{rel} = 85$

%Regularität

$g^*_{H,rel} = 57$

$g^*_{C,rel} = 59$

%Umfang

$u^*_{rel} = 85$

%Regularität

$g^*_{H,rel} = 57$

$g^*_{C,rel} = 59$

%Umfang

$u^*_{rel} = 85$

%Regularität

$g^*_{H,rel} = 57$

$g^*_{C,rel} = 59$

%Umfang

$u^*_{rel} = 85$

%Regularität

$g^*_{H,rel} = 57$

$g^*_{C,rel} = 59$

%Umfang

$u^*_{rel} = 85$

%Regularität

$g^*_{H,rel} = 57$

$g^*_{C,rel} = 59$

%Umfang

$u^*_{rel} = 85$

%Regularität

$g^*_{H,rel} = 57$

$g^*_{C,rel} = 59$

%Umfang

$u^*_{rel} = 85$

%Regularität

$g^*_{H,rel} = 57$

$g^*_{C,rel} = 59$

%Umfang

$u^*_{rel} = 85$

%Regularität

$g^*_{H,rel} = 57$

$g^*_{C,rel} = 59$

%Umfang

$u^*_{rel} = 85$

%Regularität

$g^*_{H,rel} = 57$

$g^*_{C,rel} = 59$

%Umfang

$u^*_{rel} = 85$

%Regularität

$g^*_{H,rel} = 57$

$g^*_{C,rel} = 59$

%Umfang

$u^*_{rel} = 85$

%Regularität

$g^*_{H,rel} = 57$

$g^*_{C,rel} = 59$

%Umfang

$u^*_{rel} = 85$

%Regularität

$g^*_{H,rel} = 57$

$g^*_{C,rel} = 59$

%Umfang

$u^*_{rel} = 85$

%Regularität

$g^*_{H,rel} = 57$

$g^*_{C,rel} = 59$

%Umfang

$u^*_{rel} = 85$

%Regularität

$g^*_{H,rel} = 57$

$g^*_{C,rel} = 59$

%Umfang

$u^*_{rel} = 85$

%Regularität

$g^*_{H,rel} = 57$

$g^*_{C,rel} = 59$

%Umfang

$u^*_{rel} = 85$

%Regularität

$g^*_{H,rel} = 57$

$g^*_{C,rel} = 59$

%Umfang

$u^*_{rel} = 85$

%Regularität

$g^*_{H,rel} = 57$

$g^*_{C,rel} = 59$

%Umfang

$u^*_{rel} = 85$

%Regularität

$g^*_{H,rel} = 57$

$g^*_{C,rel} = 59$

%Umfang

$u^*_{rel} = 85$

%Regularität

$g^*_{H,rel} = 57$

$g^*_{C,rel} = 59$

%Umfang

$u^*_{rel} = 85$

%Regularität

$g^*_{H,rel} = 57$

$g^*_{C,rel} = 59$

%Umfang

$u^*_{rel} = 85$

%Regularität

$g^*_{H,rel} = 57$

$g^*_{C,rel} = 59$

%Umfang

$u^*_{rel} = 85$

%Regularität

$g^*_{H,rel} = 57$

$g^*_{C,rel} = 59$

%Umfang

$u^*_{rel} = 85$

%Regularität

$g^*_{H,rel} = 57$

$g^*_{C,rel} = 59$

%Umfang

$u^*_{rel} = 85$

%Regularität

$g^*_{H,rel} = 57$

$g^*_{C,rel} = 59$

%Umfang

$u^*_{rel} = 85$

%Regularität

$g^*_{H,rel} = 57$

$g^*_{C,rel} = 59$

%Umfang

$u^*_{rel} = 85$

%Regularität

$g^*_{H,rel} = 57$

$g^*_{C,rel} = 59$

%Umfang

$u^*_{rel} = 85$

%Regularität

$g^*_{H,rel} = 57$

$g^*_{C,rel} = 59$

%Umfang

$u^*_{rel} = 85$

%Regularität

$g^*_{H,rel} = 57$

$g^*_{C,rel} = 59$

%Umfang

$u^*_{rel} = 85$

%Regularität

$g^*_{H,rel} = 57$

$g^*_{C,rel} = 59$

%Umfang

$u^*_{rel} = 85$

%Regularität

$g^*_{H,rel} = 57$

$g^*_{C,rel} = 59$

%Umfang

$u^*_{rel} = 85$

%Regularität

$g^*_{H,rel} = 57$

$g^*_{C,rel} = 59$

%Umfang

$u^*_{rel} = 85$

%Regularität

$g^*_{H,rel} = 57$

$g^*_{C,rel} = 59$

%Umfang

$u^*_{rel} = 85$

%Regularität

$g^*_{H,rel} = 57$

Eingabe: Farbmimetrisches Offset-Reflektiv-System ORS18

für Buntton $h^* = lab^*h = 299/360 = 0.83$

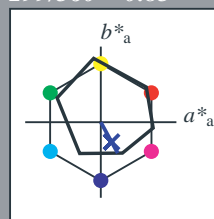
lab^*tch und lab^*nch

D65: Buntton B25R

LCH*Ma: 35 47 299

olv*Ma: 0.0 0.11 1.0

Dreiecks-Helligkeit t^*



%Umfang

$u^*_{rel} = 85$

%Regularität

$g^*_{H,rel} = 57$

$g^*_{C,rel} = 59$

ORS18; adaptierte CIELAB-Daten					
	$L^*=L^*_a$	a^*_a	b^*_a	$C^*_{ab,a}$	$h^*_{ab,a}$
O _{Ma}	51.74	60.16	46.48	76.02	38
Y _{Ma}	90.77	-9.44	84.41	84.94	96
L _{Ma}	54.46	-57.8	32.16	66.15	151
C _{Ma}	61.56	-27.91	-41.41	49.95	236
V _{Ma}	31.3	28.61	-40.85	49.88	305
M _{Ma}	51.91	69.26	-7.69	69.68	354
N _{Ma}	24.2	0.0	0.0	0.0	0
W _{Ma}	95.41	0.0	0.0	0.0	0
R _{CIE}	44.36	53.97	24.82	59.4	25
J _{CIE}	82.39	-1.99	62.34	62.37	92
G _{CIE}	55.68	-38.87	10.82	40.36	164
B _{CIE}	35.76	1.06	-43.09	43.11	271

Ausgabe: Farbmimetrisches Offset-Reflektiv-System ORS18

für Buntton $h^* = lab^*h = 299/360 = 0.83$

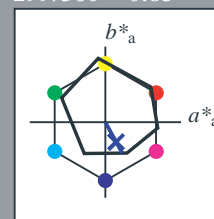
lab^*tch und lab^*nch

D65: Buntton B25R

LCH*Ma: 35 47 299

olv*Ma: 0.0 0.11 1.0

Dreiecks-Helligkeit t^*



%Umfang

$u^*_{rel} = 85$

%Regularität

$g^*_{H,rel} = 57$

$g^*_{C,rel} = 59$

ORS18; adaptierte CIELAB-Daten					
	$L^*=L^*_a$	a^*_a	b^*_a	$C^*_{ab,a}$	$h^*_{ab,a}$
R	51.79	63.09	29.02	69.44	25
R25J	53.73	56.6	48.42	74.48	41
R50J	65.47	35.67	59.82	69.65	59
R75J	76.51	15.98	70.55	72.34	77
J	86.93	-2.58	80.67	80.71	92
J25G	84.92	-17.23	75.99	77.92	103
J50G	73.11	-32.96	59.0	67.58	119
J75G	60.06	-50.34	40.22	64.44	141
G	56.21	-50.44	14.04	52.36	164
G25B	57.95	-43.12	-3.96	43.31	185
G50B	60.3	-33.22	-28.35	43.68	220
G75B	53.27	-12.42	-41.26	43.1	253
B	46.07	1.01	-41.12	41.15	271
B25R	34.63	22.38	-40.91	46.64	299
B50R	45.15	55.92	-18.57	58.93	342
B75R	51.85	65.84	12.67	67.04	11

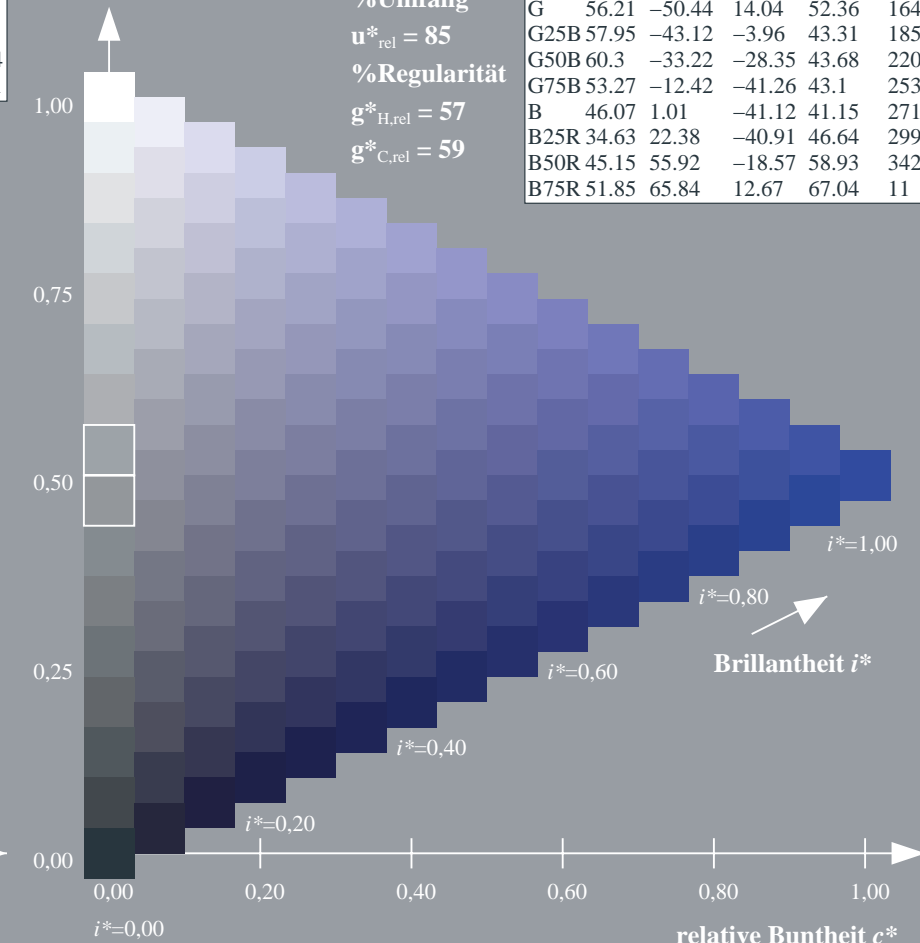
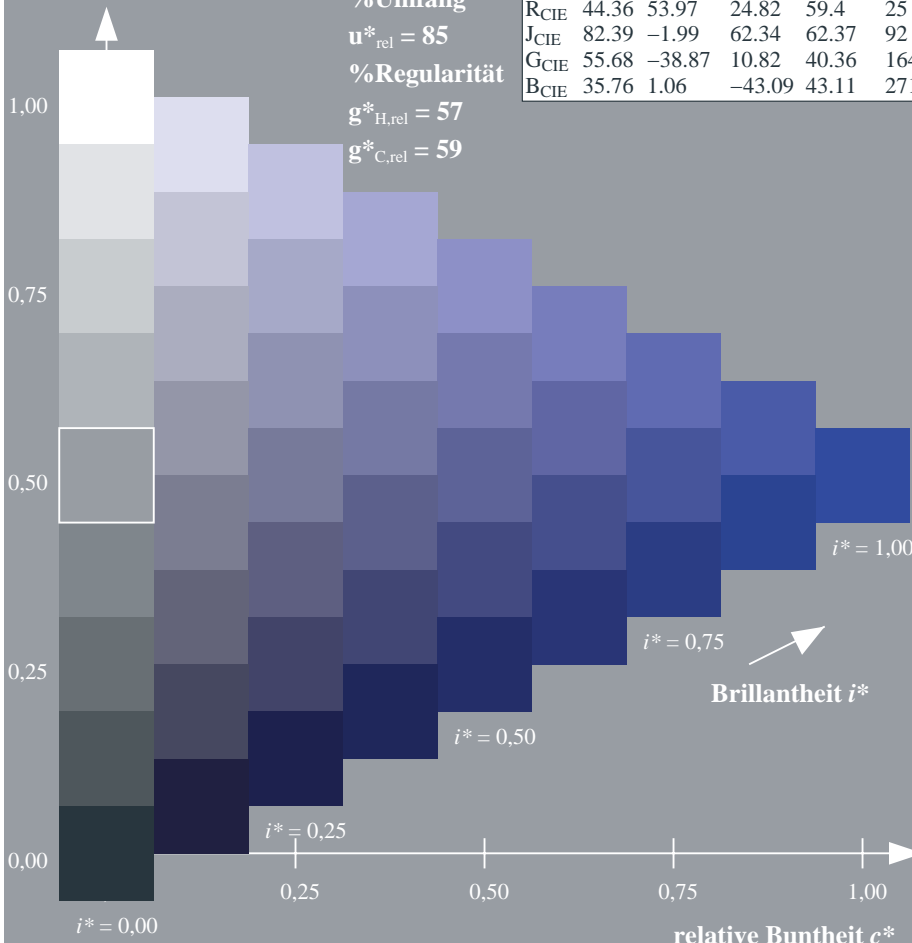
%Umfang

$u^*_{rel} = 85$

%Regularität

$g^*_{H,rel} = 57$

$g^*_{C,rel} = 59$



ZG920-7F, 9stufige Reihen für konstanten CIELAB Buntton 299/360 = 0.83 (links)

Seite 30/96

ZG920-7F, 16stufige Reihen für konstanten CIELAB Buntton 299/360 = 0.83 (rechts)

BAM-Prüfvorlage ZG92; Farbmimetrik-Systeme, Seite 30/96 Eingabe: $rgb / cmy0$ set($rgb/cmyk$)color

D65: 9 und 16stufige Farbreihen für 16 Elementar-Bunttöne Ausgabe: $\rightarrow LAB^* \rightarrow cmy5^*$ set($cmykcolo$

Eingabe: Farbmimetrisches Offset-Reflektiv-System ORS18

für Buntton $h^* = lab^*h = 342/360 = 0.949$

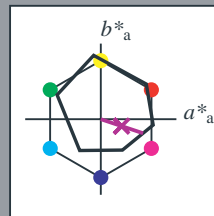
lab^*tch und lab^*nch

D65: Buntton B50R

LCH*Ma: 45 59 342

olv*Ma: 0.67 0.0 1.0

Dreiecks-Helligkeit t^*



%Umfang

$u^*_{rel} = 85$

%Regularität

$g^*_{H,rel} = 57$

$g^*_{C,rel} = 59$

ORS18; adaptierte CIELAB-Daten

	$L^*=L^*_a$	a^*_a	b^*_a	$C^*_{ab,a}$	$h^*_{ab,a}$
O _{Ma}	51.74	60.16	46.48	76.02	38
Y _{Ma}	90.77	-9.44	84.41	84.94	96
L _{Ma}	54.46	-57.8	32.16	66.15	151
C _{Ma}	61.56	-27.91	-41.41	49.95	236
V _{Ma}	31.3	28.61	-40.85	49.88	305
M _{Ma}	51.91	69.26	-7.69	69.68	354
N _{Ma}	24.2	0.0	0.0	0.0	0
W _{Ma}	95.41	0.0	0.0	0.0	0
R _{CIE}	44.36	53.97	24.82	59.4	25
J _{CIE}	82.39	-1.99	62.34	62.37	92
G _{CIE}	55.68	-38.87	10.82	40.36	164
B _{CIE}	35.76	1.06	-43.09	43.11	271

Ausgabe: Farbmimetrisches Offset-Reflektiv-System ORS18

für Buntton $h^* = lab^*h = 342/360 = 0.949$

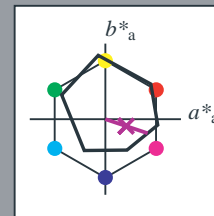
lab^*tch und lab^*nch

D65: Buntton B50R

LCH*Ma: 45 59 342

olv*Ma: 0.67 0.0 1.0

Dreiecks-Helligkeit t^*



%Umfang

$u^*_{rel} = 85$

%Regularität

$g^*_{H,rel} = 57$

$g^*_{C,rel} = 59$

ORS18; adaptierte CIELAB-Daten

	$L^*=L^*_a$	a^*_a	b^*_a	$C^*_{ab,a}$	$h^*_{ab,a}$
R	51.79	63.09	29.02	69.44	25
R25J	53.73	56.6	48.42	74.48	41
R50J	65.47	35.67	59.82	69.65	59
R75J	76.51	15.98	70.55	72.34	77
J	86.93	-2.58	80.67	80.71	92
J25G	84.92	-17.23	75.99	77.92	103
J50G	73.11	-32.96	59.0	67.58	119
J75G	60.06	-50.34	40.22	64.44	141
G	56.21	-50.44	14.04	52.36	164
G25B	57.95	-43.12	-3.96	43.31	185
G50B	60.3	-33.22	-28.35	43.68	220
G75B	53.27	-12.42	-41.26	43.1	253
B	46.07	1.01	-41.12	41.15	271
B25R	34.63	22.38	-40.91	46.64	299
B50R	45.15	55.92	-18.57	58.93	342
B75R	51.85	65.84	12.67	67.04	11

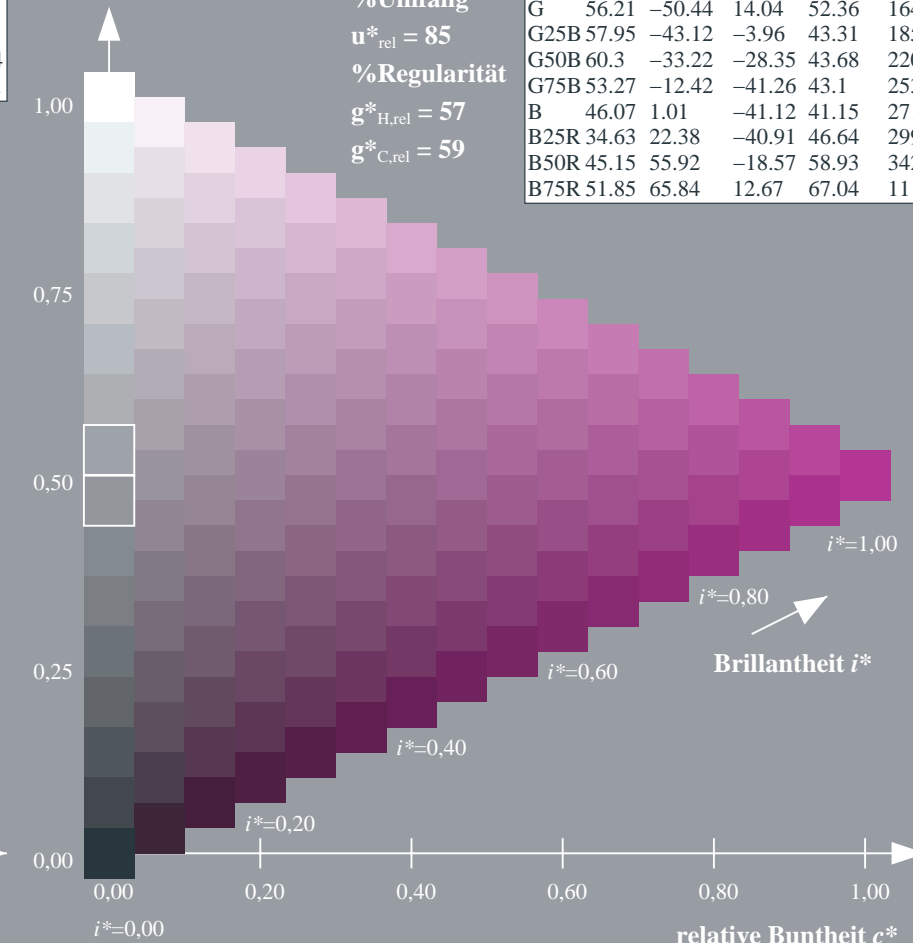
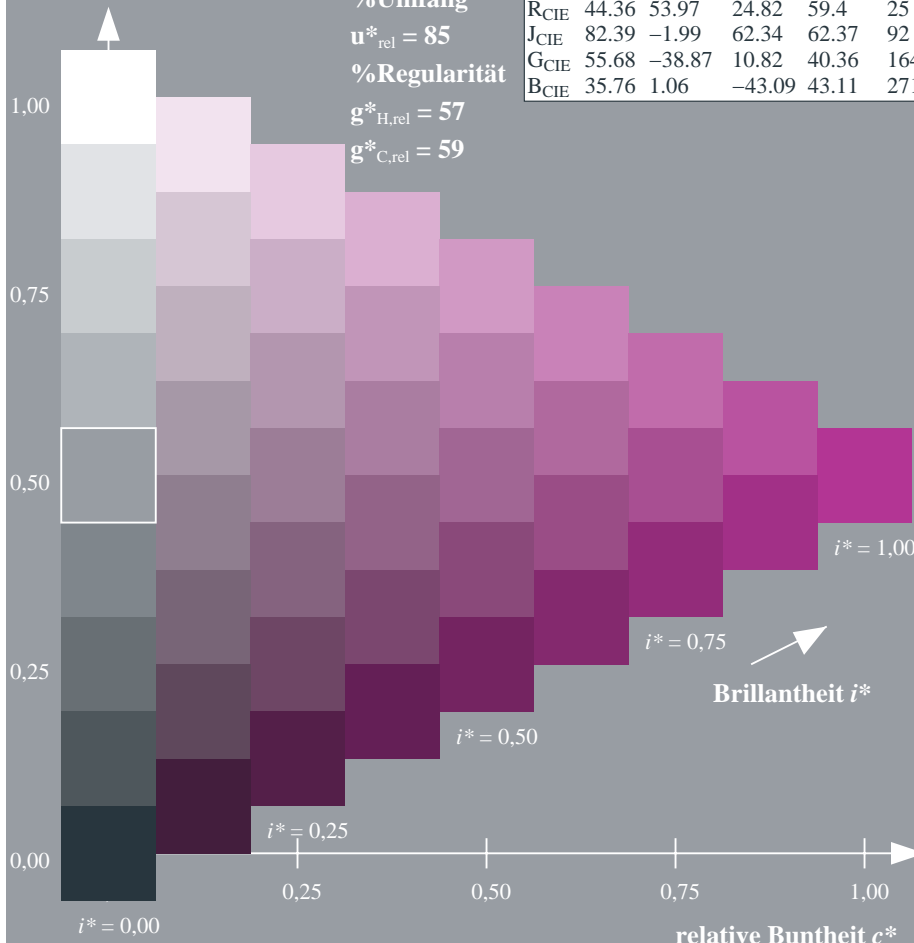
%Umfang

$u^*_{rel} = 85$

%Regularität

$g^*_{H,rel} = 57$

$g^*_{C,rel} = 59$



ZG920-7F, 9stufige Reihen für konstanten CIELAB Buntton 342/360 = 0.949 (links)

Seite 31/96

ZG920-7F, 16stufige Reihen für konstanten CIELAB Buntton 342/360 = 0.949 (rechts)

BAM-Prüfvorlage ZG92; Farbmimetrik-Systeme, Seite 31/96 Eingabe: $rgb / cmy0 set(rgb/cmyk)color$

D65: 9 und 16stufige Farbreihen für 16 Elementar-Bunttöne Ausgabe: $->LAB^*->cmy5^* setcmykcolo$

Eingabe: Farbmimetrisches Offset-Reflektiv-System ORS18

für Buntton $h^* = lab^*h = 11/360 = 0.03$

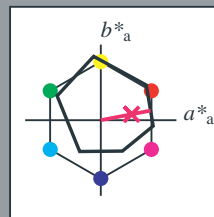
lab^*tch und lab^*nch

D65: Buntton B75R

LCH*Ma: 52 67 11

olv*Ma: 1.0 0.0 0.62

Dreiecks-Helligkeit t^*



%Umfang

$u^*_{rel} = 85$

%Regularität

$g^*_{H,rel} = 57$

$g^*_{C,rel} = 59$

ORS18; adaptierte CIELAB-Daten	$L^*=L^*_a$	a^*_a	b^*_a	$C^*_{ab,a}$	$h^*_{ab,a}$
O _{Ma}	51.74	60.16	46.48	76.02	38
Y _{Ma}	90.77	-9.44	84.41	84.94	96
L _{Ma}	54.46	-57.8	32.16	66.15	151
C _{Ma}	61.56	-27.91	-41.41	49.95	236
V _{Ma}	31.3	28.61	-40.85	49.88	305
M _{Ma}	51.91	69.26	-7.69	69.68	354
N _{Ma}	24.2	0.0	0.0	0.0	0
W _{Ma}	95.41	0.0	0.0	0.0	0
R _{CIE}	44.36	53.97	24.82	59.4	25
J _{CIE}	82.39	-1.99	62.34	62.37	92
G _{CIE}	55.68	-38.87	10.82	40.36	164
B _{CIE}	35.76	1.06	-43.09	43.11	271

Ausgabe: Farbmimetrisches Offset-Reflektiv-System ORS18

für Buntton $h^* = lab^*h = 11/360 = 0.03$

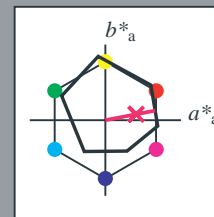
lab^*tch und lab^*nch

D65: Buntton B75R

LCH*Ma: 52 67 11

olv*Ma: 1.0 0.0 0.62

Dreiecks-Helligkeit t^*



%Umfang

$u^*_{rel} = 85$

%Regularität

$g^*_{H,rel} = 57$

$g^*_{C,rel} = 59$

ORS18; adaptierte CIELAB-Daten	$L^*=L^*_a$	a^*_a	b^*_a	$C^*_{ab,a}$	$h^*_{ab,a}$
R	51.79	63.09	29.02	69.44	25
R25J	53.73	56.6	48.42	74.48	41
R50J	65.47	35.67	59.82	69.65	59
R75J	76.51	15.98	70.55	72.34	77
J	86.93	-2.58	80.67	80.71	92
J25G	84.92	-17.23	75.99	77.92	103
J50G	73.11	-32.96	59.0	67.58	119
J75G	60.06	-50.34	40.22	64.44	141
G	56.21	-50.44	14.04	52.36	164
G25B	57.95	-43.12	-3.96	43.31	185
G50B	60.3	-33.22	-28.35	43.68	220
G75B	53.27	-12.42	-41.26	43.1	253
B	46.07	1.01	-41.12	41.15	271
B25R	34.63	22.38	-40.91	46.64	299
B50R	45.15	55.92	-18.57	58.93	342
B75R	51.85	65.84	12.67	67.04	11

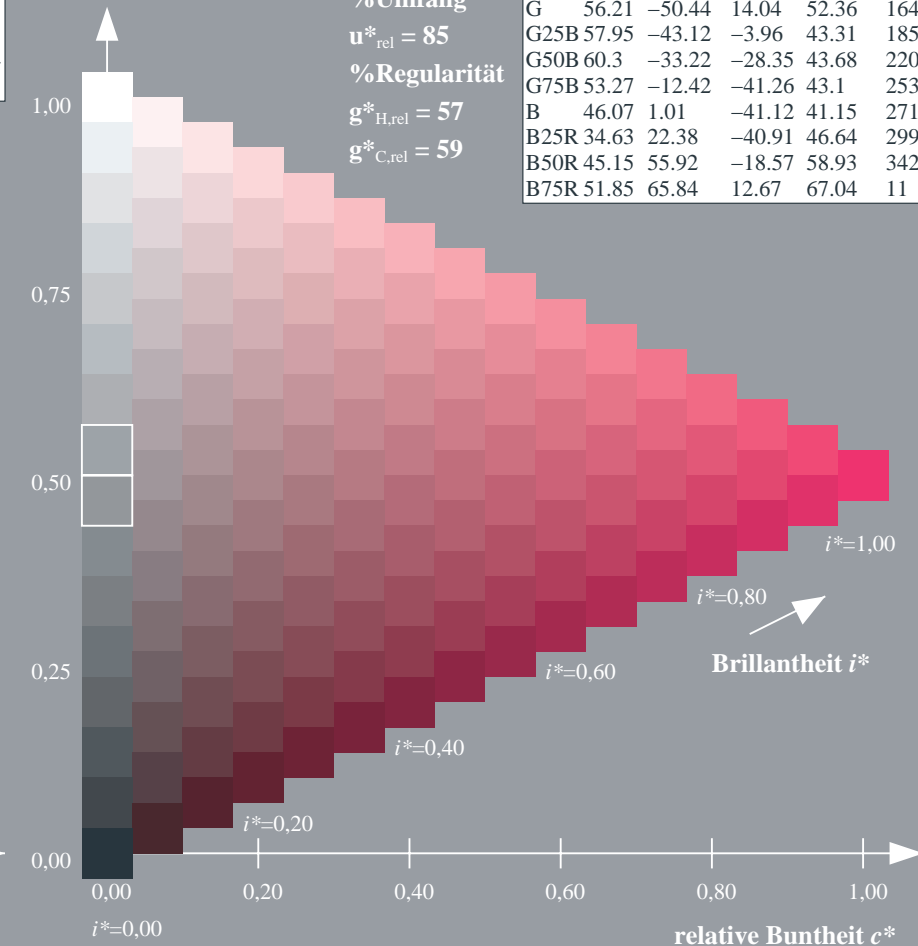
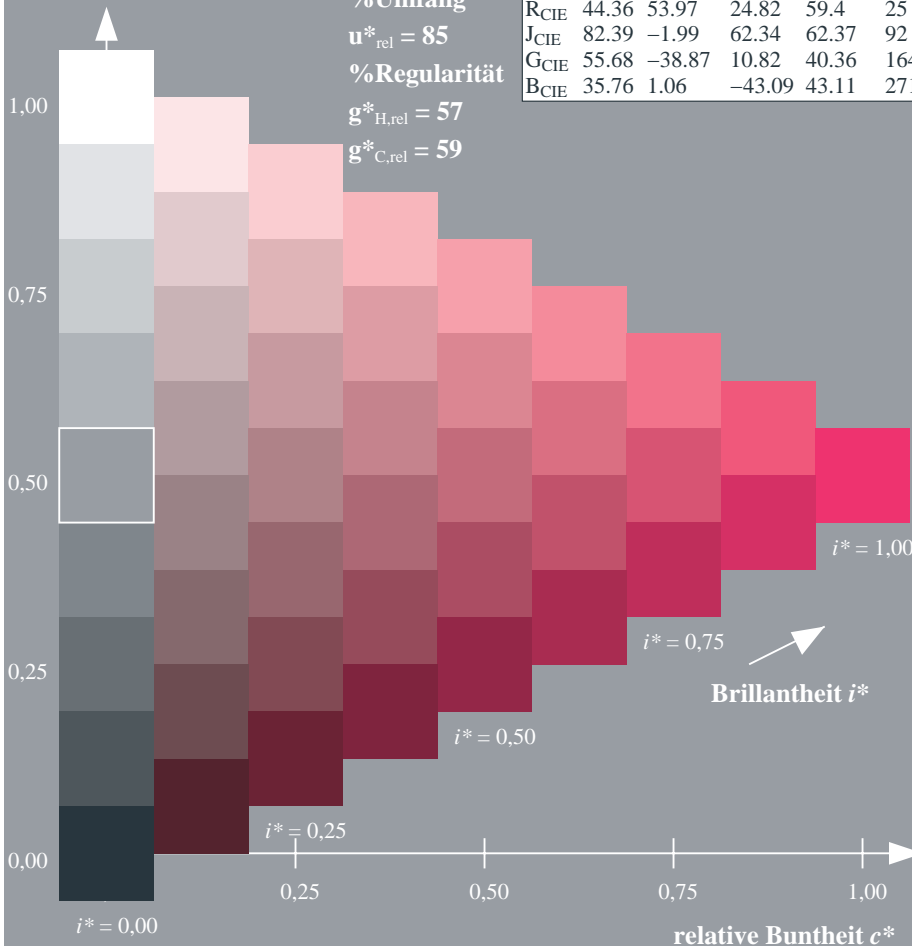
%Umfang

$u^*_{rel} = 85$

%Regularität

$g^*_{H,rel} = 57$

$g^*_{C,rel} = 59$



ZG920-7F, 9stufige Reihen für konstanten CIELAB Buntton 11/360 = 0.03 (links)

Seite 32/96

ZG920-7F, 16stufige Reihen für konstanten CIELAB Buntton 11/360 = 0.03 (rechts)

BAM-Prüfvorlage ZG92; Farbmimetrik-Systeme, Seite 32/96 Eingabe: $rgb / cmy0 set(rgb/cmyk)color$
D65: 9 und 16stufige Farbreihen für 16 Elementar-Bunttöne Ausgabe: $->LAB^*->cmy5^* setcmykcolo$

Eingabe: Farbmetrisches Offset-Reflektiv-System ORS18

für Buntton $h^* = lab^*h = 25/360 = 0.069$

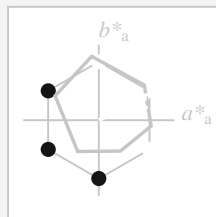
lab^*ch und lab^*nh

D65: Buntton R

LCH*Ma: 52 69 25

olv*Ma: 1.0 0.0 0.32

Dreiecks-Helligkeit t^*



%Umfang

$u^*_{rel} = 85$

%Regularität

$g^*_{H,rel} = 57$

$g^*_{C,rel} = 59$

ORS18; adaptierte CIELAB-Daten

	$L^*=L^*_a$	a^*_a	b^*_a	$C^*_{ab,a}$	$h^*_{ab,a}$
O _{Ma}	51.74	60.16	46.48	76.02	38
Y _{Ma}	90.77	-9.44	84.41	84.94	96
L _{Ma}	54.46	-57.8	32.16	66.15	151
C _{Ma}	61.56	-27.91	-41.41	49.95	236
V _{Ma}	31.3	28.61	-40.85	49.88	305
M _{Ma}	51.91	69.26	-7.69	69.68	354
N _{Ma}	24.2	0.0	0.0	0.0	0
W _{Ma}	95.41	0.0	0.0	0.0	0
R _{CIE}	44.36	53.97	24.82	59.4	25
J _{CIE}	82.39	-1.99	62.34	62.37	92
G _{CIE}	55.68	-38.87	10.82	40.36	164
B _{CIE}	35.76	1.06	-43.09	43.11	271

Ausgabe: Farbmetrisches Offset-Reflektiv-System ORS18

für Buntton $h^* = lab^*h = 25/360 = 0.069$

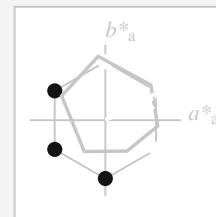
lab^*ch und lab^*nh

D65: Buntton R

LCH*Ma: 52 69 25

olv*Ma: 1.0 0.0 0.32

Dreiecks-Helligkeit t^*



%Umfang

$u^*_{rel} = 85$

%Regularität

$g^*_{H,rel} = 57$

$g^*_{C,rel} = 59$

ORS18; adaptierte CIELAB-Daten

	$L^*=L^*_a$	a^*_a	b^*_a	$C^*_{ab,a}$	$h^*_{ab,a}$
R	51.79	63.09	29.02	69.44	25
R25J	53.73	56.6	48.42	74.48	41
R50J	65.47	35.67	59.82	69.65	59
R75J	76.51	15.98	70.55	72.34	77
J	86.93	-2.58	80.67	80.71	92
J25G	84.92	-17.23	75.99	77.92	103
J50G	73.11	-32.96	59.0	67.58	119
J75G	60.06	-50.34	40.22	64.44	141
G	56.21	-50.44	14.04	52.36	164
G25B	57.95	-43.12	-3.96	43.31	185
G50B	60.3	-33.22	-28.35	43.68	220
G75B	53.27	-12.42	-41.26	43.1	253
B	46.07	1.01	-41.12	41.15	271
B25R	34.63	22.38	-40.91	46.64	299
B50R	45.15	55.92	-18.57	58.93	342
B75R	51.85	65.84	12.67	67.04	11

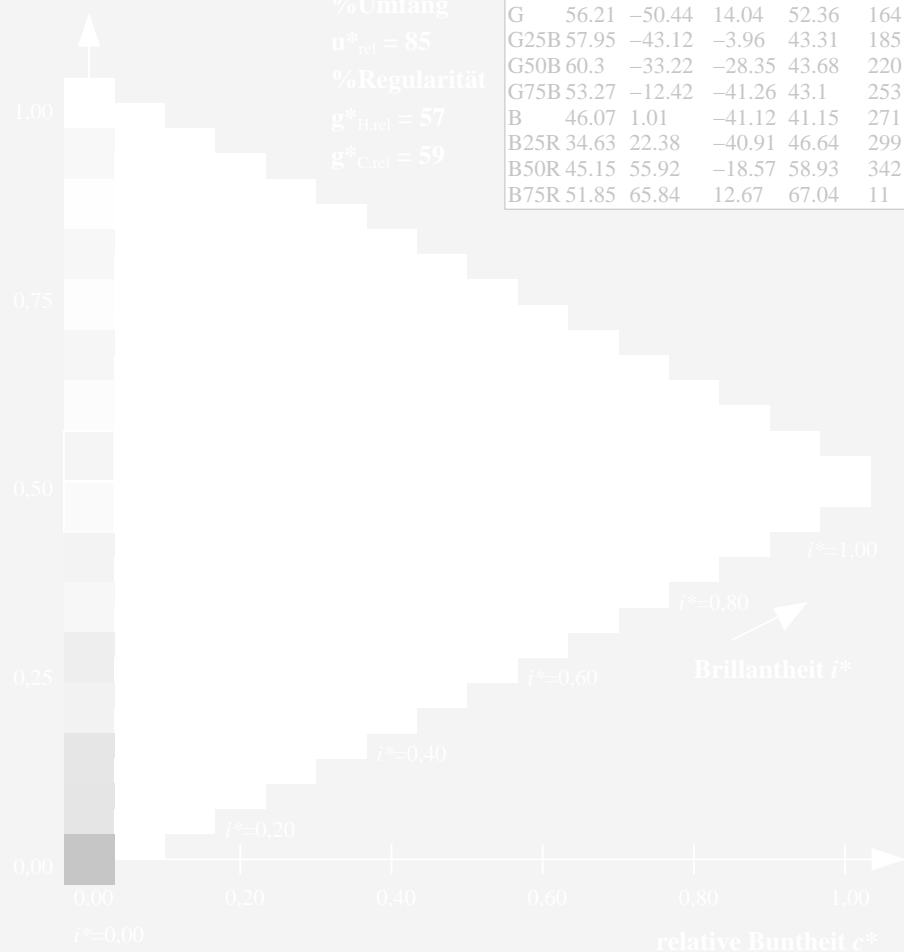
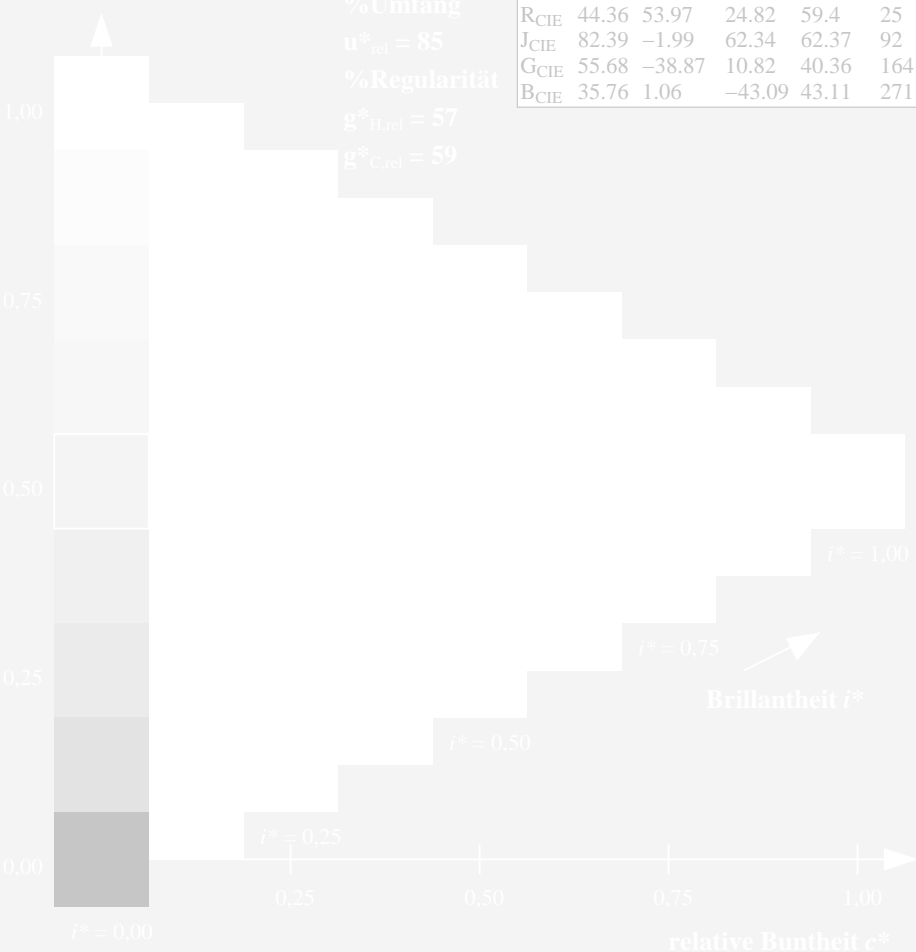
%Umfang

$u^*_{rel} = 85$

%Regularität

$g^*_{H,rel} = 57$

$g^*_{C,rel} = 59$



ZG920-7F, 9stufige Reihen für konstanten CIELAB Buntton 25/360 = 0.069 (links)

Seite 33/96

ZG920-7F, 16stufige Reihen für konstanten CIELAB Buntton 25/360 = 0.069 (rechts) c n*

BAM-Prüfvorlage ZG92; Farbmetrik-Systeme, Seite 33/96 Eingabe: $rgb / cmy0 set(rgb/cmyk)color$

D65: 9 und 16stufige Farbreihen für 16 Elementar-Bunttöne Ausgabe: $\rightarrow LAB^* \rightarrow cmy5^* setcmykcolo$

Eingabe: Farbmétrisches Offset-Reflektiv-System ORS18

für Buntton $h^* = lab^*h = 41/360 = 0,113$

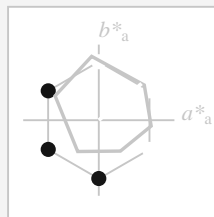
lab^*tch und lab^*nch

D65: Buntton R25J

LCH*Ma: 54 74 41

olv*Ma: 1.0 0.05 0.0

Dreiecks-Helligkeit t^*



%Umfang

$u^*_{rel} = 85$

%Regularität

$g^*_{H,rel} = 57$

$g^*_{C,rel} = 59$

ORS18; adaptierte CIELAB-Daten

	$L^*=L^*_a$	a^*_a	b^*_a	$C^*_{ab,a}$	$h^*_{ab,a}$
O _{Ma}	51.74	60.16	46.48	76.02	38
Y _{Ma}	90.77	-9.44	84.41	84.94	96
L _{Ma}	54.46	-57.8	32.16	66.15	151
C _{Ma}	61.56	-27.91	-41.41	49.95	236
V _{Ma}	31.3	28.61	-40.85	49.88	305
M _{Ma}	51.91	69.26	-7.69	69.68	354
N _{Ma}	24.2	0.0	0.0	0.0	0
W _{Ma}	95.41	0.0	0.0	0.0	0
R _{CIE}	44.36	53.97	24.82	59.4	25
J _{CIE}	82.39	-1.99	62.34	62.37	92
G _{CIE}	55.68	-38.87	10.82	40.36	164
B _{CIE}	35.76	1.06	-43.09	43.11	271

Ausgabe: Farbmétrisches Offset-Reflektiv-System ORS18

für Buntton $h^* = lab^*h = 41/360 = 0,113$

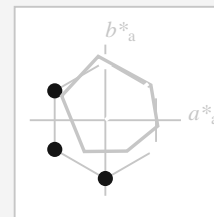
lab^*tch und lab^*nch

D65: Buntton R25J

LCH*Ma: 54 74 41

olv*Ma: 1.0 0.05 0.0

Dreiecks-Helligkeit t^*



%Umfang

$u^*_{rel} = 85$

%Regularität

$g^*_{H,rel} = 57$

$g^*_{C,rel} = 59$

ORS18; adaptierte CIELAB-Daten

	$L^*=L^*_a$	a^*_a	b^*_a	$C^*_{ab,a}$	$h^*_{ab,a}$
R	51.79	63.09	29.02	69.44	25
R25J	53.73	56.6	48.42	74.48	41
R50J	65.47	35.67	59.82	69.65	59
R75J	76.51	15.98	70.55	72.34	77
J	86.93	-2.58	80.67	80.71	92
J25G	84.92	-17.23	75.99	77.92	103
J50G	73.11	-32.96	59.0	67.58	119
J75G	60.06	-50.34	40.22	64.44	141
G	56.21	-50.44	14.04	52.36	164
G25B	57.95	-43.12	-3.96	43.31	185
G50B	60.3	-33.22	-28.35	43.68	220
G75B	53.27	-12.42	-41.26	43.1	253
B	46.07	1.01	-41.12	41.15	271
B25R	34.63	22.38	-40.91	46.64	299
B50R	45.15	55.92	-18.57	58.93	342
B75R	51.85	65.84	12.67	67.04	11

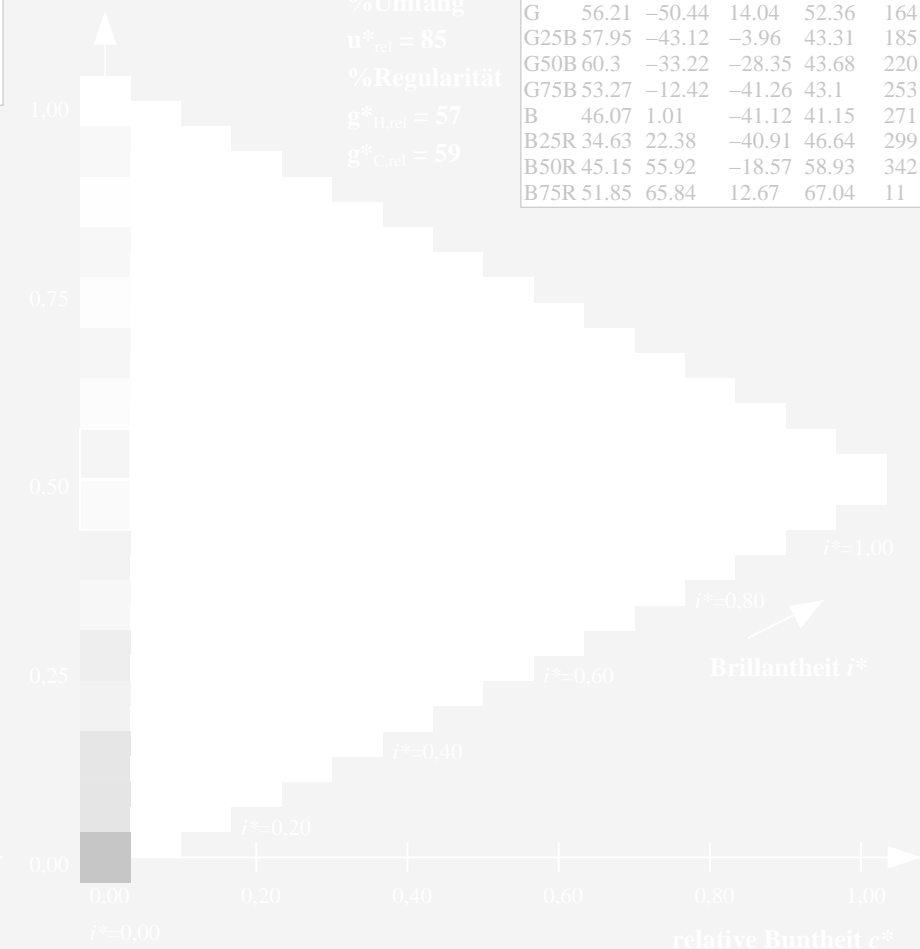
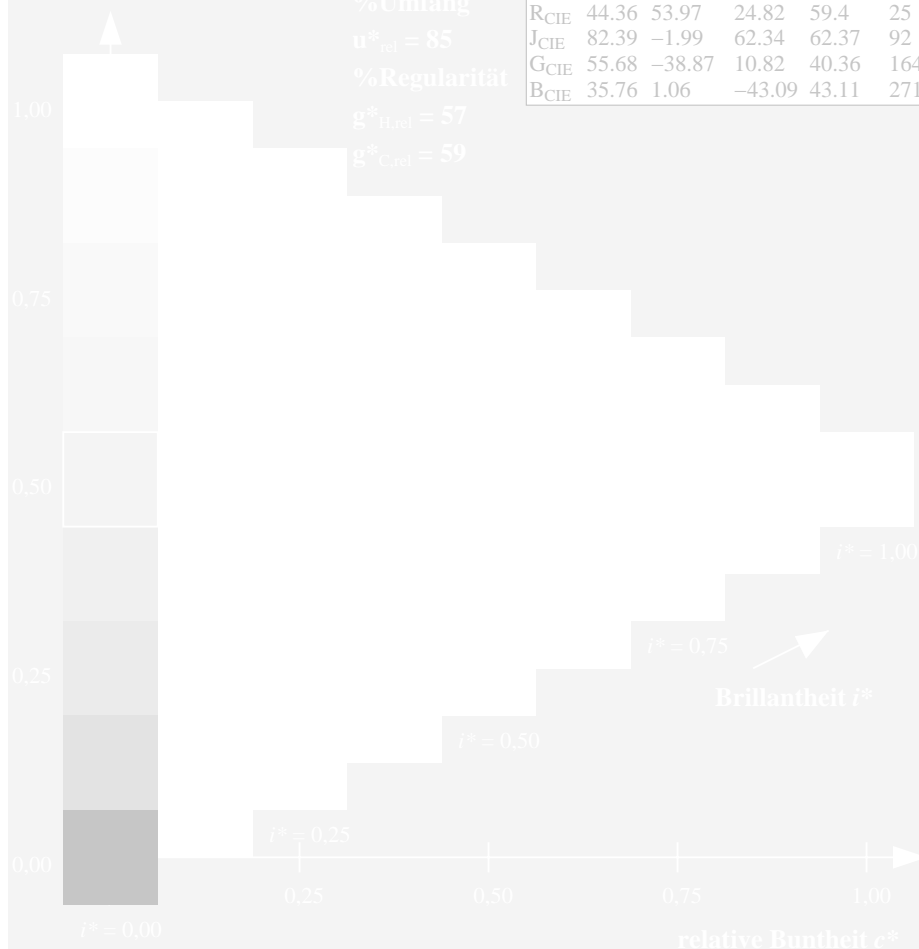
%Umfang

$u^*_{rel} = 85$

%Regularität

$g^*_{H,rel} = 57$

$g^*_{C,rel} = 59$



ZG920-7F, 9stufige Reihen für konstanten CIELAB Buntton 41/360 = 0.113 (links)

Seite 34/96

ZG920-7F, 16stufige Reihen für konstanten CIELAB Buntton 41/360 = 0.113 (rechts)

c n*

BAM-Prüfvorlage ZG92; Farbmétrik-Systeme, Seite 34/96 Eingabe: $rgb / cmy0 set(rgb/cmyk)color$

D65: 9 und 16stufige Farbreihen für 16 Elementar-Bunttöne Ausgabe: $\rightarrow LAB^* \rightarrow cmy5^* setcmykcolo$

Eingabe: Farbmétrisches Offset-Reflektiv-System ORS18

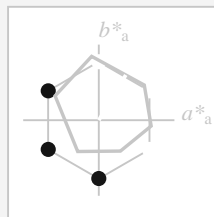
für Buntton $h^* = lab^*h = 59/360 = 0,164$

lab^*tch und lab^*nch

D65: Buntton R50J

LCH*Ma: 65 70 59

olv*Ma: 1.0 0.35 0.0



Dreiecks-Helligkeit t^*

%Umfang

$u^*_{rel} = 85$

%Regularität

$g^*_{H,rel} = 57$

$g^*_{C,rel} = 59$

ORS18; adaptierte CIELAB-Daten

	$L^*=L^*_a$	a^*_a	b^*_a	$C^*_{ab,a}$	$h^*_{ab,a}$
O _{Ma}	51.74	60.16	46.48	76.02	38
Y _{Ma}	90.77	-9.44	84.41	84.94	96
L _{Ma}	54.46	-57.8	32.16	66.15	151
C _{Ma}	61.56	-27.91	-41.41	49.95	236
V _{Ma}	31.3	28.61	-40.85	49.88	305
M _{Ma}	51.91	69.26	-7.69	69.68	354
N _{Ma}	24.2	0.0	0.0	0.0	0
W _{Ma}	95.41	0.0	0.0	0.0	0
R _{CIE}	44.36	53.97	24.82	59.4	25
J _{CIE}	82.39	-1.99	62.34	62.37	92
G _{CIE}	55.68	-38.87	10.82	40.36	164
B _{CIE}	35.76	1.06	-43.09	43.11	271

Ausgabe: Farbmétrisches Offset-Reflektiv-System ORS18

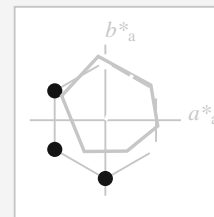
für Buntton $h^* = lab^*h = 59/360 = 0,164$

lab^*tch und lab^*nch

D65: Buntton R50J

LCH*Ma: 65 70 59

olv*Ma: 1.0 0.35 0.0



Dreiecks-Helligkeit t^*

%Umfang

$u^*_{rel} = 85$

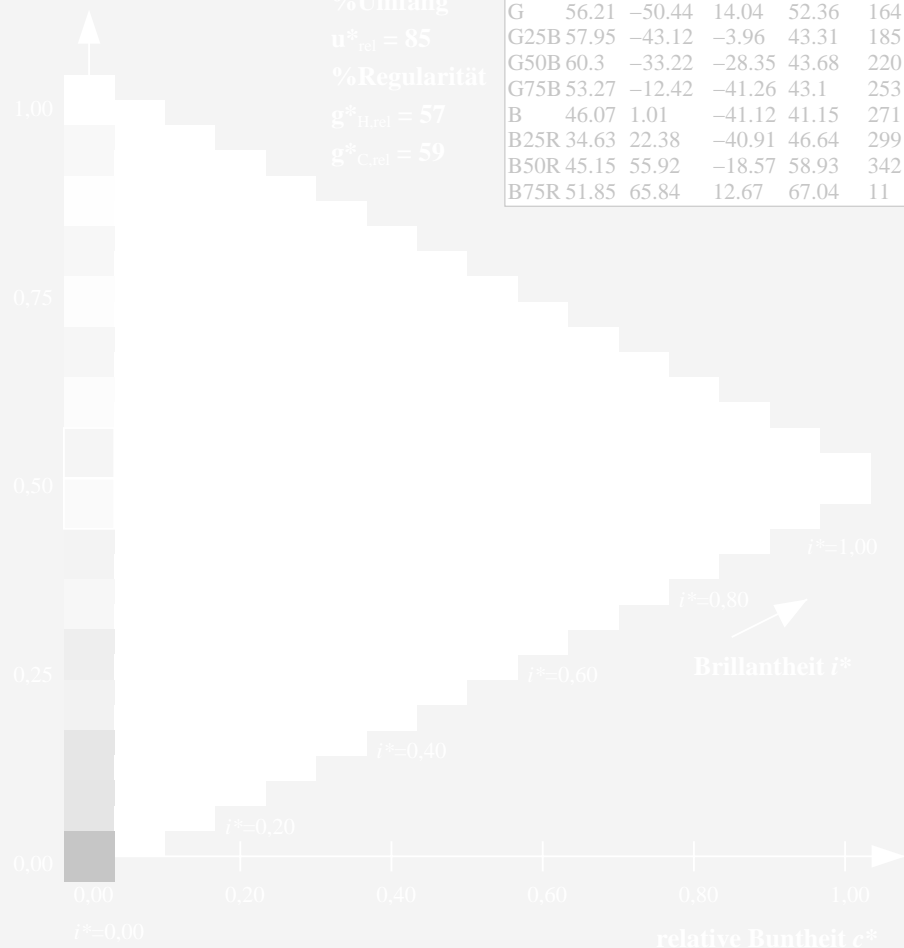
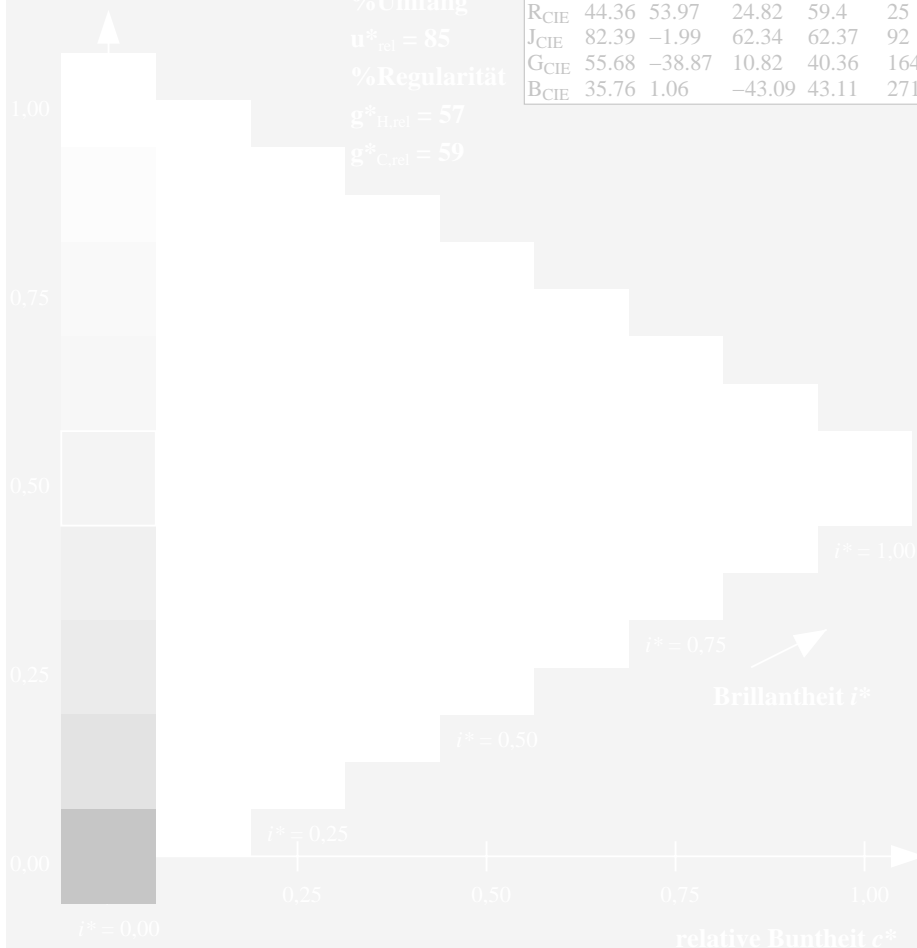
%Regularität

$g^*_{H,rel} = 57$

$g^*_{C,rel} = 59$

ORS18; adaptierte CIELAB-Daten

	$L^*=L^*_a$	a^*_a	b^*_a	$C^*_{ab,a}$	$h^*_{ab,a}$
R	51.79	63.09	29.02	69.44	25
R25J	53.73	56.6	48.42	74.48	41
R50J	65.47	35.67	59.82	69.65	59
R75J	76.51	15.98	70.55	72.34	77
J	86.93	-2.58	80.67	80.71	92
J25G	84.92	-17.23	75.99	77.92	103
J50G	73.11	-32.96	59.0	67.58	119
J75G	60.06	-50.34	40.22	64.44	141
G	56.21	-50.44	14.04	52.36	164
G25B	57.95	-43.12	-3.96	43.31	185
G50B	60.3	-33.22	-28.35	43.68	220
G75B	53.27	-12.42	-41.26	43.1	253
B	46.07	1.01	-41.12	41.15	271
B25R	34.63	22.38	-40.91	46.64	299
B50R	45.15	55.92	-18.57	58.93	342
B75R	51.85	65.84	12.67	67.04	11



ZG920-7F, 9stufige Reihen für konstanten CIELAB Buntton 59/360 = 0.164 (links)

Seite 35/96

ZG920-7F, 16stufige Reihen für konstanten CIELAB Buntton 59/360 = 0.164 (rechts) c n*

BAM-Prüfvorlage ZG92; Farbmétrik-Systeme, Seite 35/96 Eingabe: $rgb / cmy0 set(rgb/cmyk)color$

D65: 9 und 16stufige Farbreihen für 16 Elementar-Bunttöne Ausgabe: $\rightarrow LAB^* \rightarrow cmy5^* setcmykcolo$

Eingabe: Farbmetrisches Offset-Reflektiv-System ORS18

für Buntton $h^* = lab^*h = 77/360 = 0,215$

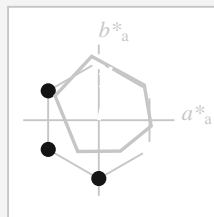
lab^*tch und lab^*nch

D65: Buntton R75J

LCH*Ma: 77 72 77

olv*Ma: 1.0 0.63 0.0

Dreiecks-Helligkeit t^*



%Umfang

$u^*_{rel} = 85$

%Regularität

$g^*_{H,rel} = 57$

$g^*_{C,rel} = 59$

ORS18; adaptierte CIELAB-Daten

	$L^*=L^*_a$	a^*_a	b^*_a	$C^*_{ab,a}$	$h^*_{ab,a}$
O _{Ma}	51.74	60.16	46.48	76.02	38
Y _{Ma}	90.77	-9.44	84.41	84.94	96
L _{Ma}	54.46	-57.8	32.16	66.15	151
C _{Ma}	61.56	-27.91	-41.41	49.95	236
V _{Ma}	31.3	28.61	-40.85	49.88	305
M _{Ma}	51.91	69.26	-7.69	69.68	354
N _{Ma}	24.2	0.0	0.0	0.0	0
W _{Ma}	95.41	0.0	0.0	0.0	0
R _{CIE}	44.36	53.97	24.82	59.4	25
J _{CIE}	82.39	-1.99	62.34	62.37	92
G _{CIE}	55.68	-38.87	10.82	40.36	164
B _{CIE}	35.76	1.06	-43.09	43.11	271

Ausgabe: Farbmetrisches Offset-Reflektiv-System ORS18

für Buntton $h^* = lab^*h = 77/360 = 0,215$

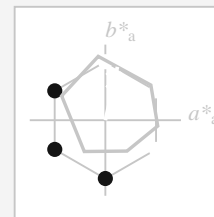
lab^*tch und lab^*nch

D65: Buntton R75J

LCH*Ma: 77 72 77

olv*Ma: 1.0 0.63 0.0

Dreiecks-Helligkeit t^*



%Umfang

$u^*_{rel} = 85$

%Regularität

$g^*_{H,rel} = 57$

$g^*_{C,rel} = 59$

ORS18; adaptierte CIELAB-Daten

	$L^*=L^*_a$	a^*_a	b^*_a	$C^*_{ab,a}$	$h^*_{ab,a}$
R	51.79	63.09	29.02	69.44	25
R25J	53.73	56.6	48.42	74.48	41
R50J	65.47	35.67	59.82	69.65	59
R75J	76.51	15.98	70.55	72.34	77
J	86.93	-2.58	80.67	80.71	92
J25G	84.92	-17.23	75.99	77.92	103
J50G	73.11	-32.96	59.0	67.58	119
J75G	60.06	-50.34	40.22	64.44	141
G	56.21	-50.44	14.04	52.36	164
G25B	57.95	-43.12	-3.96	43.31	185
G50B	60.3	-33.22	-28.35	43.68	220
G75B	53.27	-12.42	-41.26	43.1	253
B	46.07	1.01	-41.12	41.15	271
B25R	34.63	22.38	-40.91	46.64	299
B50R	45.15	55.92	-18.57	58.93	342
B75R	51.85	65.84	12.67	67.04	11

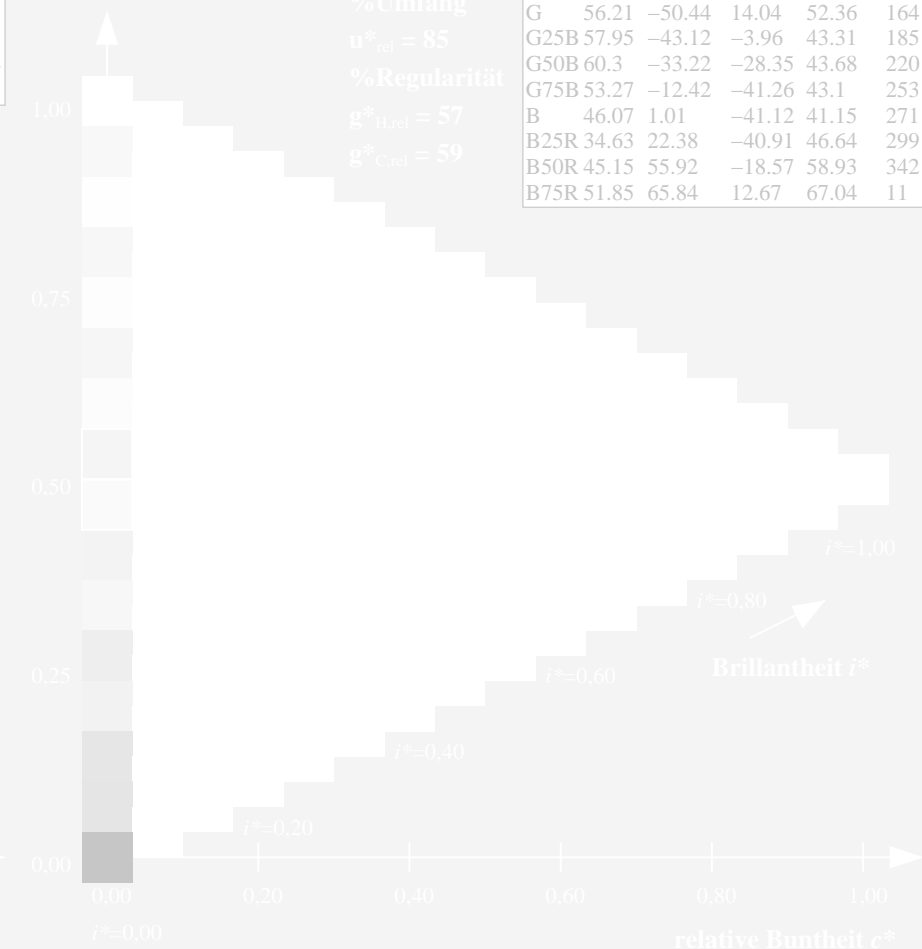
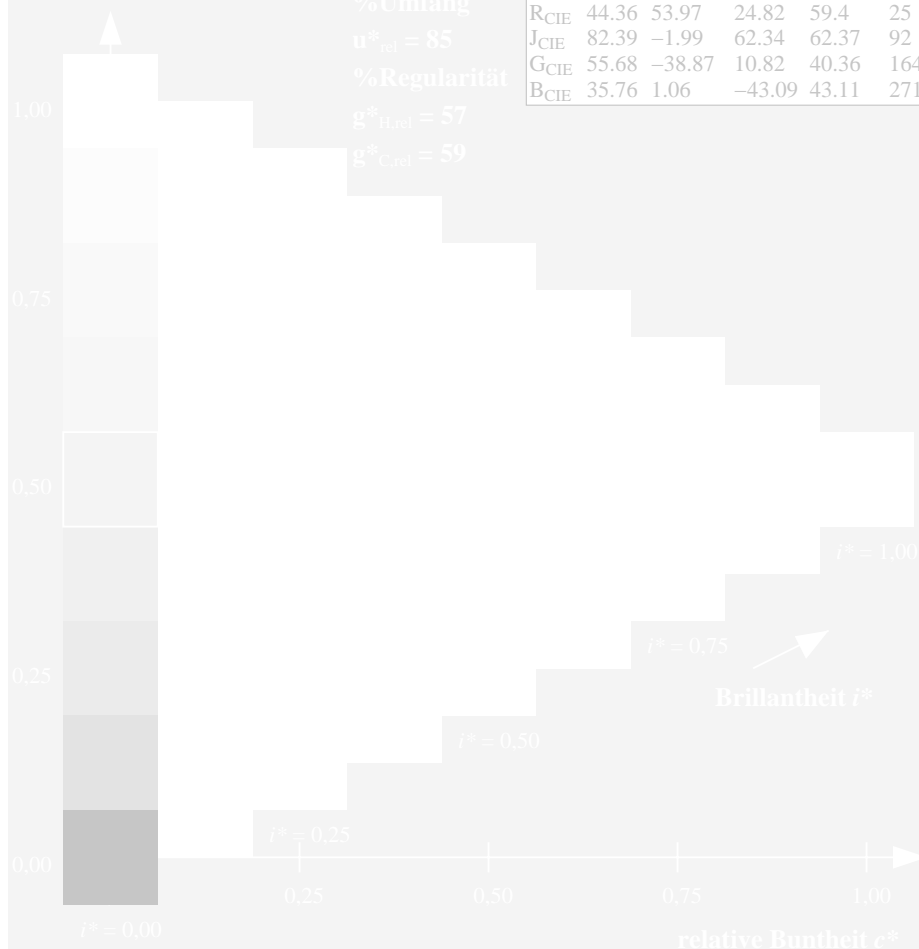
%Umfang

$u^*_{rel} = 85$

%Regularität

$g^*_{H,rel} = 57$

$g^*_{C,rel} = 59$



ZG920-7F, 9stufige Reihen für konstanten CIELAB Buntton 77/360 = 0.215 (links)

Seite 36/96

ZG920-7F, 16stufige Reihen für konstanten CIELAB Buntton 77/360 = 0.215 (rechts) c n*

BAM-Prüfvorlage ZG92; Farbmetrik-Systeme, Seite 36/96 Eingabe: $rgb / cmy0 set(rgb/cmyk)color$

D65: 9 und 16stufige Farbreihen für 16 Elementar-Bunttöne Ausgabe: $\rightarrow LAB^* \rightarrow cmyn5^* setcmkcolo$

Eingabe: Farbmétrisches Offset-Reflektiv-System ORS18

für Buntton $h^* = lab^*h = 92/360 = 0,255$

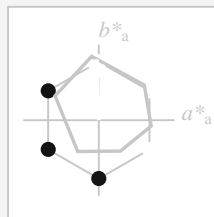
lab^*ch und lab^*nh

D65: Buntton J

LCH*Ma: 87 81 92

olv*Ma: 1.0 0.9 0.0

Dreiecks-Helligkeit t^*



%Umfang

$u^*_{rel} = 85$

%Regularität

$g^*_{H,rel} = 57$

$g^*_{C,rel} = 59$

ORS18; adaptierte CIELAB-Daten

	$L^*=L^*_a$	a^*_a	b^*_a	$C^*_{ab,a}$	$h^*_{ab,a}$
O _{Ma}	51.74	60.16	46.48	76.02	38
Y _{Ma}	90.77	-9.44	84.41	84.94	96
L _{Ma}	54.46	-57.8	32.16	66.15	151
C _{Ma}	61.56	-27.91	-41.41	49.95	236
V _{Ma}	31.3	28.61	-40.85	49.88	305
M _{Ma}	51.91	69.26	-7.69	69.68	354
N _{Ma}	24.2	0.0	0.0	0.0	0
W _{Ma}	95.41	0.0	0.0	0.0	0
R _{CIE}	44.36	53.97	24.82	59.4	25
J _{CIE}	82.39	-1.99	62.34	62.37	92
G _{CIE}	55.68	-38.87	10.82	40.36	164
B _{CIE}	35.76	1.06	-43.09	43.11	271

Ausgabe: Farbmétrisches Offset-Reflektiv-System ORS18

für Buntton $h^* = lab^*h = 92/360 = 0,255$

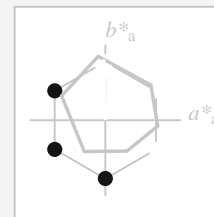
lab^*ch und lab^*nh

D65: Buntton J

LCH*Ma: 87 81 92

olv*Ma: 1.0 0.9 0.0

Dreiecks-Helligkeit t^*



%Umfang

$u^*_{rel} = 85$

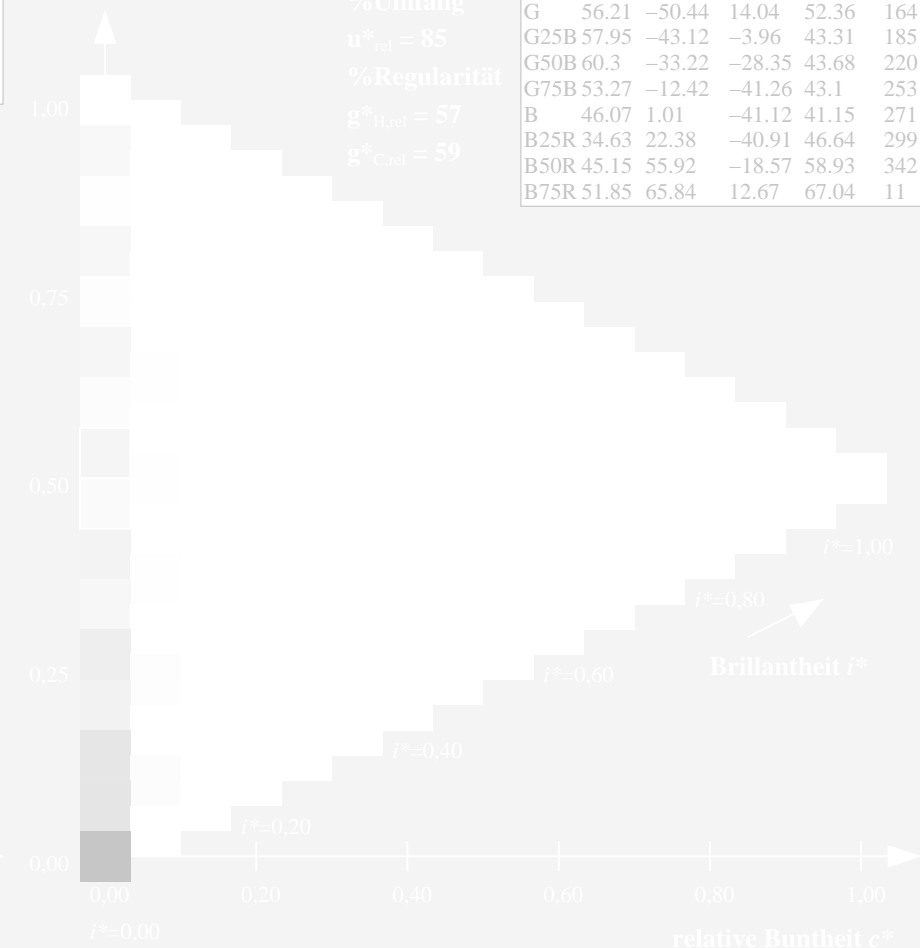
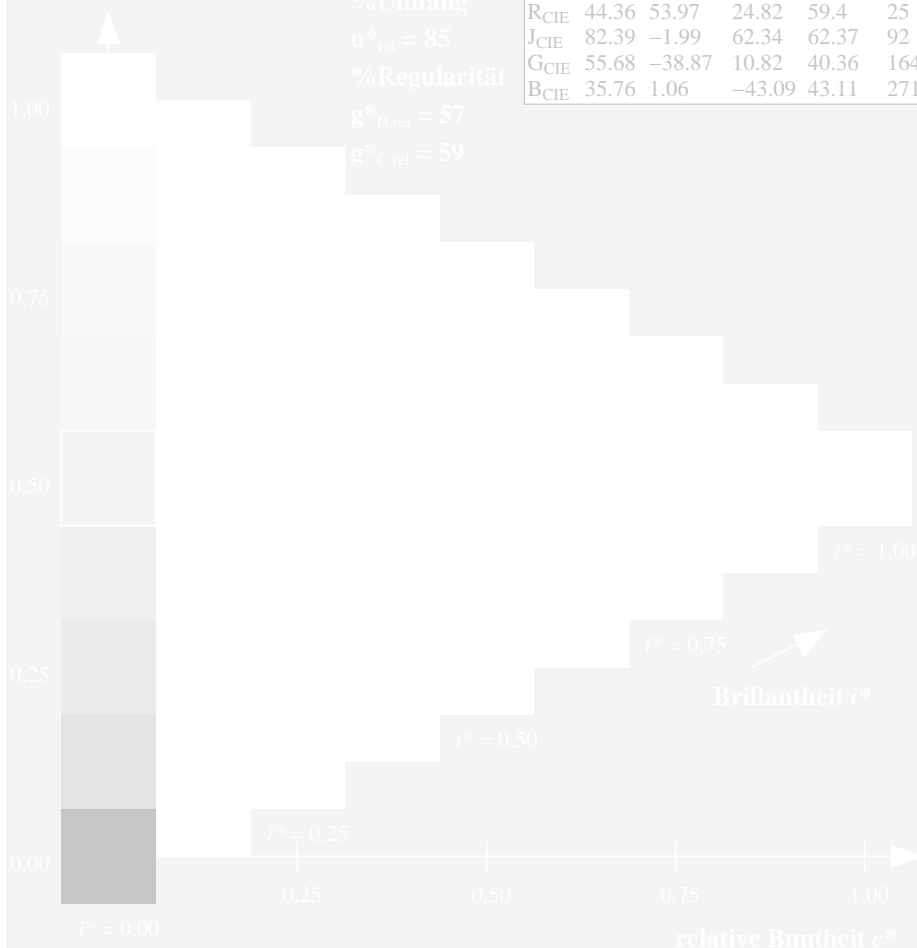
%Regularität

$g^*_{H,rel} = 57$

$g^*_{C,rel} = 59$

ORS18; adaptierte CIELAB-Daten

	$L^*=L^*_a$	a^*_a	b^*_a	$C^*_{ab,a}$	$h^*_{ab,a}$
R	51.79	63.09	29.02	69.44	25
R25J	53.73	56.6	48.42	74.48	41
R50J	65.47	35.67	59.82	69.65	59
R75J	76.51	15.98	70.55	72.34	77
J	86.93	-2.58	80.67	80.71	92
J25G	84.92	-17.23	75.99	77.92	103
J50G	73.11	-32.96	59.0	67.58	119
J75G	60.06	-50.34	40.22	64.44	141
G	56.21	-50.44	14.04	52.36	164
G25B	57.95	-43.12	-3.96	43.31	185
G50B	60.3	-33.22	-28.35	43.68	220
G75B	53.27	-12.42	-41.26	43.1	253
B	46.07	1.01	-41.12	41.15	271
B25R	34.63	22.38	-40.91	46.64	299
B50R	45.15	55.92	-18.57	58.93	342
B75R	51.85	65.84	12.67	67.04	11



ZG920-7F, 9stufige Reihen für konstanten CIELAB Buntton 92/360 = 0.255 (links)

Seite 37/96

ZG920-7F, 16stufige Reihen für konstanten CIELAB Buntton 92/360 = 0.255 (rechts) c n*

BAM-Prüfvorlage ZG92; Farbmétrik-Systeme, Seite 37/96 Eingabe: $rgb / cmy0 set(rgb/cmyk)color$

D65: 9 und 16stufige Farbreihen für 16 Elementar-Bunttöne Ausgabe: $\rightarrow LAB^* \rightarrow cmy5^* setcmykcolo$

Eingabe: Farbmétrisches Offset-Reflektiv-System ORS18

für Buntton $h^* = lab^*h = 103/360 = 0.286$

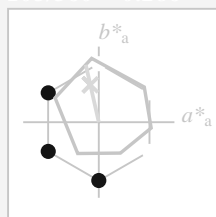
lab^*tch und lab^*nch

D65: Buntton J25G

LCH*Ma: 85 78 103

olv*Ma: 0.84 1.0 0.0

Dreiecks-Helligkeit t^*



%Umfang

$u^*_{rel} = 85$

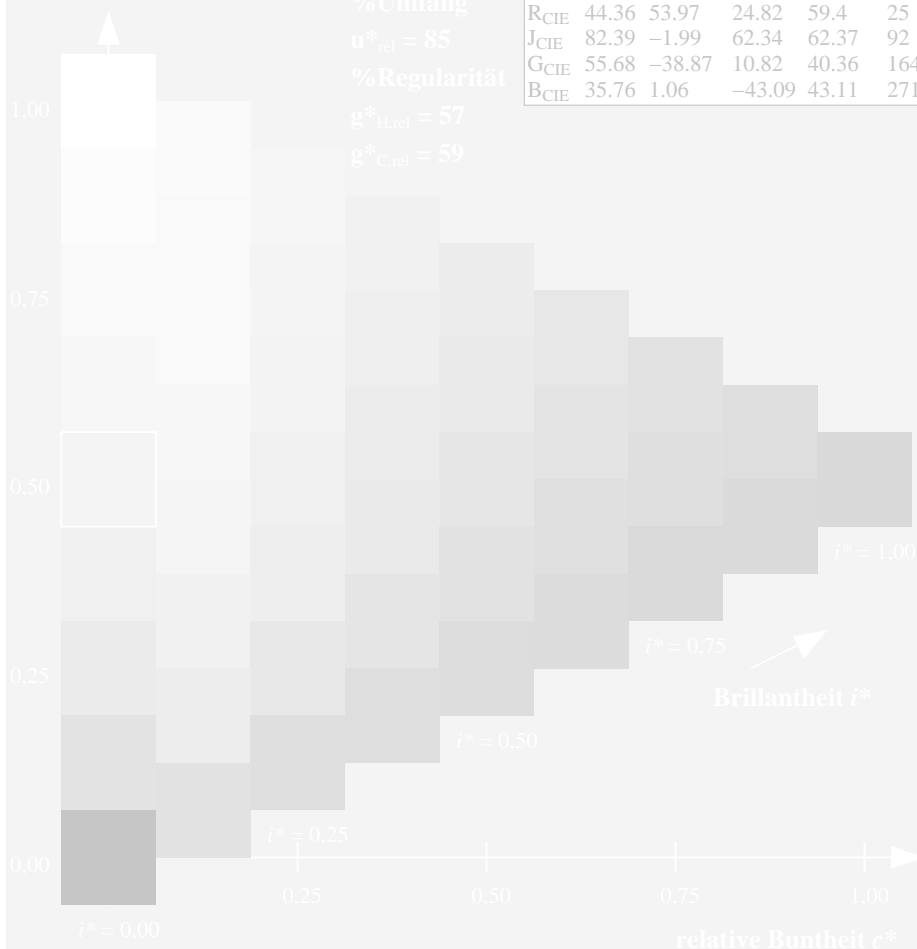
%Regularität

$g^*_{H,rel} = 57$

$g^*_{C,rel} = 59$

ORS18; adaptierte CIELAB-Daten

	$L^*=L^*_a$	a^*_a	b^*_a	$C^*_{ab,a}$	$h^*_{ab,a}$
O _{Ma}	51.74	60.16	46.48	76.02	38
Y _{Ma}	90.77	-9.44	84.41	84.94	96
L _{Ma}	54.46	-57.8	32.16	66.15	151
C _{Ma}	61.56	-27.91	-41.41	49.95	236
V _{Ma}	31.3	28.61	-40.85	49.88	305
M _{Ma}	51.91	69.26	-7.69	69.68	354
N _{Ma}	24.2	0.0	0.0	0.0	0
W _{Ma}	95.41	0.0	0.0	0.0	0
R _{CIE}	44.36	53.97	24.82	59.4	25
J _{CIE}	82.39	-1.99	62.34	62.37	92
G _{CIE}	55.68	-38.87	10.82	40.36	164
B _{CIE}	35.76	1.06	-43.09	43.11	271



Ausgabe: Farbmétrisches Offset-Reflektiv-System ORS18

für Buntton $h^* = lab^*h = 103/360 = 0.286$

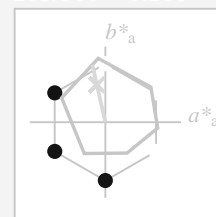
lab^*tch und lab^*nch

D65: Buntton J25G

LCH*Ma: 85 78 103

olv*Ma: 0.84 1.0 0.0

Dreiecks-Helligkeit t^*



%Umfang

$u^*_{rel} = 85$

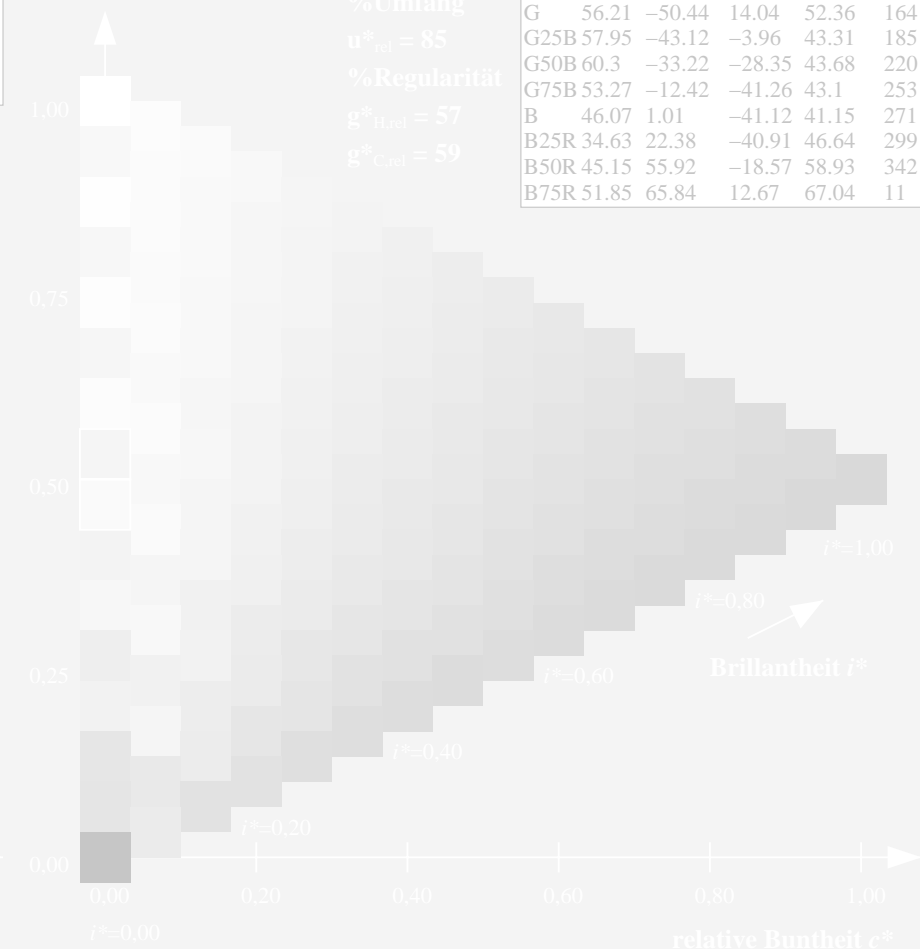
%Regularität

$g^*_{H,rel} = 57$

$g^*_{C,rel} = 59$

ORS18; adaptierte CIELAB-Daten

	$L^*=L^*_a$	a^*_a	b^*_a	$C^*_{ab,a}$	$h^*_{ab,a}$
R	51.79	63.09	29.02	69.44	25
R25J	53.73	56.6	48.42	74.48	41
R50J	65.47	35.67	59.82	69.65	59
R75J	76.51	15.98	70.55	72.34	77
J	86.93	-2.58	80.67	80.71	92
J25G	84.92	-17.23	75.99	77.92	103
J50G	73.11	-32.96	59.0	67.58	119
J75G	60.06	-50.34	40.22	64.44	141
G	56.21	-50.44	14.04	52.36	164
G25B	57.95	-43.12	-3.96	43.31	185
G50B	60.3	-33.22	-28.35	43.68	220
G75B	53.27	-12.42	-41.26	43.1	253
B	46.07	1.01	-41.12	41.15	271
B25R	34.63	22.38	-40.91	46.64	299
B50R	45.15	55.92	-18.57	58.93	342
B75R	51.85	65.84	12.67	67.04	11



ZG920-7F, 9stufige Reihen für konstanten CIELAB Buntton 103/360 = 0.286 (links)

Seite 38/96

ZG920-7F, 16stufige Reihen für konstanten CIELAB Buntton 103/360 = 0.286 (rechts) c n*

BAM-Prüfvorlage ZG92; Farbmétrik-Systeme, Seite 38/96 Eingabe: $rgb / cmy0 set(rgb/cmyk)color$

D65: 9 und 16stufige Farbreihen für 16 Elementar-Bunttöne Ausgabe: $\rightarrow LAB^* \rightarrow cmy5^* setcmykcolo$

Eingabe: Farbmétrisches Offset-Reflektiv-System ORS18

für Buntton $h^* = lab^*h = 119/360 = 0.331$

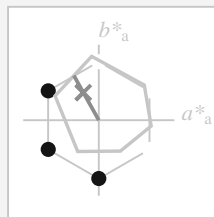
lab^*ch und lab^*nh

D65: Buntton J50G

LCH*Ma: 73 68 119

olv*Ma: 0.51 1.0 0.0

Dreiecks-Helligkeit t^*



%Umfang

$u^*_{rel} = 85$

%Regularität

$g^*_{H,rel} = 57$

$g^*_{C,rel} = 59$

ORS18; adaptierte CIELAB-Daten

	$L^*=L^*_a$	a^*_a	b^*_a	$C^*_{ab,a}$	$h^*_{ab,a}$
O _{Ma}	51.74	60.16	46.48	76.02	38
Y _{Ma}	90.77	-9.44	84.41	84.94	96
L _{Ma}	54.46	-57.8	32.16	66.15	151
C _{Ma}	61.56	-27.91	-41.41	49.95	236
V _{Ma}	31.3	28.61	-40.85	49.88	305
M _{Ma}	51.91	69.26	-7.69	69.68	354
N _{Ma}	24.2	0.0	0.0	0.0	0
W _{Ma}	95.41	0.0	0.0	0.0	0
R _{CIE}	44.36	53.97	24.82	59.4	25
J _{CIE}	82.39	-1.99	62.34	62.37	92
G _{CIE}	55.68	-38.87	10.82	40.36	164
B _{CIE}	35.76	1.06	-43.09	43.11	271

Ausgabe: Farbmétrisches Offset-Reflektiv-System ORS18

für Buntton $h^* = lab^*h = 119/360 = 0.331$

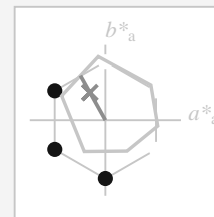
lab^*ch und lab^*nh

D65: Buntton J50G

LCH*Ma: 73 68 119

olv*Ma: 0.51 1.0 0.0

Dreiecks-Helligkeit t^*



%Umfang

$u^*_{rel} = 85$

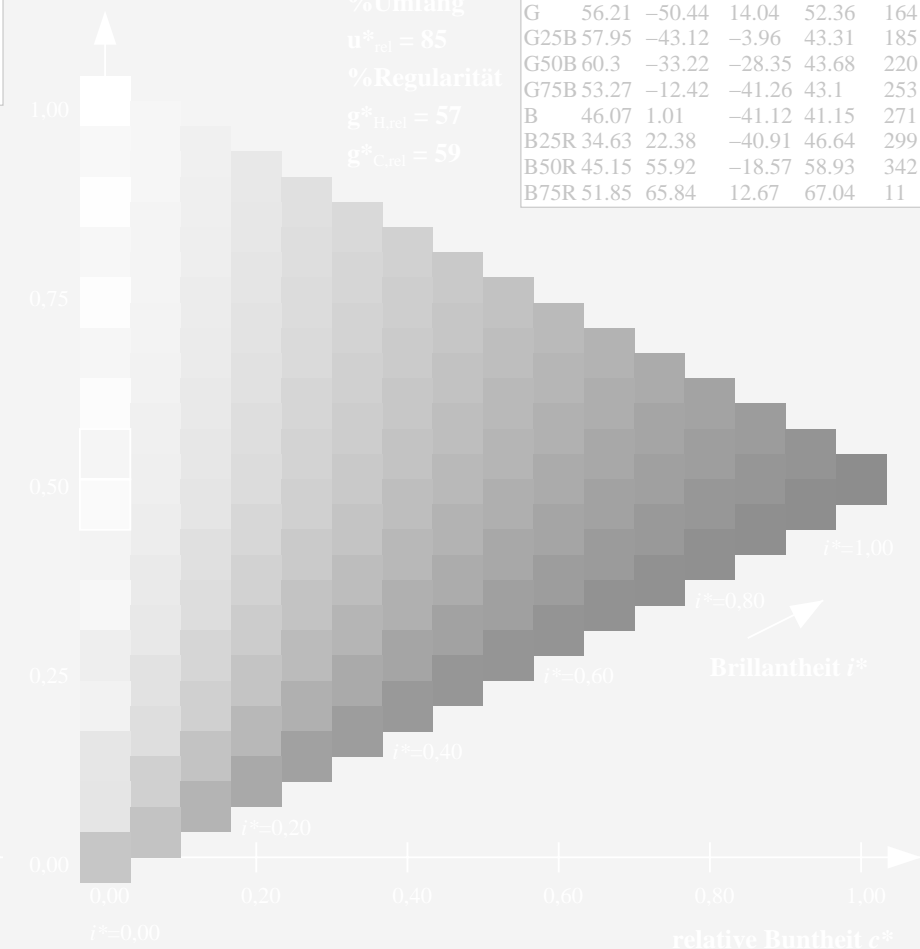
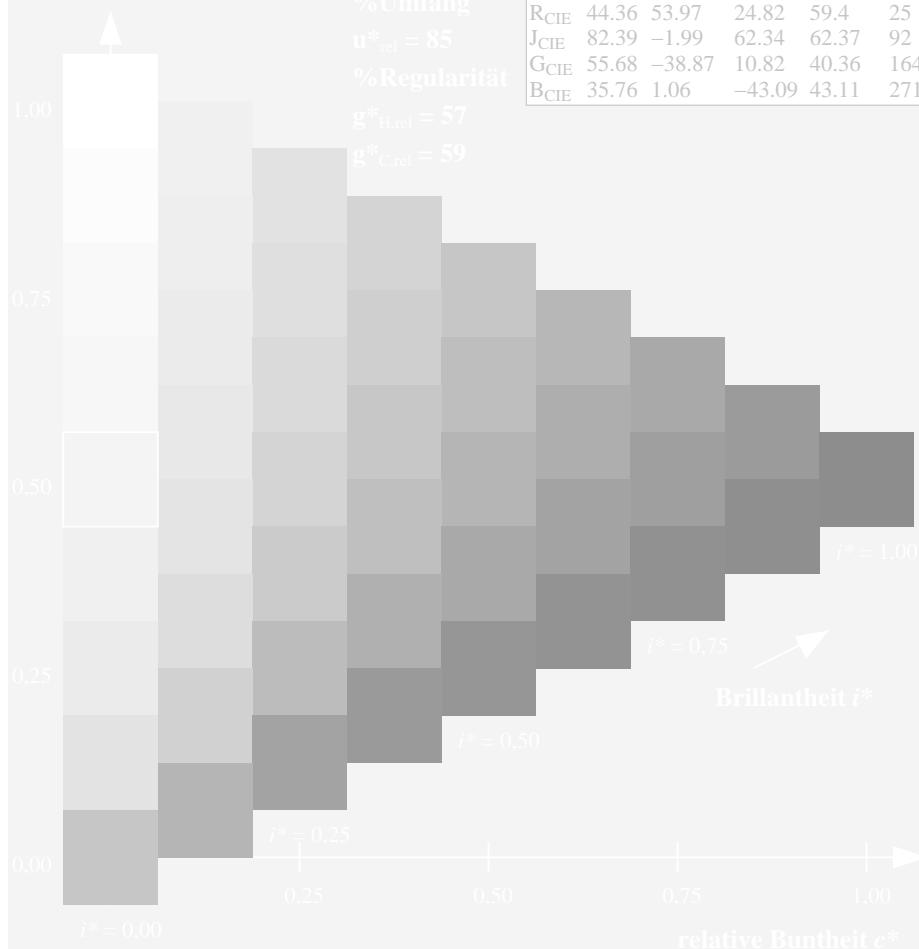
%Regularität

$g^*_{H,rel} = 57$

$g^*_{C,rel} = 59$

ORS18; adaptierte CIELAB-Daten

	$L^*=L^*_a$	a^*_a	b^*_a	$C^*_{ab,a}$	$h^*_{ab,a}$
R	51.79	63.09	29.02	69.44	25
R25J	53.73	56.6	48.42	74.48	41
R50J	65.47	35.67	59.82	69.65	59
R75J	76.51	15.98	70.55	72.34	77
J	86.93	-2.58	80.67	80.71	92
J25G	84.92	-17.23	75.99	77.92	103
J50G	73.11	-32.96	59.0	67.58	119
J75G	60.06	-50.34	40.22	64.44	141
G	56.21	-50.44	14.04	52.36	164
G25B	57.95	-43.12	-3.96	43.31	185
G50B	60.3	-33.22	-28.35	43.68	220
G75B	53.27	-12.42	-41.26	43.1	253
B	46.07	1.01	-41.12	41.15	271
B25R	34.63	22.38	-40.91	46.64	299
B50R	45.15	55.92	-18.57	58.93	342
B75R	51.85	65.84	12.67	67.04	11



ZG920-7F, 9stufige Reihen für konstanten CIELAB Buntton 119/360 = 0.331 (links)

Seite 39/96

ZG920-7F, 16stufige Reihen für konstanten CIELAB Buntton 119/360 = 0.331 (rechts) c n*

BAM-Prüfvorlage ZG92; Farbmétrik-Systeme, Seite 39/96 Eingabe: $rgb / cmy0 set(rgb/cmyk)color$

D65: 9 und 16stufige Farbreihen für 16 Elementar-Bunttöne Ausgabe: $\rightarrow LAB^* \rightarrow cmy5^* setcmykcolo$

-6

Eingabe: Farbmétrisches Offset-Reflektiv-System ORS18

für Buntton $h^* = lab^*h = 164/360 = 0.457$

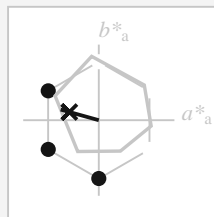
lab^*ch und lab^*nch

D65: Buntton G

LCH*Ma: 56 52 164

olv*Ma: 0.0 1.0 0.25

Dreiecks-Helligkeit t^*



%Umfang

$u^*_{rel} = 85$

%Regularität

$g^*_{H,rel} = 57$

$g^*_{C,rel} = 59$

ORS18; adaptierte CIELAB-Daten

	$L^*=L^*_a$	a^*_a	b^*_a	$C^*_{ab,a}$	$h^*_{ab,a}$
O _{Ma}	51.74	60.16	46.48	76.02	38
Y _{Ma}	90.77	-9.44	84.41	84.94	96
L _{Ma}	54.46	-57.8	32.16	66.15	151
C _{Ma}	61.56	-27.91	-41.41	49.95	236
V _{Ma}	31.3	28.61	-40.85	49.88	305
M _{Ma}	51.91	69.26	-7.69	69.68	354
N _{Ma}	24.2	0.0	0.0	0.0	0
W _{Ma}	95.41	0.0	0.0	0.0	0
R _{CIE}	44.36	53.97	24.82	59.4	25
J _{CIE}	82.39	-1.99	62.34	62.37	92
G _{CIE}	55.68	-38.87	10.82	40.36	164
B _{CIE}	35.76	1.06	-43.09	43.11	271

Ausgabe: Farbmétrisches Offset-Reflektiv-System ORS18

für Buntton $h^* = lab^*h = 164/360 = 0.457$

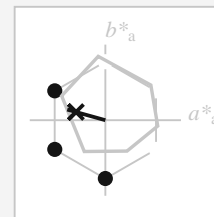
lab^*ch und lab^*nch

D65: Buntton G

LCH*Ma: 56 52 164

olv*Ma: 0.0 1.0 0.25

Dreiecks-Helligkeit t^*



%Umfang

$u^*_{rel} = 85$

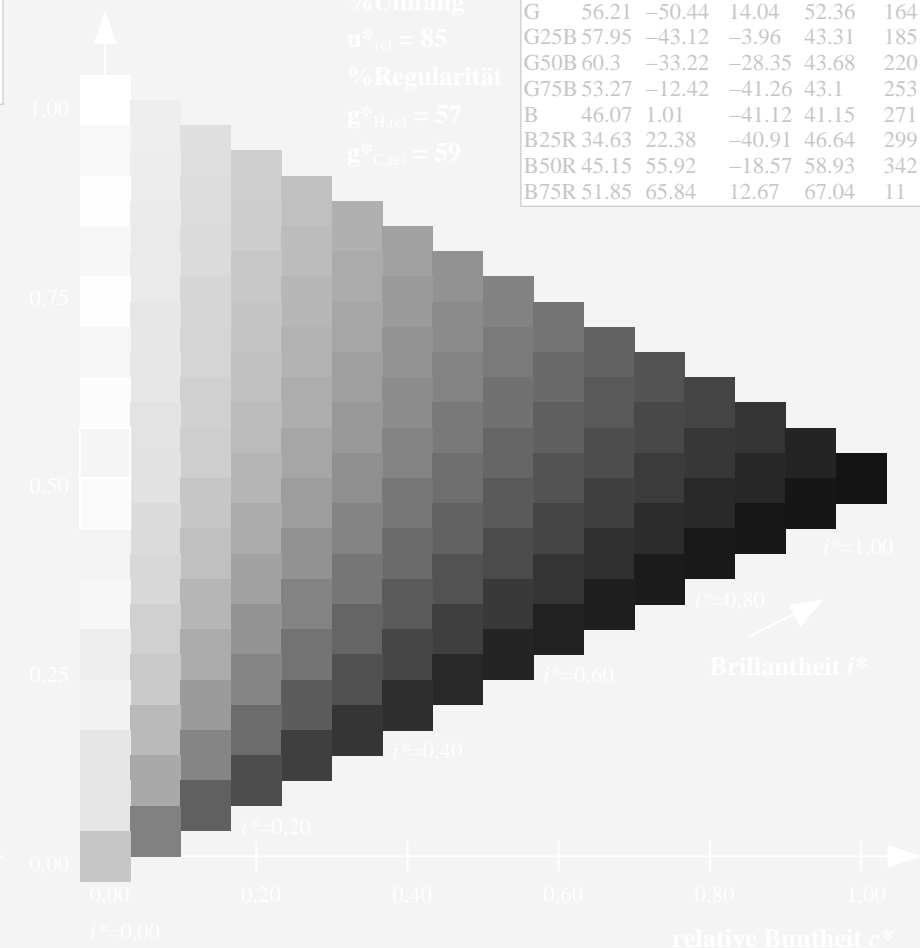
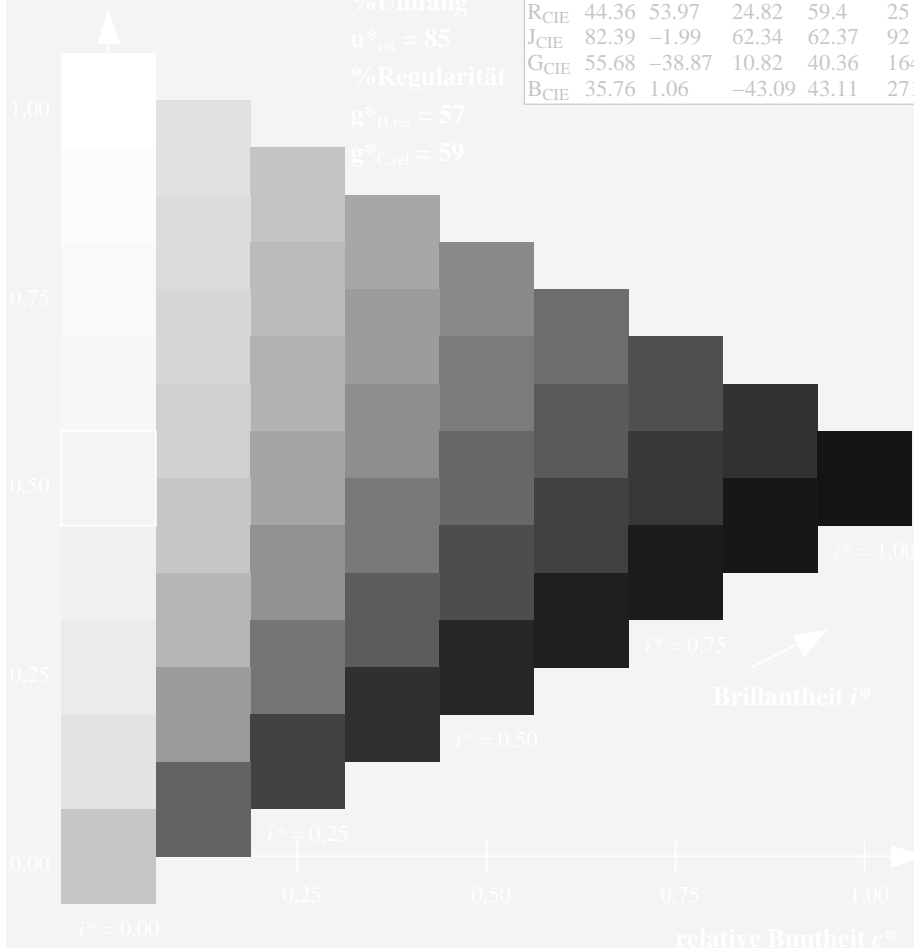
%Regularität

$g^*_{H,rel} = 57$

$g^*_{C,rel} = 59$

ORS18; adaptierte CIELAB-Daten

	$L^*=L^*_a$	a^*_a	b^*_a	$C^*_{ab,a}$	$h^*_{ab,a}$
R	51.79	63.09	29.02	69.44	25
R25J	53.73	56.6	48.42	74.48	41
R50J	65.47	35.67	59.82	69.65	59
R75J	76.51	15.98	70.55	72.34	77
J	86.93	-2.58	80.67	80.71	92
J25G	84.92	-17.23	75.99	77.92	103
J50G	73.11	-32.96	59.0	67.58	119
J75G	60.06	-50.34	40.22	64.44	141
G	56.21	-50.44	14.04	52.36	164
G25B	57.95	-43.12	-3.96	43.31	185
G50B	60.3	-33.22	-28.35	43.68	220
G75B	53.27	-12.42	-41.26	43.1	253
B	46.07	1.01	-41.12	41.15	271
B25R	34.63	22.38	-40.91	46.64	299
B50R	45.15	55.92	-18.57	58.93	342
B75R	51.85	65.84	12.67	67.04	11



Eingabe: Farbmétrisches Offset-Reflektiv-System ORS18

für Buntton $h^* = lab^*h = 185/360 = 0.515$

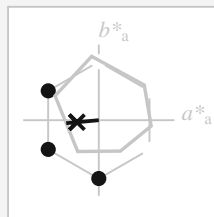
lab^*ch und lab^*nh

D65: Buntton G25B

LCH*Ma: 58 43 185

olv*Ma: 0.0 1.0 0.49

Dreiecks-Helligkeit t^*



%Umfang

$u^*_{rel} = 85$

%Regularität

$g^*_{H,rel} = 57$

$g^*_{C,rel} = 59$

ORS18; adaptierte CIELAB-Daten

	$L^*=L^*_a$	a^*_a	b^*_a	$C^*_{ab,a}$	$h^*_{ab,a}$
O _{Ma}	51.74	60.16	46.48	76.02	38
Y _{Ma}	90.77	-9.44	84.41	84.94	96
L _{Ma}	54.46	-57.8	32.16	66.15	151
C _{Ma}	61.56	-27.91	-41.41	49.95	236
V _{Ma}	31.3	28.61	-40.85	49.88	305
M _{Ma}	51.91	69.26	-7.69	69.68	354
N _{Ma}	24.2	0.0	0.0	0.0	0
W _{Ma}	95.41	0.0	0.0	0.0	0
R _{CIE}	44.36	53.97	24.82	59.4	25
J _{CIE}	82.39	-1.99	62.34	62.37	92
G _{CIE}	55.68	-38.87	10.82	40.36	164
B _{CIE}	35.76	1.06	-43.09	43.11	271

Ausgabe: Farbmétrisches Offset-Reflektiv-System ORS18

für Buntton $h^* = lab^*h = 185/360 = 0.515$

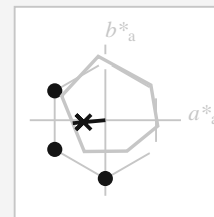
lab^*ch und lab^*nh

D65: Buntton G25B

LCH*Ma: 58 43 185

olv*Ma: 0.0 1.0 0.49

Dreiecks-Helligkeit t^*



%Umfang

$u^*_{rel} = 85$

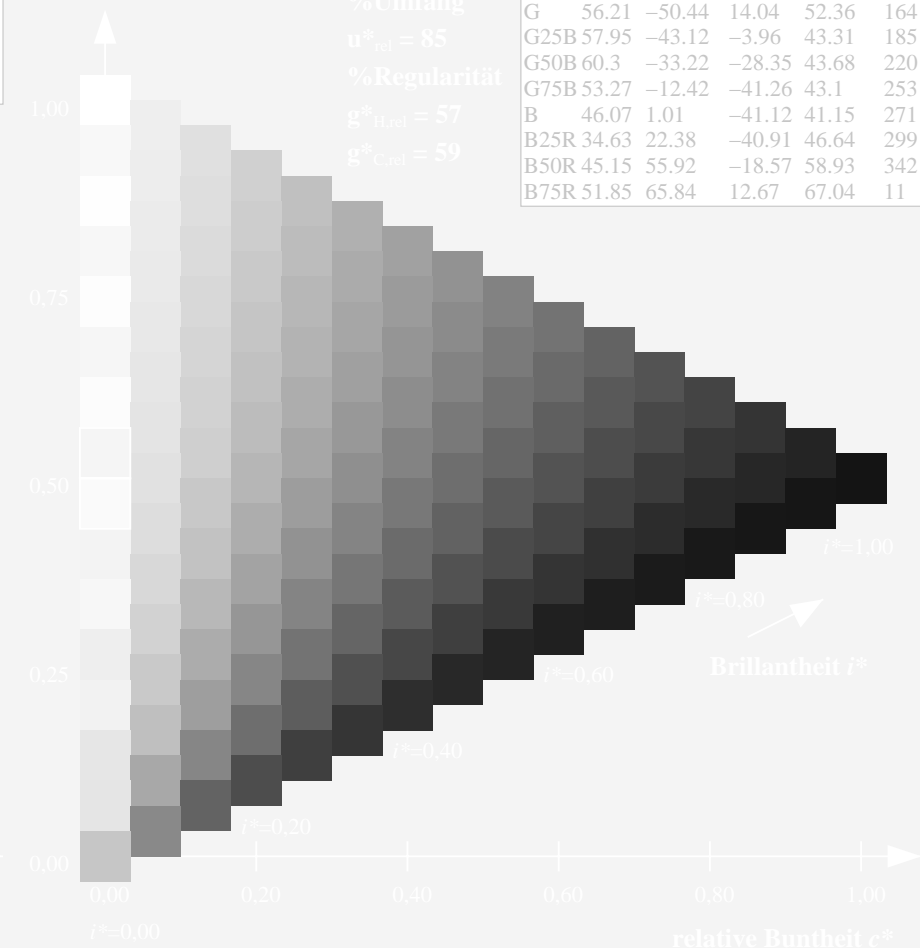
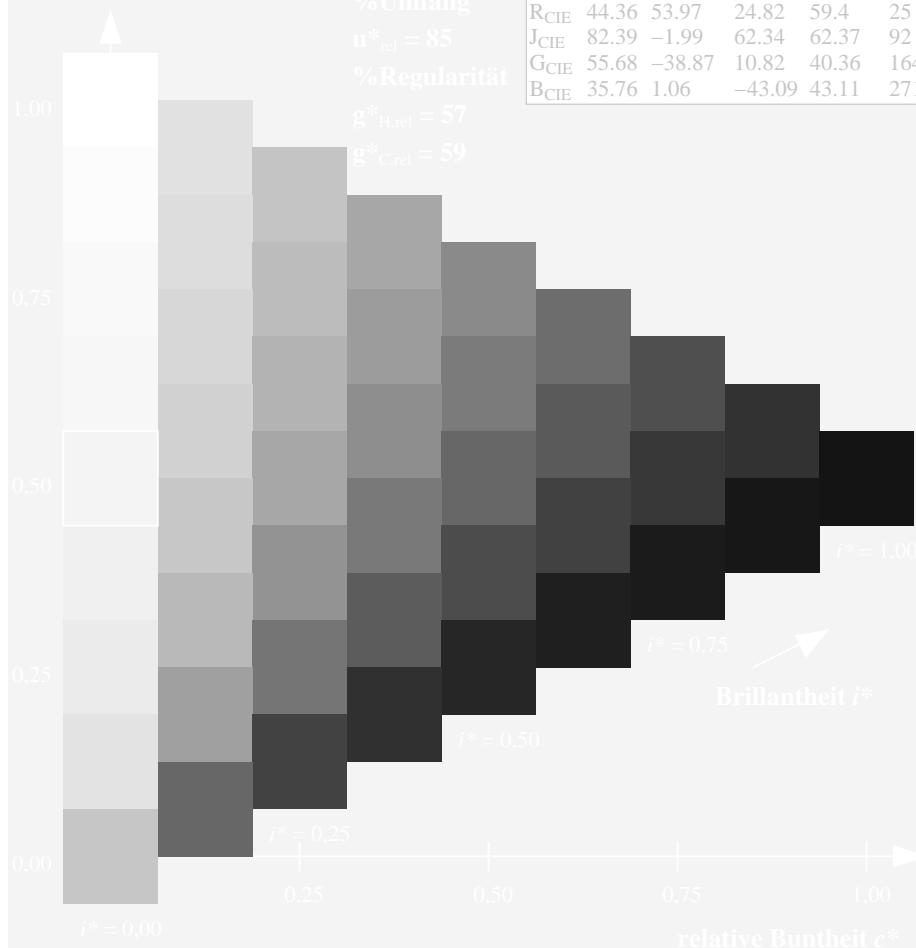
%Regularität

$g^*_{H,rel} = 57$

$g^*_{C,rel} = 59$

ORS18; adaptierte CIELAB-Daten

	$L^*=L^*_a$	a^*_a	b^*_a	$C^*_{ab,a}$	$h^*_{ab,a}$
R	51.79	63.09	29.02	69.44	25
R25J	53.73	56.6	48.42	74.48	41
R50J	65.47	35.67	59.82	69.65	59
R75J	76.51	15.98	70.55	72.34	77
J	86.93	-2.58	80.67	80.71	92
J25G	84.92	-17.23	75.99	77.92	103
J50G	73.11	-32.96	59.0	67.58	119
J75G	60.06	-50.34	40.22	64.44	141
G	56.21	-50.44	14.04	52.36	164
G25B	57.95	-43.12	-3.96	43.31	185
G50B	60.3	-33.22	-28.35	43.68	220
G75B	53.27	-12.42	-41.26	43.1	253
B	46.07	1.01	-41.12	41.15	271
B25R	34.63	22.38	-40.91	46.64	299
B50R	45.15	55.92	-18.57	58.93	342
B75R	51.85	65.84	12.67	67.04	11



Eingabe: Farbmétrisches Offset-Reflektiv-System ORS18

für Buntton $h^* = lab^*h = 220/360 = 0.612$

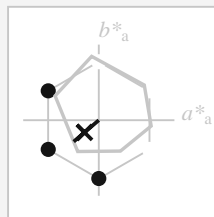
lab^*tch und lab^*nch

D65: Buntton G50B

LCH*Ma: 60 44 220

olv*Ma: 0.0 1.0 0.82

Dreiecks-Helligkeit t^*



%Umfang

$u^*_{rel} = 85$

%Regularität

$g^*_{H,rel} = 57$

$g^*_{C,rel} = 59$

ORS18; adaptierte CIELAB-Daten

	$L^*=L^*_a$	a^*_a	b^*_a	$C^*_{ab,a}$	$h^*_{ab,a}$
O _{Ma}	51.74	60.16	46.48	76.02	38
Y _{Ma}	90.77	-9.44	84.41	84.94	96
L _{Ma}	54.46	-57.8	32.16	66.15	151
C _{Ma}	61.56	-27.91	-41.41	49.95	236
V _{Ma}	31.3	28.61	-40.85	49.88	305
M _{Ma}	51.91	69.26	-7.69	69.68	354
N _{Ma}	24.2	0.0	0.0	0.0	0
W _{Ma}	95.41	0.0	0.0	0.0	0
R _{CIE}	44.36	53.97	24.82	59.4	25
J _{CIE}	82.39	-1.99	62.34	62.37	92
G _{CIE}	55.68	-38.87	10.82	40.36	164
B _{CIE}	35.76	1.06	-43.09	43.11	271

Ausgabe: Farbmétrisches Offset-Reflektiv-System ORS18

für Buntton $h^* = lab^*h = 220/360 = 0.612$

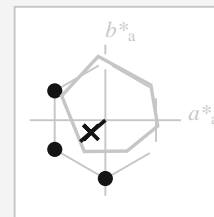
lab^*tch und lab^*nch

D65: Buntton G50B

LCH*Ma: 60 44 220

olv*Ma: 0.0 1.0 0.82

Dreiecks-Helligkeit t^*



%Umfang

$u^*_{rel} = 85$

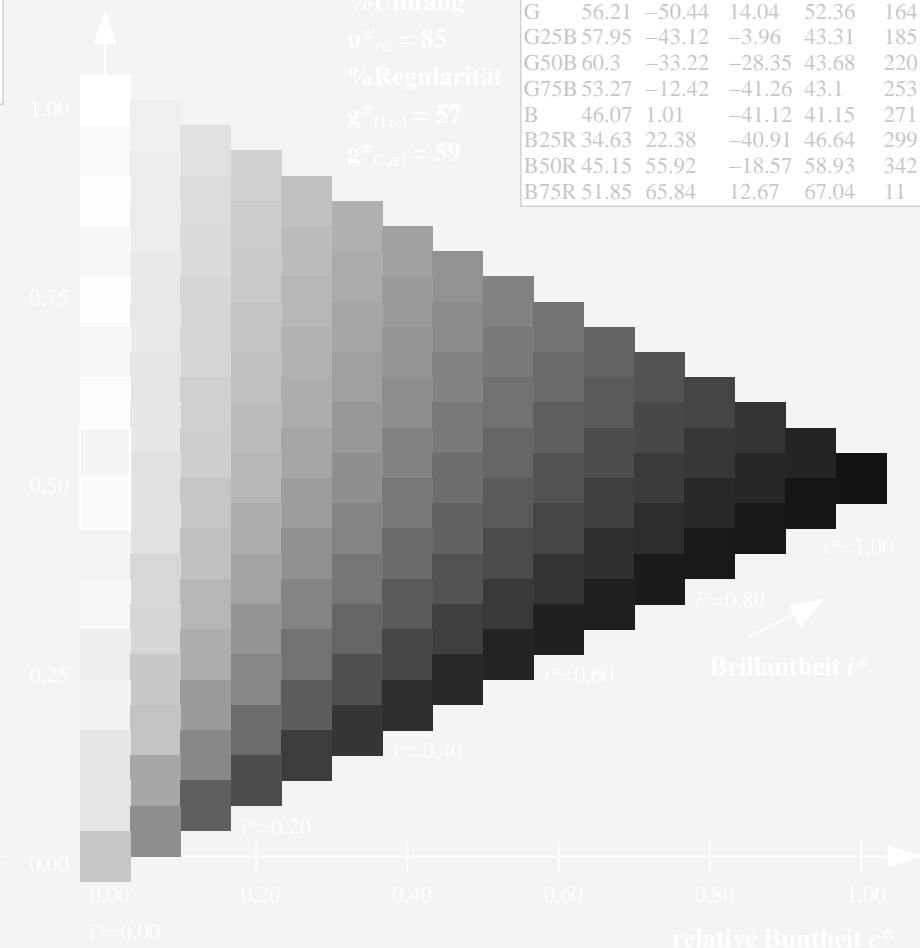
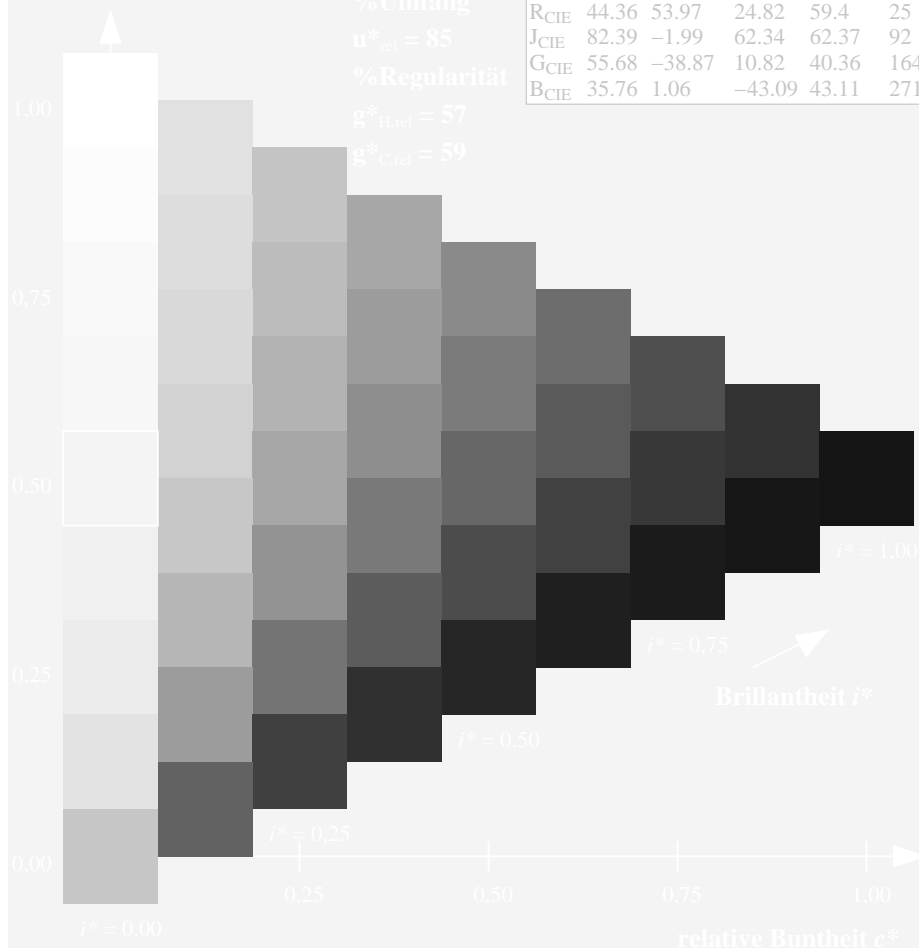
%Regularität

$g^*_{H,rel} = 57$

$g^*_{C,rel} = 59$

ORS18; adaptierte CIELAB-Daten

	$L^*=L^*_a$	a^*_a	b^*_a	$C^*_{ab,a}$	$h^*_{ab,a}$
R	51.79	63.09	29.02	69.44	25
R25J	53.73	56.6	48.42	74.48	41
R50J	65.47	35.67	59.82	69.65	59
R75J	76.51	15.98	70.55	72.34	77
J	86.93	-2.58	80.67	80.71	92
J25G	84.92	-17.23	75.99	77.92	103
J50G	73.11	-32.96	59.0	67.58	119
J75G	60.06	-50.34	40.22	64.44	141
G	56.21	-50.44	14.04	52.36	164
G25B	57.95	-43.12	-3.96	43.31	185
G50B	60.3	-33.22	-28.35	43.68	220
G75B	53.27	-12.42	-41.26	43.1	253
B	46.07	1.01	-41.12	41.15	271
B25R	34.63	22.38	-40.91	46.64	299
B50R	45.15	55.92	-18.57	58.93	342
B75R	51.85	65.84	12.67	67.04	11



ZG920-7F, 9stufige Reihen für konstanten CIELAB Buntton 220/360 = 0.612 (links)

Seite 43/96

ZG920-7F, 16stufige Reihen für konstanten CIELAB Buntton 220/360 = 0.612 (rechts) c n*

BAM-Prüfvorlage ZG92; Farbmétrik-Systeme, Seite 43/96 Eingabe: $rgb / cmy0 set(rgb/cmyk)color$

D65: 9 und 16stufige Farbreihen für 16 Elementar-Bunttöne Ausgabe: $\rightarrow LAB^* \rightarrow cmy5^* setcmykcolo$

Eingabe: Farbmétrisches Offset-Reflektiv-System ORS18

für Buntton $h^* = lab^*h = 253/360 = 0.703$

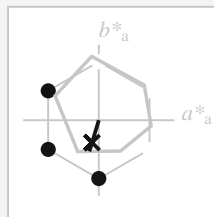
lab^*ch und lab^*nh

D65: Buntton G75B

LCH*Ma: 53 43 253

olv*Ma: 0.0 0.73 1.0

Dreiecks-Helligkeit t^*



%Umfang

$u^*_{rel} = 85$

%Regularität

$g^*_{H,rel} = 57$

$g^*_{C,rel} = 59$

ORS18; adaptierte CIELAB-Daten

	$L^*=L^*_a$	a^*_a	b^*_a	$C^*_{ab,a}$	$h^*_{ab,a}$
O _{Ma}	51.74	60.16	46.48	76.02	38
Y _{Ma}	90.77	-9.44	84.41	84.94	96
L _{Ma}	54.46	-57.8	32.16	66.15	151
C _{Ma}	61.56	-27.91	-41.41	49.95	236
V _{Ma}	31.3	28.61	-40.85	49.88	305
M _{Ma}	51.91	69.26	-7.69	69.68	354
N _{Ma}	24.2	0.0	0.0	0.0	0
W _{Ma}	95.41	0.0	0.0	0.0	0
R _{CIE}	44.36	53.97	24.82	59.4	25
J _{CIE}	82.39	-1.99	62.34	62.37	92
G _{CIE}	55.68	-38.87	10.82	40.36	164
B _{CIE}	35.76	1.06	-43.09	43.11	271

Ausgabe: Farbmétrisches Offset-Reflektiv-System ORS18

für Buntton $h^* = lab^*h = 253/360 = 0.703$

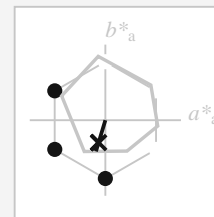
lab^*ch und lab^*nh

D65: Buntton G75B

LCH*Ma: 53 43 253

olv*Ma: 0.0 0.73 1.0

Dreiecks-Helligkeit t^*



%Umfang

$u^*_{rel} = 85$

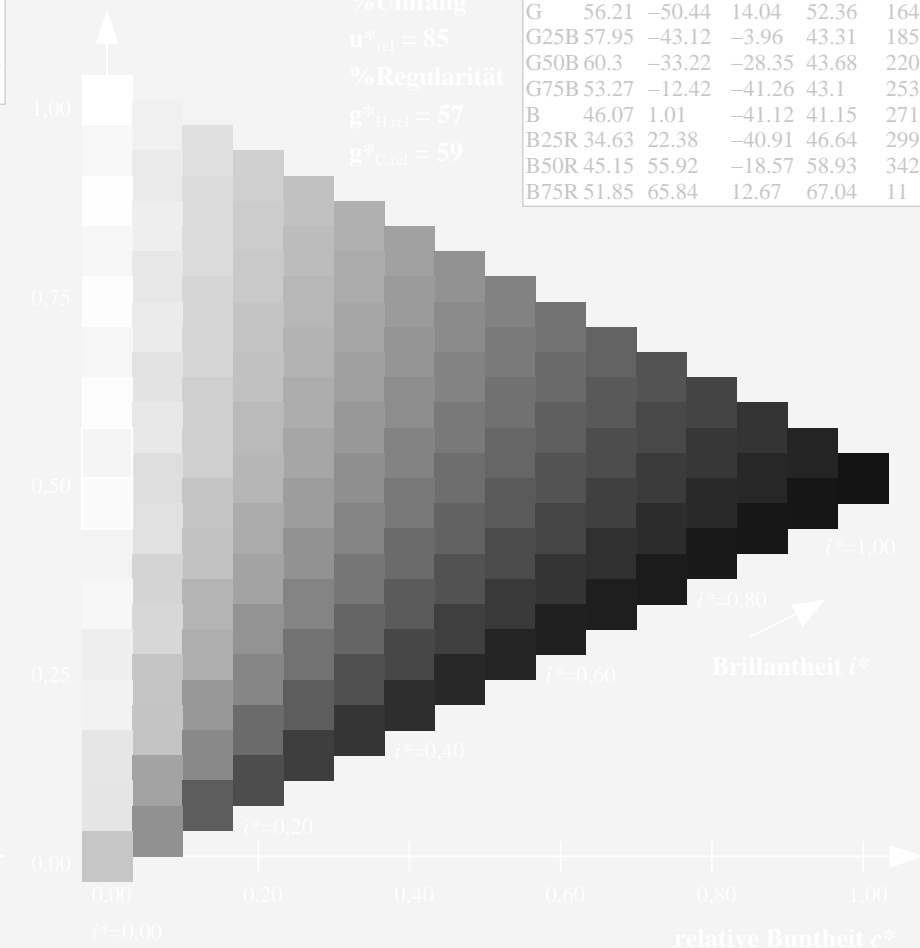
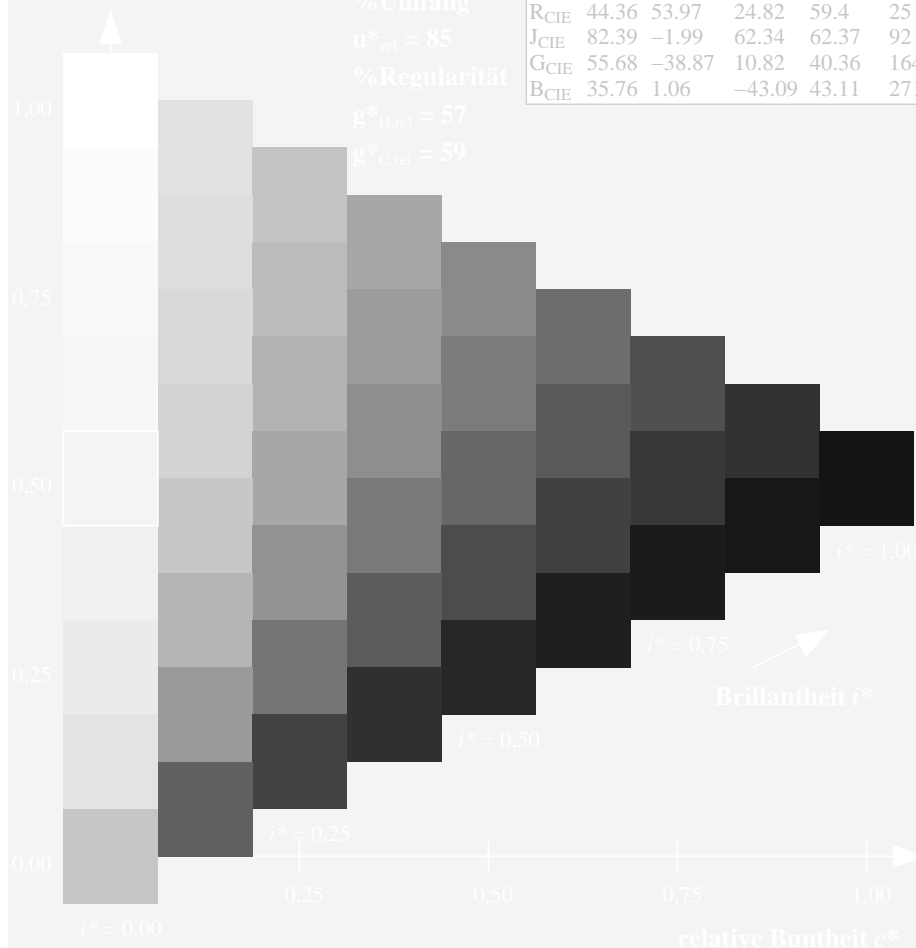
%Regularität

$g^*_{H,rel} = 57$

$g^*_{C,rel} = 59$

ORS18; adaptierte CIELAB-Daten

	$L^*=L^*_a$	a^*_a	b^*_a	$C^*_{ab,a}$	$h^*_{ab,a}$
R	51.79	63.09	29.02	69.44	25
R25J	53.73	56.6	48.42	74.48	41
R50J	65.47	35.67	59.82	69.65	59
R75J	76.51	15.98	70.55	72.34	77
J	86.93	-2.58	80.67	80.71	92
J25G	84.92	-17.23	75.99	77.92	103
J50G	73.11	-32.96	59.0	67.58	119
J75G	60.06	-50.34	40.22	64.44	141
G	56.21	-50.44	14.04	52.36	164
G25B	57.95	-43.12	-3.96	43.31	185
G50B	60.3	-33.22	-28.35	43.68	220
G75B	53.27	-12.42	-41.26	43.1	253
B	46.07	1.01	-41.12	41.15	271
B25R	34.63	22.38	-40.91	46.64	299
B50R	45.15	55.92	-18.57	58.93	342
B75R	51.85	65.84	12.67	67.04	11



ZG920-7F, 9stufige Reihen für konstanten CIELAB Buntton 253/360 = 0.703 (links)

Seite 44/96

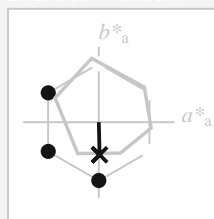
ZG920-7F, 16stufige Reihen für konstanten CIELAB Buntton 253/360 = 0.703 (rechts) c n*

BAM-Prüfvorlage ZG92; Farbmétrik-Systeme, Seite 44/96 Eingabe: $rgb / cmy0 set(rgb/cmyk)color$

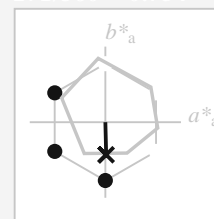
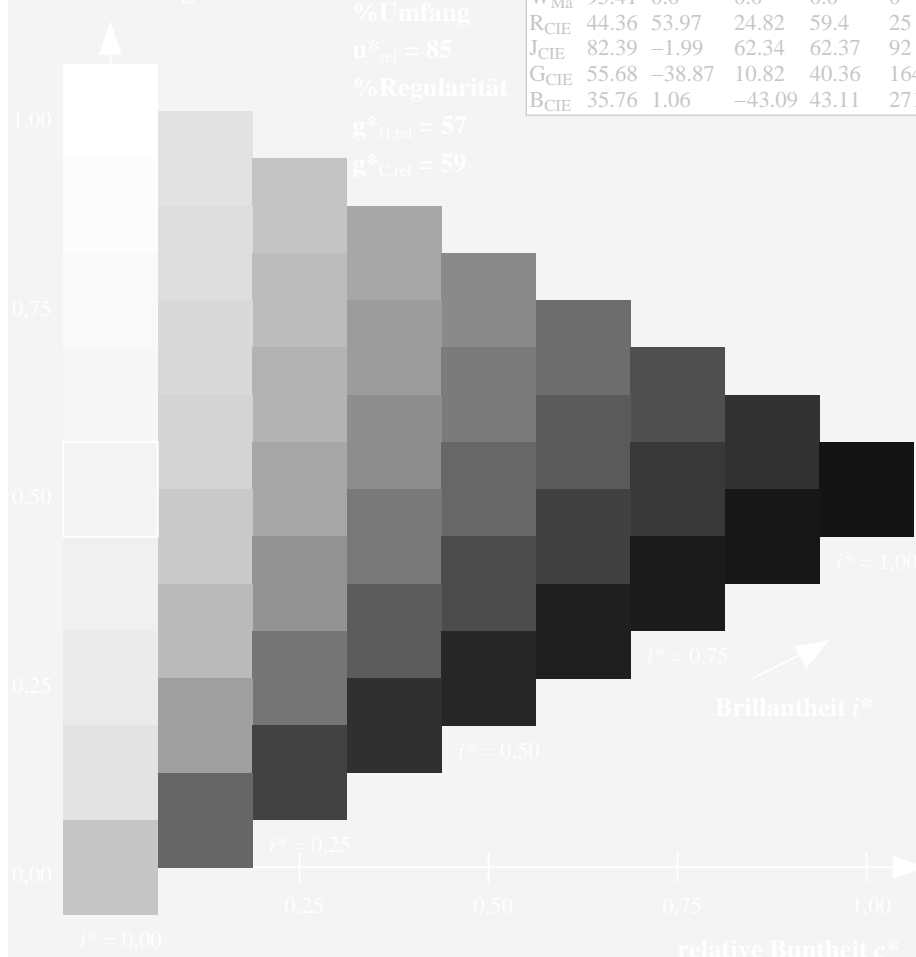
D65: 9 und 16stufige Farbreihen für 16 Elementar-Bunttöne Ausgabe: $\rightarrow LAB^* \rightarrow cmy5^* setcmykcolo$

Siehe ähnliche Dateien: <http://www.ps.bam.de/ZG92/>, www.ps.bam.de/ZG.HTM
Technische Information: <http://www.ps.bam.de> Version 2.1, io=1,1, CIELAB

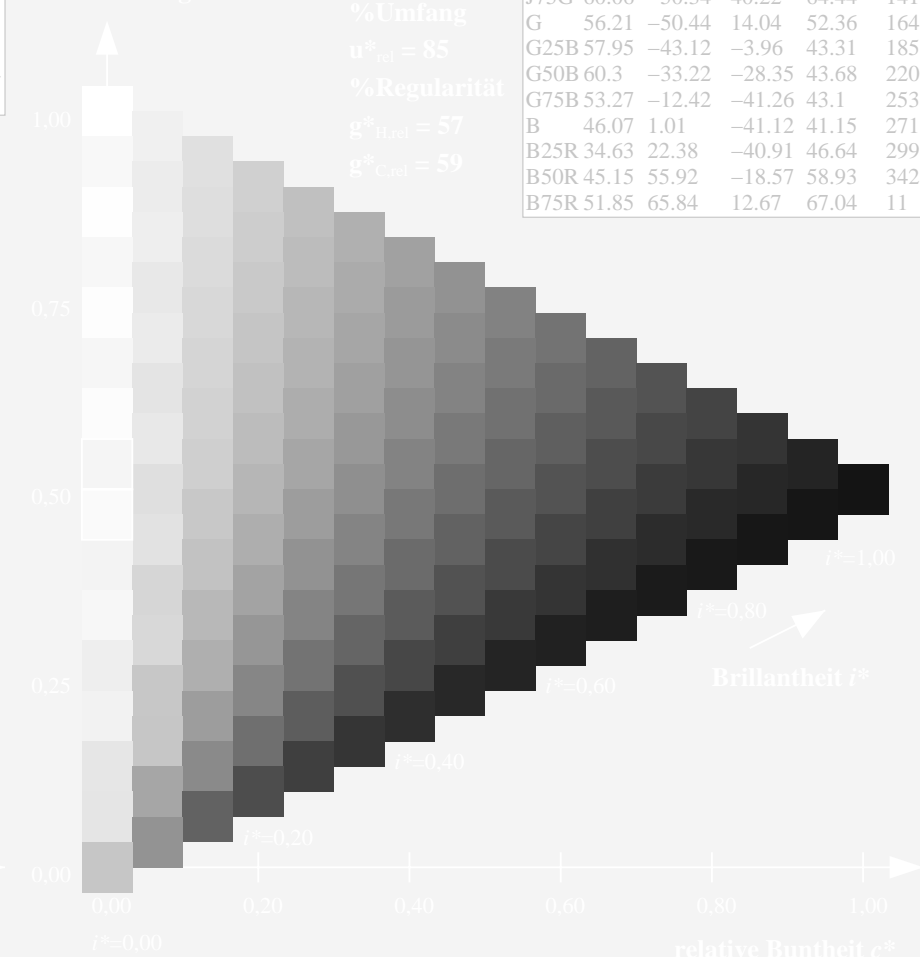
BAM-Registrierung: 20071001-ZG92/10/L92G00FP.PS.PDF BAM-Material: Code=rh4ta
Anwendung für Beurteilung und Messung von Drucker- oder Monitorsystemen



ORS18; adaptierte CIELAB-Daten					
	L^*_a	a^*_a	b^*_a	$C^*_{ab,a}$	$h^*_{ab,a}$
O _{Ma}	51.74	60.16	46.48	76.02	38
Y _{Ma}	90.77	-9.44	84.41	84.94	96
L _{Ma}	54.46	-57.8	32.16	66.15	151
C _{Ma}	61.56	-27.91	-41.41	49.95	236
V _{Ma}	31.3	28.61	-40.85	49.88	305
M _{Ma}	51.91	69.26	-7.69	69.68	354
N _{Ma}	24.2	0.0	0.0	0.0	0
W _{Ma}	95.41	0.0	0.0	0.0	0
R _{CIE}	44.36	53.97	24.82	59.4	25
J _{CIE}	82.39	-1.99	62.34	62.37	92
G _{CIE}	55.68	-38.87	10.82	40.36	164
B _{CIE}	35.76	1.06	-43.09	43.11	274



ORS18; adaptierte CIELAB-Daten					
	L^*_a	a^*_a	b^*_a	$C^*_{ab,a}$	$h^*_{ab,a}$
R	51.79	63.09	29.02	69.44	25
R25J	53.73	56.6	48.42	74.48	41
R50J	65.47	35.67	59.82	69.65	59
R75J	76.51	15.98	70.55	72.34	77
J	86.93	-2.58	80.67	80.71	92
J25G	84.92	-17.23	75.99	77.92	103
J50G	73.11	-32.96	59.0	67.58	119
J75G	60.06	-50.34	40.22	64.44	141
G	56.21	-50.44	14.04	52.36	164
G25B	57.95	-43.12	-3.96	43.31	185
G50B	60.3	-33.22	-28.35	43.68	220
G75B	53.27	-12.42	-41.26	43.1	253
B	46.07	1.01	-41.12	41.15	271
B25R	34.63	22.38	-40.91	46.64	299
B50R	45.15	55.92	-18.57	58.93	342
B75R	51.85	65.84	12.67	67.04	411



Seite 45/96

Eingabe: Farbmétrisches Offset-Reflektiv-System ORS18

für Buntton $h^* = lab^*h = 299/360 = 0.83$

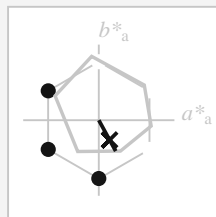
lab^*tch und lab^*nch

D65: Buntton B25R

LCH*Ma: 35 47 299

olv*Ma: 0.0 0.11 1.0

Dreiecks-Helligkeit t^*



%Umfang

$u^*_{rel} = 85$

%Regularität

$g^*_{H,rel} = 57$

$g^*_{C,rel} = 59$

ORS18; adaptierte CIELAB-Daten

	$L^*=L^*_a$	a^*_a	b^*_a	$C^*_{ab,a}$	$h^*_{ab,a}$
O _{Ma}	51.74	60.16	46.48	76.02	38
Y _{Ma}	90.77	-9.44	84.41	84.94	96
L _{Ma}	54.46	-57.8	32.16	66.15	151
C _{Ma}	61.56	-27.91	-41.41	49.95	236
V _{Ma}	31.3	28.61	-40.85	49.88	305
M _{Ma}	51.91	69.26	-7.69	69.68	354
N _{Ma}	24.2	0.0	0.0	0.0	0
W _{Ma}	95.41	0.0	0.0	0.0	0
R _{CIE}	44.36	53.97	24.82	59.4	25
J _{CIE}	82.39	-1.99	62.34	62.37	92
G _{CIE}	55.68	-38.87	10.82	40.36	164
B _{CIE}	35.76	1.06	-43.09	43.11	271

Ausgabe: Farbmétrisches Offset-Reflektiv-System ORS18

für Buntton $h^* = lab^*h = 299/360 = 0.83$

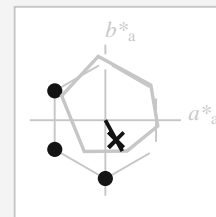
lab^*tch und lab^*nch

D65: Buntton B25R

LCH*Ma: 35 47 299

olv*Ma: 0.0 0.11 1.0

Dreiecks-Helligkeit t^*



%Umfang

$u^*_{rel} = 85$

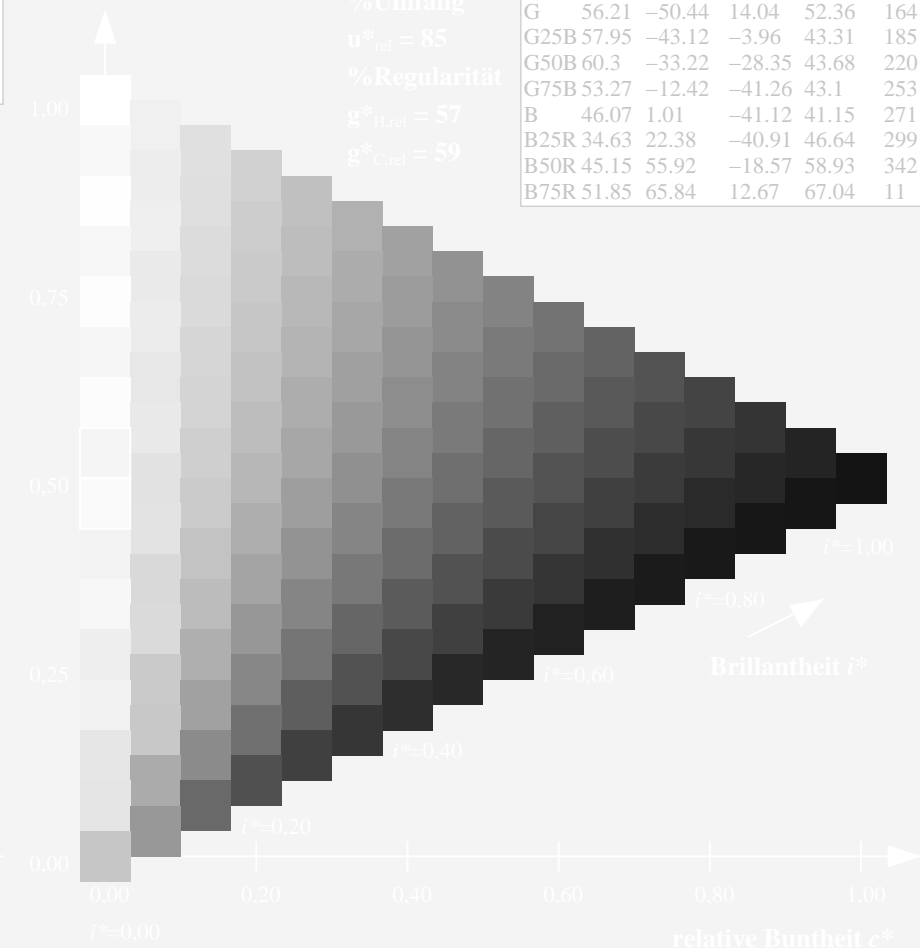
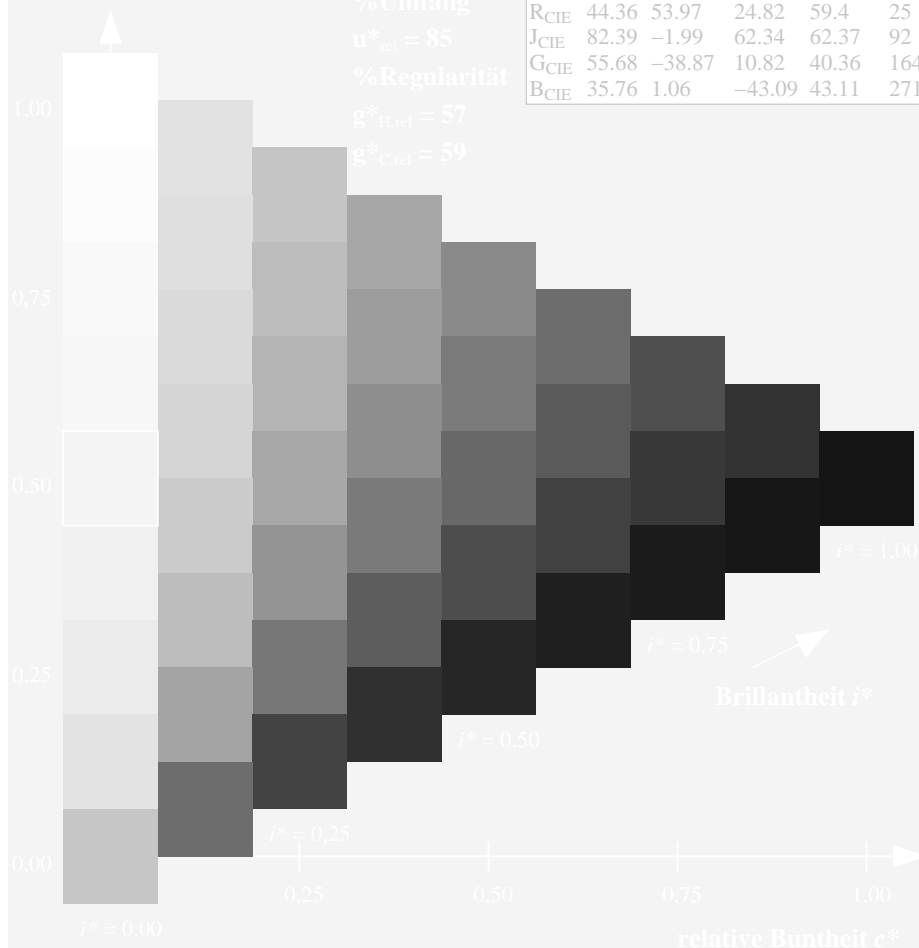
%Regularität

$g^*_{H,rel} = 57$

$g^*_{C,rel} = 59$

ORS18; adaptierte CIELAB-Daten

	$L^*=L^*_a$	a^*_a	b^*_a	$C^*_{ab,a}$	$h^*_{ab,a}$
R	51.79	63.09	29.02	69.44	25
R25J	53.73	56.6	48.42	74.48	41
R50J	65.47	35.67	59.82	69.65	59
R75J	76.51	15.98	70.55	72.34	77
J	86.93	-2.58	80.67	80.71	92
J25G	84.92	-17.23	75.99	77.92	103
J50G	73.11	-32.96	59.0	67.58	119
J75G	60.06	-50.34	40.22	64.44	141
G	56.21	-50.44	14.04	52.36	164
G25B	57.95	-43.12	-3.96	43.31	185
G50B	60.3	-33.22	-28.35	43.68	220
G75B	53.27	-12.42	-41.26	43.1	253
B	46.07	1.01	-41.12	41.15	271
B25R	34.63	22.38	-40.91	46.64	299
B50R	45.15	55.92	-18.57	58.93	342
B75R	51.85	65.84	12.67	67.04	11



ZG920-7F, 9stufige Reihen für konstanten CIELAB Bunnton 299/360 = 0.83 (links)

Seite 46/96

ZG920-7F, 16stufige Reihen für konstanten CIELAB Bunnton 299/360 = 0.83 (rechts)

c n*

BAM-Prüfvorlage ZG92; Farbmétrik-Systeme, Seite 46/96 Eingabe: $rgb / cmy0 set(rgb/cmyk)color$

D65: 9 und 16stufige Farbreihen für 16 Elementar-Bunttöne Ausgabe: $\rightarrow LAB^* \rightarrow cmy5^* setcmykcolo$

Eingabe: Farbmétrisches Offset-Reflektiv-System ORS18

für Buntton $h^* = lab^*h = 342/360 = 0,949$

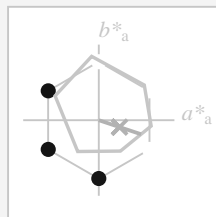
lab^*tch und lab^*nch

D65: Buntton B50R

LCH*Ma: 45 59 342

olv*Ma: 0.67 0.0 1.0

Dreiecks-Helligkeit t^*



%Umfang

$u^*_{rel} = 85$

%Regularität

$g^*_{H,rel} = 57$

$g^*_{C,rel} = 59$

ORS18; adaptierte CIELAB-Daten

	$L^*=L^*_a$	a^*_a	b^*_a	$C^*_{ab,a}$	$h^*_{ab,a}$
O _{Ma}	51.74	60.16	46.48	76.02	38
Y _{Ma}	90.77	-9.44	84.41	84.94	96
L _{Ma}	54.46	-57.8	32.16	66.15	151
C _{Ma}	61.56	-27.91	-41.41	49.95	236
V _{Ma}	31.3	28.61	-40.85	49.88	305
M _{Ma}	51.91	69.26	-7.69	69.68	354
N _{Ma}	24.2	0.0	0.0	0.0	0
W _{Ma}	95.41	0.0	0.0	0.0	0
R _{CIE}	44.36	53.97	24.82	59.4	25
J _{CIE}	82.39	-1.99	62.34	62.37	92
G _{CIE}	55.68	-38.87	10.82	40.36	164
B _{CIE}	35.76	1.06	-43.09	43.11	271

Ausgabe: Farbmétrisches Offset-Reflektiv-System ORS18

für Buntton $h^* = lab^*h = 342/360 = 0,949$

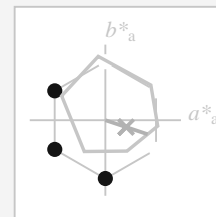
lab^*tch und lab^*nch

D65: Buntton B50R

LCH*Ma: 45 59 342

olv*Ma: 0.67 0.0 1.0

Dreiecks-Helligkeit t^*



%Umfang

$u^*_{rel} = 85$

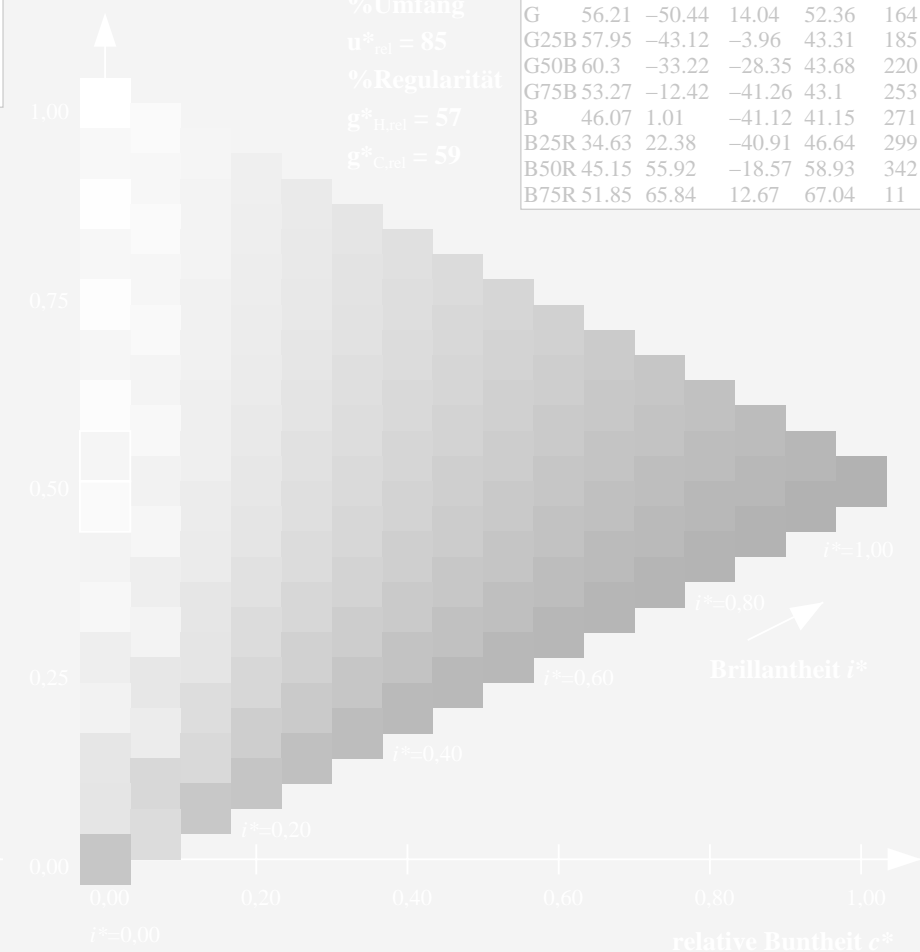
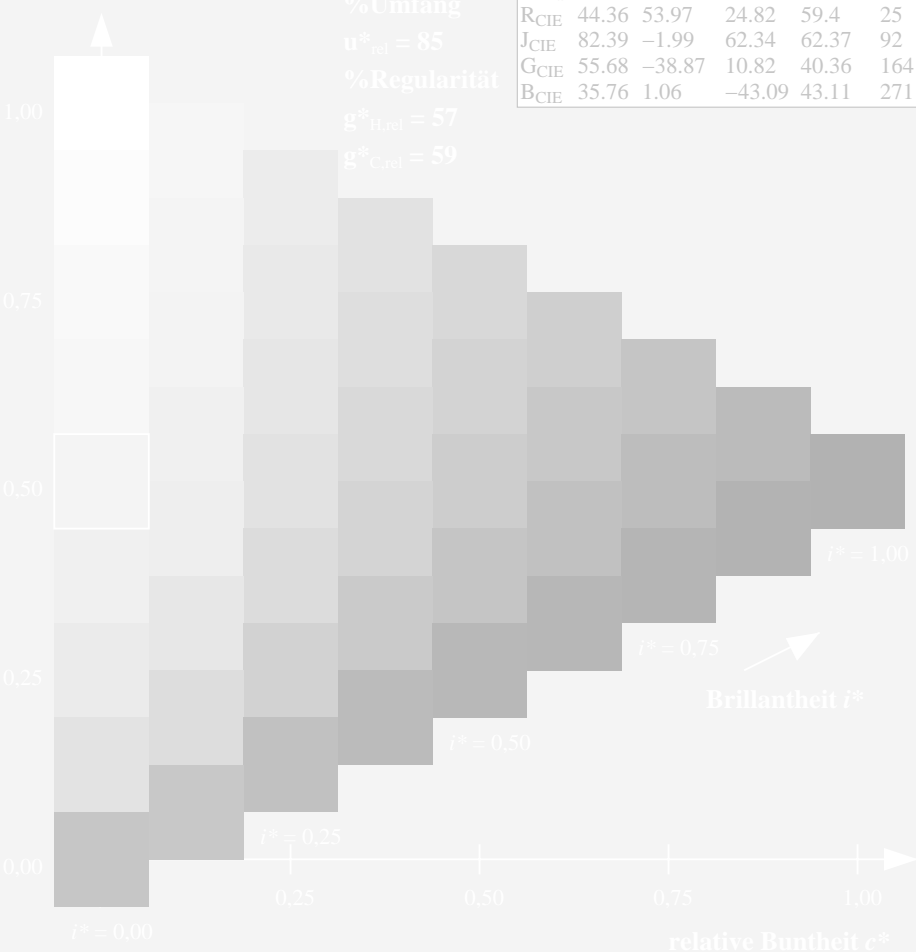
%Regularität

$g^*_{H,rel} = 57$

$g^*_{C,rel} = 59$

ORS18; adaptierte CIELAB-Daten

	$L^*=L^*_a$	a^*_a	b^*_a	$C^*_{ab,a}$	$h^*_{ab,a}$
R	51.79	63.09	29.02	69.44	25
R25J	53.73	56.6	48.42	74.48	41
R50J	65.47	35.67	59.82	69.65	59
R75J	76.51	15.98	70.55	72.34	77
J	86.93	-2.58	80.67	80.71	92
J25G	84.92	-17.23	75.99	77.92	103
J50G	73.11	-32.96	59.0	67.58	119
J75G	60.06	-50.34	40.22	64.44	141
G	56.21	-50.44	14.04	52.36	164
G25B	57.95	-43.12	-3.96	43.31	185
G50B	60.3	-33.22	-28.35	43.68	220
G75B	53.27	-12.42	-41.26	43.1	253
B	46.07	1.01	-41.12	41.15	271
B25R	34.63	22.38	-40.91	46.64	299
B50R	45.15	55.92	-18.57	58.93	342
B75R	51.85	65.84	12.67	67.04	11



ZG920-7F, 9stufige Reihen für konstanten CIELAB Buntton 342/360 = 0.949 (links)

Seite 47/96

ZG920-7F, 16stufige Reihen für konstanten CIELAB Buntton 342/360 = 0.949 (rechts) c n*

BAM-Prüfvorlage ZG92; Farbmétrik-Systeme, Seite 47/96 Eingabe: $rgb / cmy0 set(rgb/cmyk)color$

D65: 9 und 16stufige Farbreihen für 16 Elementar-Bunttöne Ausgabe: $\rightarrow LAB^* \rightarrow cmy5^* setcmykcolo$

Eingabe: Farbmétrisches Offset-Reflektiv-System ORS18

für Buntton $h^* = lab^*h = 11/360 = 0.03$

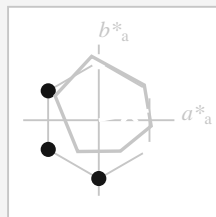
lab^*tch und lab^*nch

D65: Buntton B75R

LCH*Ma: 52 67 11

olv*Ma: 1.0 0.0 0.62

Dreiecks-Helligkeit t^*



%Umfang

$u^*_{rel} = 85$

%Regularität

$g^*_{H,rel} = 57$

$g^*_{C,rel} = 59$

ORS18; adaptierte CIELAB-Daten

	$L^*=L^*_a$	a^*_a	b^*_a	$C^*_{ab,a}$	$h^*_{ab,a}$
O _{Ma}	51.74	60.16	46.48	76.02	38
Y _{Ma}	90.77	-9.44	84.41	84.94	96
L _{Ma}	54.46	-57.8	32.16	66.15	151
C _{Ma}	61.56	-27.91	-41.41	49.95	236
V _{Ma}	31.3	28.61	-40.85	49.88	305
M _{Ma}	51.91	69.26	-7.69	69.68	354
N _{Ma}	24.2	0.0	0.0	0.0	0
W _{Ma}	95.41	0.0	0.0	0.0	0
R _{CIE}	44.36	53.97	24.82	59.4	25
J _{CIE}	82.39	-1.99	62.34	62.37	92
G _{CIE}	55.68	-38.87	10.82	40.36	164
B _{CIE}	35.76	1.06	-43.09	43.11	271

Ausgabe: Farbmétrisches Offset-Reflektiv-System ORS18

für Buntton $h^* = lab^*h = 11/360 = 0.03$

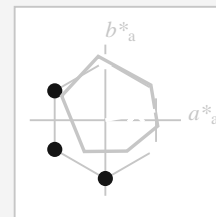
lab^*tch und lab^*nch

D65: Buntton B75R

LCH*Ma: 52 67 11

olv*Ma: 1.0 0.0 0.62

Dreiecks-Helligkeit t^*



%Umfang

$u^*_{rel} = 85$

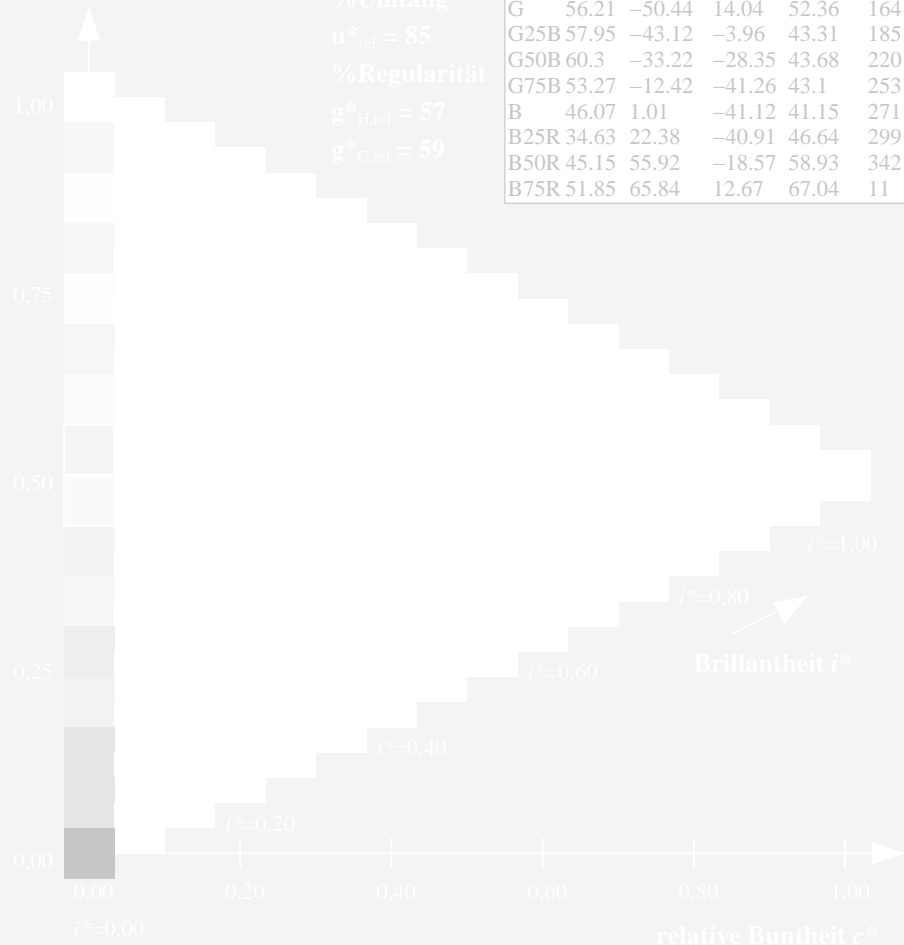
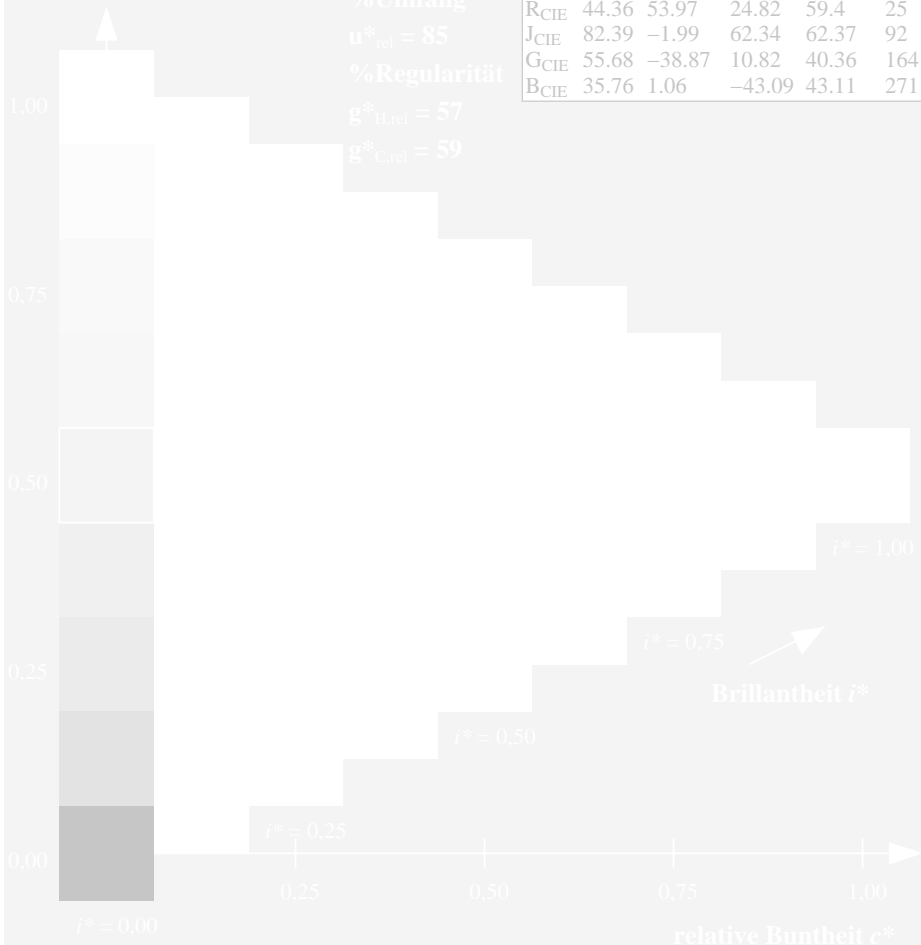
%Regularität

$g^*_{H,rel} = 57$

$g^*_{C,rel} = 59$

ORS18; adaptierte CIELAB-Daten

	$L^*=L^*_a$	a^*_a	b^*_a	$C^*_{ab,a}$	$h^*_{ab,a}$
R	51.79	63.09	29.02	69.44	25
R25J	53.73	56.6	48.42	74.48	41
R50J	65.47	35.67	59.82	69.65	59
R75J	76.51	15.98	70.55	72.34	77
J	86.93	-2.58	80.67	80.71	92
J25G	84.92	-17.23	75.99	77.92	103
J50G	73.11	-32.96	59.0	67.58	119
J75G	60.06	-50.34	40.22	64.44	141
G	56.21	-50.44	14.04	52.36	164
G25B	57.95	-43.12	-3.96	43.31	185
G50B	60.3	-33.22	-28.35	43.68	220
G75B	53.27	-12.42	-41.26	43.1	253
B	46.07	1.01	-41.12	41.15	271
B25R	34.63	22.38	-40.91	46.64	299
B50R	45.15	55.92	-18.57	58.93	342
B75R	51.85	65.84	12.67	67.04	11



ZG920-7F, 9stufige Reihen für konstanten CIELAB Buntton 11/360 = 0.03 (links)

Seite 48/96

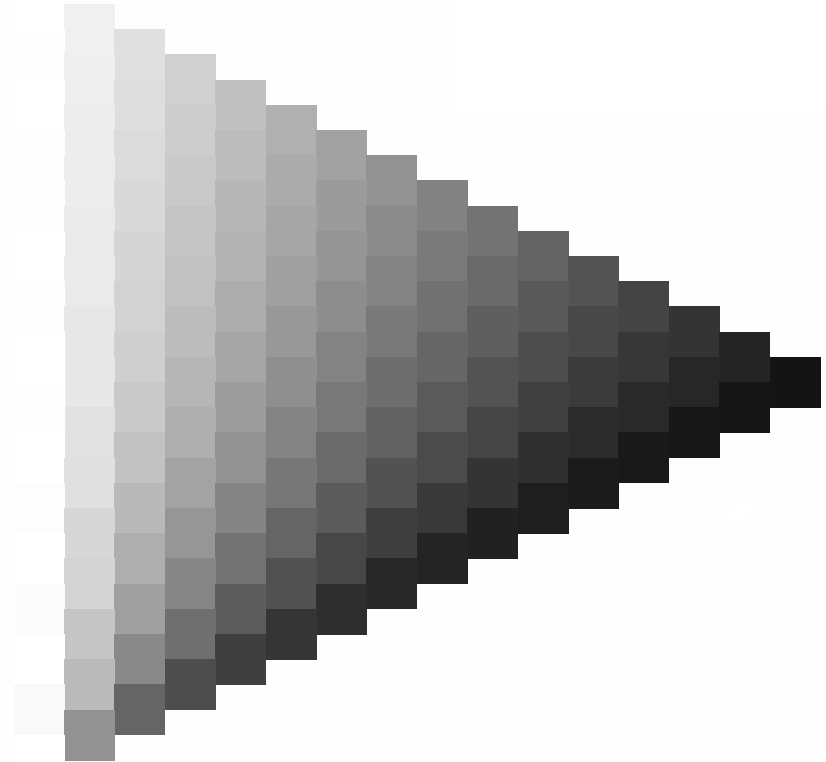
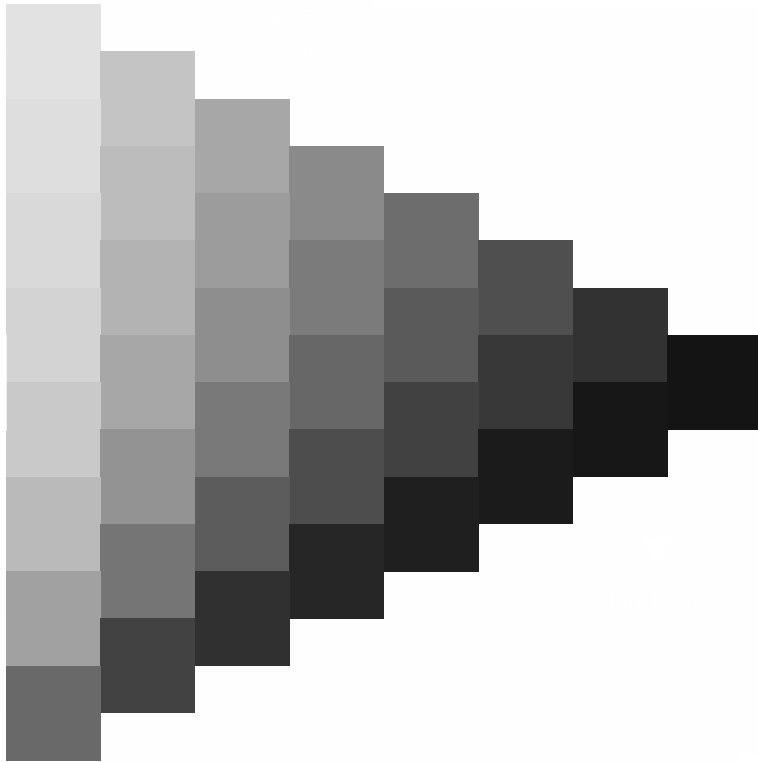
ZG920-7F, 16stufige Reihen für konstanten CIELAB Buntton 11/360 = 0.03 (rechts)

c n*

BAM-Prüfvorlage ZG92; Farbmétrik-Systeme, Seite 48/96 Eingabe: $rgb / cmy0 set(rgb/cmyk)color$

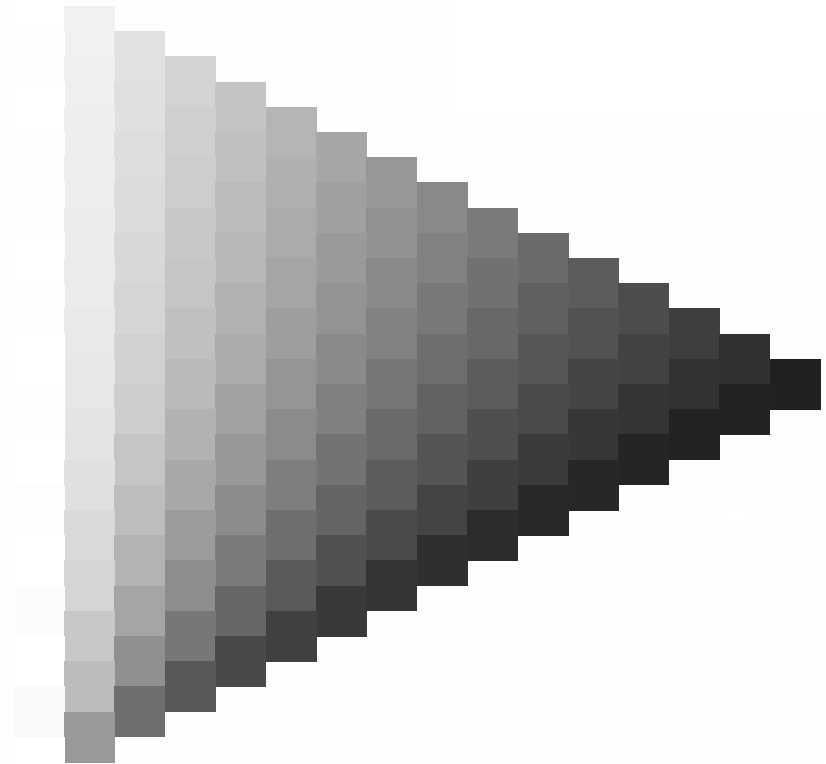
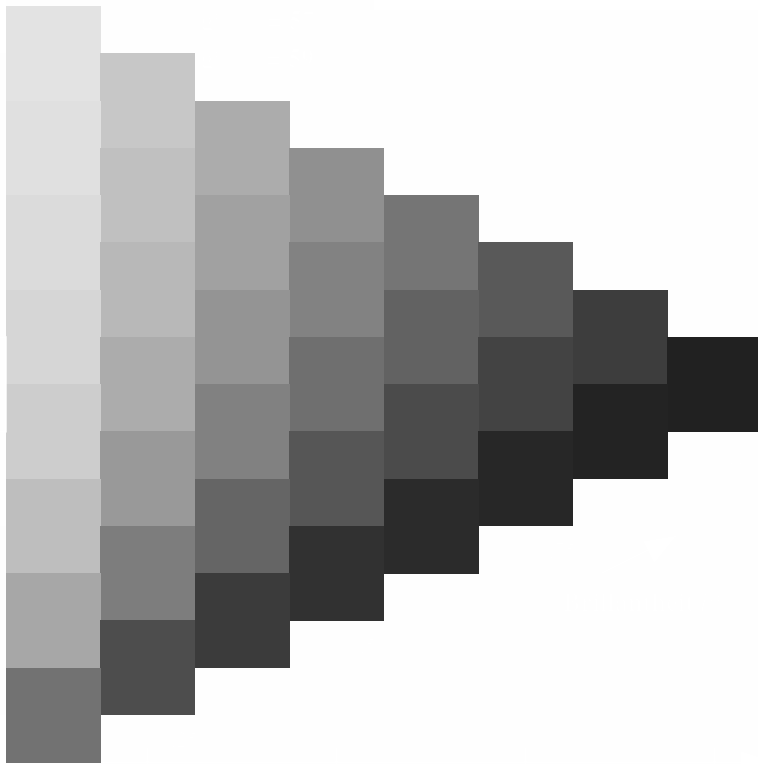
D65: 9 und 16stufige Farbreihen für 16 Elementar-Bunttöne Ausgabe: $\rightarrow LAB^* \rightarrow cmy5^* setcmykcolo$

m



m

m



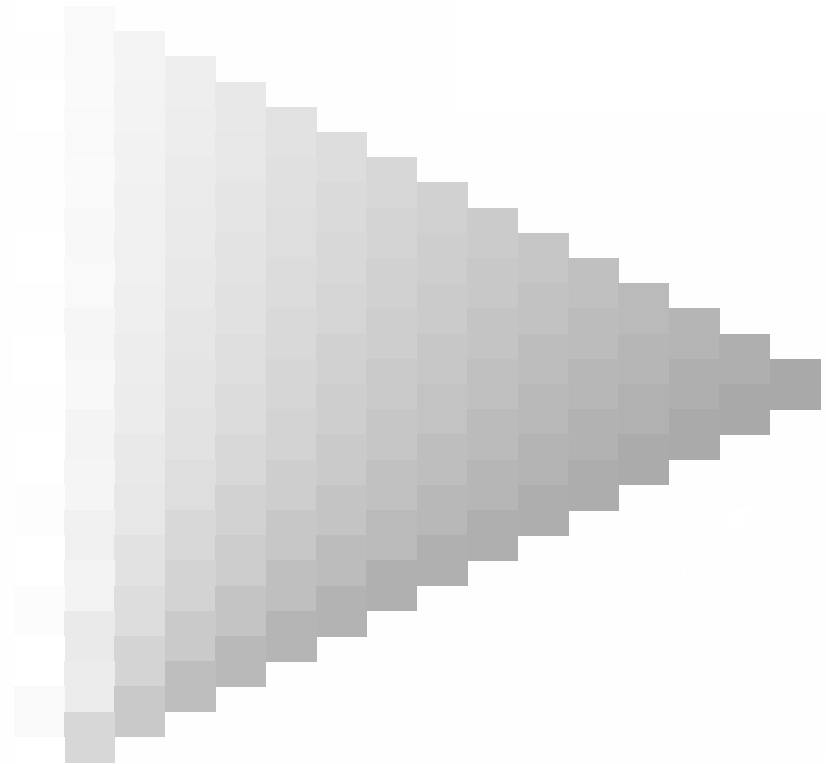
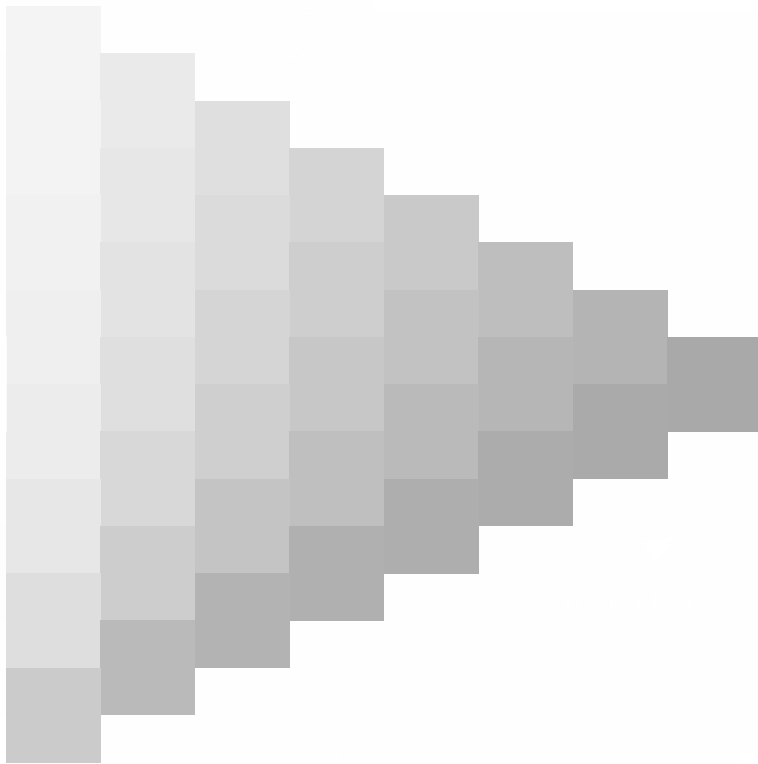
m

m

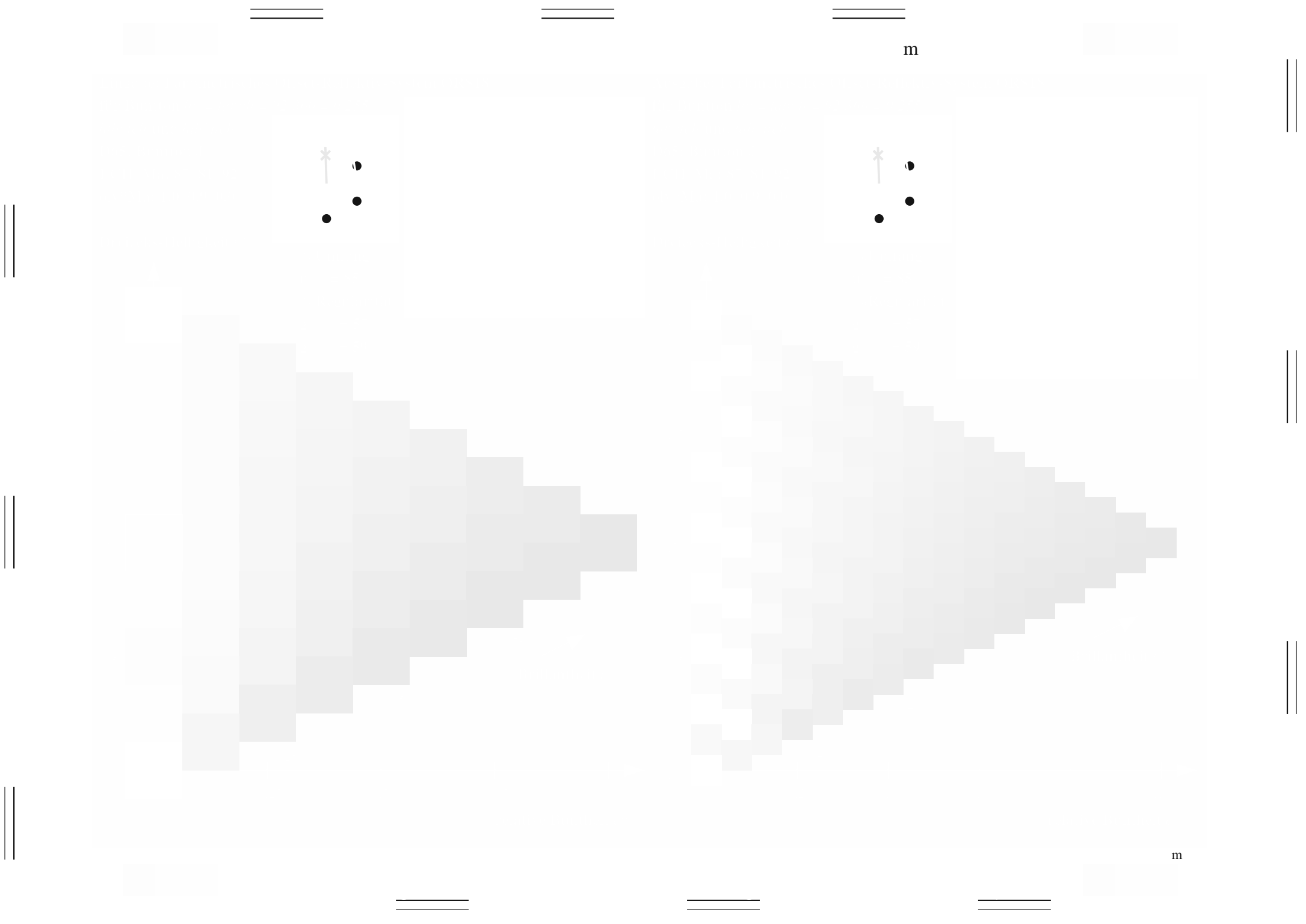


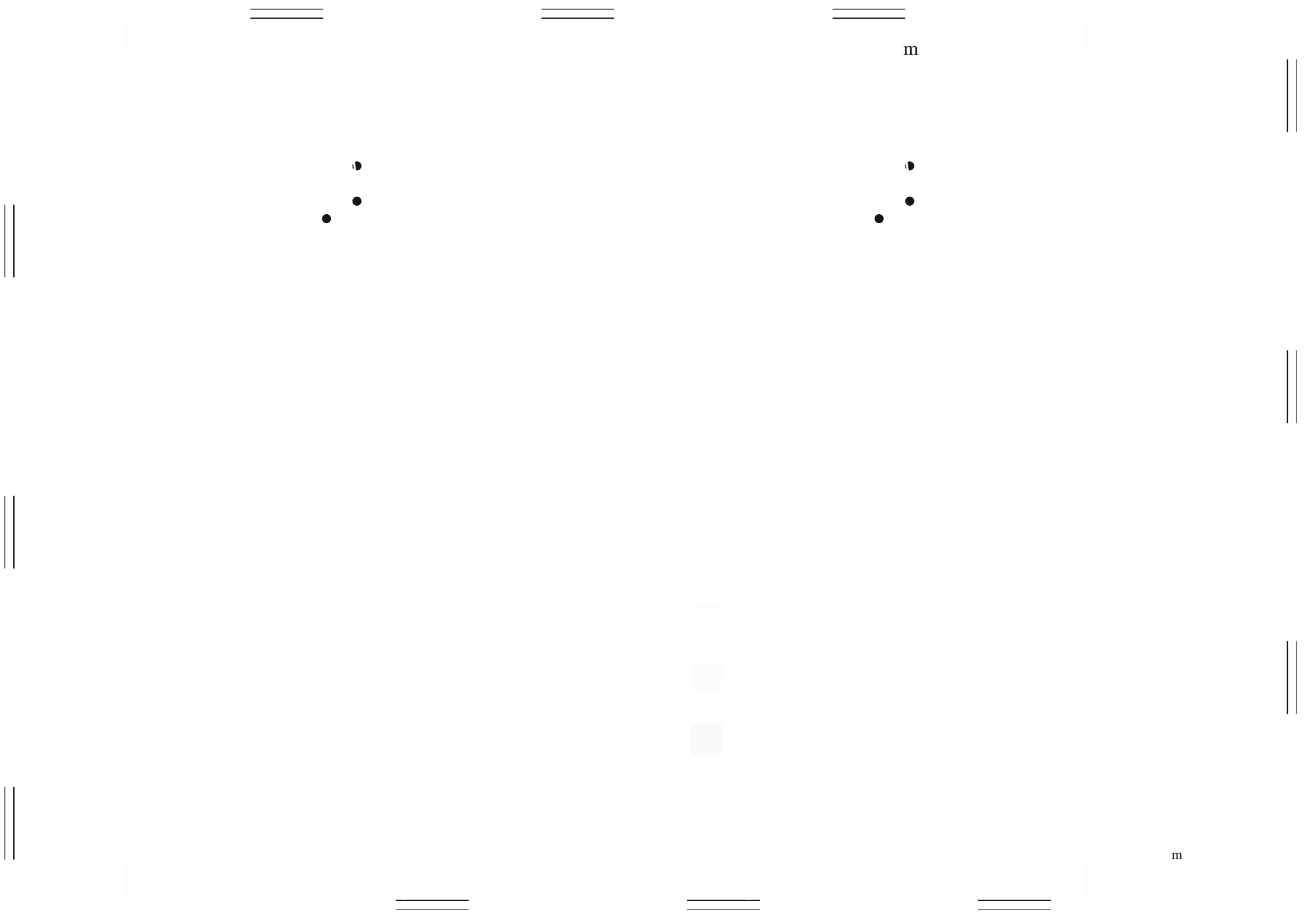
m

m



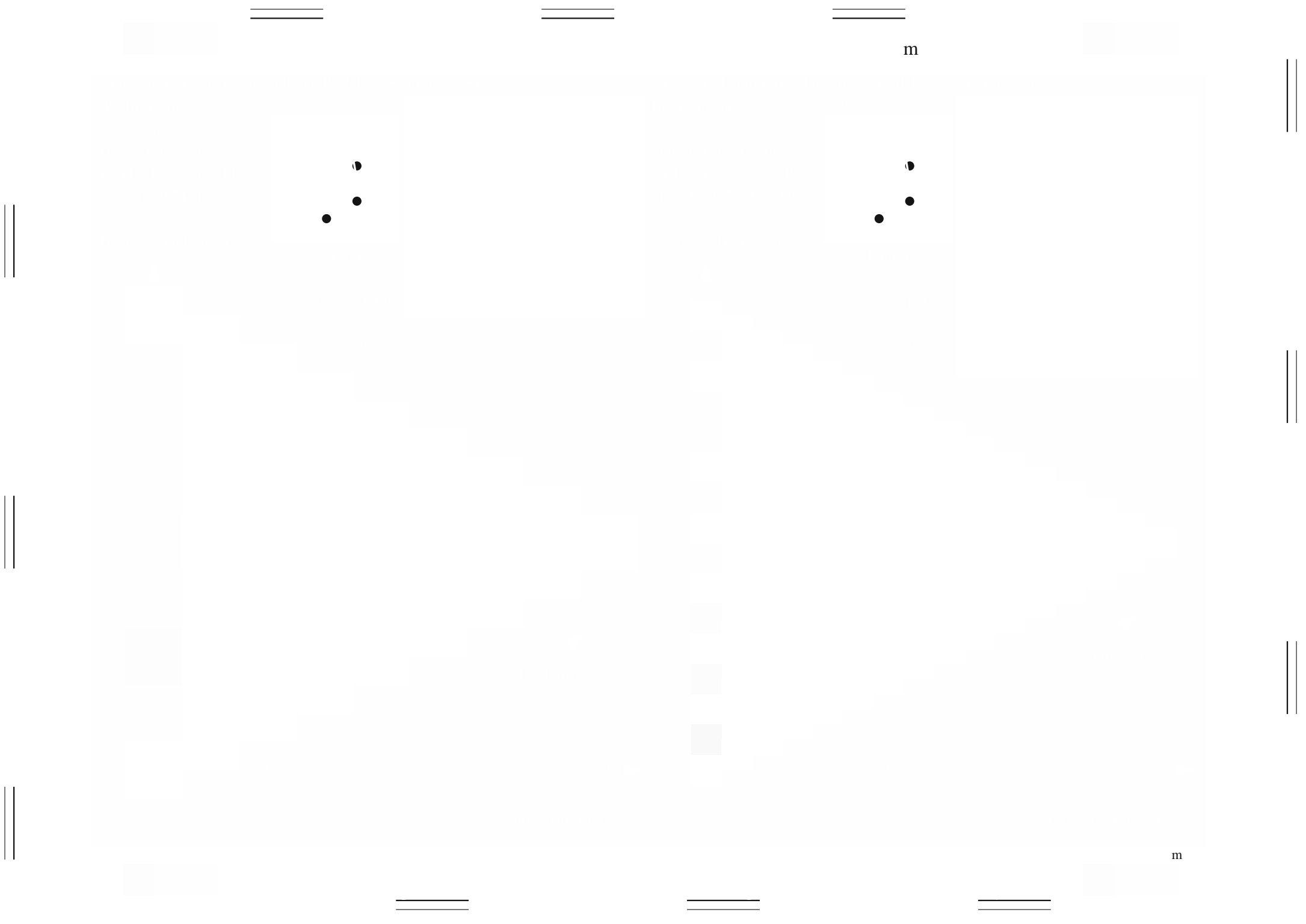
m





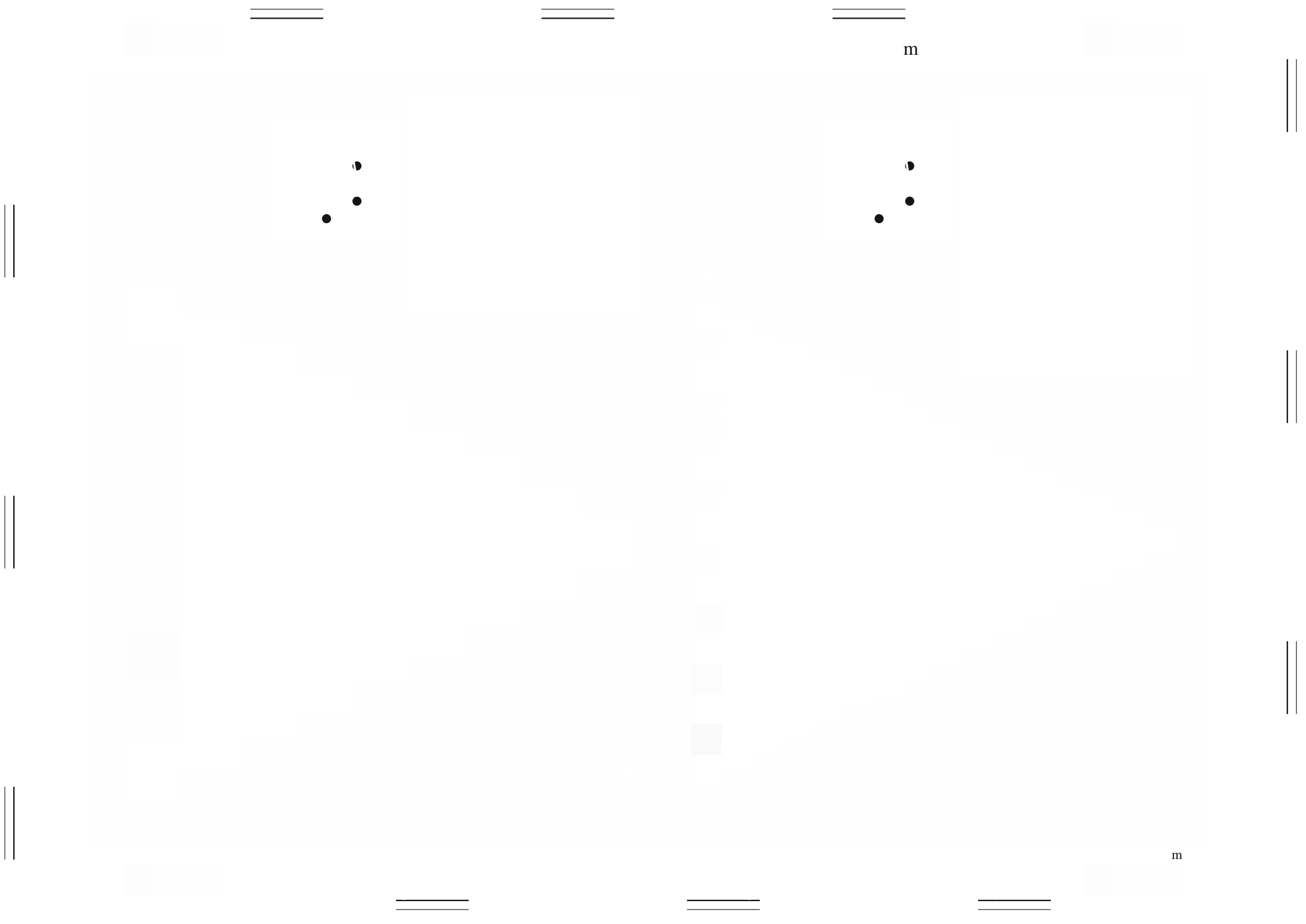
m

m



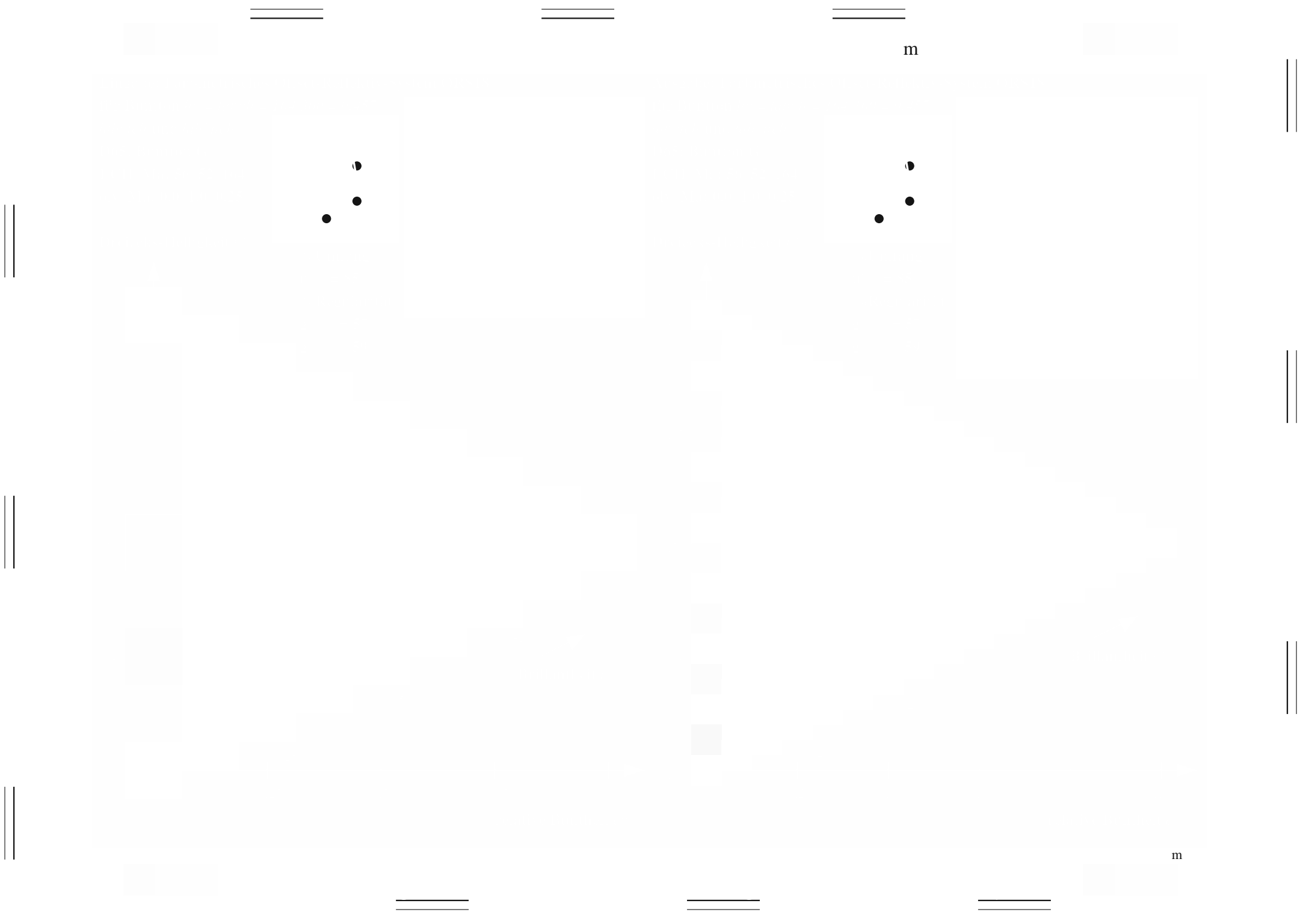
m

m



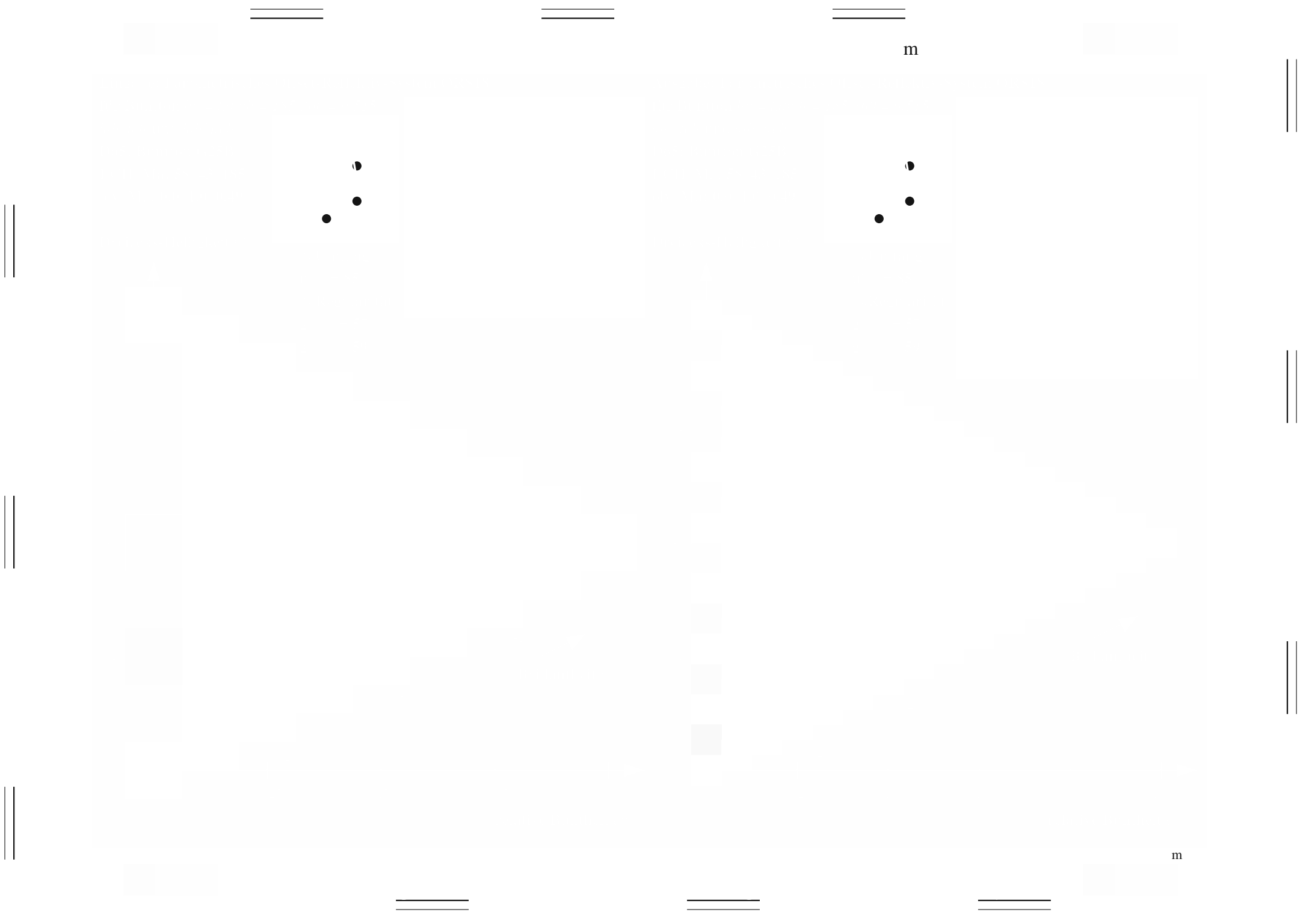
m

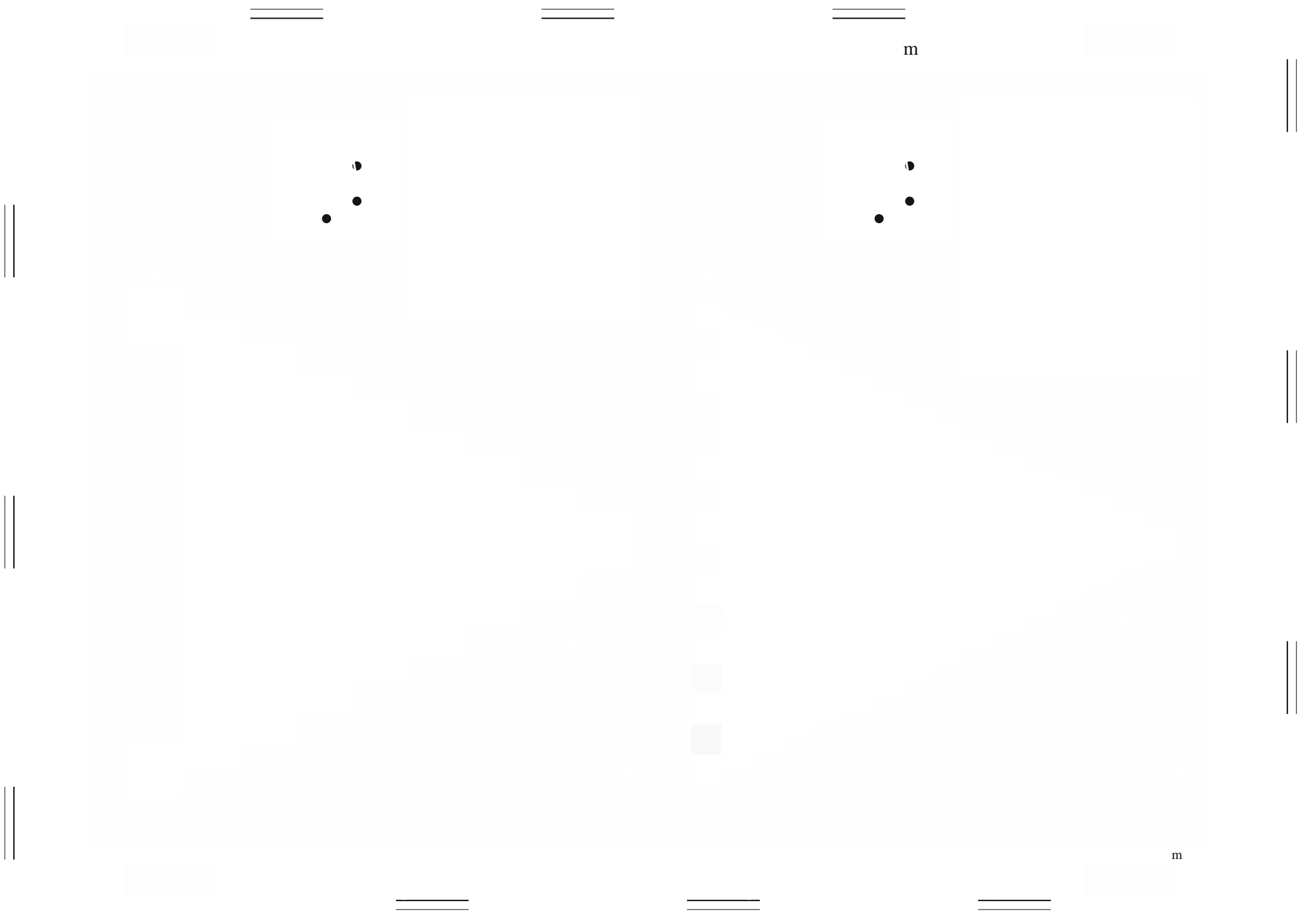
m

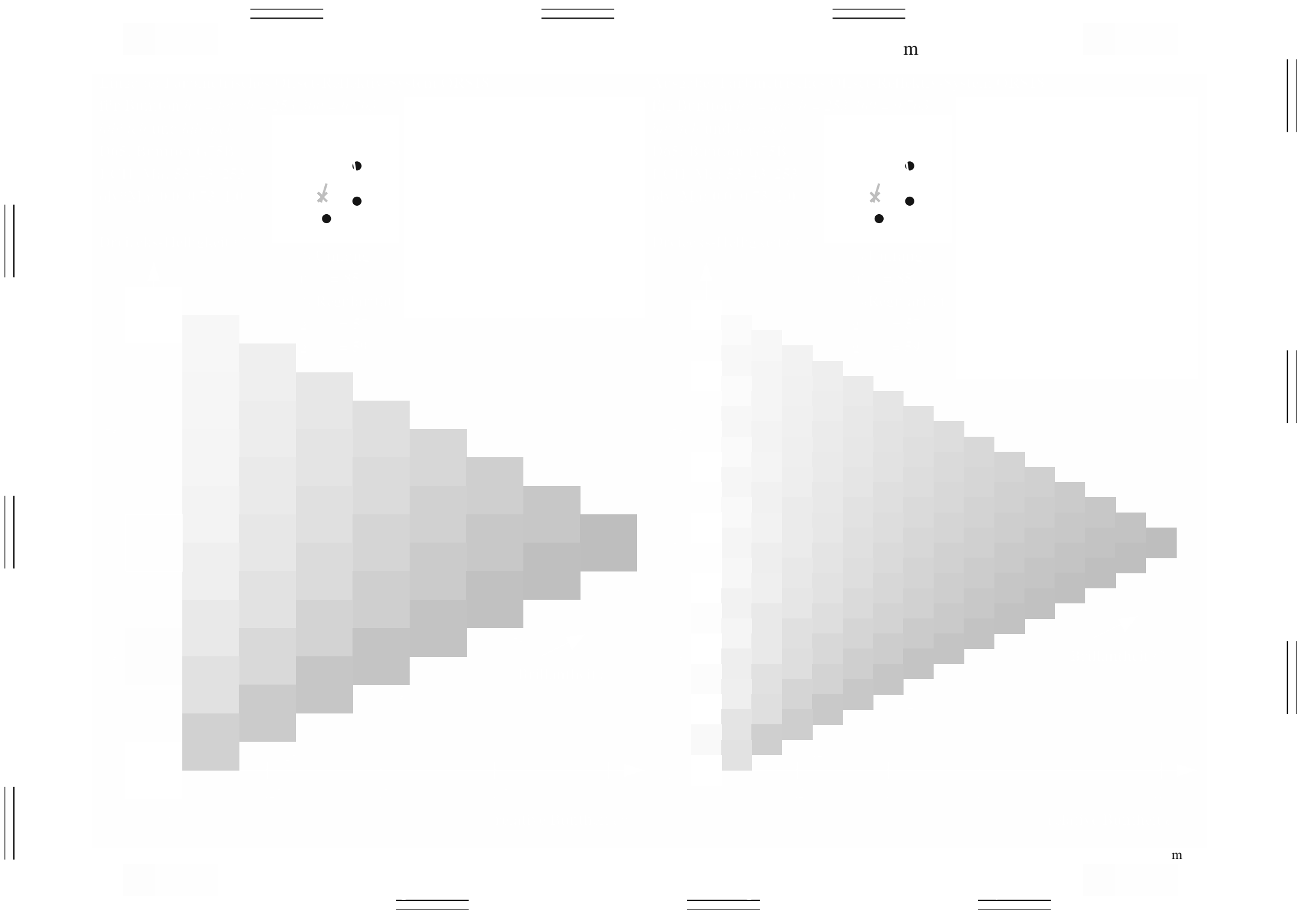


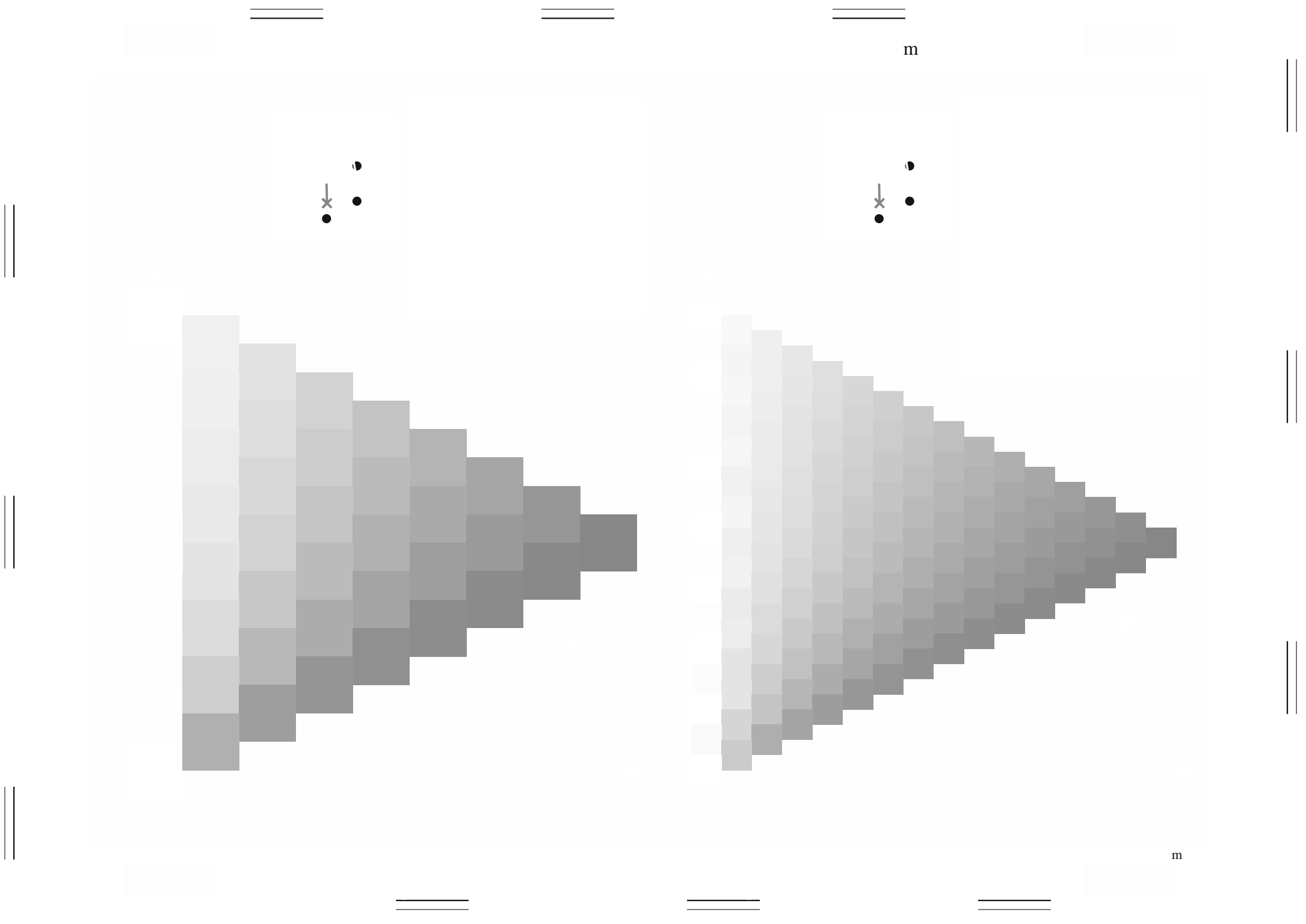
m

m

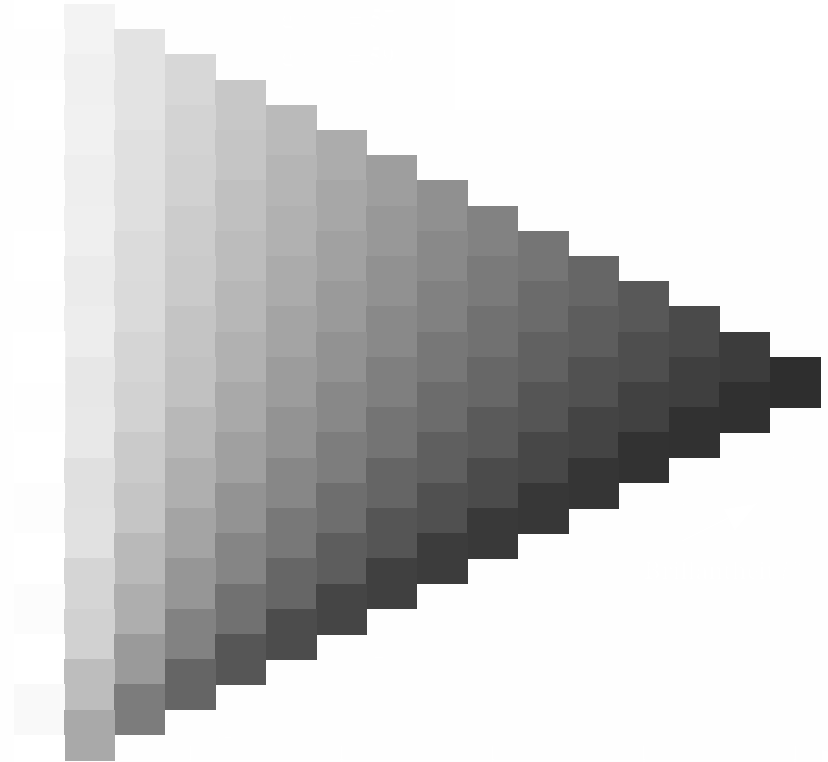
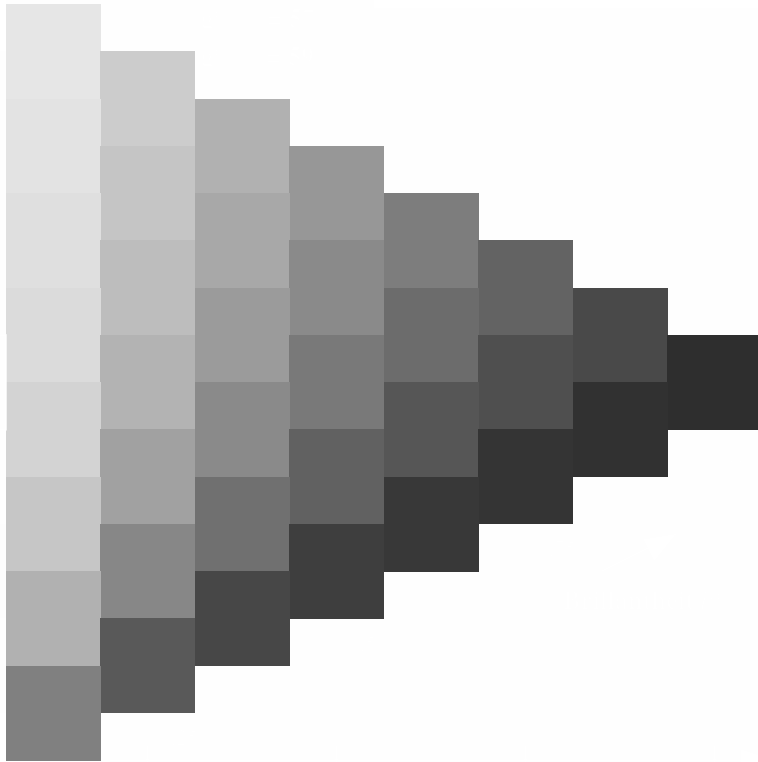






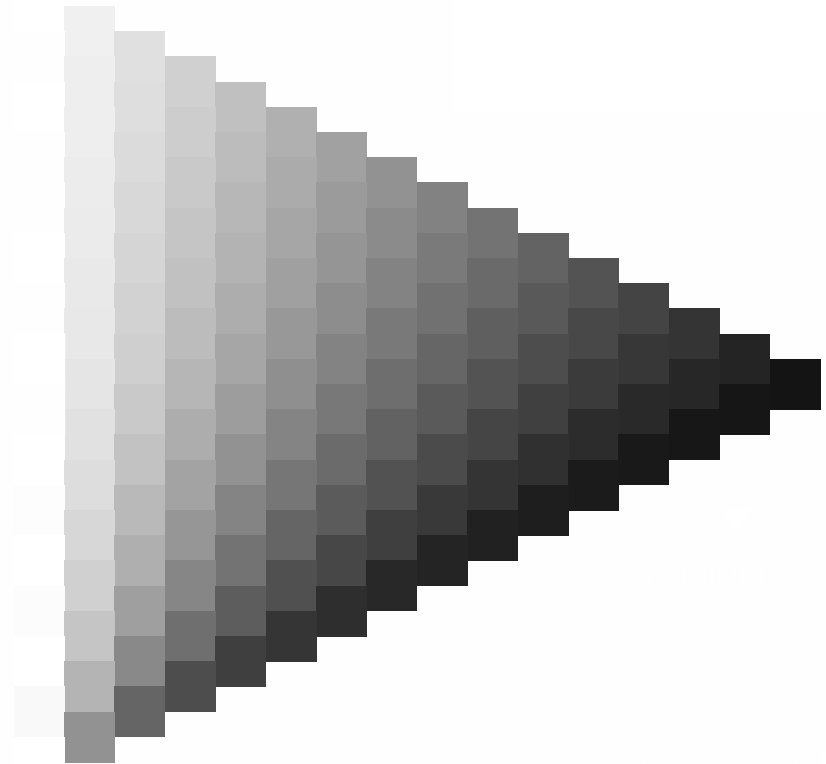
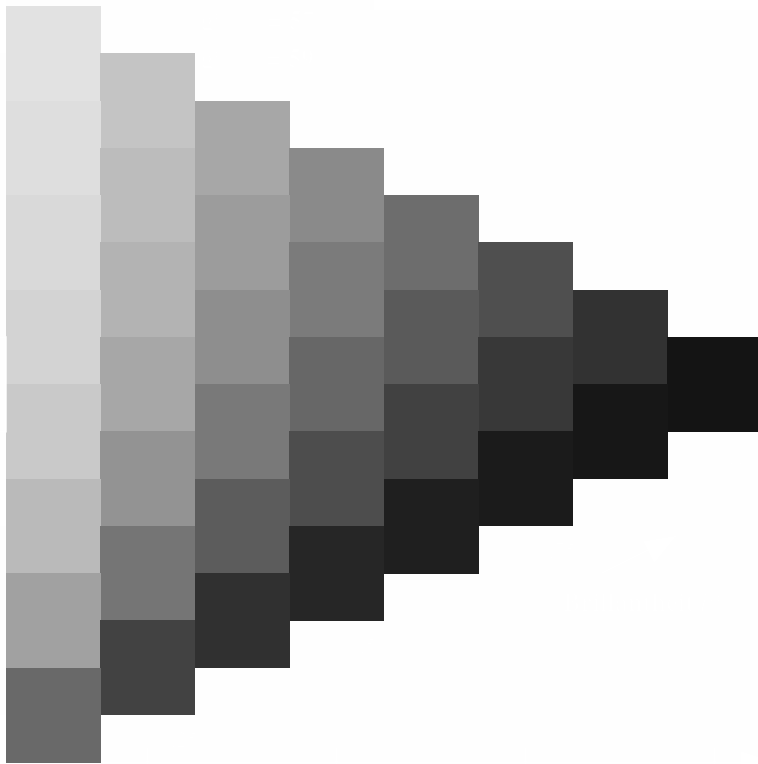


m



m

m

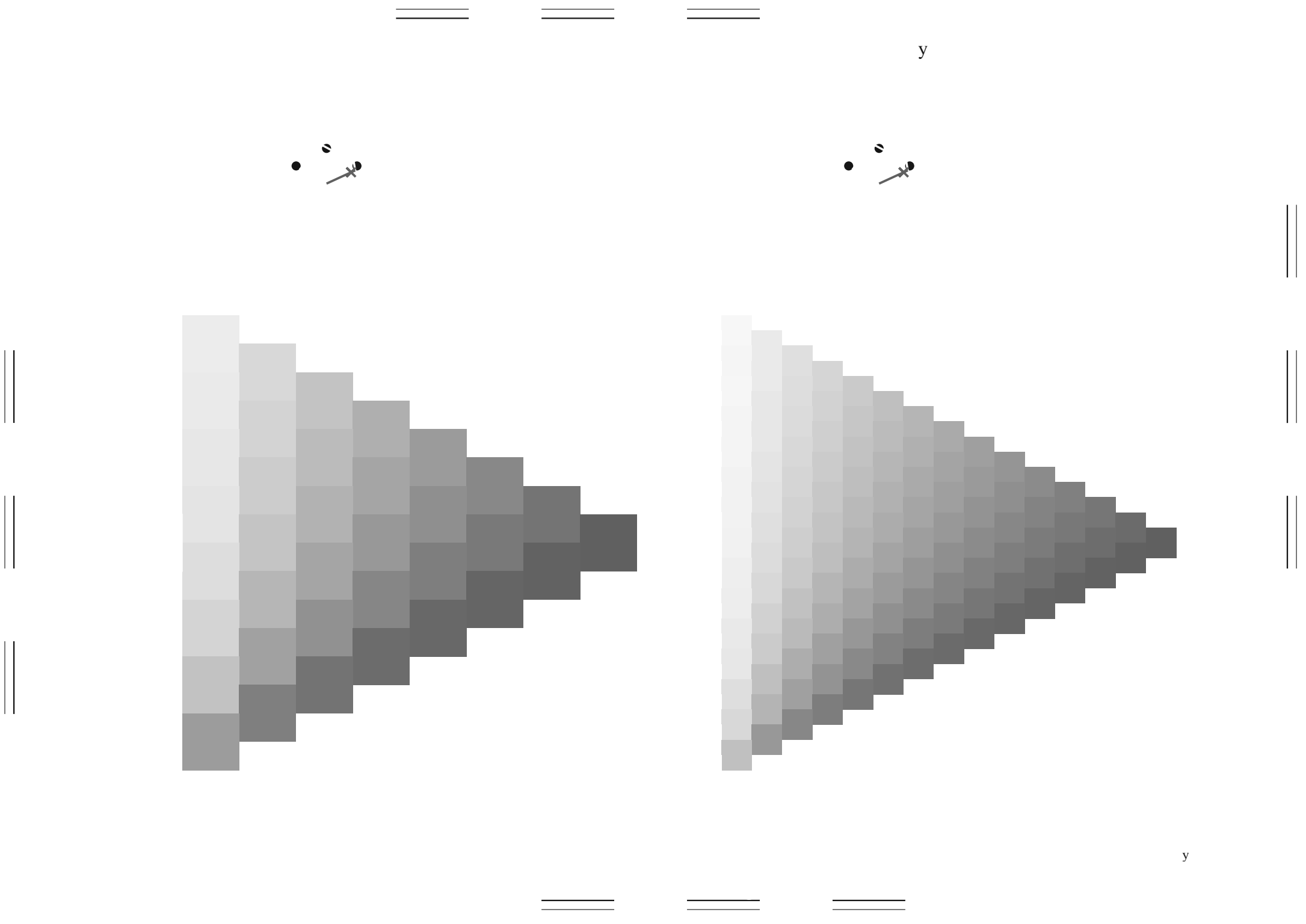


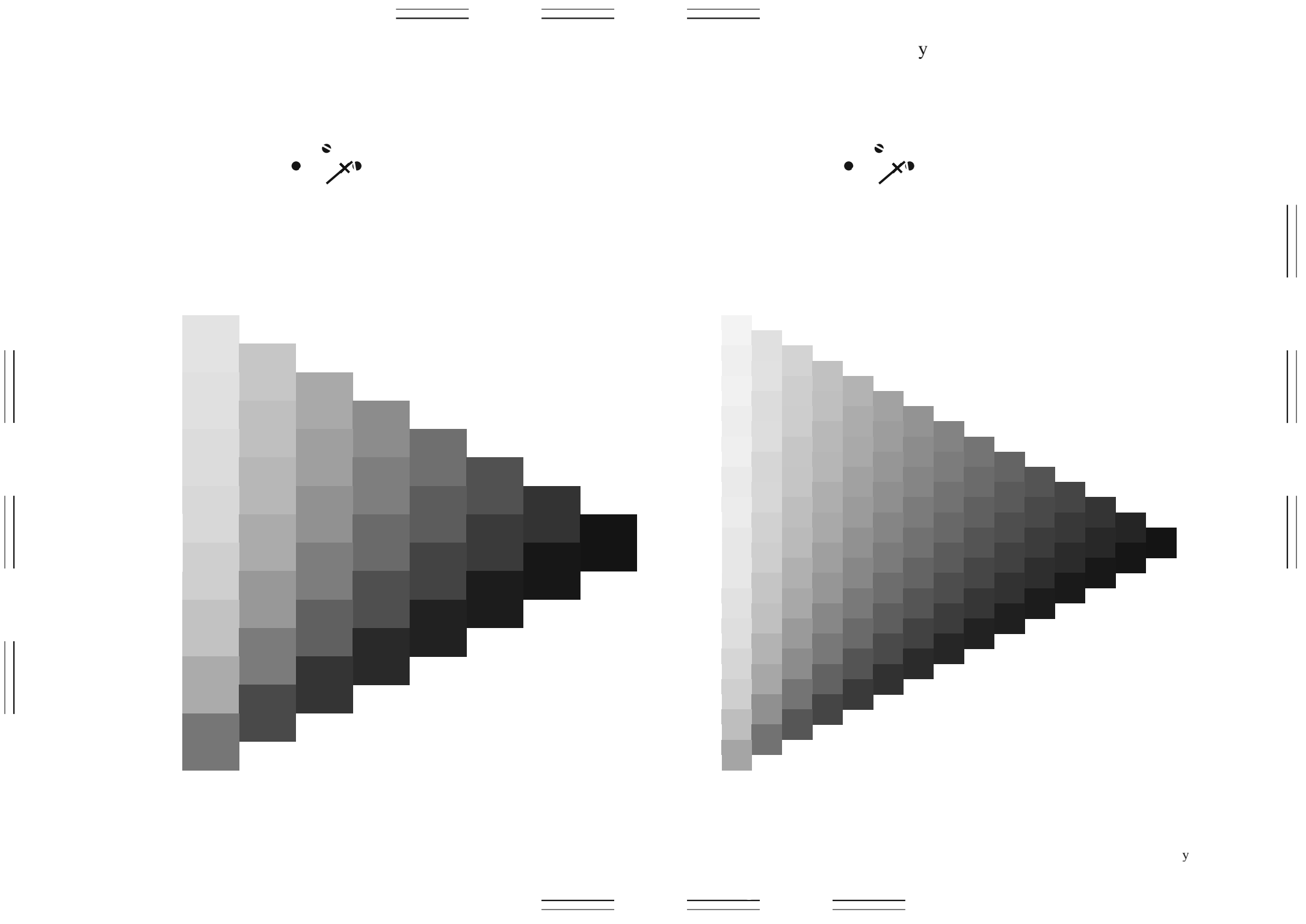
m

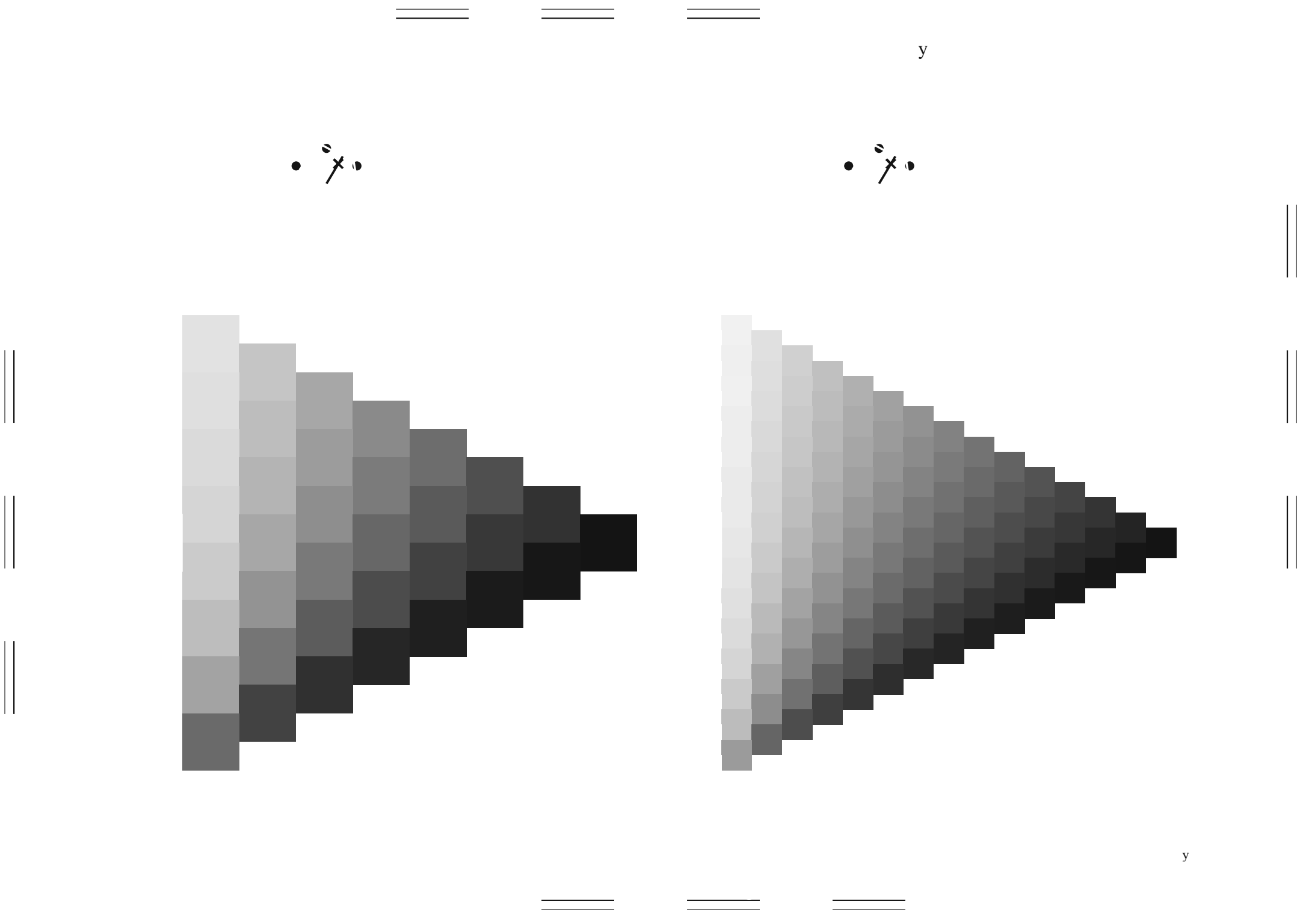
m

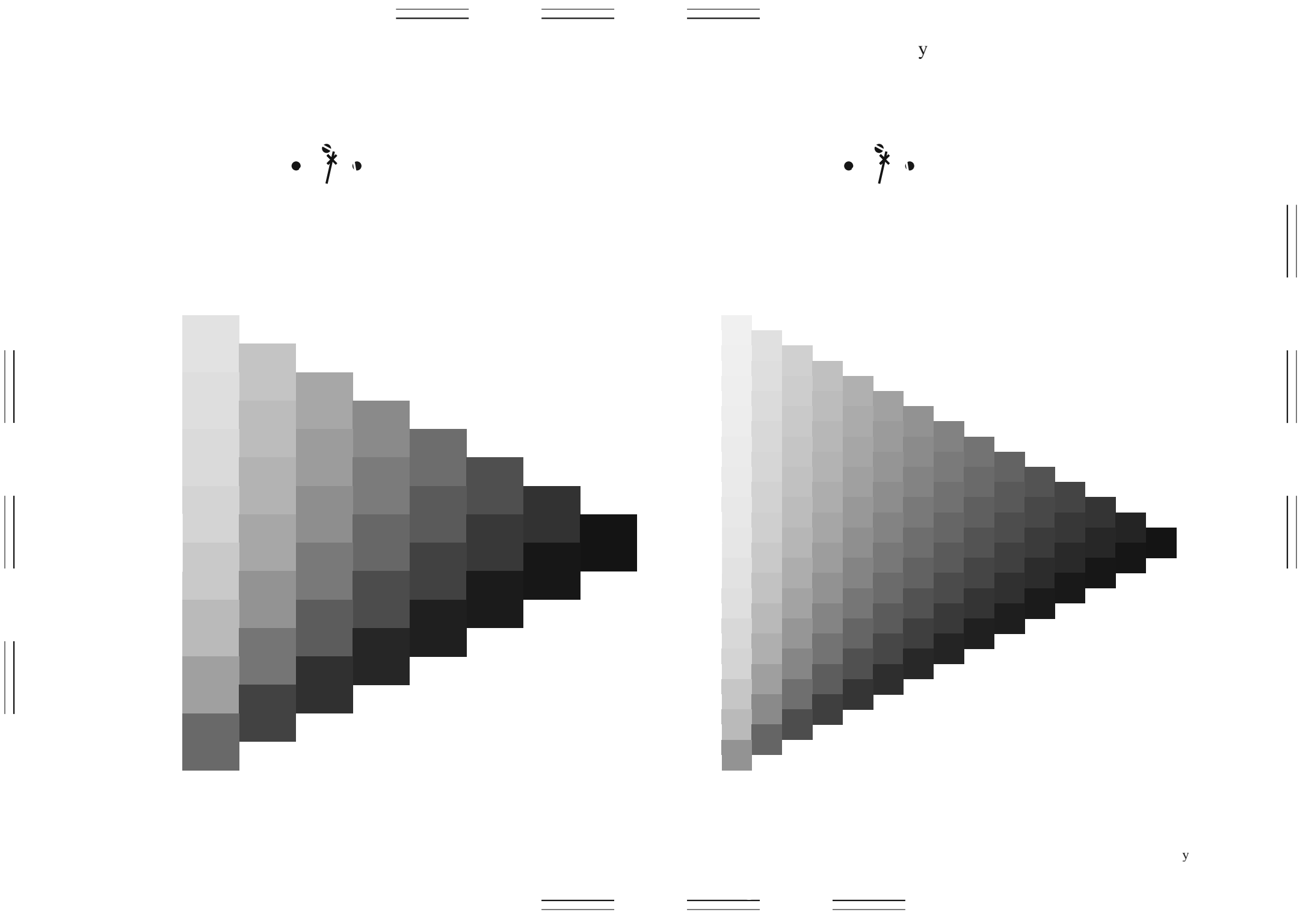


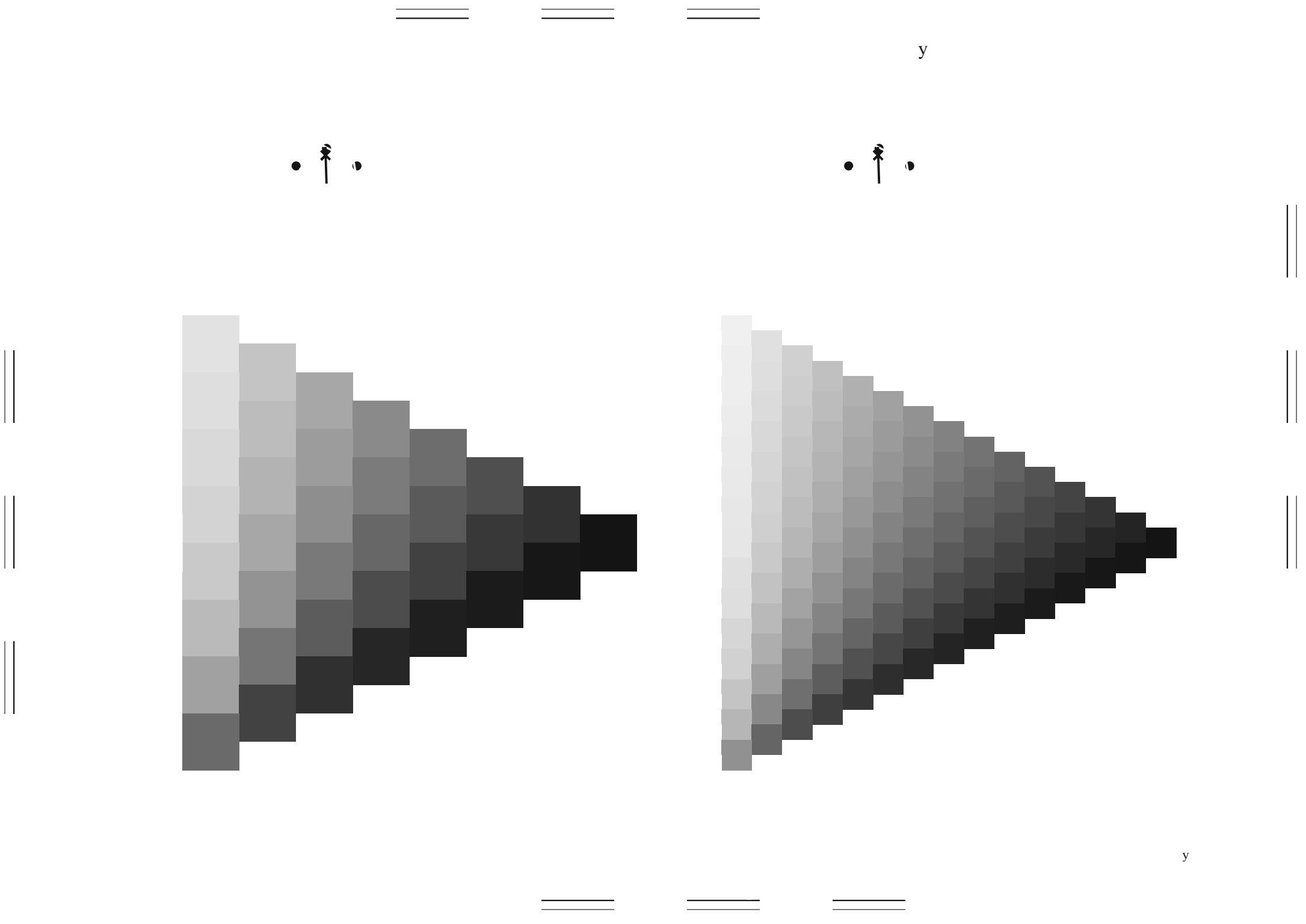
m

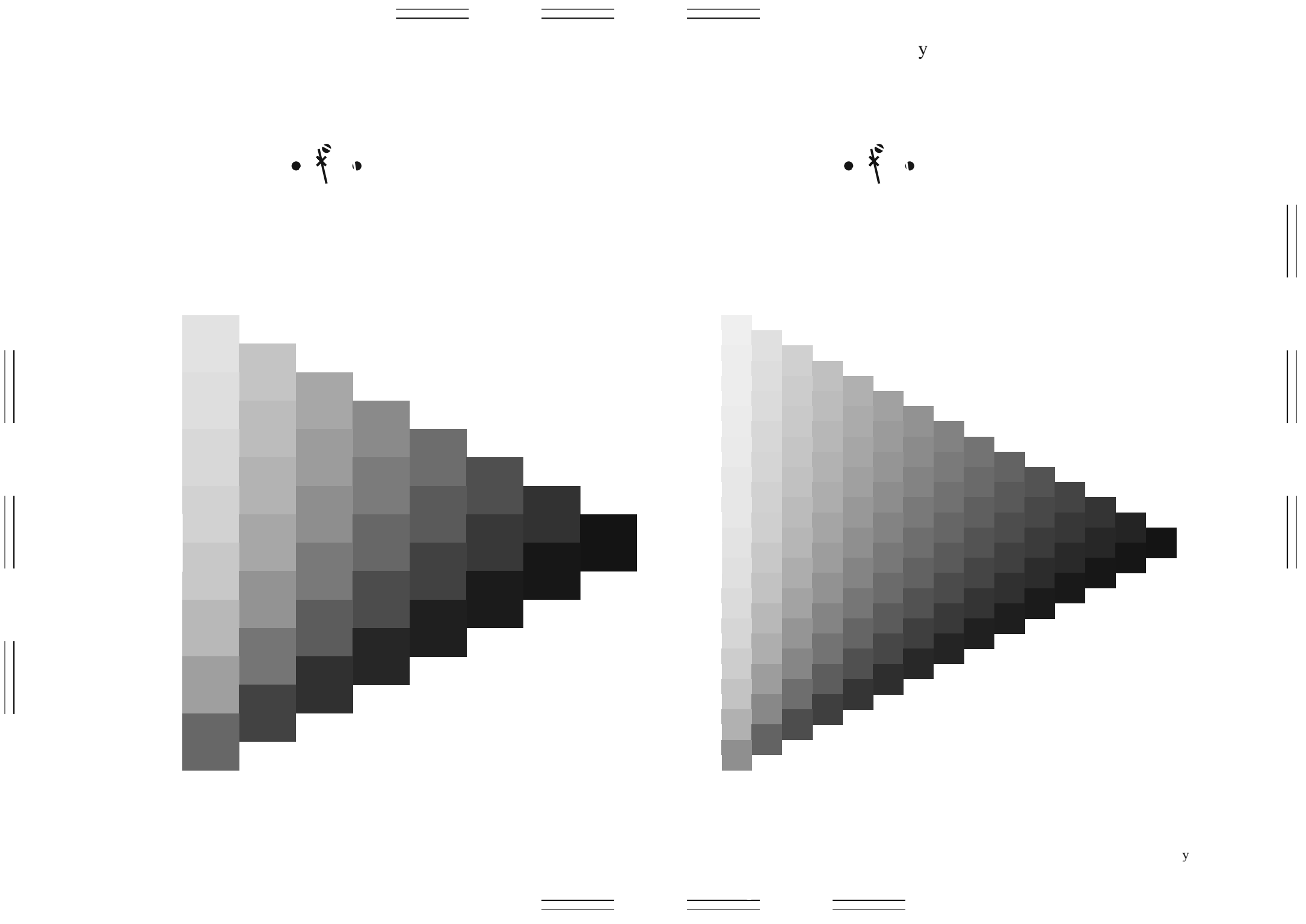


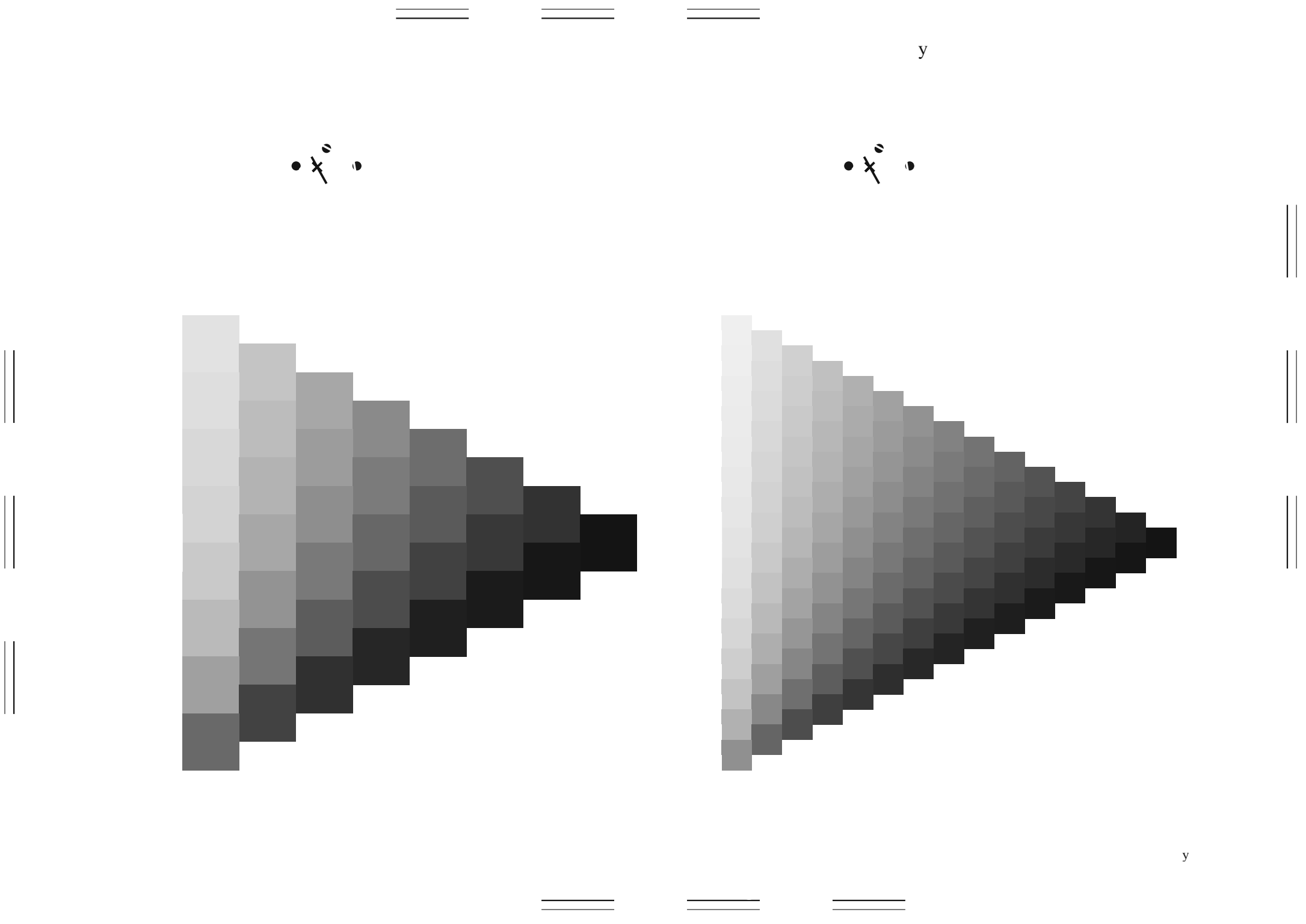


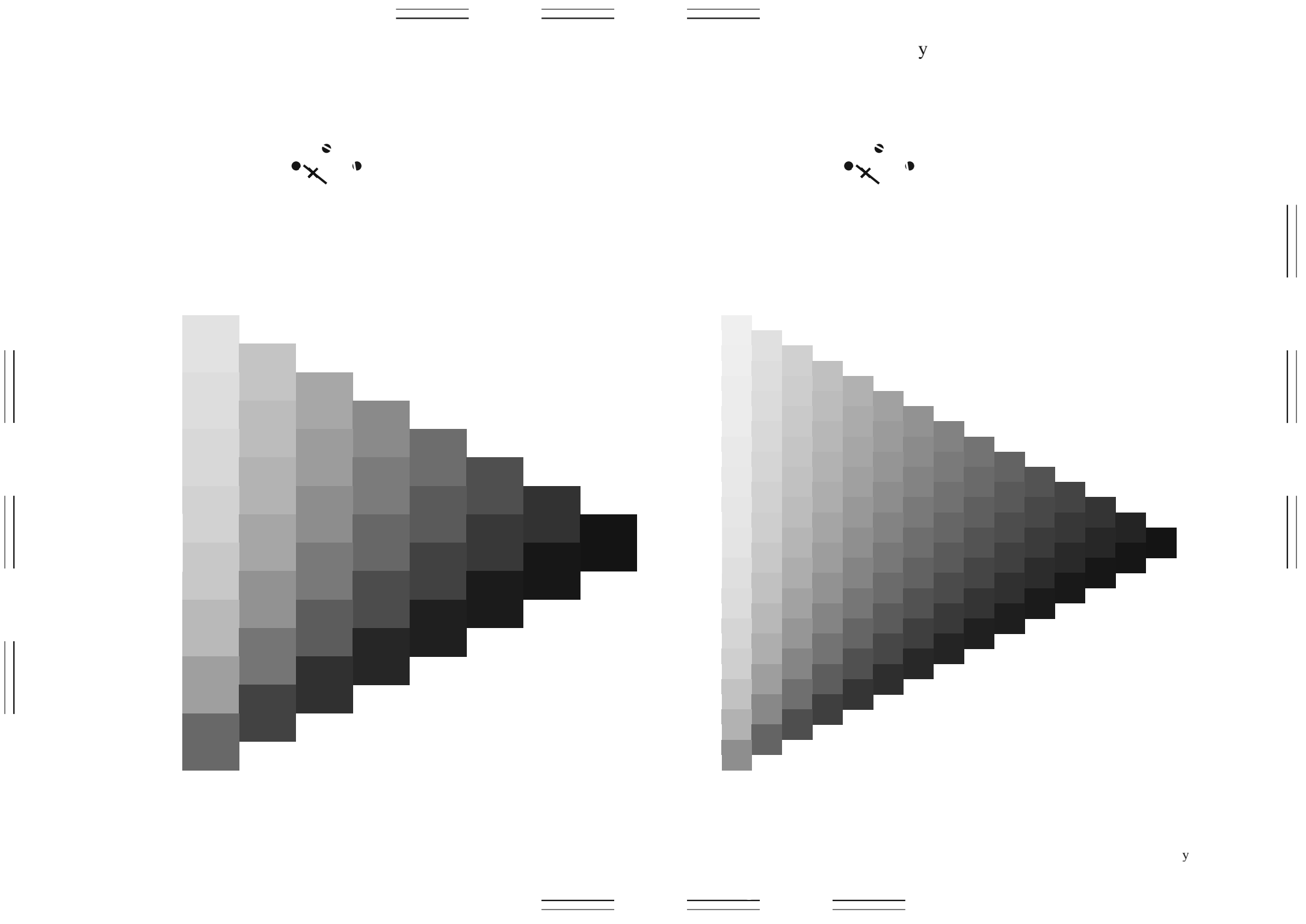


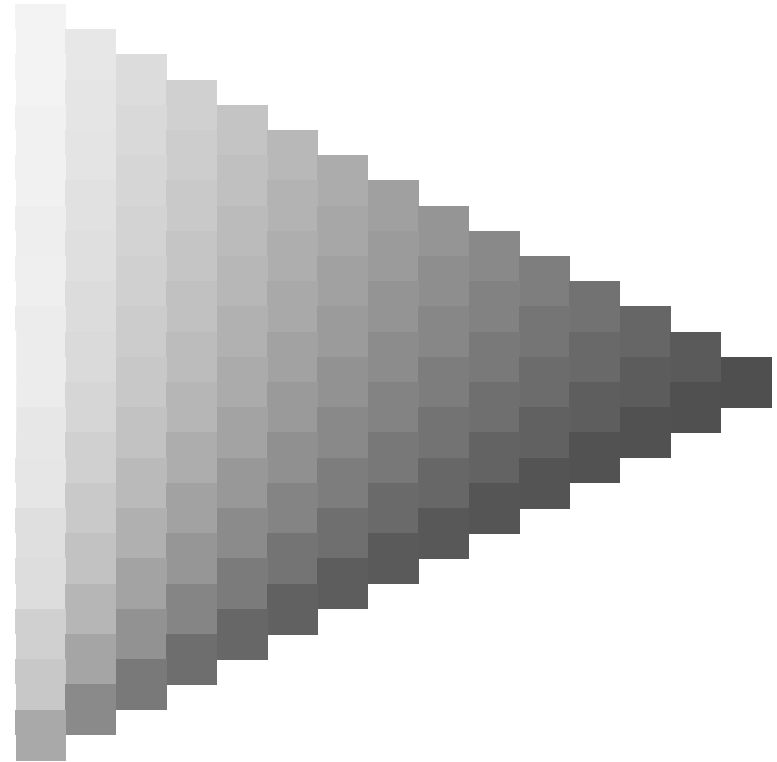
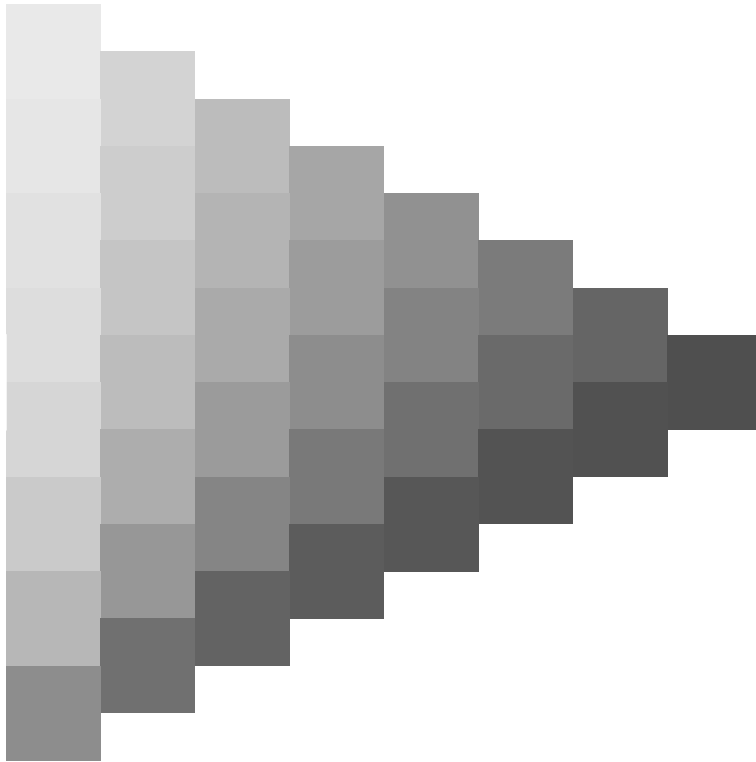


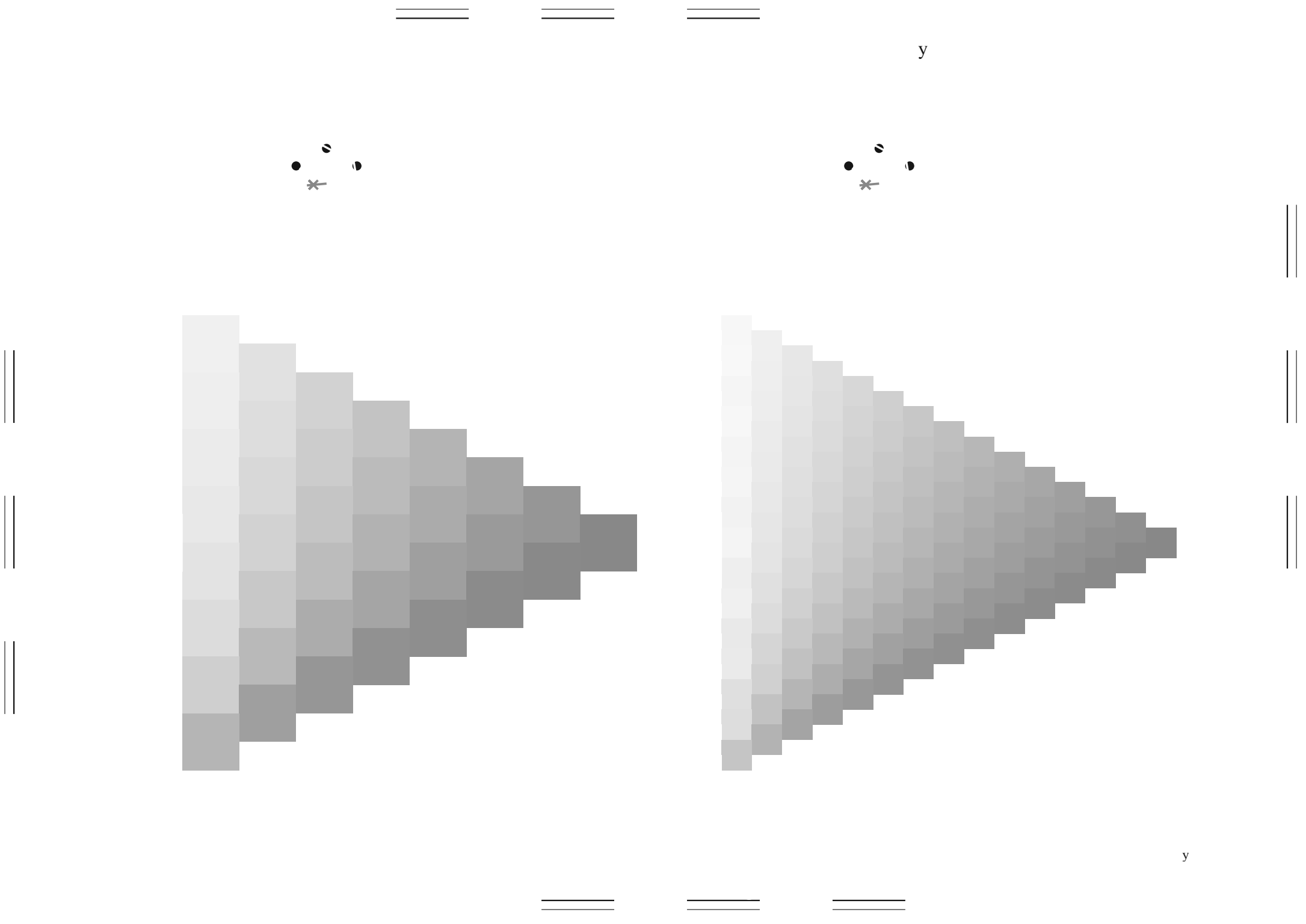


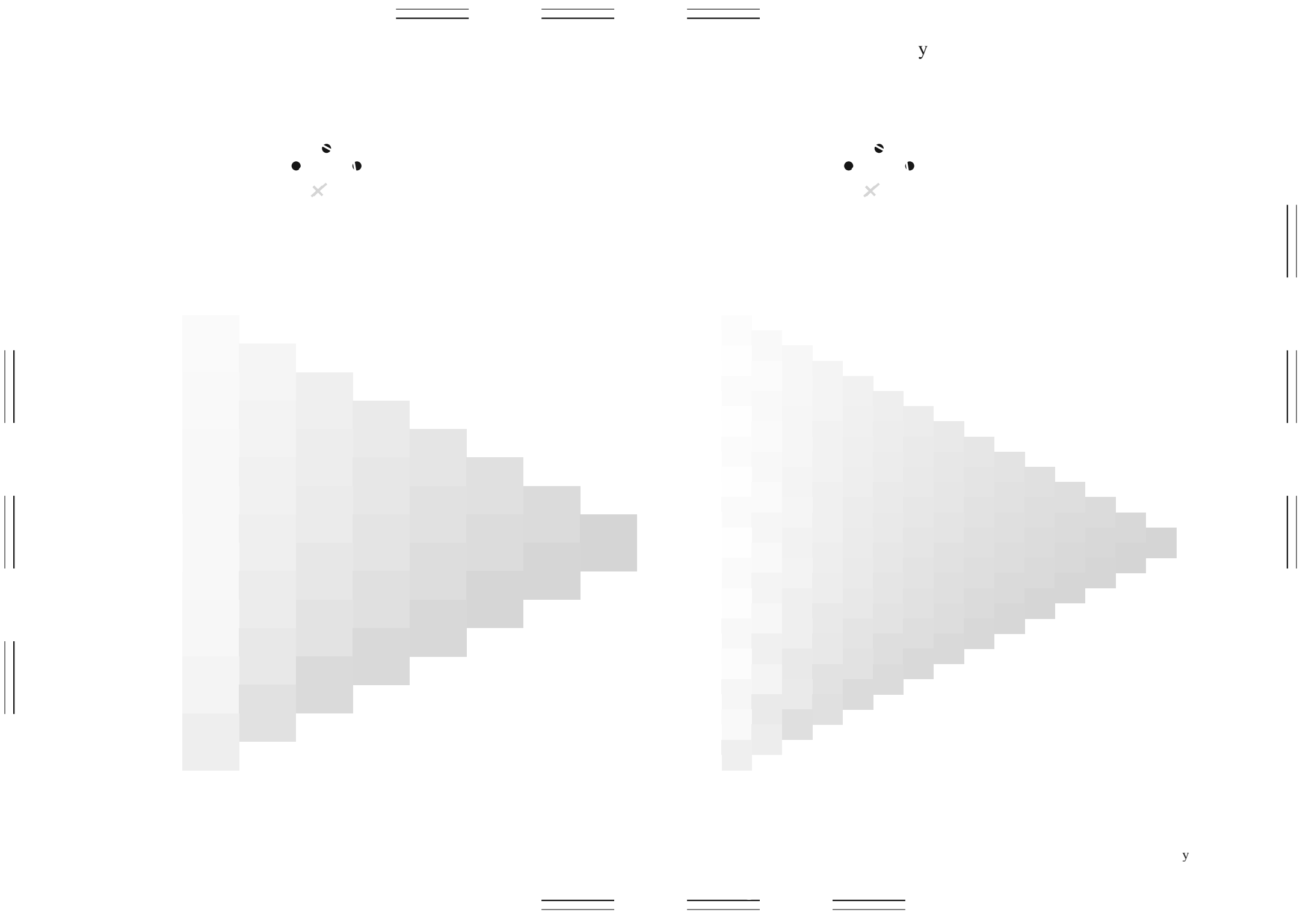


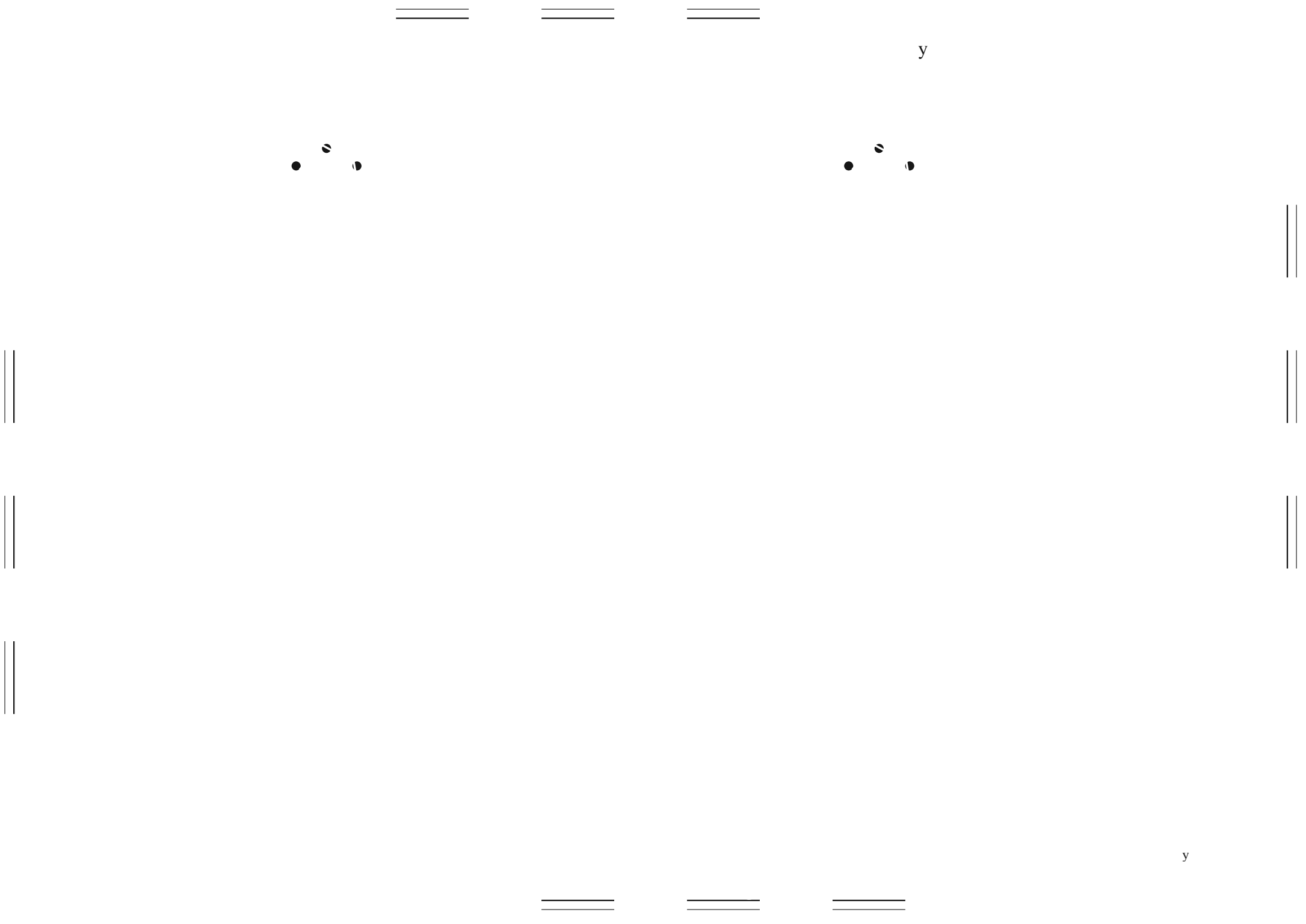


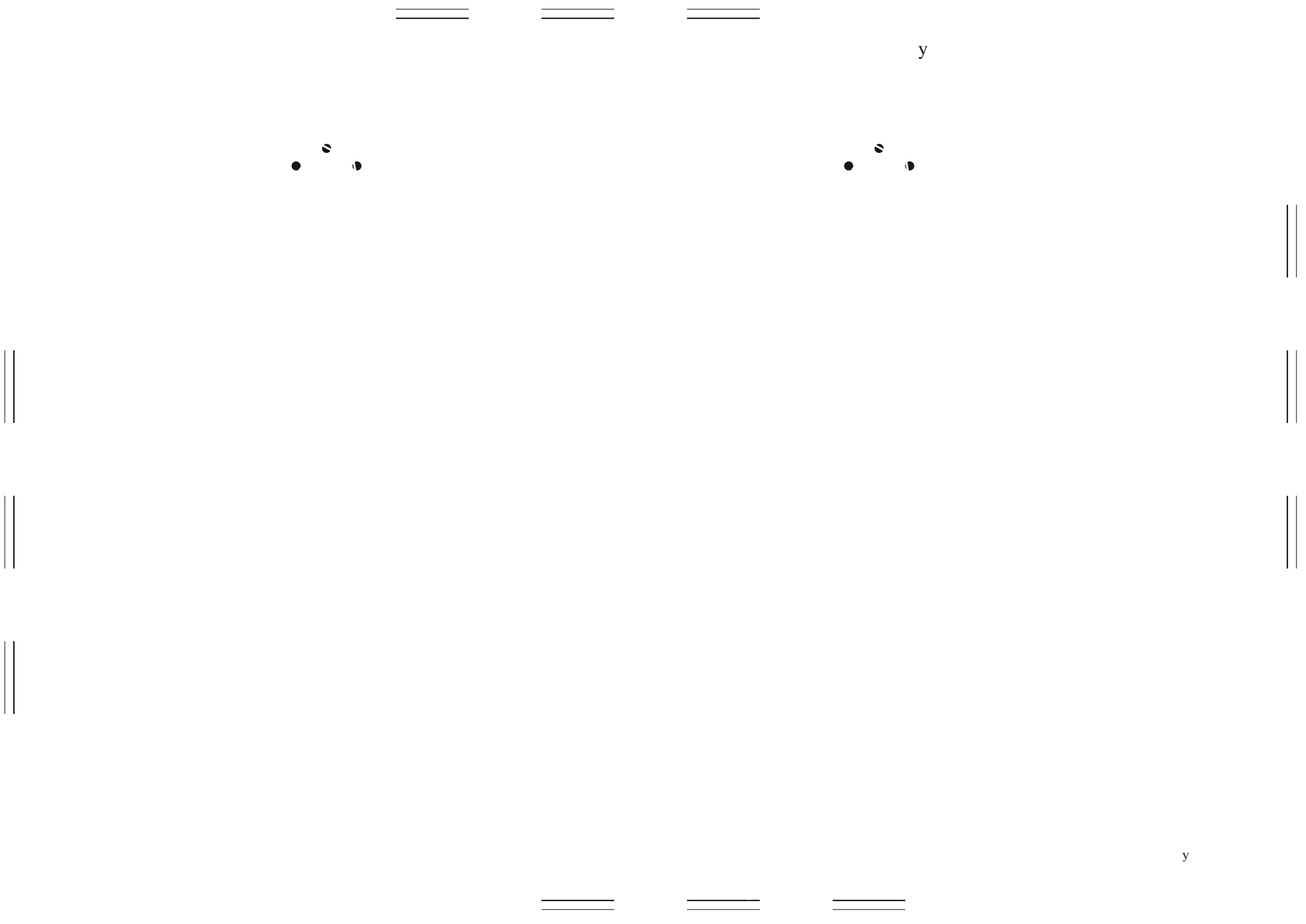


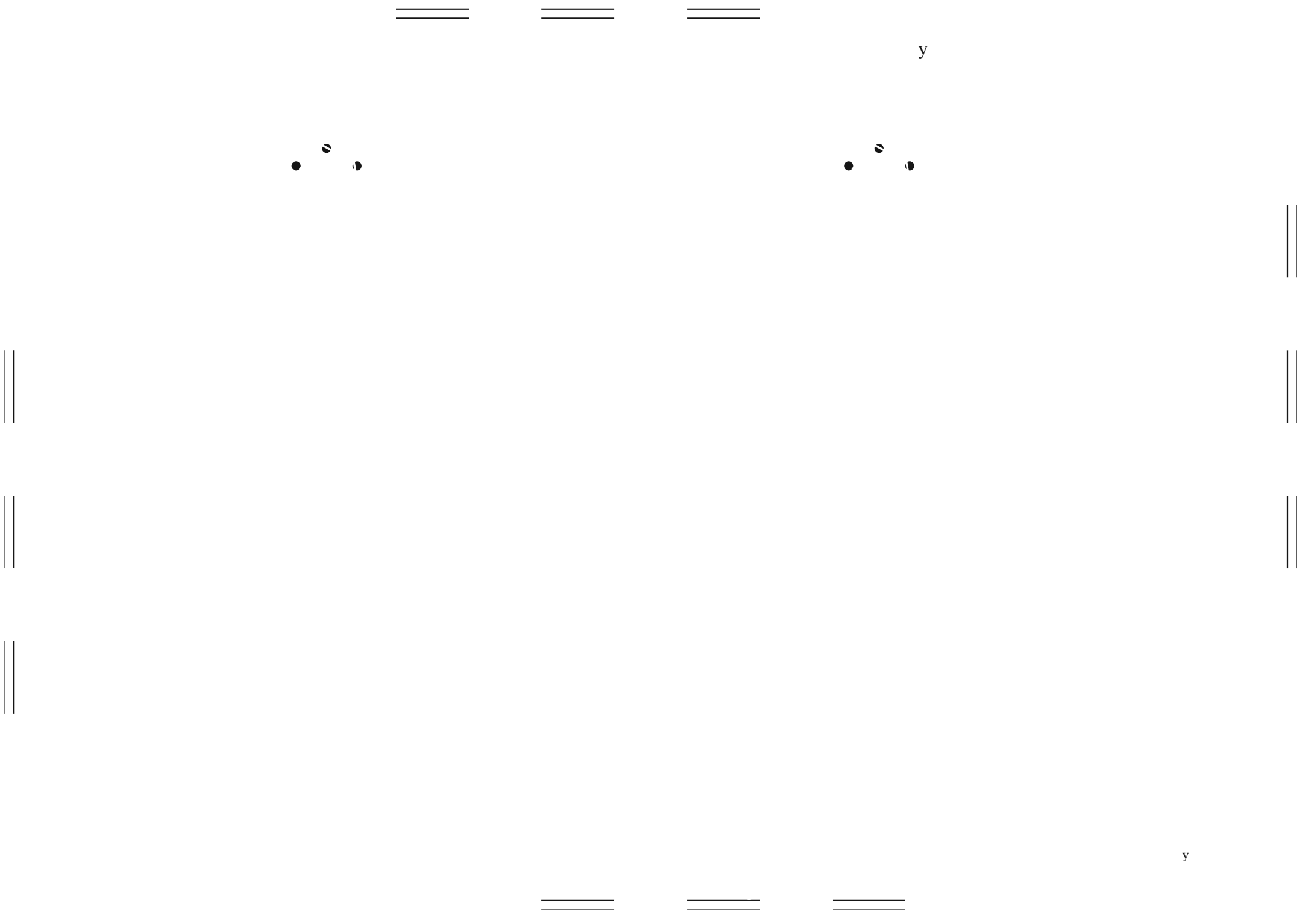
y  y

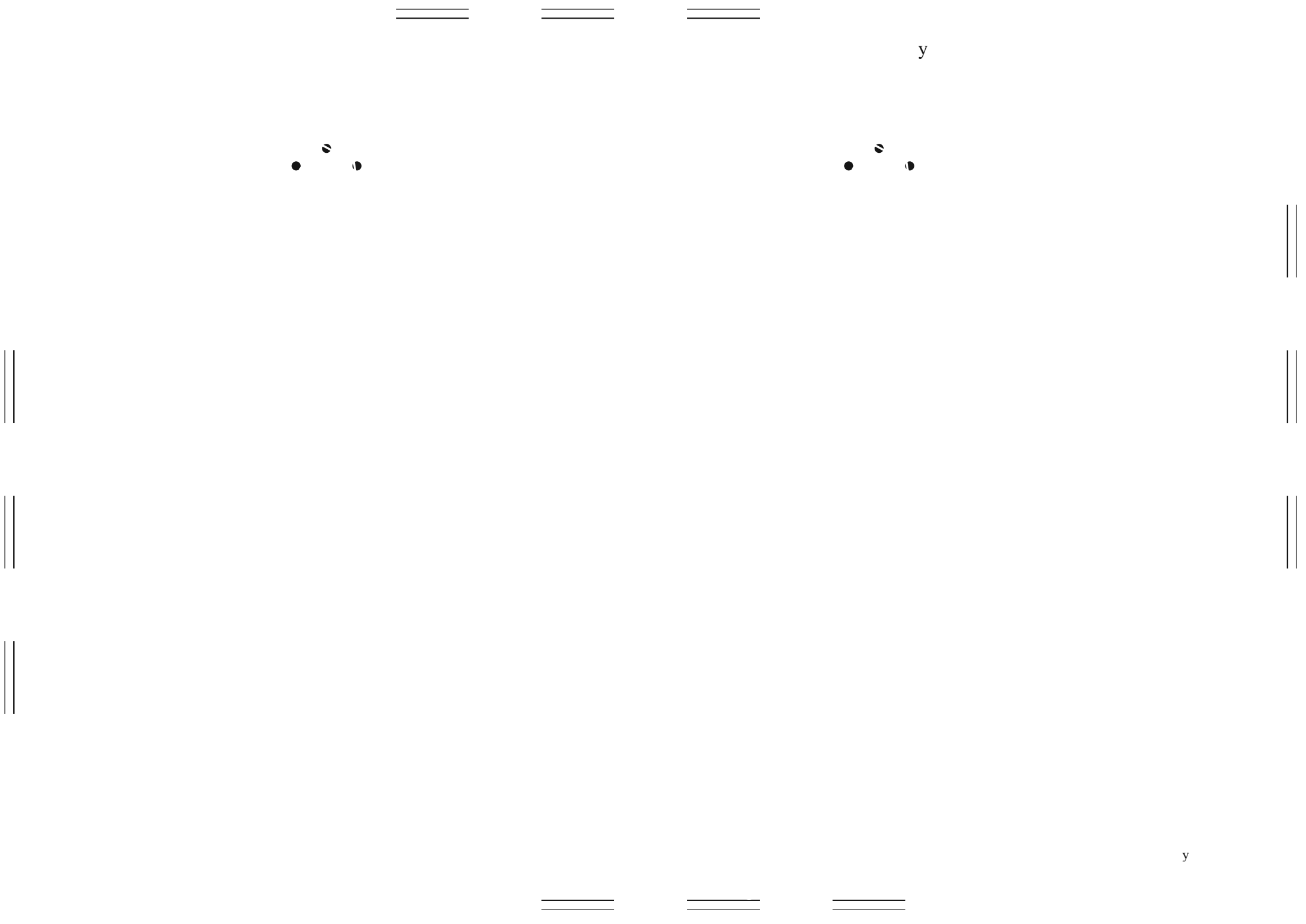


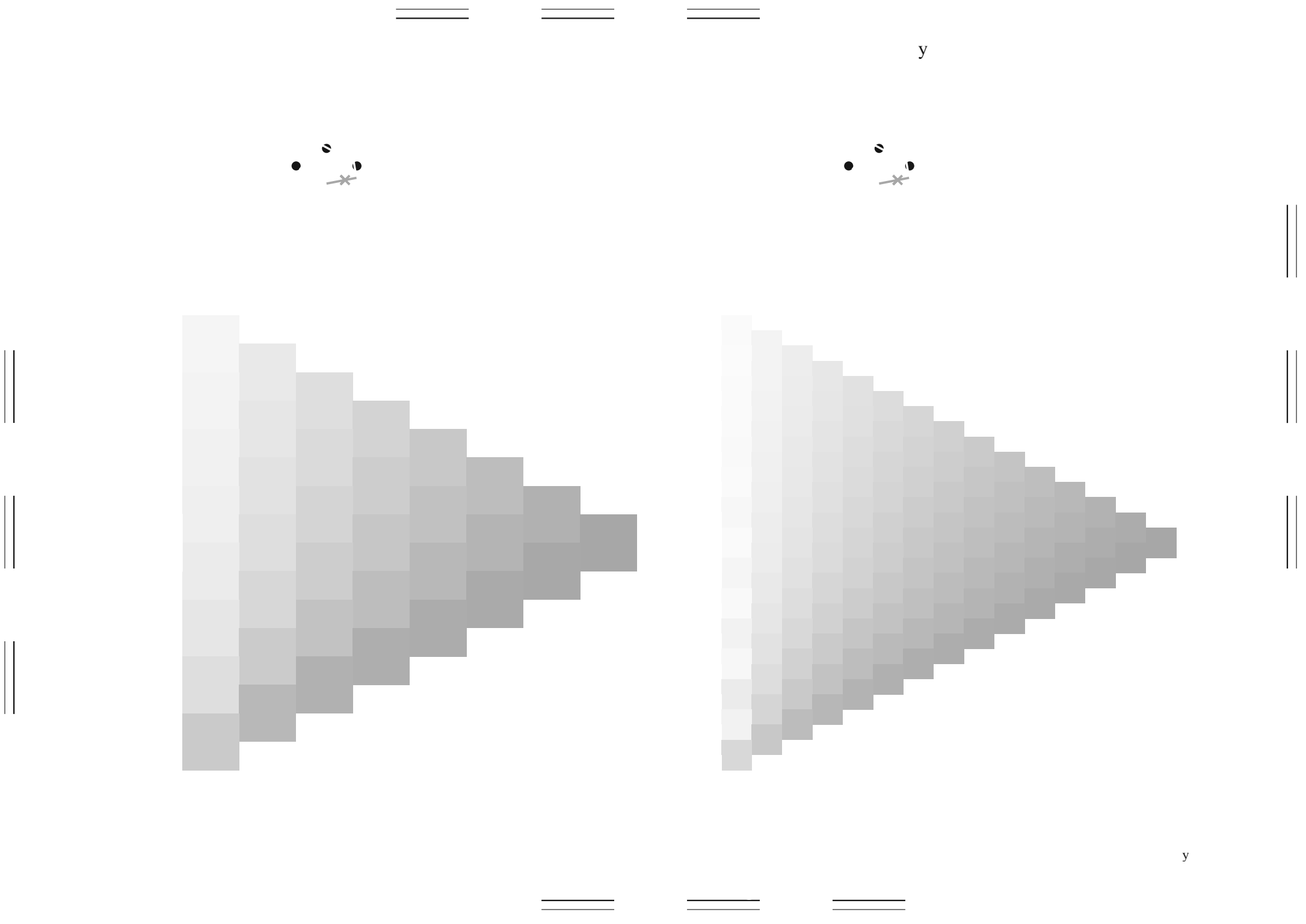












Eingabe: Farbmétrisches Offset-Reflektiv-System ORS18

für Buntton $h^* = lab^*h = 41/360 = 0.113$

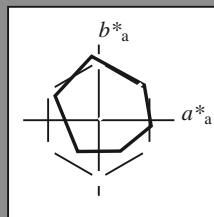
lab^*tch und lab^*nch

D65: Buntton R25J

LCH*Ma: 54 74 41

olv*Ma: 1.0 0.05 0.0

Dreiecks-Helligkeit t^*



%Umfang

$u^*_{rel} = 85$

%Regularität

$g^*_{H,rel} = 57$

$g^*_{C,rel} = 59$

ORS18; adaptierte CIELAB-Daten

	$L^*=L^*_a$	a^*_a	b^*_a	$C^*_{ab,a}$	$h^*_{ab,a}$
O _{Ma}	51.74	60.16	46.48	76.02	38
Y _{Ma}	90.77	-9.44	84.41	84.94	96
L _{Ma}	54.46	-57.8	32.16	66.15	151
C _{Ma}	61.56	-27.91	-41.41	49.95	236
V _{Ma}	31.3	28.61	-40.85	49.88	305
M _{Ma}	51.91	69.26	-7.69	69.68	354
N _{Ma}	24.2	0.0	0.0	0.0	0
W _{Ma}	95.41	0.0	0.0	0.0	0
R _{CIE}	44.36	53.97	24.82	59.4	25
J _{CIE}	82.39	-1.99	62.34	62.37	92
G _{CIE}	55.68	-38.87	10.82	40.36	164
B _{CIE}	35.76	1.06	-43.09	43.11	271

Ausgabe: Farbmétrisches Offset-Reflektiv-System ORS18

für Buntton $h^* = lab^*h = 41/360 = 0.113$

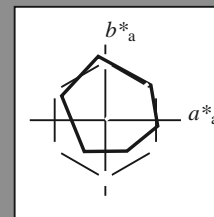
lab^*tch und lab^*nch

D65: Buntton R25J

LCH*Ma: 54 74 41

olv*Ma: 1.0 0.05 0.0

Dreiecks-Helligkeit t^*



%Umfang

$u^*_{rel} = 85$

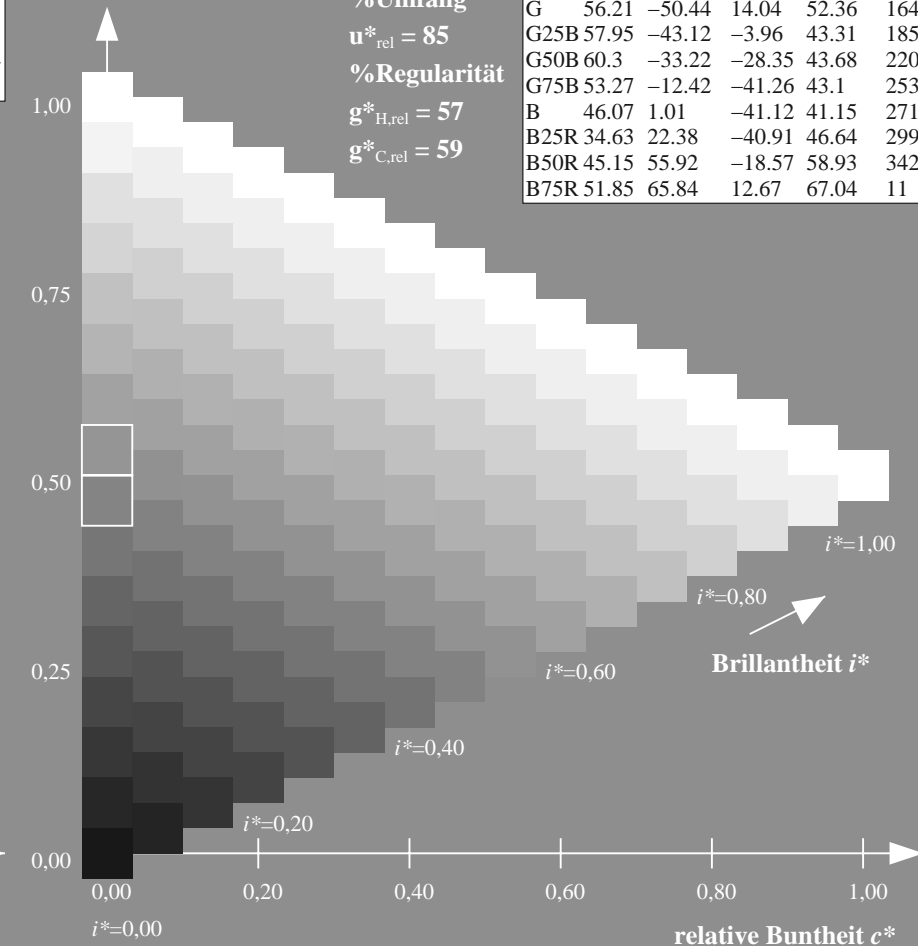
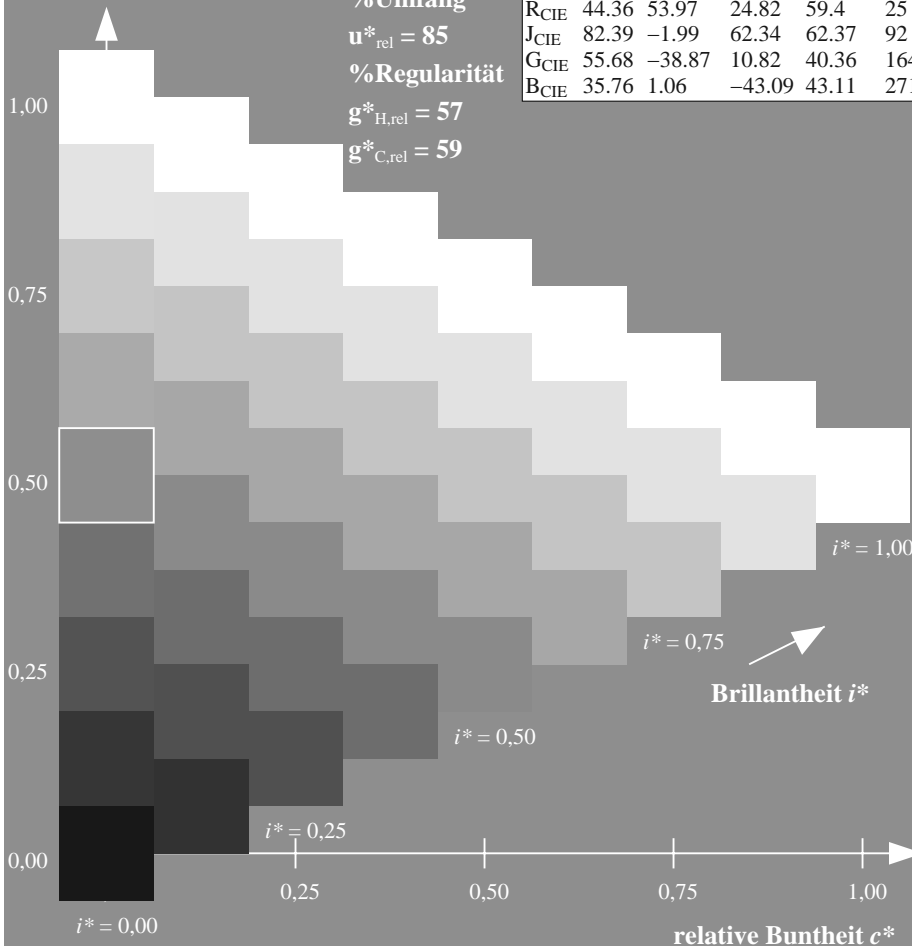
%Regularität

$g^*_{H,rel} = 57$

$g^*_{C,rel} = 59$

ORS18; adaptierte CIELAB-Daten

	$L^*=L^*_a$	a^*_a	b^*_a	$C^*_{ab,a}$	$h^*_{ab,a}$
R	51.79	63.09	29.02	69.44	25
R25J	53.73	56.6	48.42	74.48	41
R50J	65.47	35.67	59.82	69.65	59
R75J	76.51	15.98	70.55	72.34	77
J	86.93	-2.58	80.67	80.71	92
J25G	84.92	-17.23	75.99	77.92	103
J50G	73.11	-32.96	59.0	67.58	119
J75G	60.06	-50.34	40.22	64.44	141
G	56.21	-50.44	14.04	52.36	164
G25B	57.95	-43.12	-3.96	43.31	185
G50B	60.3	-33.22	-28.35	43.68	220
G75B	53.27	-12.42	-41.26	43.1	253
B	46.07	1.01	-41.12	41.15	271
B25R	34.63	22.38	-40.91	46.64	299
B50R	45.15	55.92	-18.57	58.93	342
B75R	51.85	65.84	12.67	67.04	11



ZG920-7F, 9stufige Reihen für konstanten CIELAB Buntton 41/360 = 0.113 (links)

Seite 82/96

ZG920-7F, 16stufige Reihen für konstanten CIELAB Buntton 41/360 = 0.113 (rechts)

n*

BAM-Prüfvorlage ZG92; Farbmétrik-Systeme, Seite 82/96 Eingabe: $rgb / cmy0$ set($rgb/cmyk$)color

D65: 9 und 16stufige Farbreihen für 16 Elementar-Bunttöne Ausgabe: $\rightarrow LAB^* \rightarrow cmy5^* setcmykcolo$

Eingabe: Farbmétrisches Offset-Reflektiv-System ORS18

für Buntton $h^* = lab^*h = 59/360 = 0.164$

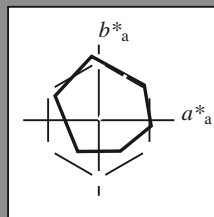
lab^*tch und lab^*nch

D65: Buntton R50J

LCH*Ma: 65 70 59

olv*Ma: 1.0 0.35 0.0

Dreiecks-Helligkeit t^*



%Umfang

$u^*_{rel} = 85$

%Regularität

$g^*_{H,rel} = 57$

$g^*_{C,rel} = 59$

ORS18; adaptierte CIELAB-Daten

	$L^*=L^*_a$	a^*_a	b^*_a	$C^*_{ab,a}$	$h^*_{ab,a}$
O _{Ma}	51.74	60.16	46.48	76.02	38
Y _{Ma}	90.77	-9.44	84.41	84.94	96
L _{Ma}	54.46	-57.8	32.16	66.15	151
C _{Ma}	61.56	-27.91	-41.41	49.95	236
V _{Ma}	31.3	28.61	-40.85	49.88	305
M _{Ma}	51.91	69.26	-7.69	69.68	354
N _{Ma}	24.2	0.0	0.0	0.0	0
W _{Ma}	95.41	0.0	0.0	0.0	0
R _{CIE}	44.36	53.97	24.82	59.4	25
J _{CIE}	82.39	-1.99	62.34	62.37	92
G _{CIE}	55.68	-38.87	10.82	40.36	164
B _{CIE}	35.76	1.06	-43.09	43.11	271

Ausgabe: Farbmétrisches Offset-Reflektiv-System ORS18

für Buntton $h^* = lab^*h = 59/360 = 0.164$

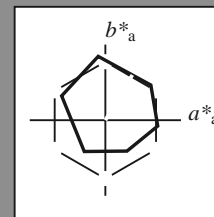
lab^*tch und lab^*nch

D65: Buntton R50J

LCH*Ma: 65 70 59

olv*Ma: 1.0 0.35 0.0

Dreiecks-Helligkeit t^*



%Umfang

$u^*_{rel} = 85$

%Regularität

$g^*_{H,rel} = 57$

$g^*_{C,rel} = 59$

ORS18; adaptierte CIELAB-Daten

	$L^*=L^*_a$	a^*_a	b^*_a	$C^*_{ab,a}$	$h^*_{ab,a}$
R	51.79	63.09	29.02	69.44	25
R25J	53.73	56.6	48.42	74.48	41
R50J	65.47	35.67	59.82	69.65	59
R75J	76.51	15.98	70.55	72.34	77
J	86.93	-2.58	80.67	80.71	92
J25G	84.92	-17.23	75.99	77.92	103
J50G	73.11	-32.96	59.0	67.58	119
J75G	60.06	-50.34	40.22	64.44	141
G	56.21	-50.44	14.04	52.36	164
G25B	57.95	-43.12	-3.96	43.31	185
G50B	60.3	-33.22	-28.35	43.68	220
G75B	53.27	-12.42	-41.26	43.1	253
B	46.07	1.01	-41.12	41.15	271
B25R	34.63	22.38	-40.91	46.64	299
B50R	45.15	55.92	-18.57	58.93	342
B75R	51.85	65.84	12.67	67.04	11

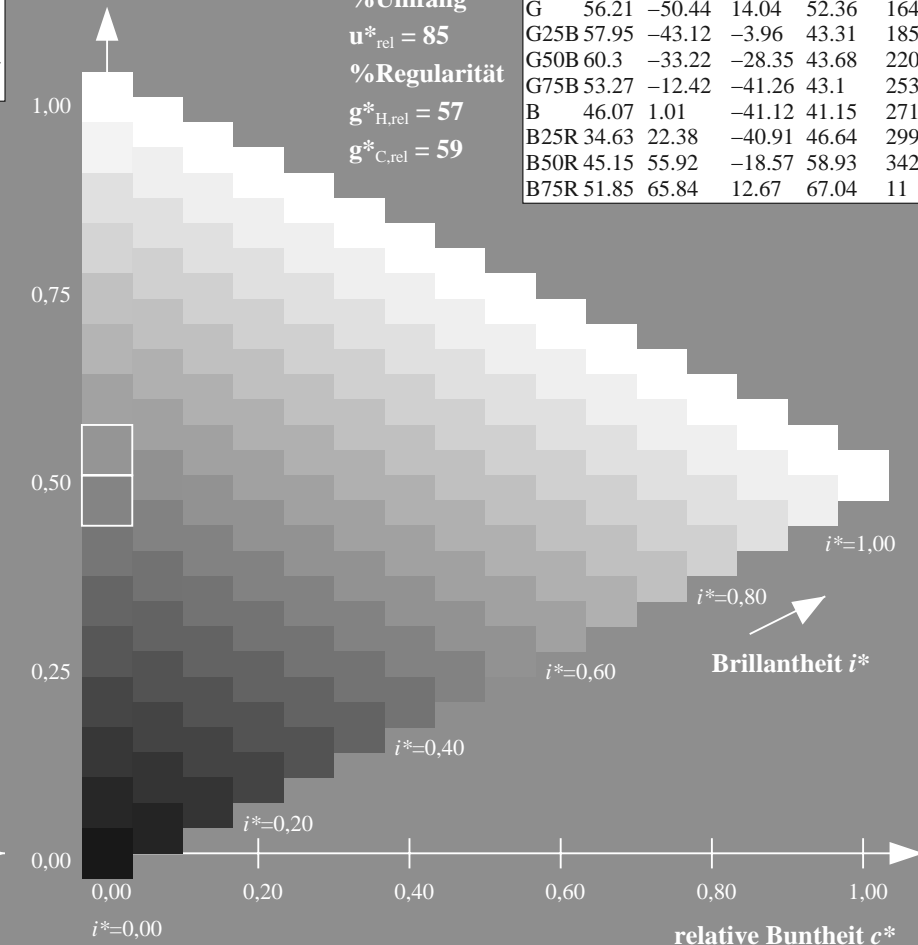
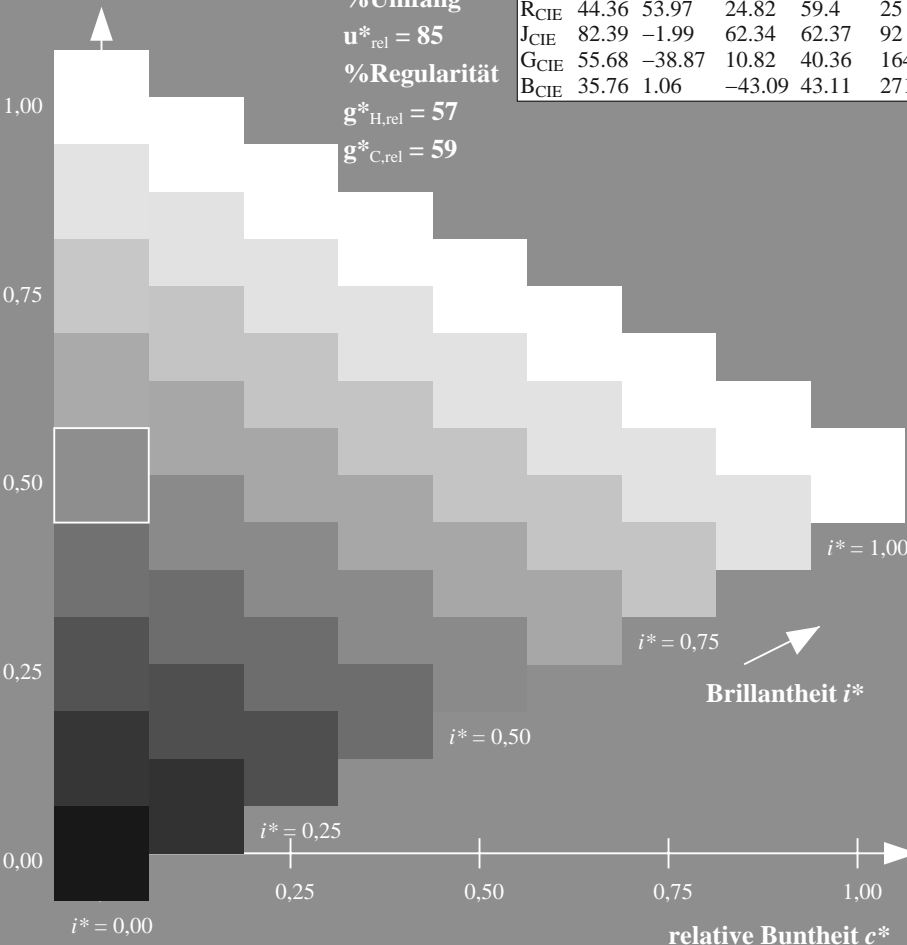
%Umfang

$u^*_{rel} = 85$

%Regularität

$g^*_{H,rel} = 57$

$g^*_{C,rel} = 59$



ZG920-7F, 9stufige Reihen für konstanten CIELAB Buntton 59/360 = 0.164 (links)

Seite 83/96

ZG920-7F, 16stufige Reihen für konstanten CIELAB Buntton 59/360 = 0.164 (rechts)

n*

BAM-Prüfvorlage ZG92; Farbmétrische Systeme, Seite 83/96 Eingabe: $rgb / cmy0$ set($rgb/cmyk$)color

D65: 9 und 16stufige Farbreihen für 16 Elementar-Bunttöne Ausgabe: $\rightarrow LAB^* \rightarrow cmy5^* setcmykcolo$

Eingabe: Farbmétrisches Offset-Reflektiv-System ORS18

für Buntton $h^* = lab^*h = 77/360 = 0.215$

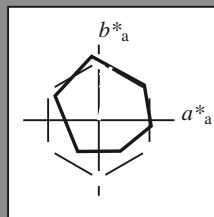
lab^*tch und lab^*nch

D65: Buntton R75J

LCH*Ma: 77 72 77

olv*Ma: 1.0 0.63 0.0

Dreiecks-Helligkeit t^*



%Umfang

$u^*_{rel} = 85$

%Regularität

$g^*_{H,rel} = 57$

$g^*_{C,rel} = 59$

ORS18; adaptierte CIELAB-Daten

	$L^*=L^*_a$	a^*_a	b^*_a	$C^*_{ab,a}$	$h^*_{ab,a}$
O _{Ma}	51.74	60.16	46.48	76.02	38
Y _{Ma}	90.77	-9.44	84.41	84.94	96
L _{Ma}	54.46	-57.8	32.16	66.15	151
C _{Ma}	61.56	-27.91	-41.41	49.95	236
V _{Ma}	31.3	28.61	-40.85	49.88	305
M _{Ma}	51.91	69.26	-7.69	69.68	354
N _{Ma}	24.2	0.0	0.0	0.0	0
W _{Ma}	95.41	0.0	0.0	0.0	0
R _{CIE}	44.36	53.97	24.82	59.4	25
J _{CIE}	82.39	-1.99	62.34	62.37	92
G _{CIE}	55.68	-38.87	10.82	40.36	164
B _{CIE}	35.76	1.06	-43.09	43.11	271

Ausgabe: Farbmétrisches Offset-Reflektiv-System ORS18

für Buntton $h^* = lab^*h = 77/360 = 0.215$

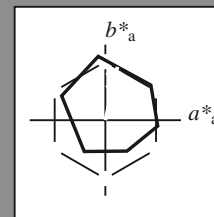
lab^*tch und lab^*nch

D65: Buntton R75J

LCH*Ma: 77 72 77

olv*Ma: 1.0 0.63 0.0

Dreiecks-Helligkeit t^*



%Umfang

$u^*_{rel} = 85$

%Regularität

$g^*_{H,rel} = 57$

$g^*_{C,rel} = 59$

ORS18; adaptierte CIELAB-Daten

	$L^*=L^*_a$	a^*_a	b^*_a	$C^*_{ab,a}$	$h^*_{ab,a}$
R	51.79	63.09	29.02	69.44	25
R25J	53.73	56.6	48.42	74.48	41
R50J	65.47	35.67	59.82	69.65	59
R75J	76.51	15.98	70.55	72.34	77
J	86.93	-2.58	80.67	80.71	92
J25G	84.92	-17.23	75.99	77.92	103
J50G	73.11	-32.96	59.0	67.58	119
J75G	60.06	-50.34	40.22	64.44	141
G	56.21	-50.44	14.04	52.36	164
G25B	57.95	-43.12	-3.96	43.31	185
G50B	60.3	-33.22	-28.35	43.68	220
G75B	53.27	-12.42	-41.26	43.1	253
B	46.07	1.01	-41.12	41.15	271
B25R	34.63	22.38	-40.91	46.64	299
B50R	45.15	55.92	-18.57	58.93	342
B75R	51.85	65.84	12.67	67.04	11

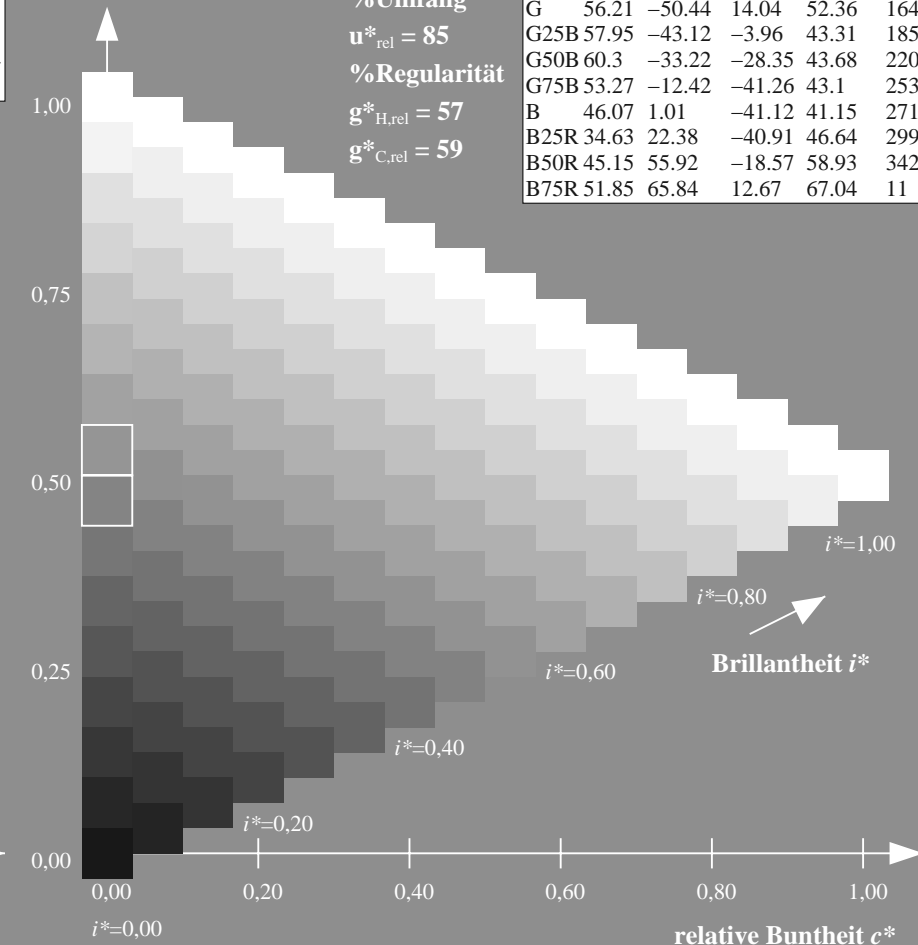
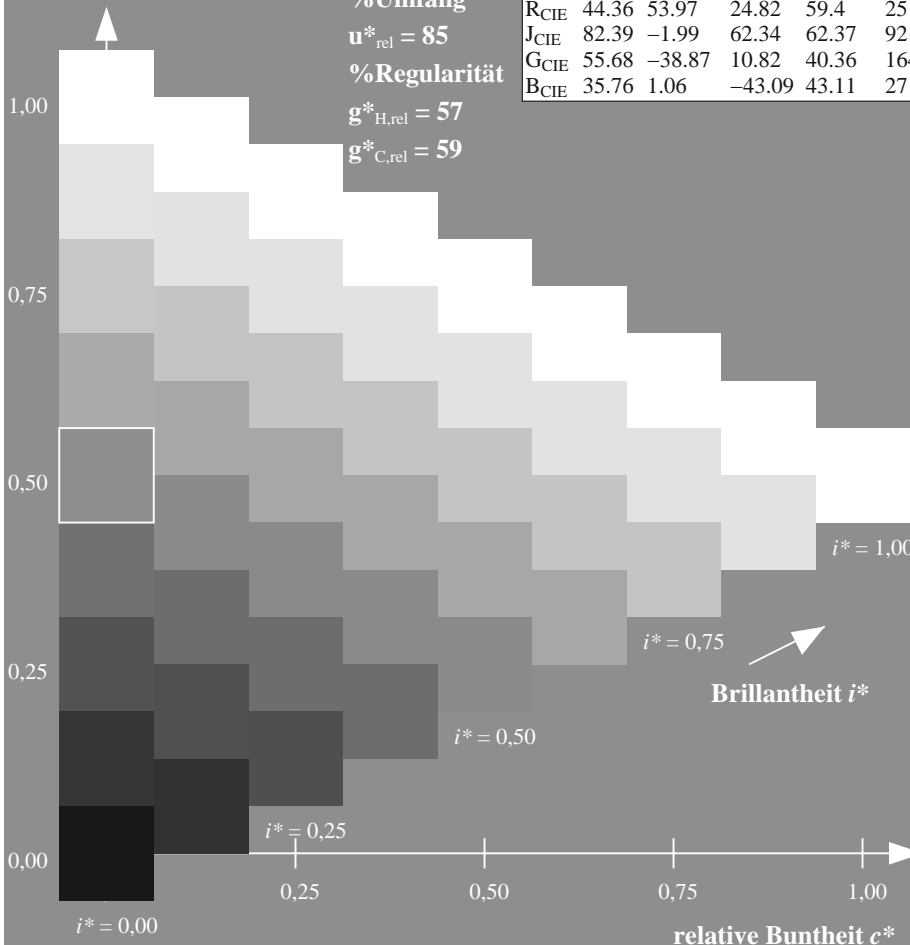
%Umfang

$u^*_{rel} = 85$

%Regularität

$g^*_{H,rel} = 57$

$g^*_{C,rel} = 59$



ZG920-7F, 9stufige Reihen für konstanten CIELAB Buntton 77/360 = 0.215 (links)

Seite 84/96

ZG920-7F, 16stufige Reihen für konstanten CIELAB Buntton 77/360 = 0.215 (rechts)

n*

BAM-Prüfvorlage ZG92; Farbmétrik-Systeme, Seite 84/96 Eingabe: $rgb / cmy0$ set($rgb/cmyk$)color

D65: 9 und 16stufige Farbreihen für 16 Elementar-Bunttöne Ausgabe: $\rightarrow LAB^* \rightarrow cmy5^* setcmykcolo$

Eingabe: Farbmétrisches Offset-Reflektiv-System ORS18

für Buntton $h^* = lab^*h = 92/360 = 0.255$

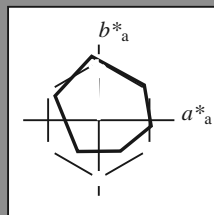
lab^*tch und lab^*nch

D65: Buntton J

LCH*Ma: 87 81 92

olv*Ma: 1.0 0.9 0.0

Dreiecks-Helligkeit t^*



%Umfang

$u^*_{rel} = 85$

%Regularität

$g^*_{H,rel} = 57$

$g^*_{C,rel} = 59$

ORS18; adaptierte CIELAB-Daten

	$L^*=L^*_a$	a^*_a	b^*_a	$C^*_{ab,a}$	$h^*_{ab,a}$
O _{Ma}	51.74	60.16	46.48	76.02	38
Y _{Ma}	90.77	-9.44	84.41	84.94	96
L _{Ma}	54.46	-57.8	32.16	66.15	151
C _{Ma}	61.56	-27.91	-41.41	49.95	236
V _{Ma}	31.3	28.61	-40.85	49.88	305
M _{Ma}	51.91	69.26	-7.69	69.68	354
N _{Ma}	24.2	0.0	0.0	0.0	0
W _{Ma}	95.41	0.0	0.0	0.0	0
R _{CIE}	44.36	53.97	24.82	59.4	25
J _{CIE}	82.39	-1.99	62.34	62.37	92
G _{CIE}	55.68	-38.87	10.82	40.36	164
B _{CIE}	35.76	1.06	-43.09	43.11	271

Ausgabe: Farbmétrisches Offset-Reflektiv-System ORS18

für Buntton $h^* = lab^*h = 92/360 = 0.255$

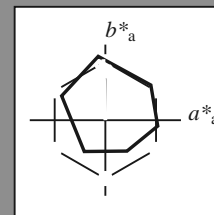
lab^*tch und lab^*nch

D65: Buntton J

LCH*Ma: 87 81 92

olv*Ma: 1.0 0.9 0.0

Dreiecks-Helligkeit t^*



%Umfang

$u^*_{rel} = 85$

%Regularität

$g^*_{H,rel} = 57$

$g^*_{C,rel} = 59$

ORS18; adaptierte CIELAB-Daten

	$L^*=L^*_a$	a^*_a	b^*_a	$C^*_{ab,a}$	$h^*_{ab,a}$
R	51.79	63.09	29.02	69.44	25
R25J	53.73	56.6	48.42	74.48	41
R50J	65.47	35.67	59.82	69.65	59
R75J	76.51	15.98	70.55	72.34	77
J	86.93	-2.58	80.67	80.71	92
J25G	84.92	-17.23	75.99	77.92	103
J50G	73.11	-32.96	59.0	67.58	119
J75G	60.06	-50.34	40.22	64.44	141
G	56.21	-50.44	14.04	52.36	164
G25B	57.95	-43.12	-3.96	43.31	185
G50B	60.3	-33.22	-28.35	43.68	220
G75B	53.27	-12.42	-41.26	43.1	253
B	46.07	1.01	-41.12	41.15	271
B25R	34.63	22.38	-40.91	46.64	299
B50R	45.15	55.92	-18.57	58.93	342
B75R	51.85	65.84	12.67	67.04	11

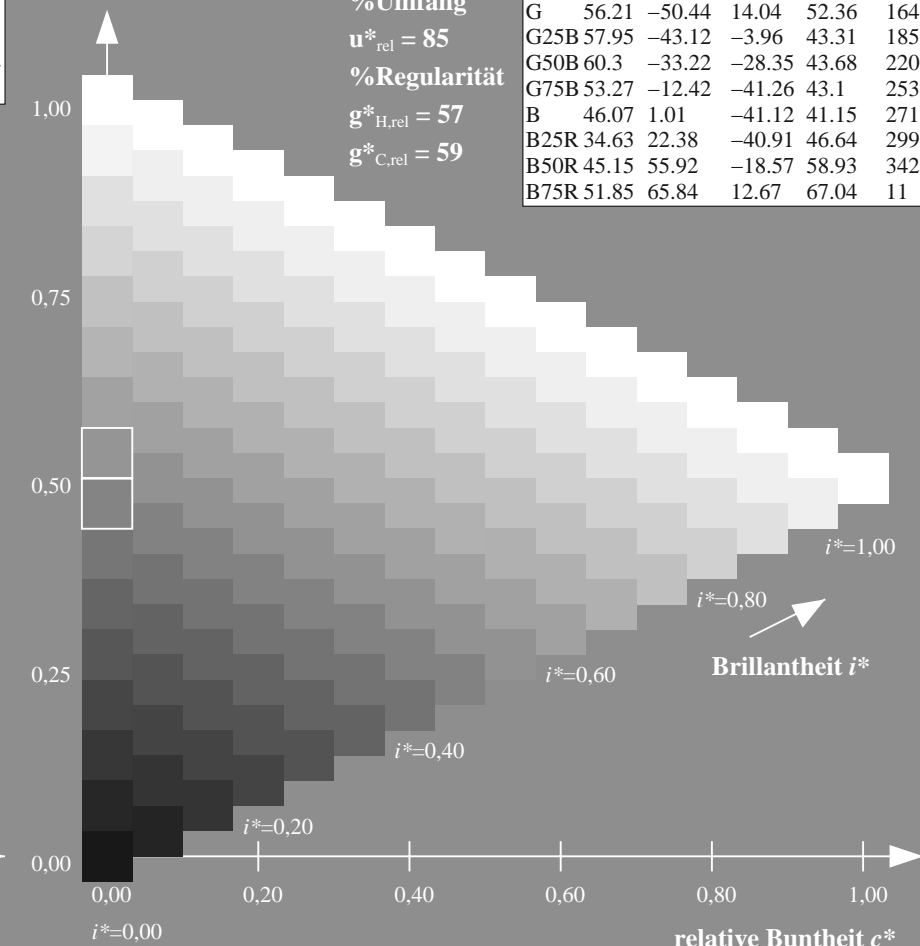
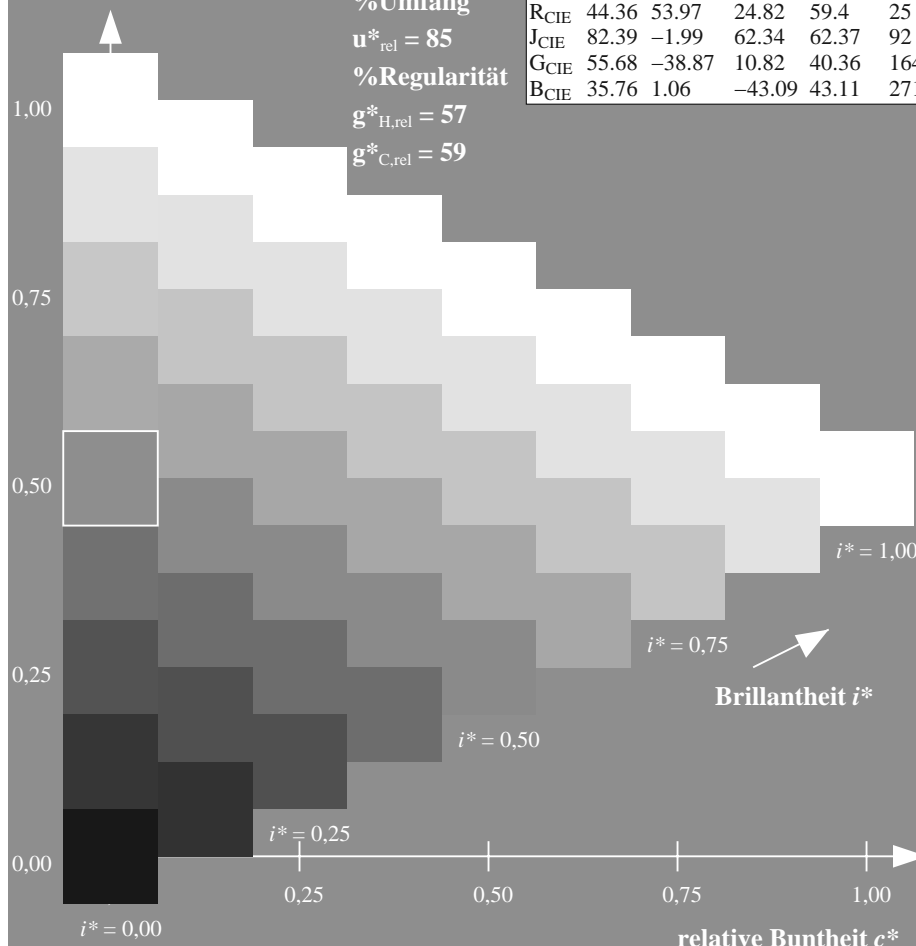
%Umfang

$u^*_{rel} = 85$

%Regularität

$g^*_{H,rel} = 57$

$g^*_{C,rel} = 59$



ZG920-7F, 9stufige Reihen für konstanten CIELAB Buntton 92/360 = 0.255 (links)

Seite 85/96

ZG920-7F, 16stufige Reihen für konstanten CIELAB Buntton 92/360 = 0.255 (rechts)

n*

BAM-Prüfvorlage ZG92; Farbmétrik-Systeme, Seite 85/96 Eingabe: $rgb / cmy0$ set($rgb/cmyk$)color

D65: 9 und 16stufige Farbreihen für 16 Elementar-Bunttöne Ausgabe: $\rightarrow LAB^* \rightarrow cmy5^* setcmykcolo$

Eingabe: Farbmétrisches Offset-Reflektiv-System ORS18

für Buntton $h^* = lab^*h = 103/360 = 0.286$

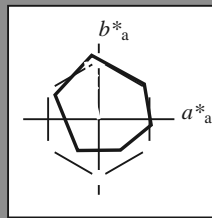
lab^*tch und lab^*nch

D65: Buntton J25G

LCH*Ma: 85 78 103

olv*Ma: 0.84 1.0 0.0

Dreiecks-Helligkeit t^*



%Umfang

$u^*_{rel} = 85$

%Regularität

$g^*_{H,rel} = 57$

$g^*_{C,rel} = 59$

ORS18; adaptierte CIELAB-Daten

	$L^*=L^*_a$	a^*_a	b^*_a	$C^*_{ab,a}$	$h^*_{ab,a}$
O _{Ma}	51.74	60.16	46.48	76.02	38
Y _{Ma}	90.77	-9.44	84.41	84.94	96
L _{Ma}	54.46	-57.8	32.16	66.15	151
C _{Ma}	61.56	-27.91	-41.41	49.95	236
V _{Ma}	31.3	28.61	-40.85	49.88	305
M _{Ma}	51.91	69.26	-7.69	69.68	354
N _{Ma}	24.2	0.0	0.0	0.0	0
W _{Ma}	95.41	0.0	0.0	0.0	0
R _{CIE}	44.36	53.97	24.82	59.4	25
J _{CIE}	82.39	-1.99	62.34	62.37	92
G _{CIE}	55.68	-38.87	10.82	40.36	164
B _{CIE}	35.76	1.06	-43.09	43.11	271

Ausgabe: Farbmétrisches Offset-Reflektiv-System ORS18

für Buntton $h^* = lab^*h = 103/360 = 0.286$

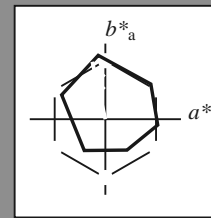
lab^*tch und lab^*nch

D65: Buntton J25G

LCH*Ma: 85 78 103

olv*Ma: 0.84 1.0 0.0

Dreiecks-Helligkeit t^*



%Umfang

$u^*_{rel} = 85$

%Regularität

$g^*_{H,rel} = 57$

$g^*_{C,rel} = 59$

ORS18; adaptierte CIELAB-Daten

	$L^*=L^*_a$	a^*_a	b^*_a	$C^*_{ab,a}$	$h^*_{ab,a}$
R	51.79	63.09	29.02	69.44	25
R25J	53.73	56.6	48.42	74.48	41
R50J	65.47	35.67	59.82	69.65	59
R75J	76.51	15.98	70.55	72.34	77
J	86.93	-2.58	80.67	80.71	92
J25G	84.92	-17.23	75.99	77.92	103
J50G	73.11	-32.96	59.0	67.58	119
J75G	60.06	-50.34	40.22	64.44	141
G	56.21	-50.44	14.04	52.36	164
G25B	57.95	-43.12	-3.96	43.31	185
G50B	60.3	-33.22	-28.35	43.68	220
G75B	53.27	-12.42	-41.26	43.1	253
B	46.07	1.01	-41.12	41.15	271
B25R	34.63	22.38	-40.91	46.64	299
B50R	45.15	55.92	-18.57	58.93	342
B75R	51.85	65.84	12.67	67.04	11

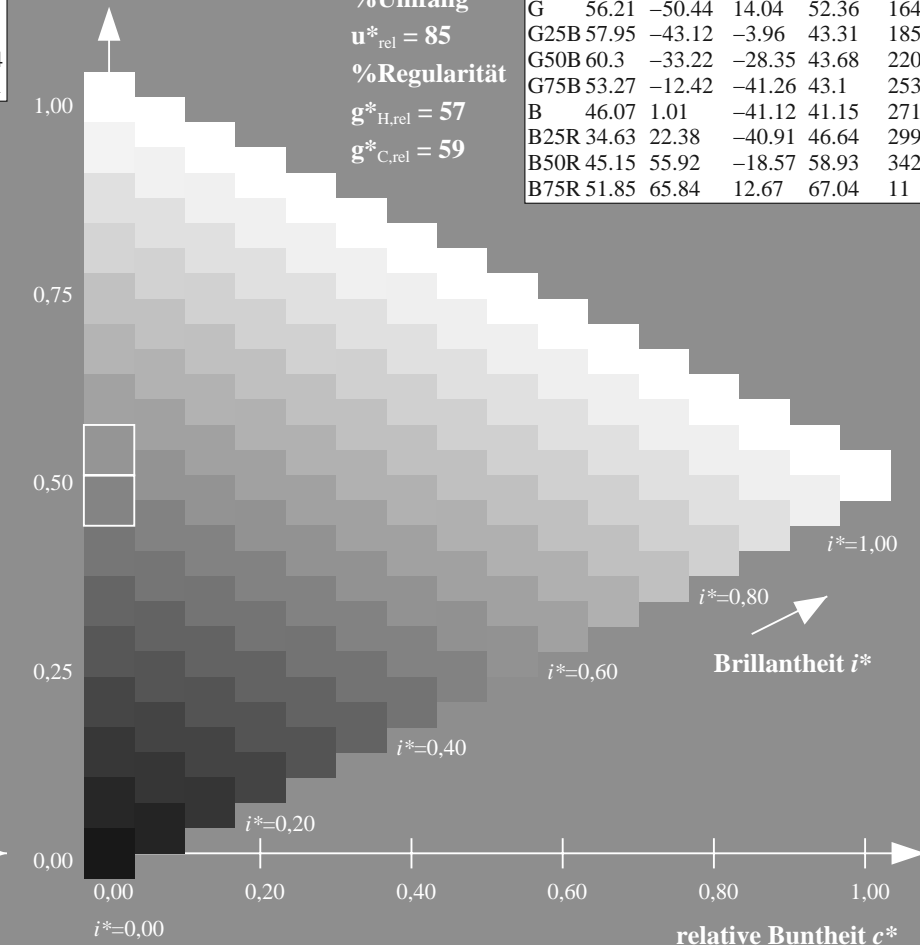
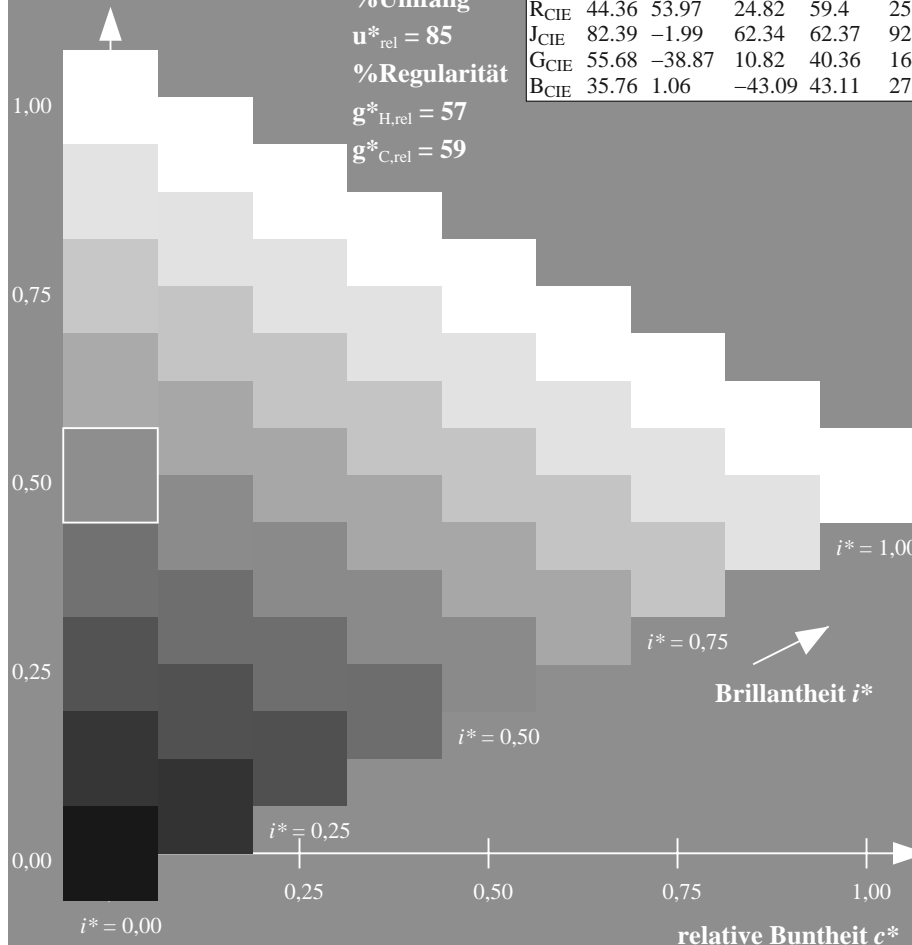
%Umfang

$u^*_{rel} = 85$

%Regularität

$g^*_{H,rel} = 57$

$g^*_{C,rel} = 59$



ZG920-7F, 9stufige Reihen für konstanten CIELAB Buntton 103/360 = 0.286 (links)

Seite 86/96

ZG920-7F, 16stufige Reihen für konstanten CIELAB Buntton 103/360 = 0.286 (rechts)

n*

BAM-Prüfvorlage ZG92; Farbmétrik-Systeme, Seite 86/96 Eingabe: $rgb / cmy0$ set($rgb/cmyk$)color

D65: 9 und 16stufige Farbreihen für 16 Elementar-Bunttöne Ausgabe: $\rightarrow LAB^* \rightarrow cmy5^* setcmykcolo$

Eingabe: Farbmétrisches Offset-Reflektiv-System ORS18

für Buntton $h^* = lab^*h = 119/360 = 0.331$

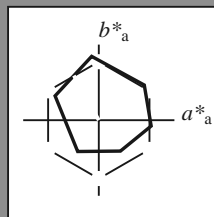
lab^*tch und lab^*nch

D65: Buntton J50G

LCH*Ma: 73 68 119

olv*Ma: 0.51 1.0 0.0

Dreiecks-Helligkeit t^*



%Umfang

$u^*_{rel} = 85$

%Regularität

$g^*_{H,rel} = 57$

$g^*_{C,rel} = 59$

ORS18; adaptierte CIELAB-Daten					
	$L^*=L^*_a$	a^*_a	b^*_a	$C^*_{ab,a}$	$h^*_{ab,a}$
O _{Ma}	51.74	60.16	46.48	76.02	38
Y _{Ma}	90.77	-9.44	84.41	84.94	96
L _{Ma}	54.46	-57.8	32.16	66.15	151
C _{Ma}	61.56	-27.91	-41.41	49.95	236
V _{Ma}	31.3	28.61	-40.85	49.88	305
M _{Ma}	51.91	69.26	-7.69	69.68	354
N _{Ma}	24.2	0.0	0.0	0.0	0
W _{Ma}	95.41	0.0	0.0	0.0	0
R _{CIE}	44.36	53.97	24.82	59.4	25
J _{CIE}	82.39	-1.99	62.34	62.37	92
G _{CIE}	55.68	-38.87	10.82	40.36	164
B _{CIE}	35.76	1.06	-43.09	43.11	271

Ausgabe: Farbmétrisches Offset-Reflektiv-System ORS18

für Buntton $h^* = lab^*h = 119/360 = 0.331$

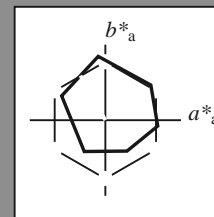
lab^*tch und lab^*nch

D65: Buntton J50G

LCH*Ma: 73 68 119

olv*Ma: 0.51 1.0 0.0

Dreiecks-Helligkeit t^*



%Umfang

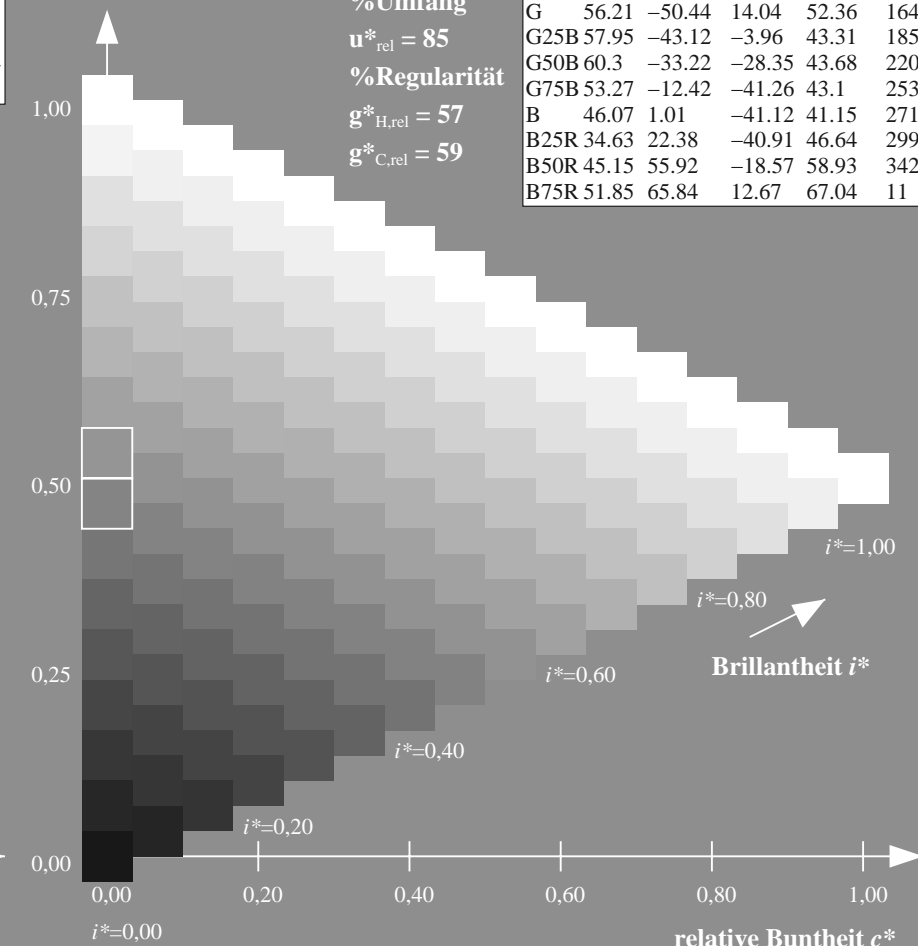
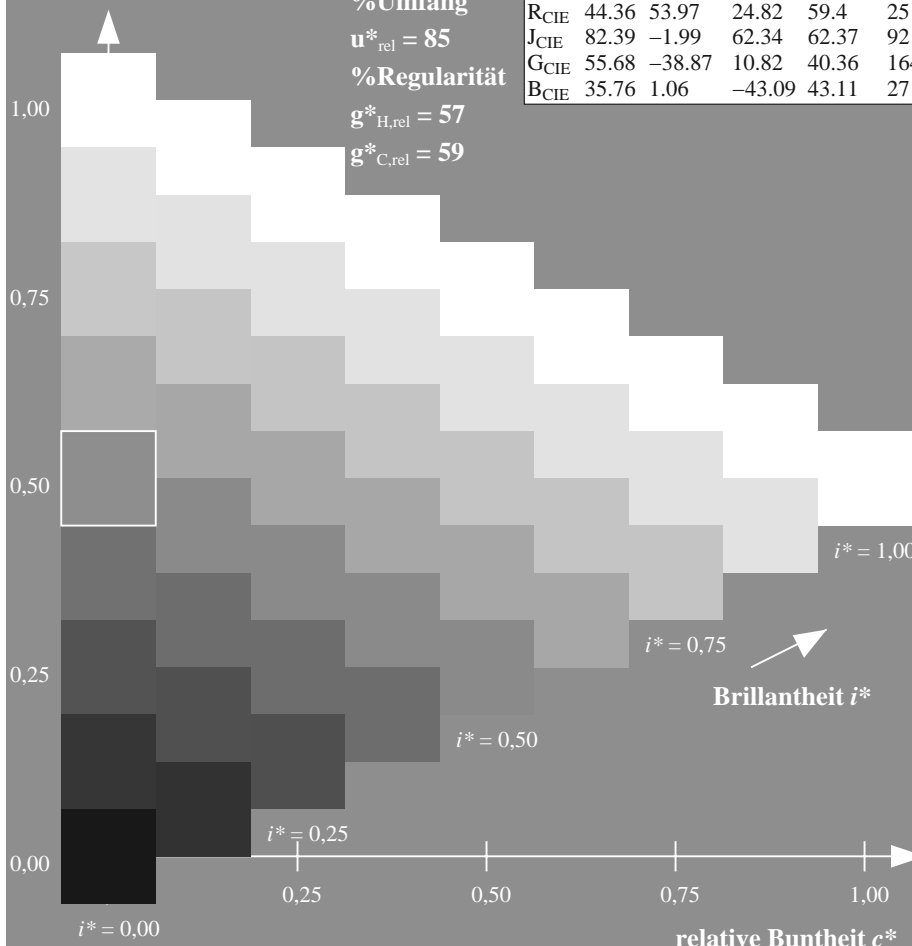
$u^*_{rel} = 85$

%Regularität

$g^*_{H,rel} = 57$

$g^*_{C,rel} = 59$

ORS18; adaptierte CIELAB-Daten					
	$L^*=L^*_a$	a^*_a	b^*_a	$C^*_{ab,a}$	$h^*_{ab,a}$
R	51.79	63.09	29.02	69.44	25
R25J	53.73	56.6	48.42	74.48	41
R50J	65.47	35.67	59.82	69.65	59
R75J	76.51	15.98	70.55	72.34	77
J	86.93	-2.58	80.67	80.71	92
J25G	84.92	-17.23	75.99	77.92	103
J50G	73.11	-32.96	59.0	67.58	119
J75G	60.06	-50.34	40.22	64.44	141
G	56.21	-50.44	14.04	52.36	164
G25B	57.95	-43.12	-3.96	43.31	185
G50B	60.3	-33.22	-28.35	43.68	220
G75B	53.27	-12.42	-41.26	43.1	253
B	46.07	1.01	-41.12	41.15	271
B25R	34.63	22.38	-40.91	46.64	299
B50R	45.15	55.92	-18.57	58.93	342
B75R	51.85	65.84	12.67	67.04	11



ZG920-7F, 9stufige Reihen für konstanten CIELAB Buntton 119/360 = 0.331 (links) Seite 87/96

ZG920-7F, 16stufige Reihen für konstanten CIELAB Buntton 119/360 = 0.331 (rechts) n*

BAM-Prüfvorlage ZG92; Farbmétrik-Systeme, Seite 87/96 Eingabe: $rgb / cmy0$ set($rgb/cmyk$)color

D65: 9 und 16stufige Farbreihen für 16 Elementar-Bunttöne Ausgabe: $\rightarrow LAB^* \rightarrow cmy5^* setcmykcolo$

Eingabe: Farbmétrisches Offset-Reflektiv-System ORS18

für Buntton $h^* = lab^*h = 164/360 = 0.457$

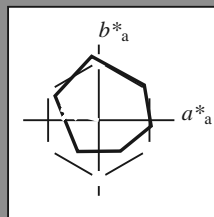
lab^*tch und lab^*nch

D65: Buntton G

LCH*Ma: 56 52 164

olv*Ma: 0.0 1.0 0.25

Dreiecks-Helligkeit t^*



%Umfang

$u^*_{rel} = 85$

%Regularität

$g^*_{H,rel} = 57$

$g^*_{C,rel} = 59$

ORS18; adaptierte CIELAB-Daten

	$L^*=L^*_a$	a^*_a	b^*_a	$C^*_{ab,a}$	$h^*_{ab,a}$
O _{Ma}	51.74	60.16	46.48	76.02	38
Y _{Ma}	90.77	-9.44	84.41	84.94	96
L _{Ma}	54.46	-57.8	32.16	66.15	151
C _{Ma}	61.56	-27.91	-41.41	49.95	236
V _{Ma}	31.3	28.61	-40.85	49.88	305
M _{Ma}	51.91	69.26	-7.69	69.68	354
N _{Ma}	24.2	0.0	0.0	0.0	0
W _{Ma}	95.41	0.0	0.0	0.0	0
R _{CIE}	44.36	53.97	24.82	59.4	25
J _{CIE}	82.39	-1.99	62.34	62.37	92
G _{CIE}	55.68	-38.87	10.82	40.36	164
B _{CIE}	35.76	1.06	-43.09	43.11	271

Ausgabe: Farbmétrisches Offset-Reflektiv-System ORS18

für Buntton $h^* = lab^*h = 164/360 = 0.457$

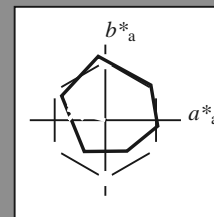
lab^*tch und lab^*nch

D65: Buntton G

LCH*Ma: 56 52 164

olv*Ma: 0.0 1.0 0.25

Dreiecks-Helligkeit t^*



%Umfang

$u^*_{rel} = 85$

%Regularität

$g^*_{H,rel} = 57$

$g^*_{C,rel} = 59$

ORS18; adaptierte CIELAB-Daten

	$L^*=L^*_a$	a^*_a	b^*_a	$C^*_{ab,a}$	$h^*_{ab,a}$
R	51.79	63.09	29.02	69.44	25
R25J	53.73	56.6	48.42	74.48	41
R50J	65.47	35.67	59.82	69.65	59
R75J	76.51	15.98	70.55	72.34	77
J	86.93	-2.58	80.67	80.71	92
J25G	84.92	-17.23	75.99	77.92	103
J50G	73.11	-32.96	59.0	67.58	119
J75G	60.06	-50.34	40.22	64.44	141
G	56.21	-50.44	14.04	52.36	164
G25B	57.95	-43.12	-3.96	43.31	185
G50B	60.3	-33.22	-28.35	43.68	220
G75B	53.27	-12.42	-41.26	43.1	253
B	46.07	1.01	-41.12	41.15	271
B25R	34.63	22.38	-40.91	46.64	299
B50R	45.15	55.92	-18.57	58.93	342
B75R	51.85	65.84	12.67	67.04	11

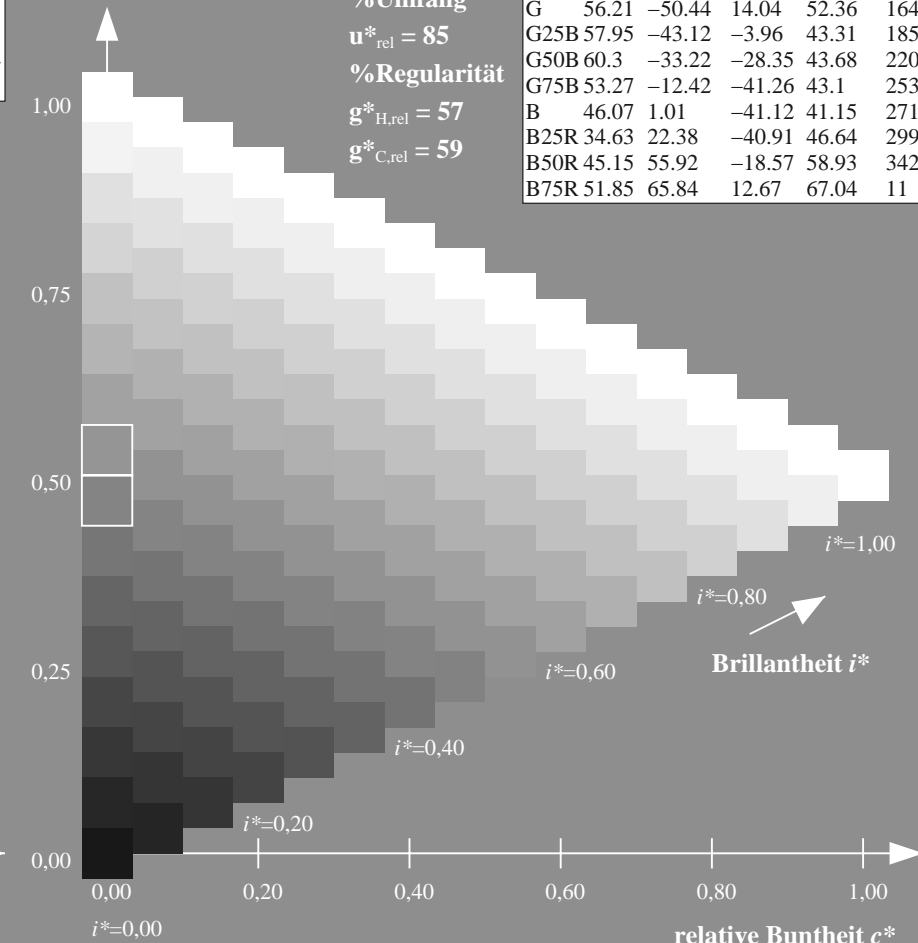
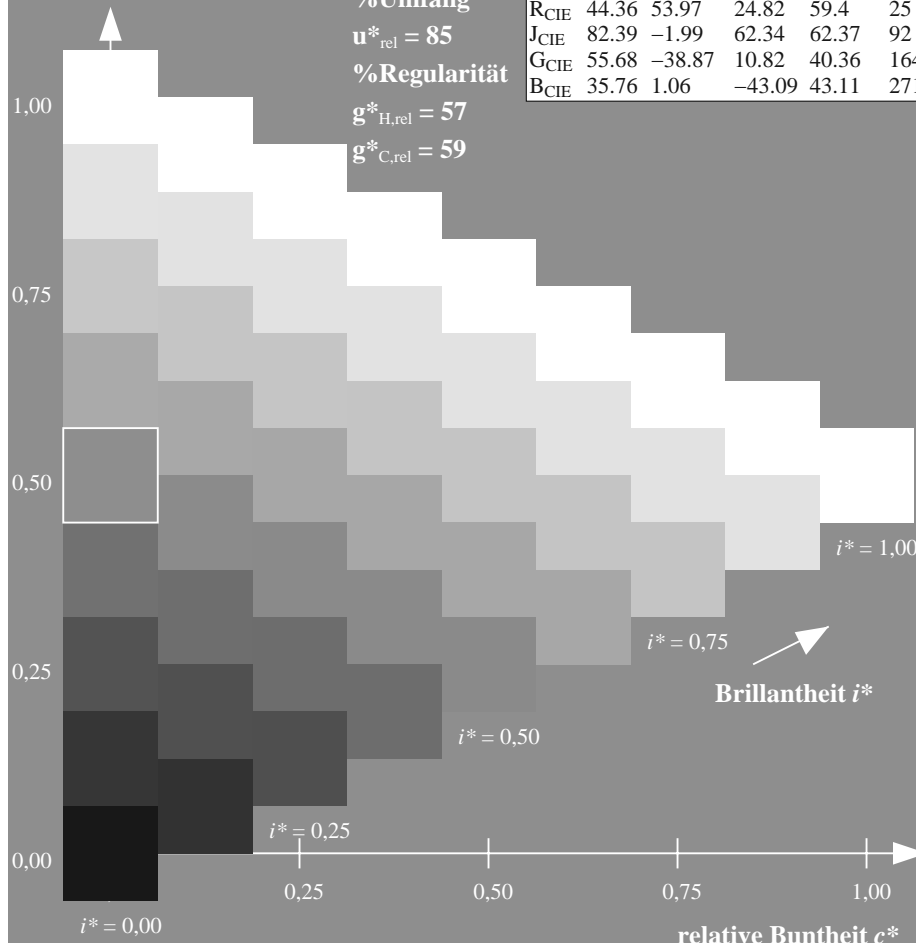
%Umfang

$u^*_{rel} = 85$

%Regularität

$g^*_{H,rel} = 57$

$g^*_{C,rel} = 59$



ZG920-7F, 9stufige Reihen für konstanten CIELAB Buntton 164/360 = 0.457 (links)

Seite 89/96

ZG920-7F, 16stufige Reihen für konstanten CIELAB Buntton 164/360 = 0.457 (rechts)

n*

BAM-Prüfvorlage ZG92; Farbmétrische Systeme, Seite 89/96 Eingabe: $rgb / cmy0$ set($rgb/cmyk$)color

D65: 9 und 16stufige Farbreihen für 16 Elementar-Bunttöne Ausgabe: $\rightarrow LAB^* \rightarrow cmy5^* setcmykcolo$

Eingabe: Farbmétrisches Offset-Reflektiv-System ORS18

für Buntton $h^* = lab^*h = 220/360 = 0.612$

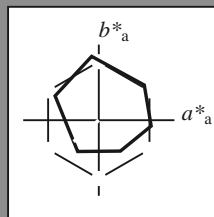
lab^*tch und lab^*nch

D65: Buntton G50B

LCH*Ma: 60 44 220

olv*Ma: 0.0 1.0 0.82

Dreiecks-Helligkeit t^*



%Umfang

$u^*_{rel} = 85$

%Regularität

$g^*_{H,rel} = 57$

$g^*_{C,rel} = 59$

ORS18; adaptierte CIELAB-Daten					
	$L^*=L^*_a$	a^*_a	b^*_a	$C^*_{ab,a}$	$h^*_{ab,a}$
O _{Ma}	51.74	60.16	46.48	76.02	38
Y _{Ma}	90.77	-9.44	84.41	84.94	96
L _{Ma}	54.46	-57.8	32.16	66.15	151
C _{Ma}	61.56	-27.91	-41.41	49.95	236
V _{Ma}	31.3	28.61	-40.85	49.88	305
M _{Ma}	51.91	69.26	-7.69	69.68	354
N _{Ma}	24.2	0.0	0.0	0.0	0
W _{Ma}	95.41	0.0	0.0	0.0	0
R _{CIE}	44.36	53.97	24.82	59.4	25
J _{CIE}	82.39	-1.99	62.34	62.37	92
G _{CIE}	55.68	-38.87	10.82	40.36	164
B _{CIE}	35.76	1.06	-43.09	43.11	271

Ausgabe: Farbmétrisches Offset-Reflektiv-System ORS18

für Buntton $h^* = lab^*h = 220/360 = 0.612$

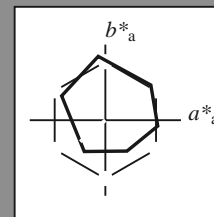
lab^*tch und lab^*nch

D65: Buntton G50B

LCH*Ma: 60 44 220

olv*Ma: 0.0 1.0 0.82

Dreiecks-Helligkeit t^*



%Umfang

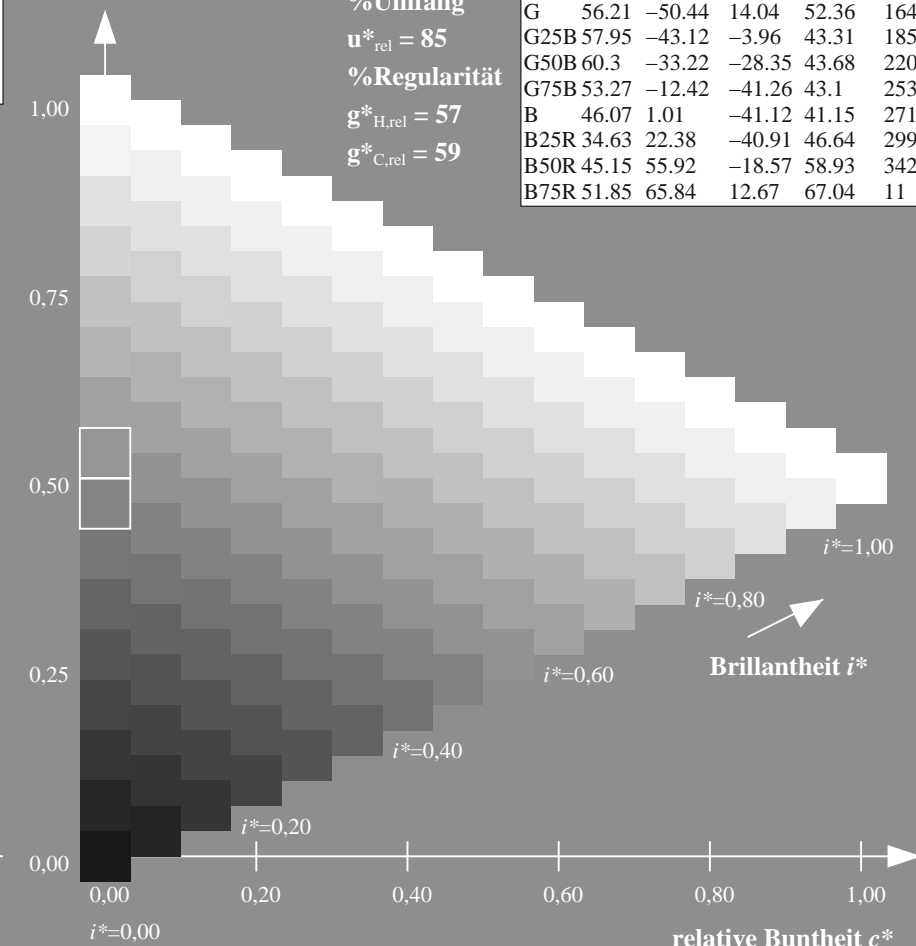
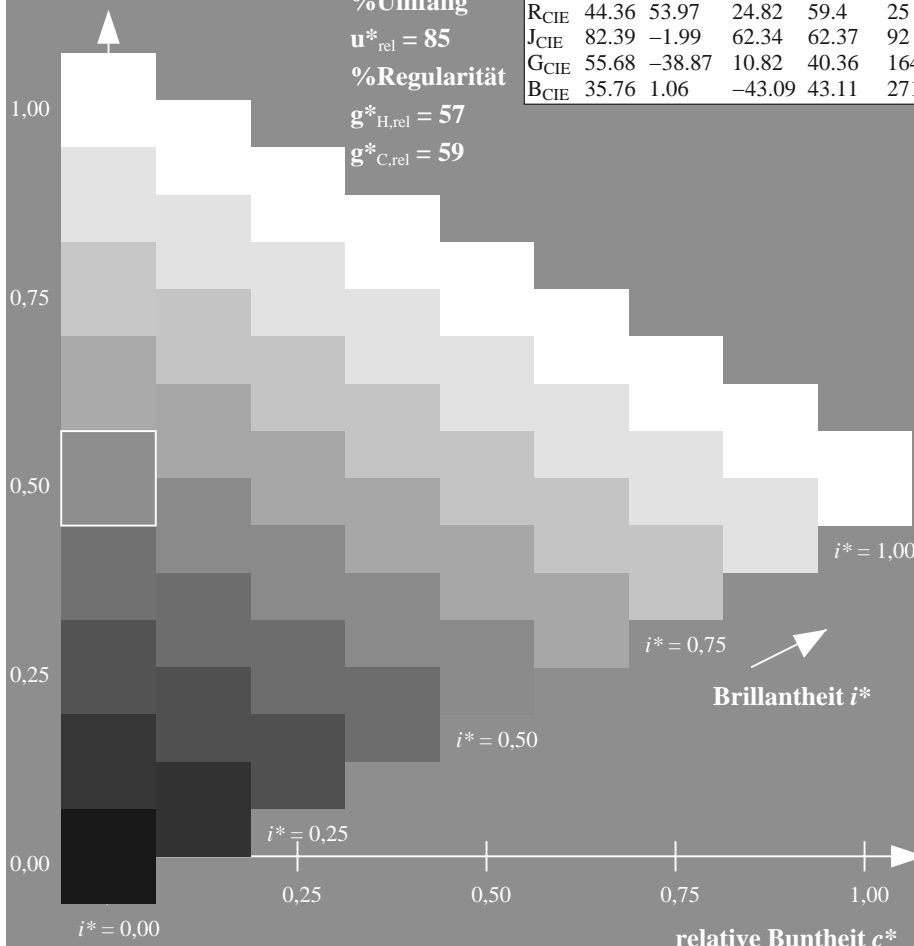
$u^*_{rel} = 85$

%Regularität

$g^*_{H,rel} = 57$

$g^*_{C,rel} = 59$

ORS18; adaptierte CIELAB-Daten					
	$L^*=L^*_a$	a^*_a	b^*_a	$C^*_{ab,a}$	$h^*_{ab,a}$
R	51.79	63.09	29.02	69.44	25
R25J	53.73	56.6	48.42	74.48	41
R50J	65.47	35.67	59.82	69.65	59
R75J	76.51	15.98	70.55	72.34	77
J	86.93	-2.58	80.67	80.71	92
J25G	84.92	-17.23	75.99	77.92	103
J50G	73.11	-32.96	59.0	67.58	119
J75G	60.06	-50.34	40.22	64.44	141
G	56.21	-50.44	14.04	52.36	164
G25B	57.95	-43.12	-3.96	43.31	185
G50B	60.3	-33.22	-28.35	43.68	220
G75B	53.27	-12.42	-41.26	43.1	253
B	46.07	1.01	-41.12	41.15	271
B25R	34.63	22.38	-40.91	46.64	299
B50R	45.15	55.92	-18.57	58.93	342
B75R	51.85	65.84	12.67	67.04	11



ZG920-7F, 9stufige Reihen für konstanten CIELAB Buntton 220/360 = 0.612 (links)

Seite 91/96

ZG920-7F, 16stufige Reihen für konstanten CIELAB Buntton 220/360 = 0.612 (rechts)

n*

BAM-Prüfvorlage ZG92; Farbmétrik-Systeme, Seite 91/96 Eingabe: $rgb / cmy0 set(rgb/cmyk)color$

D65: 9 und 16stufige Farbreihen für 16 Elementar-Bunttöne Ausgabe: $->LAB^*->cmy5^* setcmykcolo$

Siehe ähnliche Dateien: <http://www.ps.bam.de/ZG92/>; [http://www.ps.bam.de/Version 2.1, io=1,1, CIELAB](http://www.ps.bam.de/Version%202.1,io=1,1,CIELAB)
Technische Information: [http://www.ps.bam.de/Version 2.1, io=1,1, CIELAB](http://www.ps.bam.de/Version%202.1,io=1,1,CIELAB)

BAM-Registrierung: 20071001-ZG92/10L/L92G00FP.PS/.PDF BAM-Material: Code=rh4ta
Anwendung für Beurteilung und Messung von Drucker- oder Monitorsystemen

Eingabe: Farbmétrisches Offset-Reflektiv-System ORS18

für Buntton $h^* = lab^*h = 253/360 = 0.703$

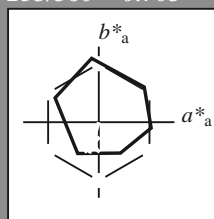
lab^*tch und lab^*nch

D65: Buntton G75B

LCH*Ma: 53 43 253

olv*Ma: 0.0 0.73 1.0

Dreiecks-Helligkeit t^*



%Umfang

$u^*_{rel} = 85$

%Regularität

$g^*_{H,rel} = 57$

$g^*_{C,rel} = 59$

ORS18; adaptierte CIELAB-Daten

	$L^*=L^*_a$	a^*_a	b^*_a	$C^*_{ab,a}$	$h^*_{ab,a}$
O _{Ma}	51.74	60.16	46.48	76.02	38
Y _{Ma}	90.77	-9.44	84.41	84.94	96
L _{Ma}	54.46	-57.8	32.16	66.15	151
C _{Ma}	61.56	-27.91	-41.41	49.95	236
V _{Ma}	31.3	28.61	-40.85	49.88	305
M _{Ma}	51.91	69.26	-7.69	69.68	354
N _{Ma}	24.2	0.0	0.0	0.0	0
W _{Ma}	95.41	0.0	0.0	0.0	0
R _{CIE}	44.36	53.97	24.82	59.4	25
J _{CIE}	82.39	-1.99	62.34	62.37	92
G _{CIE}	55.68	-38.87	10.82	40.36	164
B _{CIE}	35.76	1.06	-43.09	43.11	271

Ausgabe: Farbmétrisches Offset-Reflektiv-System ORS18

für Buntton $h^* = lab^*h = 253/360 = 0.703$

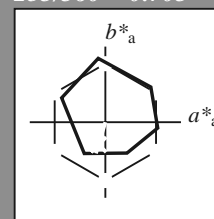
lab^*tch und lab^*nch

D65: Buntton G75B

LCH*Ma: 53 43 253

olv*Ma: 0.0 0.73 1.0

Dreiecks-Helligkeit t^*



%Umfang

$u^*_{rel} = 85$

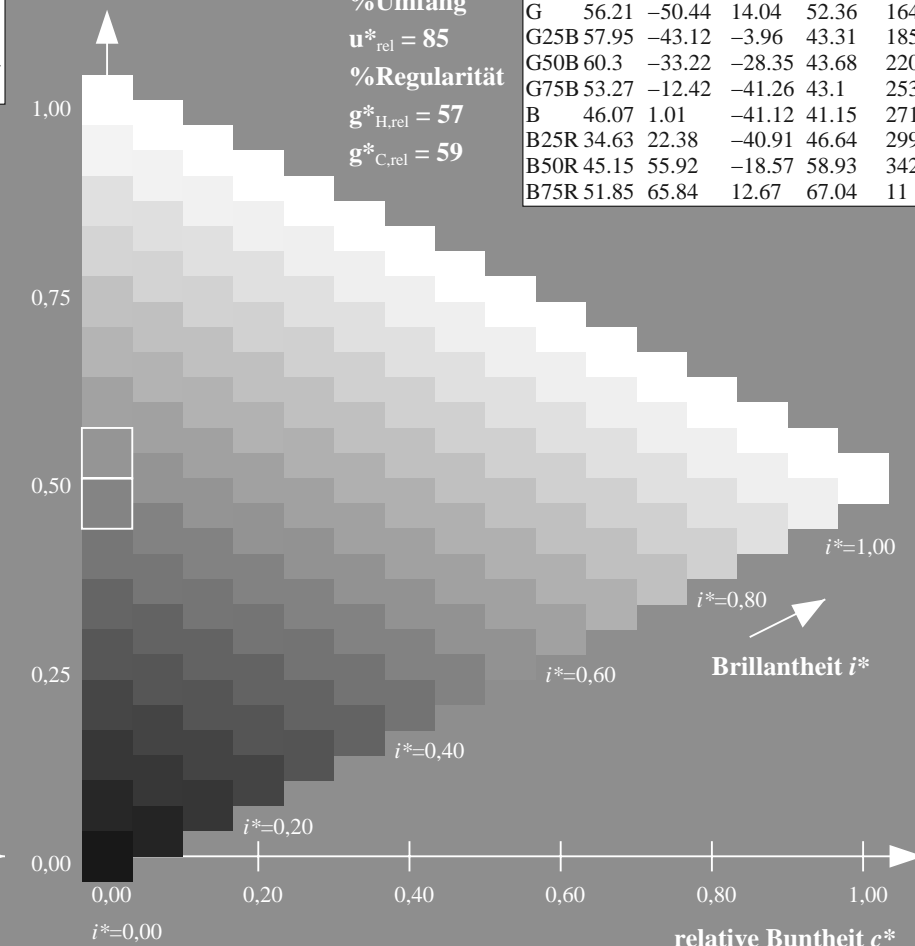
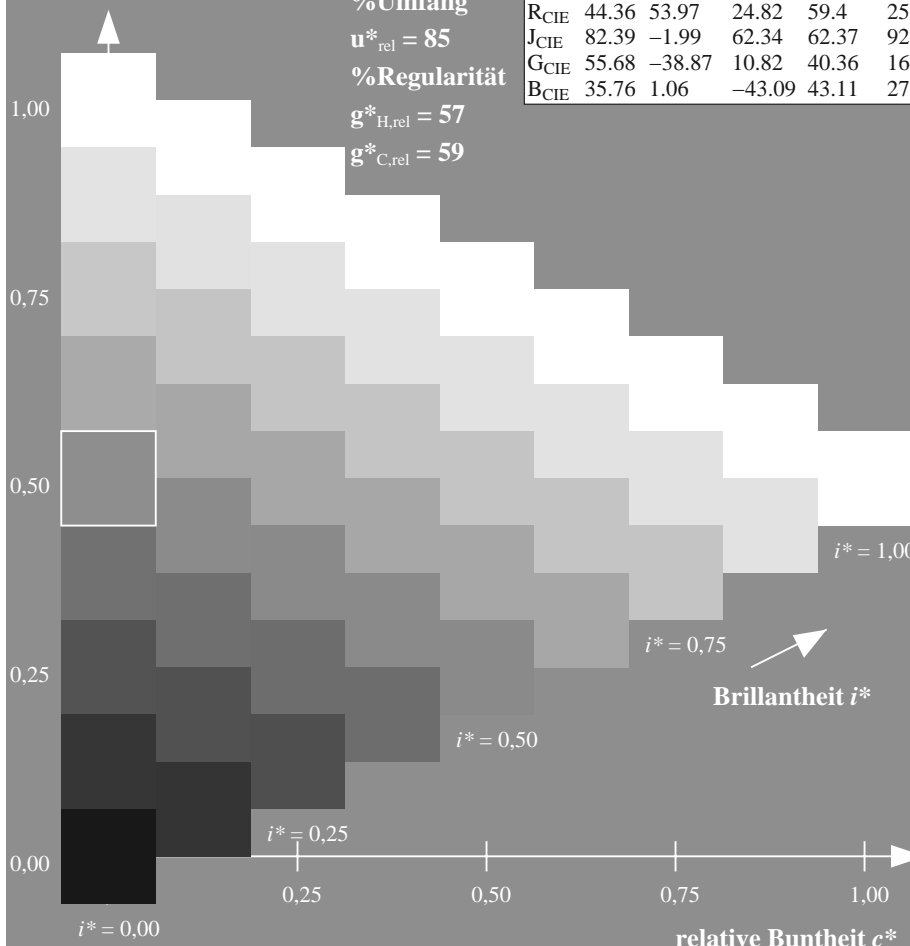
%Regularität

$g^*_{H,rel} = 57$

$g^*_{C,rel} = 59$

ORS18; adaptierte CIELAB-Daten

	$L^*=L^*_a$	a^*_a	b^*_a	$C^*_{ab,a}$	$h^*_{ab,a}$
R	51.79	63.09	29.02	69.44	25
R25J	53.73	56.6	48.42	74.48	41
R50J	65.47	35.67	59.82	69.65	59
R75J	76.51	15.98	70.55	72.34	77
J	86.93	-2.58	80.67	80.71	92
J25G	84.92	-17.23	75.99	77.92	103
J50G	73.11	-32.96	59.0	67.58	119
J75G	60.06	-50.34	40.22	64.44	141
G	56.21	-50.44	14.04	52.36	164
G25B	57.95	-43.12	-3.96	43.31	185
G50B	60.3	-33.22	-28.35	43.68	220
G75B	53.27	-12.42	-41.26	43.1	253
B	46.07	1.01	-41.12	41.15	271
B25R	34.63	22.38	-40.91	46.64	299
B50R	45.15	55.92	-18.57	58.93	342
B75R	51.85	65.84	12.67	67.04	11



ZG920-7F, 9stufige Reihen für konstanten CIELAB Buntton 253/360 = 0.703 (links)

Seite 92/96

ZG920-7F, 16stufige Reihen für konstanten CIELAB Buntton 253/360 = 0.703 (rechts)

n*

BAM-Prüfvorlage ZG92; Farbmétrik-Systeme, Seite 92/96 Eingabe: $rgb / cmy0 set(rgb/cmyk)color$

D65: 9 und 16stufige Farbreihen für 16 Elementar-Bunttöne Ausgabe: $\rightarrow LAB^* \rightarrow cmy5^* setcmykcolo$

Eingabe: Farbmétrisches Offset-Reflektiv-System ORS18

für Buntton $h^* = lab^*h = 271/360 = 0.754$

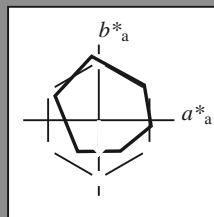
lab^*tch und lab^*nch

D65: Buntton B

LCH*Ma: 46 41 271

olv*Ma: 0.0 0.49 1.0

Dreiecks-Helligkeit t^*



%Umfang

$u^*_{rel} = 85$

%Regularität

$g^*_{H,rel} = 57$

$g^*_{C,rel} = 59$

ORS18; adaptierte CIELAB-Daten					
	$L^*=L^*_a$	a^*_a	b^*_a	$C^*_{ab,a}$	$h^*_{ab,a}$
O _{Ma}	51.74	60.16	46.48	76.02	38
Y _{Ma}	90.77	-9.44	84.41	84.94	96
L _{Ma}	54.46	-57.8	32.16	66.15	151
C _{Ma}	61.56	-27.91	-41.41	49.95	236
V _{Ma}	31.3	28.61	-40.85	49.88	305
M _{Ma}	51.91	69.26	-7.69	69.68	354
N _{Ma}	24.2	0.0	0.0	0.0	0
W _{Ma}	95.41	0.0	0.0	0.0	0
R _{CIE}	44.36	53.97	24.82	59.4	25
J _{CIE}	82.39	-1.99	62.34	62.37	92
G _{CIE}	55.68	-38.87	10.82	40.36	164
B _{CIE}	35.76	1.06	-43.09	43.11	271

Ausgabe: Farbmétrisches Offset-Reflektiv-System ORS18

für Buntton $h^* = lab^*h = 271/360 = 0.754$

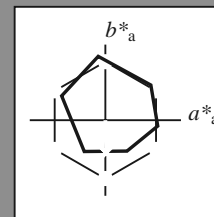
lab^*tch und lab^*nch

D65: Buntton B

LCH*Ma: 46 41 271

olv*Ma: 0.0 0.49 1.0

Dreiecks-Helligkeit t^*



%Umfang

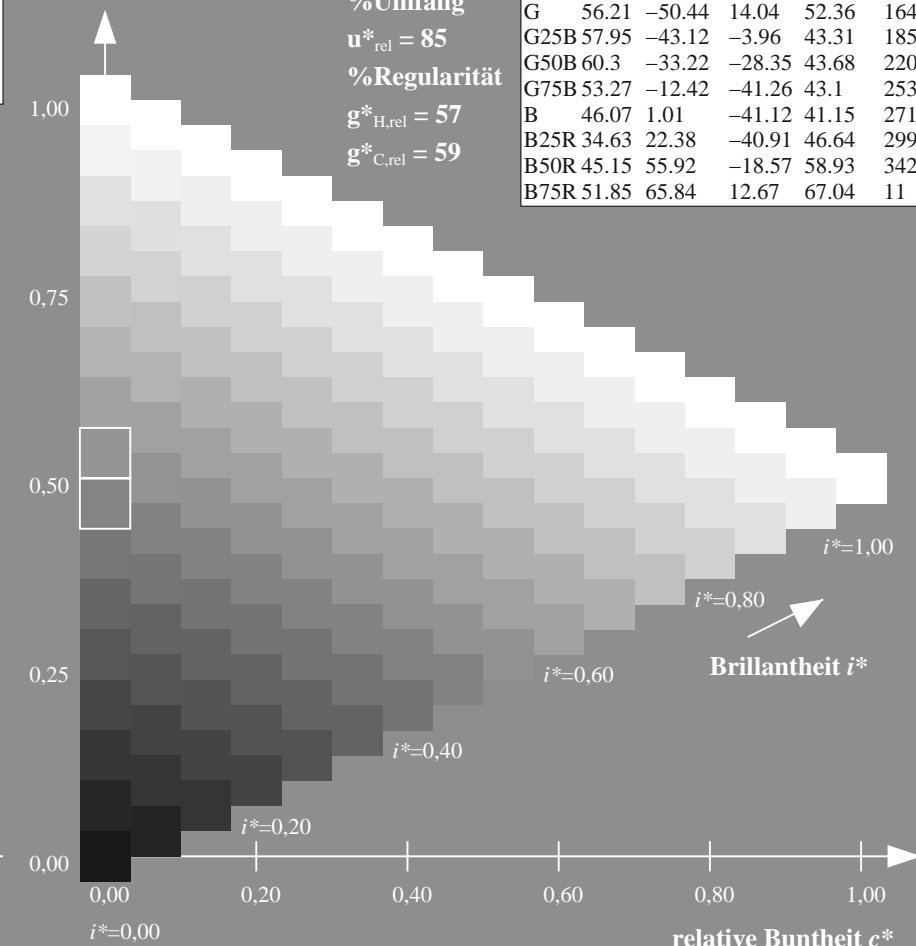
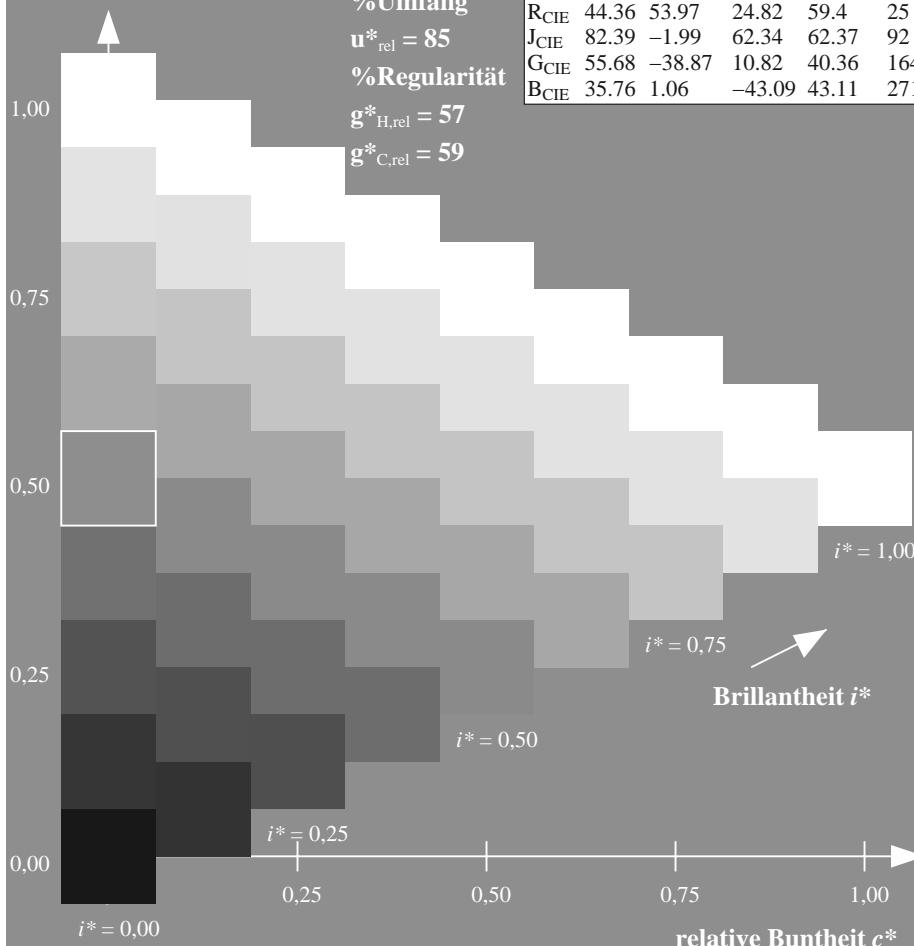
$u^*_{rel} = 85$

%Regularität

$g^*_{H,rel} = 57$

$g^*_{C,rel} = 59$

ORS18; adaptierte CIELAB-Daten					
	$L^*=L^*_a$	a^*_a	b^*_a	$C^*_{ab,a}$	$h^*_{ab,a}$
R	51.79	63.09	29.02	69.44	25
R25J	53.73	56.6	48.42	74.48	41
R50J	65.47	35.67	59.82	69.65	59
R75J	76.51	15.98	70.55	72.34	77
J	86.93	-2.58	80.67	80.71	92
J25G	84.92	-17.23	75.99	77.92	103
J50G	73.11	-32.96	59.0	67.58	119
J75G	60.06	-50.34	40.22	64.44	141
G	56.21	-50.44	14.04	52.36	164
G25B	57.95	-43.12	-3.96	43.31	185
G50B	60.3	-33.22	-28.35	43.68	220
G75B	53.27	-12.42	-41.26	43.1	253
B	46.07	1.01	-41.12	41.15	271
B25R	34.63	22.38	-40.91	46.64	299
B50R	45.15	55.92	-18.57	58.93	342
B75R	51.85	65.84	12.67	67.04	11



ZG920-7F, 9stufige Reihen für konstanten CIELAB Buntton 271/360 = 0.754 (links)

Seite 93/96

ZG920-7F, 16stufige Reihen für konstanten CIELAB Buntton 271/360 = 0.754 (rechts)

n*

BAM-Prüfvorlage ZG92; Farbmétrik-Systeme, Seite 93/96 Eingabe: $rgb / cmy0 set(rgb/cmyk)color$

D65: 9 und 16stufige Farbreihen für 16 Elementar-Bunttöne Ausgabe: $->LAB^*->cmy5^* setcmykcolo$

Eingabe: Farbmétrisches Offset-Reflektiv-System ORS18

für Buntton $h^* = lab^*h = 299/360 = 0.83$

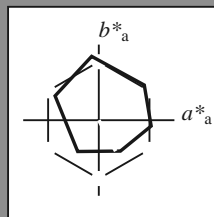
lab^*tch und lab^*nch

D65: Buntton B25R

LCH*Ma: 35 47 299

olv*Ma: 0.0 0.11 1.0

Dreiecks-Helligkeit t^*



%Umfang

$u^*_{rel} = 85$

%Regularität

$g^*_{H,rel} = 57$

$g^*_{C,rel} = 59$

ORS18; adaptierte CIELAB-Daten

	$L^*=L^*_a$	a^*_a	b^*_a	$C^*_{ab,a}$	$h^*_{ab,a}$
O _{Ma}	51.74	60.16	46.48	76.02	38
Y _{Ma}	90.77	-9.44	84.41	84.94	96
L _{Ma}	54.46	-57.8	32.16	66.15	151
C _{Ma}	61.56	-27.91	-41.41	49.95	236
V _{Ma}	31.3	28.61	-40.85	49.88	305
M _{Ma}	51.91	69.26	-7.69	69.68	354
N _{Ma}	24.2	0.0	0.0	0.0	0
W _{Ma}	95.41	0.0	0.0	0.0	0
R _{CIE}	44.36	53.97	24.82	59.4	25
J _{CIE}	82.39	-1.99	62.34	62.37	92
G _{CIE}	55.68	-38.87	10.82	40.36	164
B _{CIE}	35.76	1.06	-43.09	43.11	271

Ausgabe: Farbmétrisches Offset-Reflektiv-System ORS18

für Buntton $h^* = lab^*h = 299/360 = 0.83$

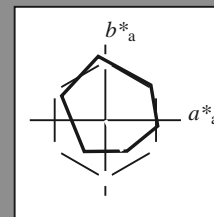
lab^*tch und lab^*nch

D65: Buntton B25R

LCH*Ma: 35 47 299

olv*Ma: 0.0 0.11 1.0

Dreiecks-Helligkeit t^*



%Umfang

$u^*_{rel} = 85$

%Regularität

$g^*_{H,rel} = 57$

$g^*_{C,rel} = 59$

ORS18; adaptierte CIELAB-Daten

	$L^*=L^*_a$	a^*_a	b^*_a	$C^*_{ab,a}$	$h^*_{ab,a}$
R	51.79	63.09	29.02	69.44	25
R25J	53.73	56.6	48.42	74.48	41
R50J	65.47	35.67	59.82	69.65	59
R75J	76.51	15.98	70.55	72.34	77
J	86.93	-2.58	80.67	80.71	92
J25G	84.92	-17.23	75.99	77.92	103
J50G	73.11	-32.96	59.0	67.58	119
J75G	60.06	-50.34	40.22	64.44	141
G	56.21	-50.44	14.04	52.36	164
G25B	57.95	-43.12	-3.96	43.31	185
G50B	60.3	-33.22	-28.35	43.68	220
G75B	53.27	-12.42	-41.26	43.1	253
B	46.07	1.01	-41.12	41.15	271
B25R	34.63	22.38	-40.91	46.64	299
B50R	45.15	55.92	-18.57	58.93	342
B75R	51.85	65.84	12.67	67.04	11

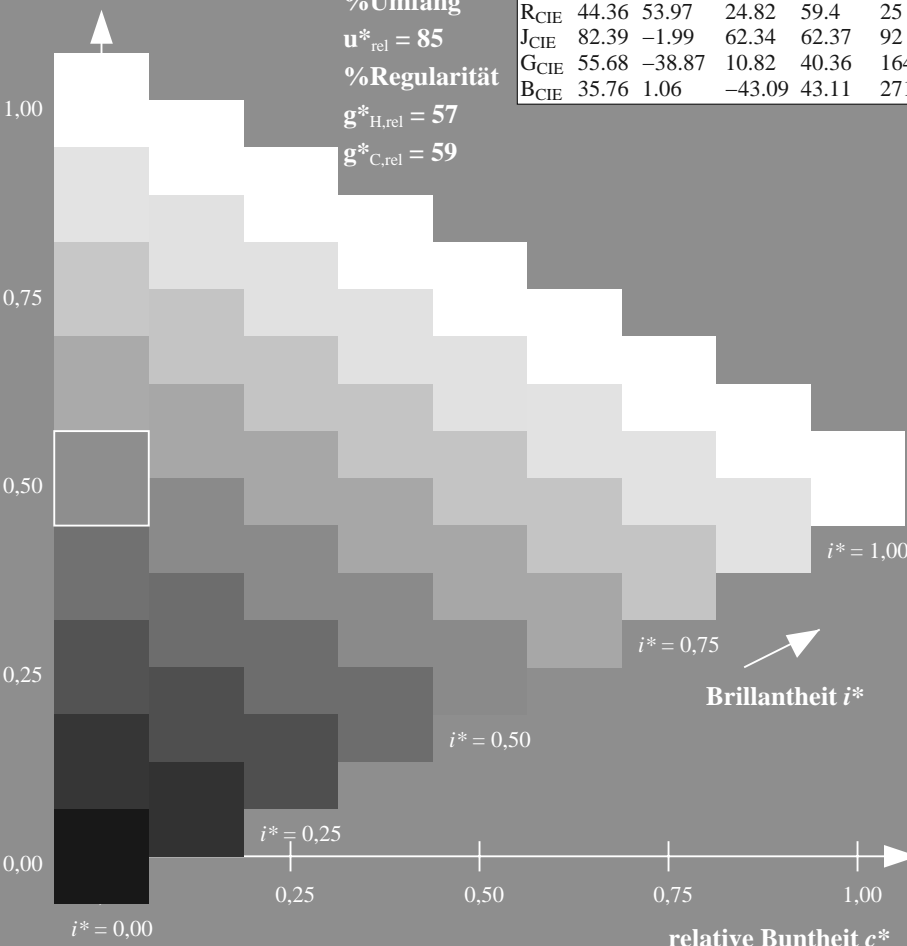
%Umfang

$u^*_{rel} = 85$

%Regularität

$g^*_{H,rel} = 57$

$g^*_{C,rel} = 59$



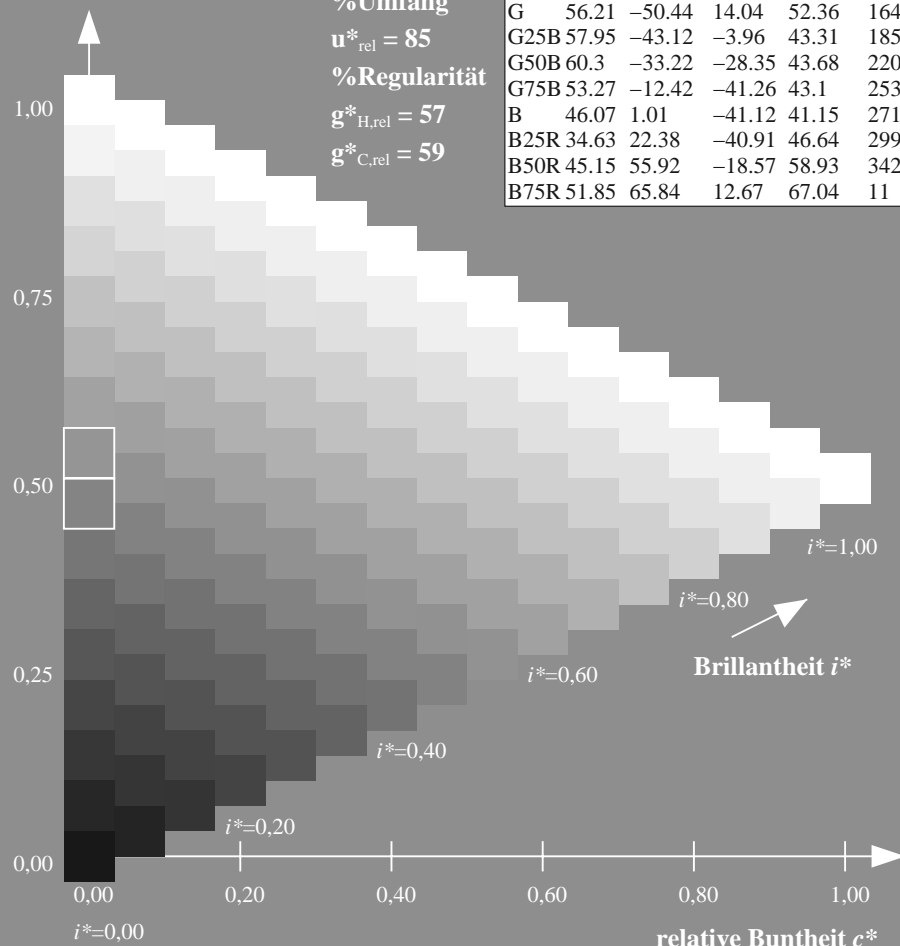
$i^* = 0.75$

Brillantheit i^*

$i^* = 0.50$

$i^* = 0.25$

$i^* = 0.00$



$i^* = 0.80$

Brillantheit i^*

$i^* = 0.60$

$i^* = 0.40$

$i^* = 0.20$

$i^* = 0.00$

ZG920-7F, 9stufige Reihen für konstanten CIELAB Buntton 299/360 = 0.83 (links)

Seite 94/96

ZG920-7F, 16stufige Reihen für konstanten CIELAB Buntton 299/360 = 0.83 (rechts)

BAM-Prüfvorlage ZG92; Farbmétrik-Systeme, Seite 94/96 Eingabe: $rgb / cmy0 set(rgb/cmyk)color$

D65: 9 und 16stufige Farbreihen für 16 Elementar-Bunttöne Ausgabe: $->LAB^*->cmy5^* setcmykcolo$

Eingabe: Farbmétrisches Offset-Reflektiv-System ORS18

für Buntton $h^* = lab^*h = 342/360 = 0.949$

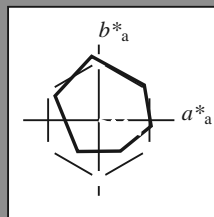
lab^*tch und lab^*nch

D65: Buntton B50R

LCH*Ma: 45 59 342

olv*Ma: 0.67 0.0 1.0

Dreiecks-Helligkeit t^*



%Umfang

$u^*_{rel} = 85$

%Regularität

$g^*_{H,rel} = 57$

$g^*_{C,rel} = 59$

ORS18; adaptierte CIELAB-Daten

	$L^*=L^*_a$	a^*_a	b^*_a	$C^*_{ab,a}$	$h^*_{ab,a}$
O _{Ma}	51.74	60.16	46.48	76.02	38
Y _{Ma}	90.77	-9.44	84.41	84.94	96
L _{Ma}	54.46	-57.8	32.16	66.15	151
C _{Ma}	61.56	-27.91	-41.41	49.95	236
V _{Ma}	31.3	28.61	-40.85	49.88	305
M _{Ma}	51.91	69.26	-7.69	69.68	354
N _{Ma}	24.2	0.0	0.0	0.0	0
W _{Ma}	95.41	0.0	0.0	0.0	0
R _{CIE}	44.36	53.97	24.82	59.4	25
J _{CIE}	82.39	-1.99	62.34	62.37	92
G _{CIE}	55.68	-38.87	10.82	40.36	164
B _{CIE}	35.76	1.06	-43.09	43.11	271

Ausgabe: Farbmétrisches Offset-Reflektiv-System ORS18

für Buntton $h^* = lab^*h = 342/360 = 0.949$

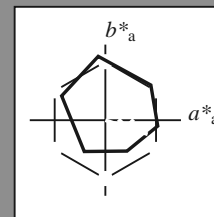
lab^*tch und lab^*nch

D65: Buntton B50R

LCH*Ma: 45 59 342

olv*Ma: 0.67 0.0 1.0

Dreiecks-Helligkeit t^*



%Umfang

$u^*_{rel} = 85$

%Regularität

$g^*_{H,rel} = 57$

$g^*_{C,rel} = 59$

ORS18; adaptierte CIELAB-Daten

	$L^*=L^*_a$	a^*_a	b^*_a	$C^*_{ab,a}$	$h^*_{ab,a}$
R	51.79	63.09	29.02	69.44	25
R25J	53.73	56.6	48.42	74.48	41
R50J	65.47	35.67	59.82	69.65	59
R75J	76.51	15.98	70.55	72.34	77
J	86.93	-2.58	80.67	80.71	92
J25G	84.92	-17.23	75.99	77.92	103
J50G	73.11	-32.96	59.0	67.58	119
J75G	60.06	-50.34	40.22	64.44	141
G	56.21	-50.44	14.04	52.36	164
G25B	57.95	-43.12	-3.96	43.31	185
G50B	60.3	-33.22	-28.35	43.68	220
G75B	53.27	-12.42	-41.26	43.1	253
B	46.07	1.01	-41.12	41.15	271
B25R	34.63	22.38	-40.91	46.64	299
B50R	45.15	55.92	-18.57	58.93	342
B75R	51.85	65.84	12.67	67.04	11

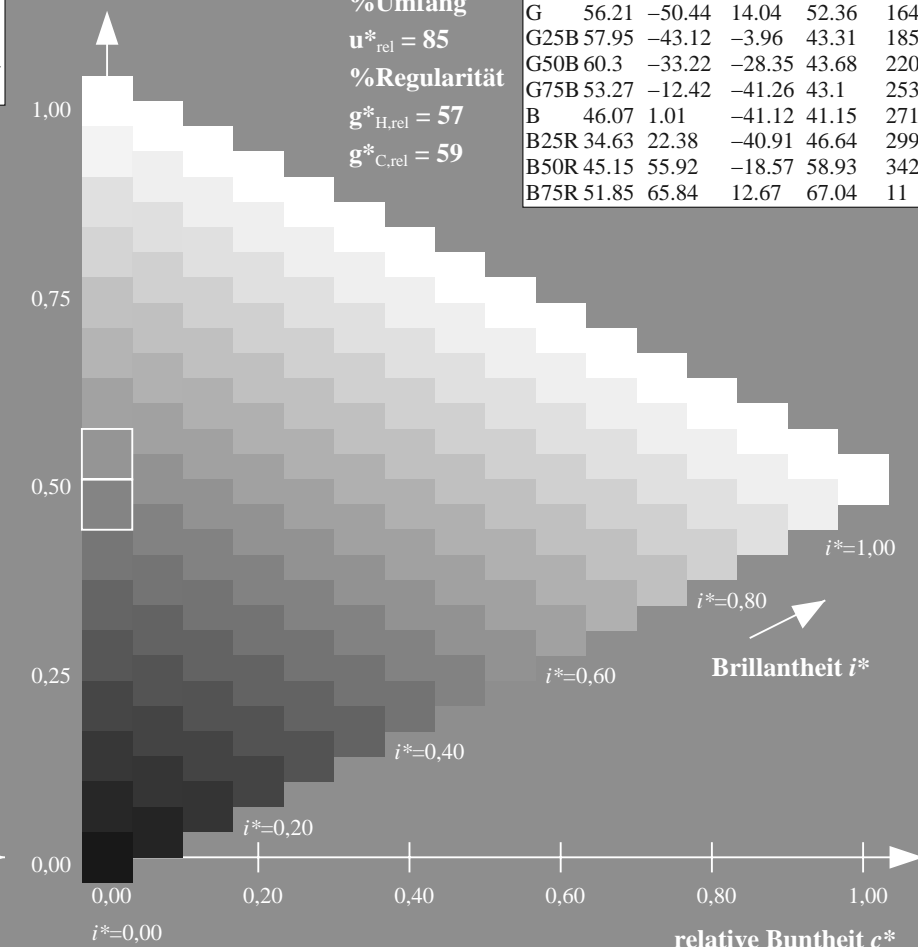
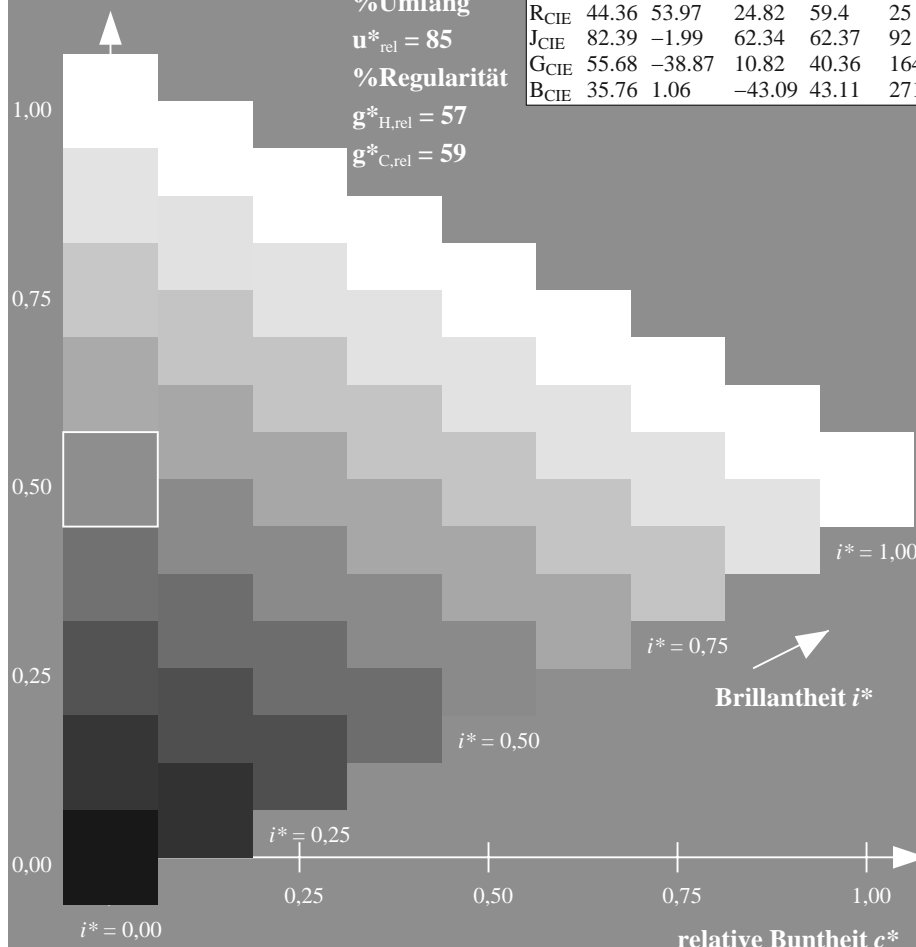
%Umfang

$u^*_{rel} = 85$

%Regularität

$g^*_{H,rel} = 57$

$g^*_{C,rel} = 59$



ZG920-7F, 9stufige Reihen für konstanten CIELAB Buntton 342/360 = 0.949 (links)

Seite 95/96

ZG920-7F, 16stufige Reihen für konstanten CIELAB Buntton 342/360 = 0.949 (rechts)

n*

BAM-Prüfvorlage ZG92; Farbmétrik-Systeme, Seite 95/96 Eingabe: $rgb / cmy0$ set($rgb/cmyk$)color

D65: 9 und 16stufige Farbreihen für 16 Elementar-Bunttöne Ausgabe: $\rightarrow LAB^* \rightarrow cmy5^* setcmykcolo$

Eingabe: Farbmétrisches Offset-Reflektiv-System ORS18

für Buntton $h^* = lab^*h = 11/360 = 0.03$

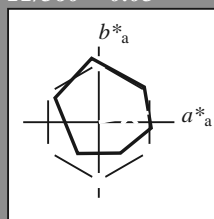
lab^*tch und lab^*nch

D65: Buntton B75R

LCH*Ma: 52 67 11

olv*Ma: 1.0 0.0 0.62

Dreiecks-Helligkeit t^*



%Umfang

$u^*_{rel} = 85$

%Regularität

$g^*_{H,rel} = 57$

$g^*_{C,rel} = 59$

ORS18; adaptierte CIELAB-Daten

	$L^*=L^*_a$	a^*_a	b^*_a	$C^*_{ab,a}$	$h^*_{ab,a}$
O _{Ma}	51.74	60.16	46.48	76.02	38
Y _{Ma}	90.77	-9.44	84.41	84.94	96
L _{Ma}	54.46	-57.8	32.16	66.15	151
C _{Ma}	61.56	-27.91	-41.41	49.95	236
V _{Ma}	31.3	28.61	-40.85	49.88	305
M _{Ma}	51.91	69.26	-7.69	69.68	354
N _{Ma}	24.2	0.0	0.0	0.0	0
W _{Ma}	95.41	0.0	0.0	0.0	0
R _{CIE}	44.36	53.97	24.82	59.4	25
J _{CIE}	82.39	-1.99	62.34	62.37	92
G _{CIE}	55.68	-38.87	10.82	40.36	164
B _{CIE}	35.76	1.06	-43.09	43.11	271

Ausgabe: Farbmétrisches Offset-Reflektiv-System ORS18

für Buntton $h^* = lab^*h = 11/360 = 0.03$

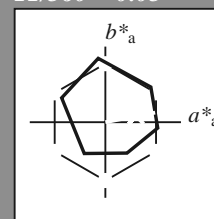
lab^*tch und lab^*nch

D65: Buntton B75R

LCH*Ma: 52 67 11

olv*Ma: 1.0 0.0 0.62

Dreiecks-Helligkeit t^*



%Umfang

$u^*_{rel} = 85$

%Regularität

$g^*_{H,rel} = 57$

$g^*_{C,rel} = 59$

ORS18; adaptierte CIELAB-Daten

	$L^*=L^*_a$	a^*_a	b^*_a	$C^*_{ab,a}$	$h^*_{ab,a}$
R	51.79	63.09	29.02	69.44	25
R25J	53.73	56.6	48.42	74.48	41
R50J	65.47	35.67	59.82	69.65	59
R75J	76.51	15.98	70.55	72.34	77
J	86.93	-2.58	80.67	80.71	92
J25G	84.92	-17.23	75.99	77.92	103
J50G	73.11	-32.96	59.0	67.58	119
J75G	60.06	-50.34	40.22	64.44	141
G	56.21	-50.44	14.04	52.36	164
G25B	57.95	-43.12	-3.96	43.31	185
G50B	60.3	-33.22	-28.35	43.68	220
G75B	53.27	-12.42	-41.26	43.1	253
B	46.07	1.01	-41.12	41.15	271
B25R	34.63	22.38	-40.91	46.64	299
B50R	45.15	55.92	-18.57	58.93	342
B75R	51.85	65.84	12.67	67.04	11

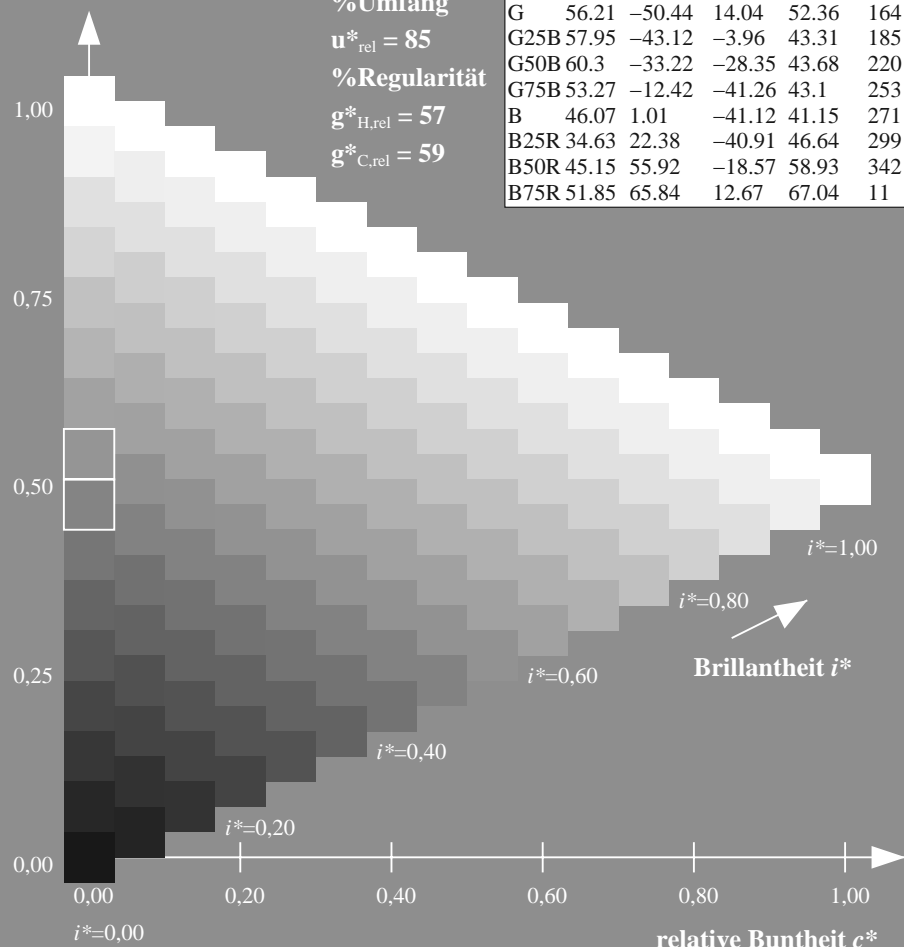
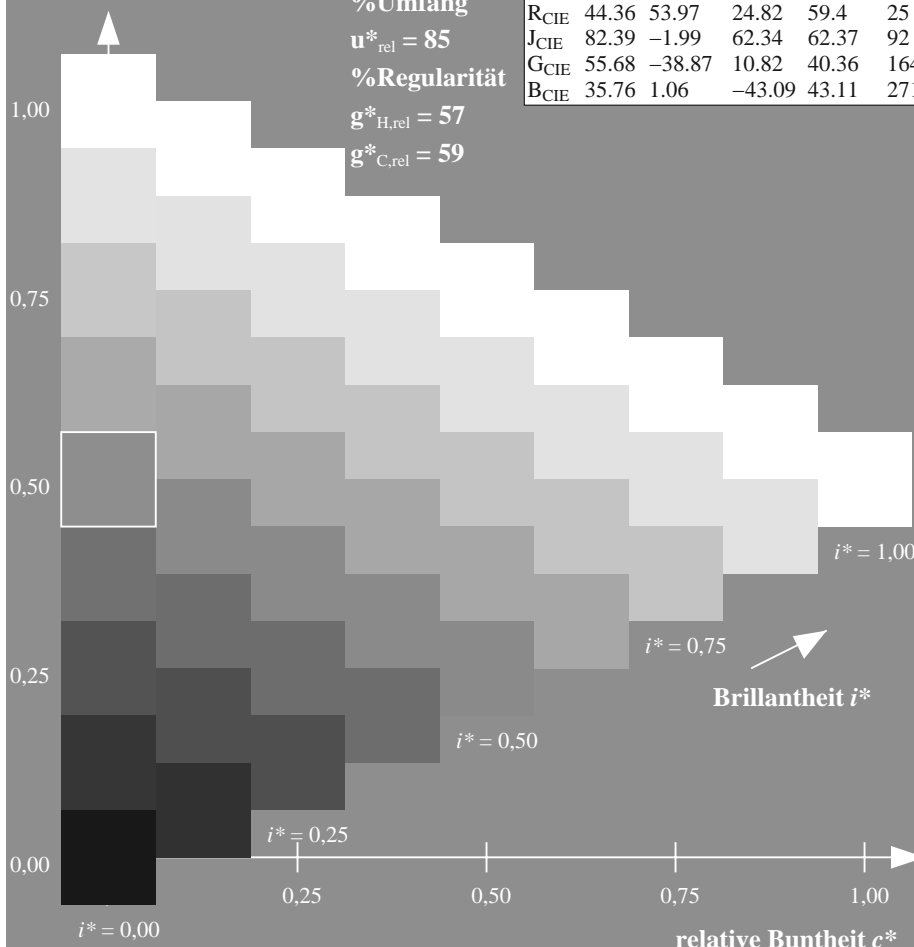
%Umfang

$u^*_{rel} = 85$

%Regularität

$g^*_{H,rel} = 57$

$g^*_{C,rel} = 59$



ZG920-7F, 9stufige Reihen für konstanten CIELAB Buntton 11/360 = 0.03 (links)

Seite 96/96

ZG920-7F, 16stufige Reihen für konstanten CIELAB Buntton 11/360 = 0.03 (rechts)

n*

BAM-Prüfvorlage ZG92; Farbmétrik-Systeme, Seite 96/96 Eingabe: $rgb / cmy0$ set($rgb/cmyk$)color

D65: 9 und 16stufige Farbreihen für 16 Elementar-Bunttöne Ausgabe: $\rightarrow LAB^* \rightarrow cmy5^* setcmykcolo$